

CECHY TERMICZNE KLIMATU EUROPY

JERZY BORYCZKA
MARIA STOPA-BORYCZKA
KATARZYNA PIETRAS
SZYMON BIJAK
ELŻBIETA BŁAŻEK
JAN SKRZYPCKU

XIX. THE THERMAL FEATURES OF EUROPE'S CLIMATE

atlas

OF INTERDEPENDENCE
OF METEOROLOGICAL
AND GEOGRAPHICAL
PARAMETERS
IN POLAND

Warsaw 2005

JERZY BORYCZKA
MARIA STOPA-BORYCZKA
KATARZYNA PIETRAS
SZYMON BIJAK
ELŻBIETA BŁAŻEK
JAN SKRZYPCKUK

XIX. CECHY TERMICZNE KLIMATU EUROPY

atlas

WSPÓŁZALEŻNOŚCI
PARAMETRÓW
METEOROLOGICZNYCH
I GEOGRAFICZNYCH
W POLSCE

Warszawa 2005

Redakcja naukowa
Maria STOPA-BORYCZKA
Jerzy BORYCZKA

Redaktor
Władysław ŻAKOWSKI

Opracowanie edytorskie
Jan SKRZYPCZUK

© Copyright by Wydział Geografii i Studiów Regionalnych 2005

ISBN 83-89502-07-0

Skład i łamanie
Jan SKRZYPCZUK

Druk i oprawa: Zakład Graficzny UW, zam. nr 426/06

SPIS TREŚCI

I.	WPROWADZENIE	7
II.	OKRESOWE ZMIANY AKTYWNOŚCI SŁOŃCA W LATACH 1700-2002	11
1.	Daty minimów i maksimów plam słonecznych w cyklu 11-letnim	11
2.	Okresy aktywności Słońca wyznaczone metodą „sinusoid regresji”	14
3.	Okresy wiekowe i dwuwiekowe aktywności Słońca	15
III.	OKRESOWE ZMIANY OSCYLACJI PÓŁNOCNOATLANTYCKIEJ (NAO) W LATACH 1825-2000	21
1.	Okresowe zmiany Oscylacji Północnoatlantyckiej	23
2.	Tendencje zmian Oscylacji Północnoatlantyckiej	25
IV.	OCHŁODZENIA I OCIEPLENIA KLIMATU EUROPY W OSTATNICH STULECIACH	29
1.	Okresowe zmiany temperatury powietrza w Europie	30
2.	Mroźne i łagodne zimy oraz ciepłe i chłodne lata	34
3.	Zmiany temperatury powietrza w Europie w XVIII-XXI wieku	35
V.	CECHY OCEANICZNE I KONTYNENTALNE KLIMATU EUROPY ..	131
1.	Profile temperatury powietrza (południkowy, równoleżnikowy i hipsometryczny)	131
2.	Gradienty horyzontalne w °C/100 km	137
VI.	ZAKOŃCZENIE	175
	SUMMARY	179
	LITERATURA	181

I. WPROWADZENIE

Treść XIX tomu Atlasu nawiązuje bezpośrednio do tomu XVII dotyczącego mroźnych i łagodnych zim oraz najcieplejszych i chłodnych okresów letnich w Polsce na tle Europy i do tomu VIII poświęconego cechom oceanicznym klimatu Europy ze szczególnym uwzględnieniem Polski (Boryczka, Stopa-Boryczka i inni 1994, 2003).

Celem tego tomu Atlasu jest określenie zmian cech termicznych klimatu Europy w XVIII-XIX wieku z wyeksponowaniem ich przyczyn.

Najpierw uaktualniono cykliczność i tendencje zmian aktywności Słońca na podstawie danych z lat 1700-2002 a potem okresowość Oscylacji Północnoatlantyckiej (NAO) w latach 1825-2000 (rozdz. II i III).

Oryginalną część pracy stanowi rozdział IV pt. *Ochłodzenia i ocieplenia klimatu Europy*. Zawiera on wykresy widm i przebiegów wieloletnich temperatury powietrza wraz z prostymi regresjami, w miesiącach zimowych (w styczniu) i letnich (w lipcu) w 40 miejscowościach europejskich. Widma temperatury powietrza wyznaczono metodą sinusoid regresji, a tendencje zmian określono równaniami prostych regresji. Szczególne znaczenie mają jednak prognozy temperatury powietrza do 2100 roku na podstawie interferencji silniejszych cykli zawartych w widmach. Prognozy wskazują na naturalne ochłodzenie klimatu Europy w XXI wieku. Według tych prognoz, w XXI wieku można oczekiwać ochłodzenia (więcej mroźnych zim), które częściowo może być złagodzone przez czynniki antropogeniczne (efekt cieplarniany i miejskie wyspy ciepła). W prognozach przyjęto założenie, że ekstrema wykrytych cykli (obecnych w widmach temperatury powietrza) o dość dużych amplitudach (istotnych statystycznie) będą się powtarzać nadal, tak jak w XVIII-XX wieku.

W tabelach zestawiono po 10 najmroźniejszych i najchłodniejszych stycznów i po 10 najcieplejszych i najchłodniejszych lipców w XVIII -XX wieku.

Ochłodzenia i ocieplenia klimatu są kształtowane wahaniem dopływu energii słonecznej do powierzchni Ziemi, zależnej od aktywności Słońca (stałej słonecznej) i zawartości pyłów wulkanicznych w atmosferze – pochłaniających i rozpraszających promieniowanie słoneczne.

Najbardziej poznane (na podstawie danych instrumentalnych) jest ostatnie, największe ochłodzenie w Europie. Trzeba zauważyć, że wystąpiło ono podczas trzech najsłabszych, wydłużonych (12-13-letnich) cykli aktywności Słońca (1798-1833). Ochłodzenie to pojawiło się w czasie najsłabszego 13 letniego cyklu plam słonecznych (1811-1823), podczas absolutnego minimum wiekowego (od 1700 r.). To ostatnie globalne ochłodzenie klimatu (także w Europie) wystąpiło podczas wzmożonej aktywności wulkanicznej, po największych wybuchach wulkanów: 1803 – Cotopaxi, 1815 – Tambora, 1835 – Cosequina.

Temperatura powietrza podczas zim w Europie w 1830 roku wynosiła: -10,4 Lwów, -10,3 Kraków, -10,3 Wrocław, -10,1 Kijów, -9,7 Warszawa, -9,7 Wilno, -6,7 Wiedeń, -6,6 Berlin, -6,1 Praga, -5,4 Bazylea, -5,0 Budapeszt, -4,5 Kopenhaga, -3,5 Genewa.

Ocieplenie klimatu w XIX-XX wieku było wywołane wzrostem aktywności Słońca i spadkiem aktywności wulkanicznej na Ziemi oraz wzrostem efektu cieplarnianego atmosfery.

W Europie przede wszystkim zimy są coraz cieplejsze. Na przykład w Warszawie zimy są cieplejsze o $1,1^{\circ}\text{C}/100$ lat, a lata chłodniejsze prawie o $0,1^{\circ}\text{C}/100$ lat. Jeszcze większy wzrost temperatury powietrza podczas zimy występuje w Krakowie – $1,5^{\circ}\text{C}/100$ lat i Moskwie – $1,6^{\circ}\text{C}/100$ lat. Średnia roczna temperatura powietrza wzrasta w Warszawie – o $0,6^{\circ}\text{C}$; Krakowie – o $0,8^{\circ}\text{C}$; Moskwie – o $0,7^{\circ}\text{C}$ na 100 lat.

Nie wiadomo jaka część postępującego ocieplenia klimatu jest efektem oddziaływaniami czynników naturalnych, a jaka – czynników antropogenicznych.

Do mroźnych okresów w drugiej połowie XX wieku można zaliczyć także zimę z 1963 r. – -9,7 Mińsk, -9,5 Warszawa, -8,4 Wrocław, -8,4 Lwów, -7,8 Oslo, -6,9 Praga, -6,9 Kraków, -5,7 Poczdam, -5,7 Innsbruck, -3,6 Zagrzeb.

Najługodniejsze zimy wystąpiły w ostatniej dekadzie XX wieku: 1990 – Marsylia (9,7), Berlin (4,3), Poczdam (4,0), Wrocław (3,2), Odessa (2,9), Warszawa (2,3), Lwów (1,0), Kijów (0,9), Mińsk (0,0), 1998 – Wiedeń (3,6), Innsbruck (2,5), 2001 – Zagrzeb (5,2).

Najcieplejsze pory letnie wystąpiły: w 1811 – Budapeszt (24,1), Wiedeń (22,4), Warszawa (21,4), Wilno (20,6), Monachium (18,9), w 1992 – Wiedeń (21,7), Kijów (21,4), Wrocław (20,3), Poczdam (20,1), Kraków (20,1), Mińsk (19,2), w 1999 – Ateny (28,9), Odessa (23,5), Kijów (21,5), Mińsk (20,0).

Na klimat Europy dominujący wpływ mają dwa główne centra pola ciśnienia atmosferycznego: Niż Islandzki i Wyż Azorski. Te dwa centra ciśnienia związane z różnicą temperatury między wodą Atlantyku Północnego i lądem są w ciągu roku ze sobą ujemnie skorelowane. O wpływie aktywności Słońca na cyrkulację atmosfery (na dystrybucję ciepła na Ziemi) świadczą analogiczne cykle cyrkulacji atmosfery i liczb Wolfa, a także temperatury powietrza.

Wskaźnik NAO w latach 1825-2000 cechuje się okresowością 8-letnią, kilkunastoletnią i 106,3 letnią, a temperatura powietrza w Europie cechuje się okresowością 8, 11, 100 i 180-letnią.

Temperatura powietrza podczas zim w Warszawie i wskaźnik NAO cechuje analogiczna cykliczność z dominującym okresem 7, 8-letnim. Podobieństwo tych cykli świadczy, iż zimy w Warszawie są kształtowane przez okresowe wahania Oscylacji Północnoatlantyczkiej NAO (cyrkulacji strefowej). Oto zimowe okresy około 8-letnie temperatury powietrza na innych stacjach w Europie i ich amplitudy: Kraków – 8,3 (1,87°C), Wrocław – 8,3 (1,53 °C), Lwów – 8,3 (1,30°C), Praga – 8,3 (1,06°C), Berlin – 7,7 (1,54°C), Genewa – 7,7 (0,62°C), Wiedeń – 8,3 (0,87°C), Rzym – 7,9 (0,30°C), Sztokholm – 7,8 (1,33°C), Kopenhaga – 7,8 (1,24°C), Moskwa – 7,9 (0,76°C).

W lecie okresowość jest zbliżona, amplitudy są prawie o połowę mniejsze.

Dużą rolę w kształtowaniu klimatu odgrywają długie cykle: 102 i 187 – letnie aktywności Słońca. Analogiczne okresy są obecnie w widmach temperatury powietrza. Oto zimowe cykle około 100-letnie temperatury powietrza w Europie: Warszawa – 113,4; Kraków – 90,0 ; Wrocław – 123,3; Lwów – 108,8; Praga – 116,3; Wiedeń – 89,8; Bazylea – 85,5; Kopenhaga – 80,5; Sztokholm – 86,3; Uppsala – 102,7.

W pracy (rozdział V) określono też najważniejsze cechy termiczne klimatu Europy, wynikające z jej położenia w umiarkowanych szerokościach geograficznych – w sąsiedztwie Oceanu Atlantyckiego i strefowego ukształtowania jej powierzchni.

W tym celu, pole temperatury powietrza w Europie w obszarze: $15^{\circ}\text{N} < \varphi < 85^{\circ}\text{N}$, $15^{\circ}\text{W} < \lambda < 180^{\circ}\text{E}$ opisano empirycznymi modelami – wielomianami regresji $T(\varphi, \lambda, H)$ względem współrzędnych położenia (φ i λ) oraz wysokości nad poziomem morza (H).

Symulują one zarówno zmienność strefową temperatury powietrza (uwarunkowaną dopływem promieniowania słonecznego) jak też oddziaływanie Oceanu Atlantyckiego oraz wpływ wysokości nad poziomem morza.

Dobrym narzędziem badań ogólnych cech termicznych klimatu tego obszaru okazały się wielomiany pierwszego stopnia.

Zmiany południkowe temperatury powietrza spełniają zasadę strefowości klimatu w ciągu całego roku. Średni gradient południkowy na badanym obszarze wynosi - $0,5^{\circ}\text{C}/1^{\circ}\varphi$. To znaczy, że temperatura powietrza spada ze wzrostem szerokości geograficznej – średnio o $0,5^{\circ}\text{C}/1^{\circ}\varphi$.

Gradient równoleżnikowy temperatury powietrza charakteryzuje zmienność z zachodu na wschód – wzrost w $^{\circ}\text{C}/1^{\circ}\lambda$. Natomiast gradient hipsometryczny temperatury powietrza opisuje jej spadek o $0,6^{\circ}\text{C}/100 \text{ m}$ ze wzrostem wysokości nad poziomem morza.

Cechy oceaniczne i kontynentalne klimatu Europy dobrze charakteryzuje profil równoleżnikowy amplitudy rocznej i jej gradient. Te średnie gradienty temperatury

powietrza – określone wielomianami pierwszego stopnia nie różnią się od znanych w literaturze. Gradient hipsometryczny – $0,6^{\circ}\text{C}/100\text{ m}$ jest zbliżony do gradientu wilgotnoadiabatycznego w swobodnej atmosferze.

Na końcu zamieszczono mapy izoterm średnich wartości temperatury powietrza w poszczególnych miesiącach, porach roku i roku w latach 1961-1990.

Ciągi chronologiczne średnich miesięcznych wartości temperatury powietrza w niektórych miejscowościach europejskich w XVIII-XX wieku zaczerpnięto z internetu:
http://data.giss.nasa.gov/gistemp/station_data/.

II. OKRESOWE ZMIANY AKTYWNOŚCI SŁOŃCA W LATACH 1700-2002

Jedną z głównych naturalnych przyczyn współczesnych zmian klimatu jest aktywność Słońca, tzn. wszystkie okresowe zjawiska na nim zachodzące.

Cykliczne zmiany zachodzące na Słońcu (zmienność promieniowania krótkofałowego i pola magnetycznego plam słonecznych) odgrywają największą rolę w kształtowaniu zmian klimatu Ziemi, głównie przez zmiany stałej słonecznej. Przenoszone są one także na Ziemię poprzez jonosferę, warunkującą cyrkulację atmosferyczną – ruch cyklonów i antycyklonów głównie w początkowej fazie ich rozwoju (Rakipowa 1960).

O wpływie aktywności Słońca na cyrkulację atmosferyczną (na dystrybucję ciepła na Ziemi) świadczą analogiczne cykle cyrkulacji (wschodniej, zachodniej, południkowej, strefowej i cykonalnej) i liczb Wolfa, a także parametrów Układu Słonecznego. Na przykład najsilniejszy cykl 30,5 lat cyrkulacji zachodniej jest prawie taki sam, jak najsilniejszy cykl (29,5 lat) dyspersji masy planet względem ekiptyki.

Cykliczną zmienność plam słonecznych stwierdzono już dawno (Swabe 1843, Wolf 1869-72). Najbardziej rozpowszechnionym wskaźnikiem aktywności Słońca w badaniach statystycznych są tzw. liczby Wolfa (liczby względne):

$$W = k (10g + f)$$

gdzie: f – liczba pojedynczych (wyodrębnionych) plam słonecznych,

g – liczba grup plam,

k – współczynnik korygujący różne serie obserwacyjne.

1. Daty minimów i maksimów plam słonecznych w cyklu 11-letnim

Miesięczne wartości liczb Wolfa w latach 1749-1993 i średnie roczne liczby Wolfa w latach 1700–1993 przedstawiono we wcześniejszych publikacjach (Boryczka, Stopa-Boryczka i inni 1997).

Natomiast daty minimów (W_{\min}) i maksimów (W_{\max}) plam słonecznych oraz długości poszczególnych cykli około 11-letnich podano w tab. 2.1 (z pracy Boryczki 1998). Naj-

mniejszą aktywnością słoneczną cechował się cykl 13-letni (1811-1823), a największą – cykl 10-letni (1955-1964) o maksimum absolutnym (od 1700 roku) plam słonecznych $W_{\max} = 189,9$ w roku 1957. Długość cykli wg obserwacji zmienia się od 9 do 14 lat.

Tab. 2.1. Cykle około 11-letnie liczb Wolfa: daty, długość, wartości ekstremalne W_{\min} i W_{\max}

Tab. 2.1. The close-to-11-years cycles of the Wolf numbers: dates, lengths, extremal values W_{\min} and W_{\max}

Cykle	Długość	W_{\min}	t_{\max}	W_{\max}
-1712	–	5,0	1705	58,0
1713-1723	11	0,0	1717	63,0
1724-1733	10	11,0	1728	103,0
1734-1744	11	5,0	1738	111,0
1745-1755	11	5,0	1750	83,4
1756-1766	11	9,6	1761	85,9
1767-1775	9	11,4	1769	106,1
1776-1784	9	7,0	1778	154,4
1785-1798	14	10,2	1787	132,0
<u>1799-1810</u>	12	4,0	1804	47,5
<u>1811-1823</u>	13	0,0	1816	45,8
1824-1833	10	1,8	1830	71,0
1834-1843	10	8,5	1837	138,3
1844-1856	13	10,7	1848	124,9
1857-1867	11	4,3	1860	95,7
1868-1878	11	7,3	1870	139,1
1879-1889	11	3,4	1883	63,7
1890-1901	12	6,3	1893	84,9
1902-1913	12	2,7	1905	62,0
1914-1923	10	1,4	1917	103,9
1924-1933	10	5,8	1928	77,8
1934-1944	11	5,7	1937	114,4
1945-1954	10	9,6	1947	151,6
<u>1955-1964</u>	10	4,4	<u>1957</u>	189,9
1965-1976	12	10,2	1968	105,9
1977-1986	10	13,9	1979	155,3
1987-1996	10	11,0	1989	157,8
1997-2006	10	8,6	2000	119,5

W latach 1700-2000 wystąpiły dwa najsłabsze wydłużone cykle: 1799-1810, 1811-1823 (12 i 13-letnie) oraz dwa najsilniejsze skrócone cykle: 1945-1954, 1955-1964 (10-letnie, tab. 2.1).

Tab. 2.2. Zmiany aktywności Słońca podczas dwóch najsłabszych i dwóch najsilniejszych cykli około 11-letnich

Tab. 2.2. Changes of solar activity during two weakest and two strongest close-to-11-year cycles

Cykle o maksimach 47,5 i 45,8			Cykle o maksimach 151,6 i 189,9			
1799	6,8	1811	1,4	1945	3,32	1955
1800	14,5	1812	5,0	1946	92,6	1956
1801	34,0	1813	12,2	<u>1947</u>	<u>151,6</u>	<u>1957</u>
1802	45,0	1814	13,9	1948	136,2	1958
1803	43,1	1815	35,4	1949	135,1	1959
<u>1804</u>	<u>47,5</u>	<u>1816</u>	<u>45,8</u>	1950	83,9	1960
1805	42,2	1817	41,1	1951	69,4	1961
1806	28,1	1818	30,4	1952	31,4	1962
1807	10,1	1819	23,9	1953	13,9	1963
1808	8,1	1820	15,7	1954	4,4	1964
1809	2,5	1821	6,6			
1810	0,0	1822	4,0			
		1823	1,8			

W latach 1700-2002 zaobserwowano niecałe 28 cykli plam słonecznych, o nieco różnej długości i odmiennych maksimach. Aproxymując równaniem sinusoidy regresji (wg najmniejszych kwadratów):

$$W = a_0 + b \sin(2\pi t/\Theta + c)$$

przy zmiennym okresie Θ co 0,1 roku w przedziale 2,1-250 lat, otrzymuje się pasmo 10,5-11,5 lat widma z maksimum $\Theta_{\max} = 11,0$ lat, o amplitudzie $b_{\max} = 24,94$ i fazie $c = 1,1335$. Są to więc średnie parametry sinusoidy w przedziale aproksymacji $0 < t \leq 303$ ($t = 0$ to rok 1699, nie średnie arytmetyczne). Szerokość pasma widma, w którym znajduje się minimum wariancji resztowej ε^2 (maksimum współczynnika korelacji R , maksimum amplitudy b), jest miarą dyspersji okresu Θ .

W sensie matematycznym liczba Θ jest okresem funkcji $y = f(t)$, gdy $f(t + \Theta) = f(t)$. Okres zjawisk przyrodniczych wyznaczony wszystkimi metodami statystycznymi ma inny sens matematyczny:

$$f(t_i + \Theta) = f(t_i) + \varepsilon_i$$

gdzie: ε_i – jest resztą (składnikiem losowym).

2. Okresy aktywności Słońca wyznaczone metodą „sinusoid regresji”

Okresy liczb Wolfa, wyznaczone metodą „sinusoid regresji” z odstępem $\Delta\Theta = 0,1$ roku w przedziale 2,1-250 lat znajdują się w X tomie *Atlasu współzależności meteorologicznych i geograficznych w Polsce* z wyodrębnionym podtytułem *Cykliczne zmiany aktywności Słońca i cyrkulacji atmosferycznej w Europie* (Boryczka, Stopa-Boryczka i inni 1997).

Widma średnich miesięcznych liczb Wolfa w latach 1749-2002 (styczeń, lipiec) przedstawiono na rys. 2.1, a średnich rocznych w latach 1749-2002 i 1700-2002 na rys. 2.2.

Okresy Θ i maksima wartości współczynnika korelacji $R = (1-\varepsilon^2/s^2)^{0.5}$ podane w tabeli 3.3 charakteryzują widma średnich rocznych liczb Wolfa w latach 1700-2002. Amplitudy b_j i fazy c_j dotyczą superpozycji cykli:

$$W = a_0 + at + \sum b_j \sin(2\pi t/\Theta_j + c_j)$$

ze składnikami liniowymi $a_0 + at$ (1700-2002, $R = 0,856$, $a = 0,0747$; 1749-2002, $R = 0,870$, $a = 0,0964$):

Daty maksimów t_{\max} , W_{\max} , i minimów t_{\min} , W_{\min} cyklu o długości Θ określają wzory:

$$t_{\max} = \left(\frac{\pi}{2} - c\right) \frac{\Theta}{2\pi}, \quad t_{\min} = \left(\frac{3\pi}{2} - c\right) \frac{\Theta}{2\pi}$$

i początek $t = 0$ osi czasu (daty 1699, 1748); Data = 1699 + t lub Data = 1748 + t .

Tab. 2.3. Okresy, amplitudy (b) i fazy (c) aktywności Słońca w latach 1700-2002 i 1749-2002 (R – współczynnik korelacji)

Tab. 2.3. Periods, amplitudes (b) and phases(c) solar activity in the years 1700-2002 and 1749-2002 (R – correlation coefficient)

1700–2002				1749–2002			
Θ_j	R_j	B_j	c_j	Θ_j	R_j	b_j	c_j
8,5	0,183	9,752	-1,7774	8,5	0,230	10,851	0,2849
10,0	0,423	19,396	2,2885	10,0	0,433	20,417	2,4512
10,6	0,410	14,609	-2,7747	10,6	0,402	17,400	2,8313
<u>11,0</u>	<u>0,524</u>	<u>24,941</u>	1,1335	<u>11,0</u>	<u>0,500</u>	<u>31,455</u>	1,1202
12,0	0,265	12,280	-1,2397	11,8	0,277	15,918	-2,5087
53,1	0,203	10,463	-2,2096	54,0	0,201	10,625	1,2938
103,6	0,287	13,803	1,7921	105,0	0,277	16,507	-3,0362
188,7	0,225	7,956	-1,1696	—	—	—	—

Długość cyklu 11-letniego, wyznaczonego na podstawie serii obserwacji plam słonecznych 1700-2002 i 1749-2002, jest taka sama, $\Theta = 11,0$ lat. Cykl ten nieco różni się amplitudą i oczywiście fazą:

	Θ	$2b$	c	R
1700-2002	11,0	49,9	1,1335	0,524
1749-2002	11,0	62,91	1,1202	0,500

Cykl 11-letni aktywności Słońca w latach 1700-2002 opisuje równanie sinusoidy regresji: $W = 50,207 + 24,941\sin(2\pi t/11,0 + 1,1335)$ o zakresie wahań $W_{\max} - W_{\min} = 49,88$.

Wyodrębniając poszczególne miesiące (np. wszystkie stycznie z lat 1749-2002) otrzymuje się prawie taką samą długość cyklu 11,0 lat.). Zakres wahań liczb Wolfa w cyklu 11-letnim nieco różni się w poszczególnych miesiącach. Najmniej różnicą się liczby Wolfa w ciągu roku podczas najsłabszego cyklu 13-letniego (1811-1823), a najbardziej w roku wystąpienia maksimum absolutnego (1957):

	I	II	III	IV	V	VI	VII	VIII	IX	X	XI	XII
1823	0,0	0,0	0,6	0,0	0,0	0,0	0,5	0,0	0,0	0,0	0,0	20,4
1957	165,0	<u>130,2</u>	157,4	175,2	164,6	200,7	187,2	158,0	235,8	253,8	210,3	239,4

Liczby Wolfa w październiku 1957 roku (253,8) są prawie o 100% większe niż w lutym tego roku (130,2). Przyczyna rozbieżności jest nieznana, częściowo możemy ją wytłumaczyć zmętnieniem atmosfery ziemskiej.

Cykl roczny aktywności Słońca w latach 1749-1980 o amplitudzie 0,94 cechuje się nieistotnym statystycznie współczynnikiem korelacji $R = 0,015$.

$$W = 50,54 + 0,936\sin(2\pi t + 2,474)$$

Tak więc nie ma statystycznych błędów w obserwacjach plam słonecznych, zależnych od zmian rocznych zmętnienia atmosfery. Nie ma też istotnej zależności liczby plam słonecznych od grawitacyjnego oddziaływanego Ziemi na Słońce w jej ruchu obiegowym po orbicie.

Okręsem o połowę mniejszej amplitudzie jest cykl 12-letni:

	Θ	$2b$	c	R
1700-2002	12,0	24,56	1,4911	0,265
1749-2002	11,8	31,84	-2,5067	0,266

bardzo zbliżony do okresu obiegu Jowisza (11,86 lat) dookoła Słońca.

3. Okresy wiekowe i dwuwiekowe aktywności Słońca

Dużą amplitudę ma także cykl wiekowy aktywności Słońca

$$W = 50,207 + 13,803\sin(2\pi t/103,6 + 1,7921)$$

Parametry tego cyklu wyznaczone na podstawie dwóch serii obserwacji mało się różnią:

	Θ	R	$2b$	c
1700-2002	103,6	0,287	27,606	1,7921
1749-2002	105,0	0,277	33,214	-3,0321

Zbliżone są także daty ekstremów aktywności Słońca (minimów W_{\min} i maksimów W_{\max}):

1700-2002		1749-2002	
W_{\min}	W_{\max}	W_{\min}	W_{\max}
1602	1654	1599	1652
1706	1758	1704	1757
1810	1861	1809	1862
1913	1965	1914	1967
2017	2069	2019	2072

Aktywność Słońca w latach 1700-2002 w cyklu 103,6-letnim wała się w przedziale $a_0 \pm b$, czyli od 36,7 do 63,7 ($a_0 = 50,207$).

Na podstawie danych z lat 1700-2002 ($n = 303$) wyznaczony został najdłuższy okres $\Theta = 188,7$ lat, o najmniejszej amplitudzie:

$$W = 50,207 + 7,956 \sin(2\pi t/188,7 - 1,1696)$$

Oto daty minimów (W_{\min}) i maksimów (W_{\max}) aktywności Słońca w tym prawie dwuwiekowym cyklu:

1700-2002	
W_{\min}	W_{\max}
1498	1592
1686	1781
1875	1969
2064	2158

Minimum w tym 189-letnim cyklu aktywności Słońca przypada na połowę przeszłego wieku (rok 2064).

Tendencje aktywności Słońca A w latach 1749-2002 i 1700-2002 określają równania prostych regresji $W = A_0 + A t$ na rys. 2.3-2.6; rys. 2.3 – styczeń, rys. 2.4 – lipiec, rys. 2.5 – rok (1749-2002), rys. 2.6 – rok (1700-2002). Wykresy przedstawiają zarówno wartości zmierzone jak też wyznaczone z funkcji aproksymujących $W = f(t)$. Prognowowane zmiany aktywności Słońca w latach 2002-2100 wynikają z interferencji cykli liczb Wolfa (z uwzględnieniem składnika liniowego at i przy $a = 0$).

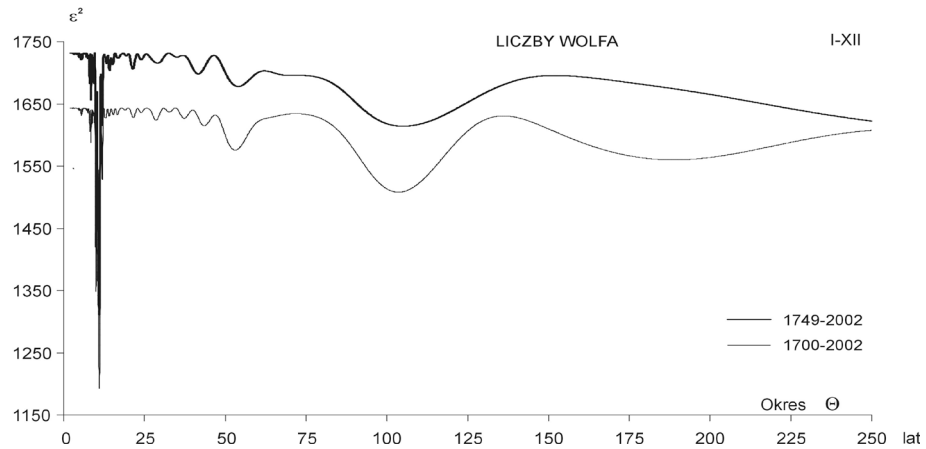
Roczne liczby Wolfa wzrosły w latach 1700-2002 i 1749-2000 – o 11,4/100 lat.

1700-2002	$W = 0,1141t - 160,959$	$R = 0,246$
1749-2002	$W = 0,1142t - 161,354$	$R = 0,201$

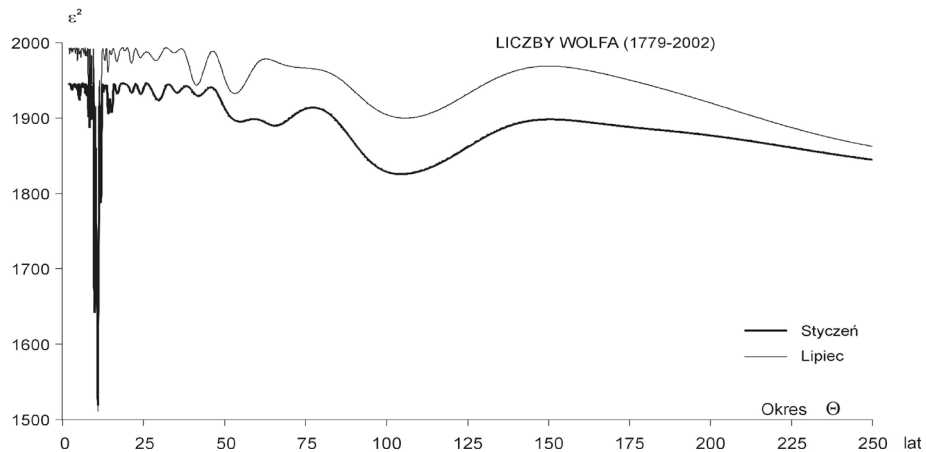
Tendencje miesięcznych liczb Wolfa (w latach 1749-2002 znacznie różnią się (wyrażone na 100 lat):

I	II	III	IV	V	VI	VII	VIII	IX	X	XI	XII
10,85	11,24	11,59	11,29	9,92	12,31	12,64	13,72	12,41	11,83	8,18	11,06

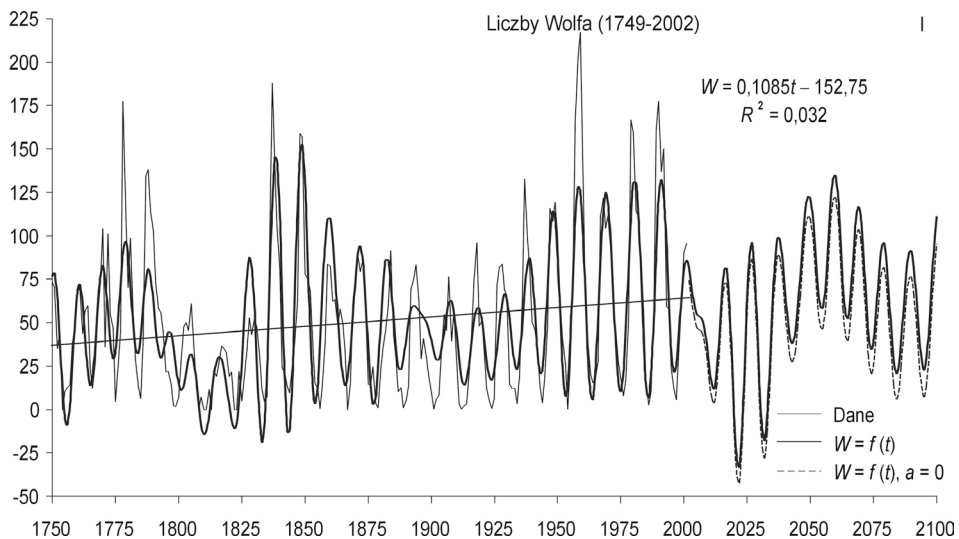
Wartości współczynnika regresji A zmieniają się od największej 13,7/100 lat w sierpniu do najmniejszej 8,2/100 lat w listopadzie. Interesująca jest pewna analogia cykliczności aktywności Słońca (liczb Wolf'a) w latach 1701-1879 i 1879-2058 po przesunięciu o 178,9 lat. Maksimum absolutne plam słonecznych w 1957 r. (189,9) pokrywa się z maksimum w roku 1778 (154,4). W latach 1811 i 1990, odległych od siebie o 179 lat, Słońce znajdowało się najbliżej środka masy Układu Słonecznego – w odległościach $0,140R_0$ i $0,152R_0$ (R_0 – promień Słońca). Przyspieszenie Słońca bezpośrednio przed tymi datami zmieniało się od -0,5 do 4,5; natomiast po tych datach malało od 4,5 do -0,5.



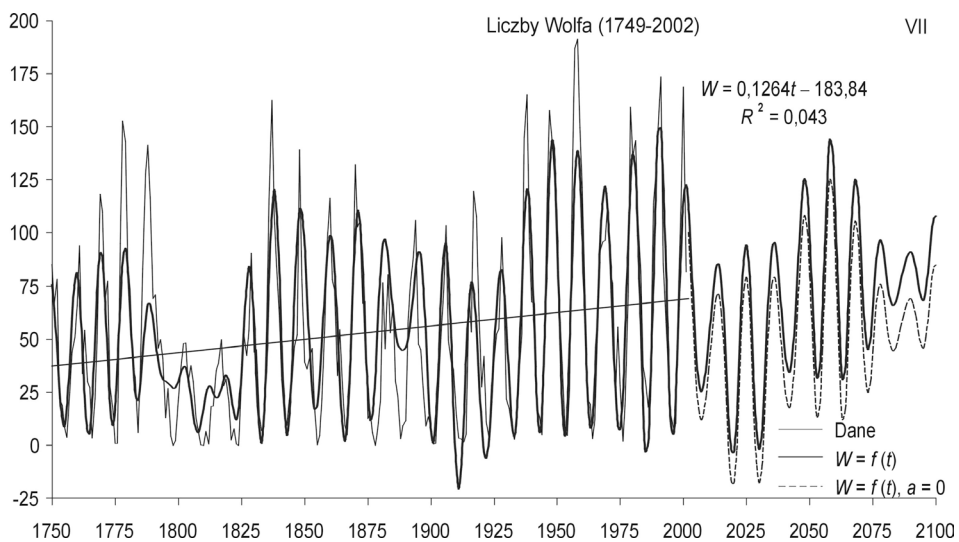
Rys. 2.1. Widma aktywności Słońca w latach 1949-2002 i 1700-2002 – rok
Fig. 2.1. Spectra of Sun activity in years 1749-2002 and 1700-2002 – year



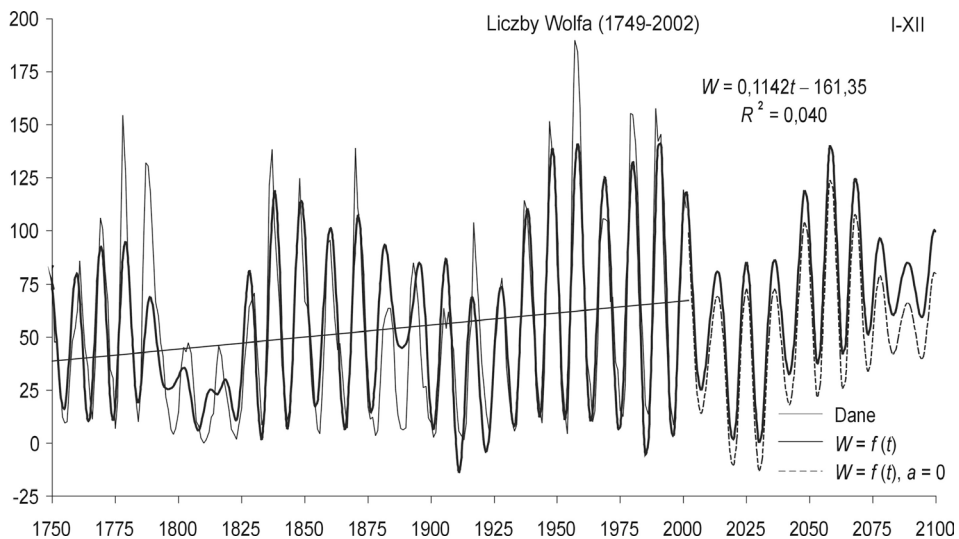
Rys. 2.2. Widma aktywności Słońca w latach 1949-2002 – styczeń, lipiec
Fig. 2.2. Spectra of Sun activity in years 1749-2002 – January, July



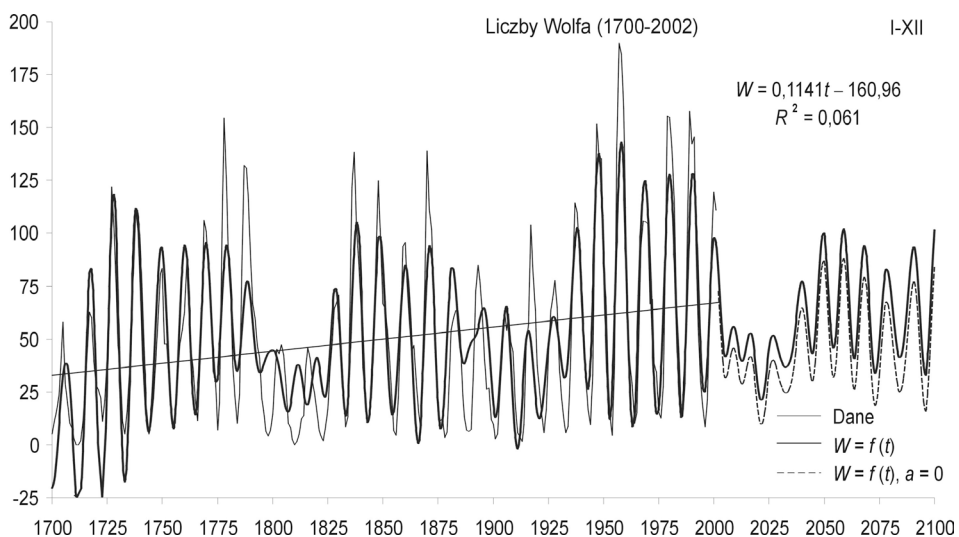
Rys. 2.3. Zmiany aktywności Słońca w latach 1749-2002 – prognoza w latach 2003-2100 – styczeń
Fig. 2.3. Changes of Sun activity in years 1749-2002 – forecast in years 2003-2100 – January



Rys. 2.4. Zmiany aktywności Słońca w latach 1749-2002 – prognoza w latach 2003-2100 – lipiec
Fig. 2.4. Changes of Sun activity in years 1749-2002 – forecast in years 2003-2100 – July



Rys. 2.5. Zmiany aktywności Słońca w latach 1749-2002 – prognoza w latach 2003-2100 – rok
Fig. 2.5. Changes of Sun activity in years 1749-2002 – forecast in years 2003-2100 – year



Rys. 2.6. Zmiany aktywności Słońca w latach 1700-2002 – prognoza w latach 2003-2100 – rok
Fig. 2.6. Changes of Sun activity in years 1700-2002 – forecast in years 2003-2100 – year

III. OKRESOWE ZMIANY OSCYLACJI PÓŁNOCNOATLANTYCKIEJ (NAO) W LATACH 1825-2000

Na klimat Europy (i Polski) dominujący wpływ mają dwa główne centra pola ciśnienia atmosferycznego: Niż Islandzki i Wyż Azorski. W zimie decydujący wpływ na kształtowanie pogody w Polsce ma Niż Islandzki, który cechuje się najniższym ciśnieniem 995 hPa i sięga przez morza Norweskie i Barentsa, aż po Spitsbergen. Wtedy w centrum Wyżu Azorskiego ciśnienie wynosi ponad 1020 hPa, a przez środek Europy (przez południową Polskę) przebiega równoleżnikowo pas (wał) wysokiego ciśnienia, który przechodzi za południkiem 40°E w rozległy wyż kontynentalny z centrum nad Syberią. W lecie Niż Islandzki słabnie (do 1010 hPa), a aktywnia się Wyż Azorski, w którym ciśnienie przekracza 1025 hPa. Wyż ten często wnika w głębi Europy, wzdłuż Alp, aż po Ukrainę, wzmagając napływ powietrza wilgotnego znad Atlantyku (tzw. monsun europejski).

Te dwa centra ciśnienia związane z różnicą temperatury między wodą Atlantyku Północnego i lądem są w ciągu roku ze sobą ujemnie skorelowane. Jeżeli ciśnienie w Wyżu Azorskim maleje, to ciśnienie w Niżu Islandzkim – rośnie i przeciwnie. Jest to tzw. Oscylacja Północnego Atlantyku (North Atlantic Oscillation, NAO)

Przy dużej południkowej różnicy ciśnienia tj. dużym gradiencie ciśnienia skierowanym na północ, powietrze znad Atlantyku przemieszcza się wzdłuż równoleżników z zachodu na wschód – nad obszar Polski. Natomiast podczas spadku ciśnienia w Wyżu Azorskim (i jednocześnie wzrostu ciśnienia w Niżu Islandzkim) poziomy gradient ciśnienia może być skierowany na wschód lub zachód. Wtedy powietrze przemieszcza się wzdłuż południków (cyrkulacja południkowa) na południe lub północ. Wówczas nad obszar Polski napływa powietrze z północy lub południa.

Na dużych wysokościach przy izobarach równoległych, powietrze przemieszcza się wzdłuż izobar (wektor prędkości ruchu powietrza V jest równoległy do izobar). Jest to wynikiem równoważenia się sił: siły gradientowej ciśnienia G i siły Coriolisa C ($G = C$). Siła gradientowa ciśnienia $G = P_n \cdot \rho^{-1}$ jest prostopadła do izobar i skierowana w stronę niższego ciśnienia (P_n – gradient ciśnienia, ρ – gęstość powietrza). Wektor siły Coriolisa

$\mathbf{C} = 2\omega v \sin \varphi$ – jest prostopadły do wektora prędkości \mathbf{V} (ω – prędkość kątowa Ziemi, v – prędkość wiatru, φ – szerokość geograficzna). W pobliżu powierzchni Ziemi, siła tarcia o podłożę $\mathbf{T} = -k\mathbf{V}$ odchyla wektor prędkości \mathbf{V} w stronę mniejszego ciśnienia, a lepkość turbulencyjna μ nieco zmniejsza to odchylenie. W cyklonach (niżach) i antycyklonach (wyżach) należy uwzględnić dodatkową siłę odśrodkową $F_r = v^2 \cdot r^{-1}$ (r – promień krzywizny).

Na większych wysokościach kierunek wiatru gradientowego jest deformowany przez pole temperatury powietrza – o poziomym gradiencie skierowanym ku biegunowi północnemu – przez wiatr tzw. termiczny (wiejący wzduż izoterm, a więc też wzduż równoleżników z zachodu na wschód).

Klimat Zachodniej i Środkowej Europy (także Polski) jest kształtowany przez cyrkulację strefową, uwarunkowaną południkowym gradiensem ciśnienia atmosferycznego \mathbf{P}_n ($-\frac{\partial P}{\partial \varphi}$). W zimie obserwuje się zależność zmian cyrkulacji strefowej od pola temperatury wody Północnego Atlantyku. Jako miarę południkowego gradiensu ciśnienia przyjęto wskaźnik NAO (North Atlantic Oscillation), zdefiniowany przez P.D. Jonesa i innych (1997). Jest to różnica ciśnienia atmosferycznego na poziomie morza między Gibraltarem i Południowo-Zachodnią Islandią. Wartości wskaźnika NAO określają równoleżnikowy transport mas powietrza: w kierunku wschodnim – $NAO > 0$ i południowym – $NAO < 0$.

O dużej zależności klimatu Europy od Oscylacji Północnoatlantyczkiej w latach 1825-2000 świadczą istotne statystycznie współczynniki korelacji r między temperaturą powietrza np. w Warszawie i Lwowie a wskaźnikiem NAO (tab. 3.1).

Tab. 3.1. Zależność temperatury powietrza w Warszawie i Lwowie od Oscylacji Północnoatlantyczkiej (NAO, r – współczynnik korelacji)

Tab. 3.1. The dependence of air temperature in Warsaw and Lviv upon North Oscillation Atlantic (NAO, r – correlation coefficient)

Miesiąc	Warszawa	Lwów	Miesiąc	Warszawa	Lwów
<u>Styczeń</u>	<u>0,57</u>	<u>0,49</u>	Lipiec	0,13	0,15
<u>Luty</u>	<u>0,55</u>	<u>0,44</u>	Sierpień	0,08	0,16
<u>Marzec</u>	<u>0,49</u>	<u>0,40</u>	Wrzesień	0,27	0,22
Kwiecień	0,12	0,12	Październik	0,25	0,05
Maj	0,13	-0,02	<u>Listopad</u>	<u>0,38</u>	<u>0,20</u>
Czerwiec	0,13	0,05	<u>Grudzień</u>	<u>0,41</u>	<u>0,33</u>

Dodatnie wartości współczynnika korelacji (r) świadczą, że zimy są cieplejsze przy większych gradientach południkowych ciśnienia, a chłodniejsze – przy mniejszych.

Podczas intensywniejszej cyrkulacji strefowej (zachodniej) więcej ciepła zakumulowanego w wodach Północnego Atlantyku jest przekazywana atmosferze.

Pionowy strumień ciepła z oceanu do atmosfery deformuje globalną cyrkulację atmosferyczną. Zimowe wychłodzenie wód Północnego Atlantyku przy dużych południkowych gradientach ciśnienia (wskaźnika NAO) utrzymuje się nawet podczas całego lata.

1. Okresowe zmiany Oscylacji Północnoatlantyczkiej

Okrasowość Oscylacji Północnoatlantyczkiej określono na podstawie średnich miesięcznych i rocznych wartości wskaźnika NAO w latach 1825-2000.

Parametry cykli: okresy Θ , amplitudy b , fazy c , wyznaczono metodą „sinusoid regresji” J. Boryczki (1998), zmieniając okres z odstępem $\Delta\Theta = 0,1$ roku w przedziale 2,0-200 lat:

$$y = a_0 + b \sin\left(\frac{2\pi}{\Theta}t + c\right)$$

Okresy (Θ) – to minima lokalne ciągu wariancji resztowej ε^2 (maksima lokalne współczynnika korelacji R).

Wskaźnik NAO w latach 1825-2000 cechuje się okresowością kilku, kilkunastoletnią i około 100-letnią (tab. 3.2).

W widmach wskaźnika NAO w styczniu, lipcu i roku dominują cykle około 8-letnie (rys. 3.1-3.3).

Tab. 3.2. Okresy (Θ) Oscylacji Północnoatlantyczkiej NAO w latach 1825-2000 (R – współczynnik korelacji)

Tab. 3.2. The periods (Θ) of North Oscillation Atlantic NAO in years 1825-2000 (R – correlation coefficient)

Styczeń		Lipiec		Rok	
Θ	R	Θ	R	Θ	R
3,7	0,20	2,9	0,19	4,0	0,21
6,1	0,23	4,3	0,21	5,0	0,22
7,8	0,21	<u>4,6</u>	<u>0,24</u>	<u>7,8</u>	<u>0,29</u>
<u>8,3</u>	<u>0,23</u>	5,5	0,19	9,0	0,19
9,3	0,18	5,8	0,19	11,2	0,18
10,0	0,17	9,9	0,16	13,1	0,20
14,2	0,17	12,4	0,16	15,6	0,15
21,4	0,22	29,6	0,09	29,3	0,14
28,7	0,18	48,1	0,14	119,9	0,12
36,8	0,13	134,5	0,07		
67,3	0,20				
151,0	0,17				

Okresy (Θ) wskaźnika NAO w poszczególnych porach roku charakteryzuje tabela 3.3.

Tab. 3.3. Okresy (Θ) Oscylacji Północnoatlantyczkiej (NAO) w latach 1825-1998 (R – współczynnik korelacji)

Tab. 3.3. The periods (Θ) of North Oscillation Atlantic (NAO) in years 1825-1998 (R – correlation coefficient)

Wiosna		Lato		Jesień		Zima	
Θ	R	Θ	R	Θ	R	Θ	R
6,5	0,22	7,8	0,17	7,3	0,22	<u>7,8</u>	<u>0,27</u>
11,1	0,13	10,3	0,20	8,8	0,17	8,3	0,24
13,4	0,21	11,1	0,09	16,6	0,24	11,3	0,13
23,9	0,19	13,8	0,14	24,2	0,20	15,5	0,17
45,5	0,16	39,5	0,14	29,9	0,20	37,1	0,16
106,3	0,09	83,2	0,17	75,3	0,16	105,1	0,17

Interesujące jest porównanie dat maksimów zimowych cykli około 8-letnich NAO z zimowymi cyklami aktywności Słońca w latach 1825-1998:

$$\text{NAO } (R = 0,27) \quad NAO = 0,1315 + 0,4778 \sin\left(\frac{2\pi}{7,8}t - 0,1266\right),$$

$$\text{Liczby Wolfa } (R = 0,17) \quad W = 51,93 + 10,40 \sin\left(\frac{2\pi}{8,1}t + 2,8659\right),$$

Trzeba podkreślić, że w widmie przyspieszenia Słońca w jego ruchu dookoła środka masy Układu Słonecznego w latach 1749-1980 dominuje cykl 7,8-letni:

$$\ddot{s} = 0,667 + 1,130 \sin\left(\frac{2\pi}{7,75}t + 1,21\right)$$

Jest to okres, cechujący się największym współczynnikiem korelacji $R = 0,245$. Mało prawdopodobne jest, by ta zbieżność okresów i synchroniczność ekstremów w tych około 8-letnich cyklach: wskaźnika NAO, aktywności Słońca i przyspieszenia Słońca była przypadkowa.

W ciągach czasowych: wskaźnika NAO (zima – 11,3 lat, $R = 0,14$, lato – 10,3 lat, $R = 0,20$) występuje również cykliczność około 11-letnia synchroniczna z cyklem 11,0-letniego plam słonecznych:

$$\text{NAO} = 0,135 + 0,2381 \sin\left(\frac{2\pi}{11,3}t + 2,2315\right), \quad R = 0,135$$

$$W = 51,68 + 29,89 \sin\left(\frac{2\pi}{11,0}t + 0,9238\right), \quad R = 0,488$$

Maksima NAO i liczb Wolfa (W) występują prawie w tych samych latach:

NAO 1926 1937 1948 1959 1971 1982 1993 2005

Liczby Wolfa 1926 1937 1948 1959 1970 1981 1992 2003

Na uwagę zasługują zbliżone okresy Oscylacji Północnoatlantyczkiej (NAO) i ak-

tywności Słońca (liczb Wolfa) w latach 1951-2000. Wyróżnia się zimowy około 8-letni najsilniejszy cykl wskaźnika NAO ($\Theta = 8,1$ lat) i aktywności Słońca ($\Theta = 8,1$ lat) o współczynnikach korelacji $R = 0,40$ i $R = 0,36$ (tab. 3.4).

Tab. 3.4. Okresy (Θ) Oscylacji Północnoatlantyczkiej (NAO) i aktywności Słońca w latach 1951-2000
Tab. 3.4. The periods (Θ) of North Oscillation Atlantic (NAO) and Sun activity in years 1951-2000

Oscylacja Północnoatlantyczka (NAO)						Aktywność Słońca					
Zima			Lato			Zima			Lato		
Θ	$2b$	R	Θ	$2b$	R	Θ	$2b$	R	Θ	$2b$	R
2,7	1,13	0,32	2,9	0,69	0,29	3,3	11,4	0,07	3,9	14,0	0,11
<u>4,7</u>	1,16	<u>0,36</u>	5,9	0,82	0,360	5,3	26,8	0,18	5,3	17,2	0,14
6,8	1,08	0,25	<u>7,6</u>	0,65	<u>0,30</u>	<u>8,1</u>	38,6	<u>0,36</u>	<u>8,1</u>	41,0	<u>0,42</u>
<u>8,1</u>	1,38	<u>0,40</u>	<u>10,5</u>	0,67	<u>0,33</u>	<u>10,8</u>	141,0	<u>0,92</u>	<u>10,6</u>	121,8	<u>0,89</u>
<u>10,0</u>	1,13	<u>0,27</u>	15,3	0,57	0,30	15,8	5,8	0,25	15,3	14,2	0,30
15,0	0,96	0,20	22,3	0,17	0,12	25,5	27,2	0,26	25,6	29,6	0,27

2. Tendencje zmian Oscylacji Północnoatlantyczkiej (NAO)

Tendencje oscylacji Północnoatlantyczkiej (NAO) w latach 1825-1997 określają równania prostych regresji $NAO = A_0 + A t$ (tab. 3.5).

Tab. 3.5. Tendencje Oscylacji Północnoatlantyczkiej (NAO) w latach 1825-1997

Tab. 3.5. The tendency of North Oscillation Atlantic (NAO) in years 1825-1997

	$NAO = A_0 + A t$	$A - \text{na } 10 \text{ lat}$	r
Styczeń	$NAO = 0,404 + 0,001902 t$	0,019	0,051
Lipiec	$NAO = 1,082 - 0,006666 t$	-0,067	<u>-0,212</u>
Rok	$NAO = 0,275 - 0,001192 t$	-0,012	-0,120

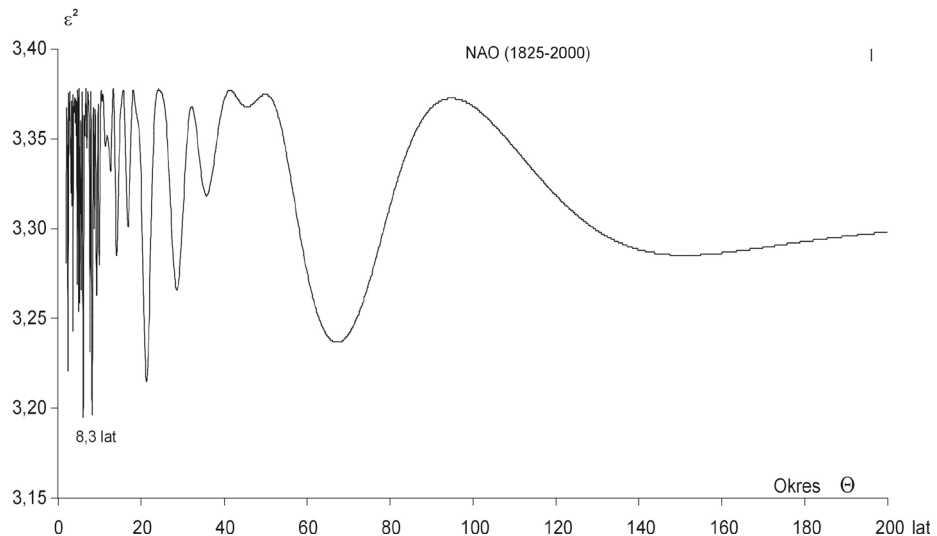
Tendencje wskaźnika NAO w latach 1825-1997 w miesiącach letnich są malejące: lipiec $A = -0,07/10$ lat. Średnia roczne wartości wskaźnika NAO w latach 1825-1997 maleją nieznacznie – o $0,012/10$ lat ($R = -0,120$).

Tendencje zmian NAO wynikają z aproksymacji łuków sinusoid o omówionych wcześniej okresach. Jeżeli aproksymujemy sinusoidę równaniem prostej w przedziale od minimum do maksimum to tendencja $\frac{\partial NAO}{\partial t} = a > 0$ (jest rosnąca). W przypadku

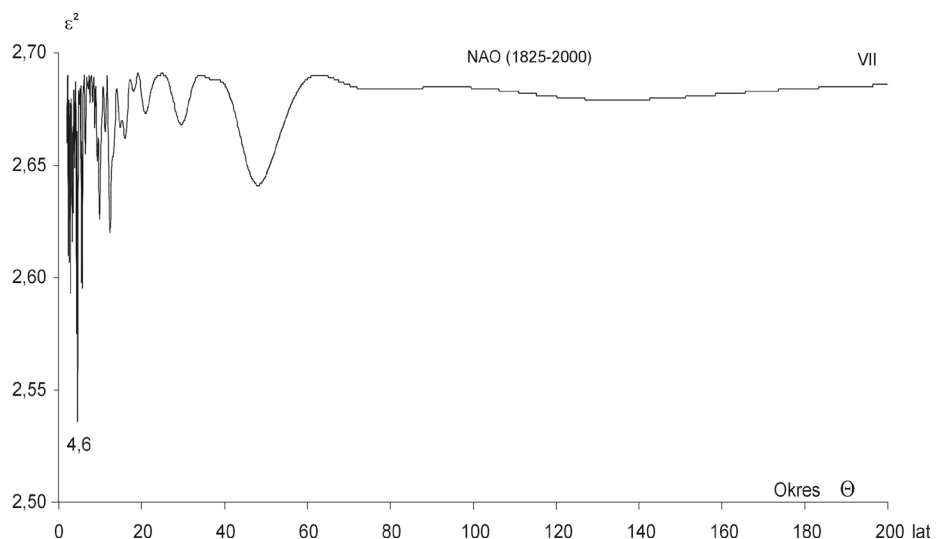
aproksymacji linią prostą odcinka sinusoidy od maksimum do minimum – tendencja $\frac{\partial NAO}{\partial t} = a < 0$ jest malejącą.

Zmiany wskaźnika Oscylacji Północnoatlantyczkiej (NAO) w styczniu, lipcu i roku w latach 1825-2100 wraz z prostymi regresji i prognozami po rok 2100 przedstawiają

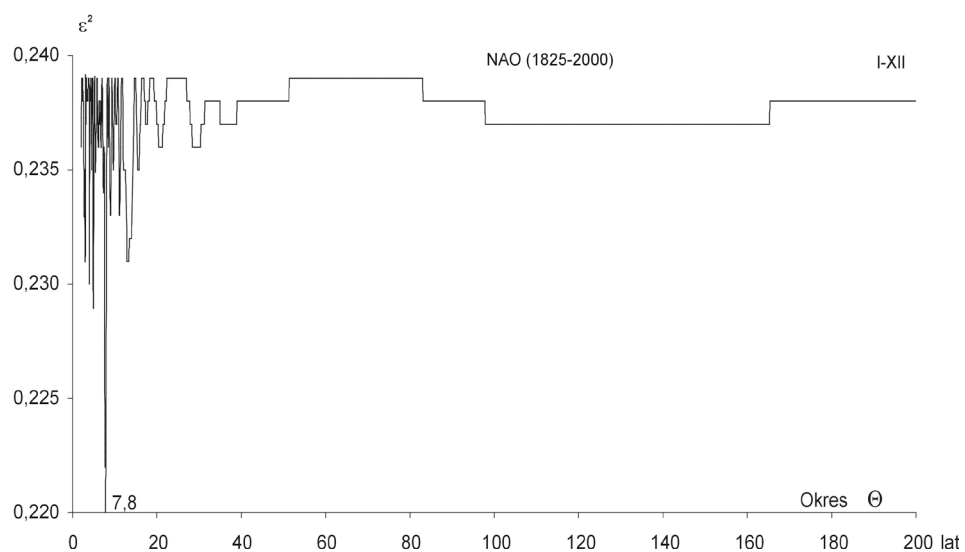
wykresy na rys. 3.4-3.6. Współczynniki regresji A wskazują prawie zerowe tendencje wskaźnika NAO w latach 1825-2000.



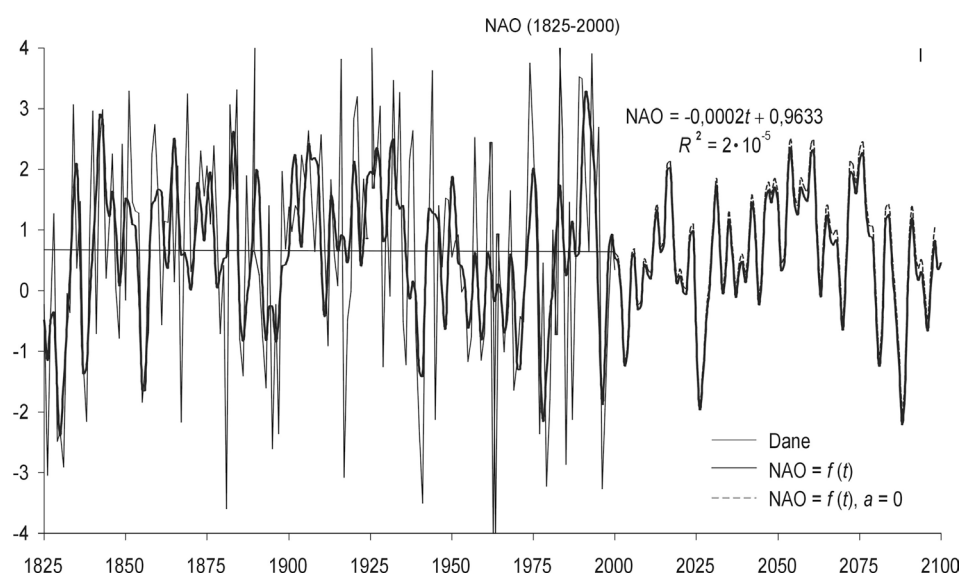
Rys. 3.1. Widma Oscylacji Północnoatlantycznej (NAO) w latach 1825-2000 – styczeń
 Fig. 3.1. Spectra of North Atlantic Oscillation (NAO) in years 1825-2000 – January



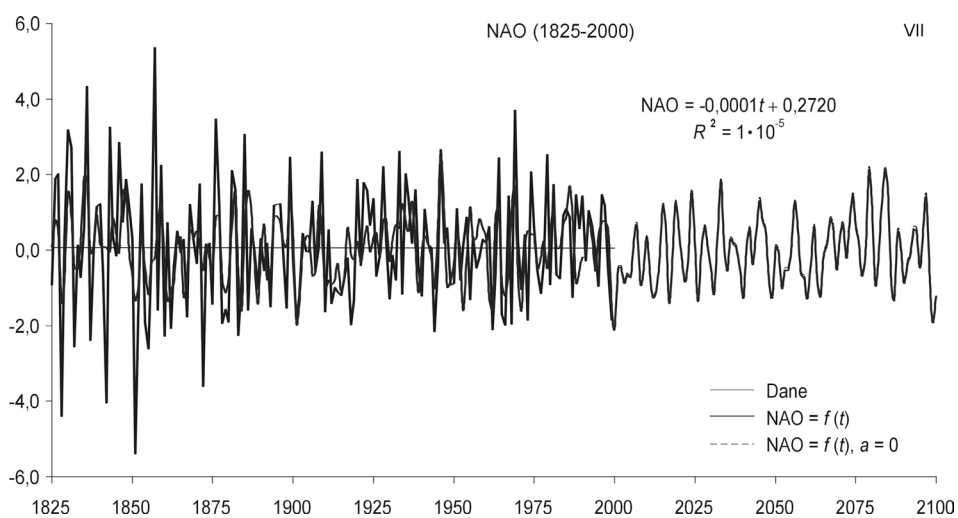
Rys. 3.2. Widma Oscylacji Północnoatlantycznej (NAO) w latach 1825-2000 – lipiec
 Fig. 3.2. Spectra of North Atlantic Oscillation (NAO) in years 1825-2000 – July



Rys. 3.3. Widma Oscylacji Północnoatlantyckiej (NAO) w latach 1825-2000 – rok
Fig. 3.3. Spectra of North Atlantic Oscillation (NAO) in years 1825-2000 – year

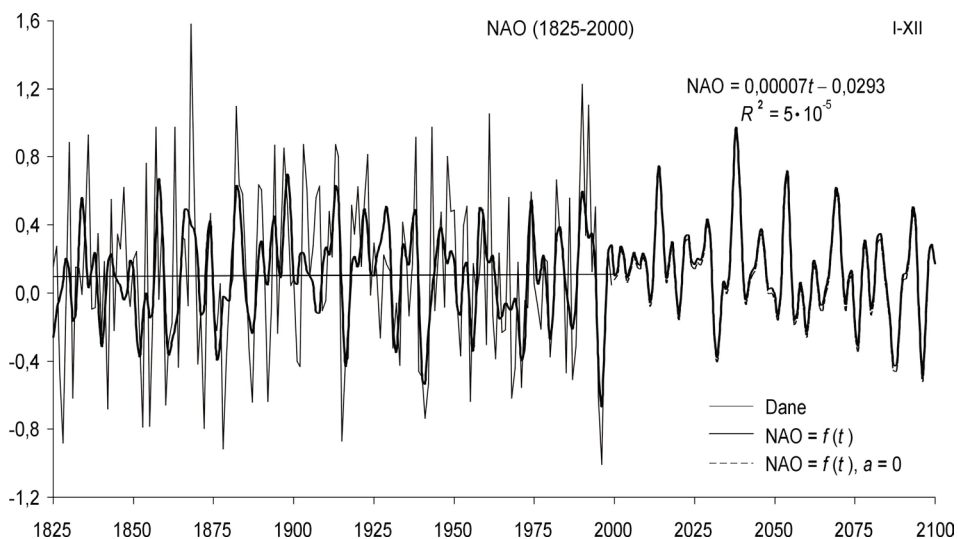


Rys. 3.4. Zmiany Oscylacji Północnoatlantyckiej (NAO) w latach 1825-2000 – prognoza w latach 2001-2100 – styczeń
Fig. 3.4. Changes of North Atlantic Oscillation (NAO) in years 1825-2000 – forecast in years 2001-2100 – January



Rys. 3.5. Zmiany Oscylacji Północnoatlantyckiej (NAO) w latach 1825-2000 – prognoza w latach 2001-2100 – lipiec

Fig. 3.5. Changes of North Atlantic Oscillation (NAO) in years 1825-2000 – forecast in years 2001-2100 – July



Rys. 3.6. Zmiany Oscylacji Północnoatlantyckiej (NAO) w latach 1825-2000 – prognoza w latach 2001-2100 – rok

Fig. 3.6. Changes of North Atlantic Oscillation (NAO) in years 1825-2000 – forecast in years 2001-2100 – year

IV. OCHŁODZENIA I OCIEPLENIA KLIMATU EUROPY W OSTATNICH STULECIACH

Rekonstrukcje temperatury powietrza w warstwie przyziemnej atmosfery w różnych miejscach Ziemi w ostatnim tysiącleciu (wg redukcji lodowców, szerokości pierścieni drzew i pomiarów bezpośrednich) wskazują trzy zasadnicze przedziały czasu: optimum czasów rzymskich – od -500 do 500 lat n.e., „optimum średniowieczne” – 800-1200, „mała epoka lodowa” – 1400-1900 oraz współczesne ocieplenie – od 1900 roku.

W ostatnich 400 latach wystąpiły trzy główne ochłodzenia klimatu Ziemi, o najmniejszej średniej globalnej temperaturze powietrza na półkuli północnej w pobliżu dat: 1600, 1700, 1830. Najbardziej poznane (na podstawie danych instrumentalnych) jest to ostatnie, największe ochłodzenie w Europie i Polsce (wg serii warszawskiej i krakowskiej). Trzeba zauważyć, że wystąpiło ono podczas trzech najsłabszych, wydłużonych (12-13-letnich) cykli aktywności Słońca (1798-1833). Ochłodzenie to pojawiło się w czasie najsłabszego 13-letniego cyklu plam słonecznych (1811-1823., podczas абсолютnego minimum wiekowego (od 1700 r.).

Rok 1811 był wyjątkowy pod względem stanu Układu Słonecznego, kiedy to odległość Słońca od środka masy Układu była najmniejsza (0,14 część promienia Słońca), a przyspieszenie Słońca – największe. To ostatnie globalne ochłodzenie klimatu (także w Polsce) wystąpiło podczas wzmożonej aktywności wulkanicznej, po największych wybuchach wulkanów: 1803 – Cotopaxi, 1815 – Tambora , 1835 – Cosiguina.

Ochłodzenia i ocieplenia klimatu są kształtowane wahaniem dopływu energii słonecznej do powierzchni Ziemi, zależnej od stałej słonecznej i zawartości pyłów wulkanicznych w atmosferze – pochłaniających i rozpraszających promieniowanie słoneczne.

Na Słońcu obserwuje się wiele zjawisk o natężeniu okresowym m.in. plamy słoneczne od których zależy dopływ energii słonecznej do Ziemi.

Ciągi chronologiczne liczb Wolfa (liczb plam słonecznych) i temperatury powietrza wskazują, że podczas maksimów aktywności Słońca w cyklu 11-letnim jest cieplej niż

w czasie minimów (większe są również przyrosty drewna w lasach – grubsze słoje drzew). Jest to wynikiem zależności dystrybucji ciepła na powierzchni Ziemi od aktywności Słońca.

Cyrkulacja atmosferyczna warunkuje transport magazynowanej głównie w strefie międzyzwrotnikowej, energii słonecznej w stronę biegunów.

1. Okresowe zmiany temperatury powietrza w Europie

Temperatura powietrza w Europie (i Polsce) cechuje się cyklicznością około 8-, 11-, 100- i 180-letnią. Cykle wyznaczono metodą „sinusoid regresji” Boryczki (1998):

$$T = a_0 + b \sin(2\pi t/\Theta + c),$$

gdzie: Θ – okres, b – amplituda, c – przesunięcie fazowe.

Widma temperatury powietrza w styczniu i lipcu w 40 miejscowościach Europy (ciągi wariancji resztowej ε_j^2 , odpowiadające zadanym okresom Θ_j) przedstawiono na rys. 4.1a-4.40b).

W Europie (i w Polsce) dominują około 8-letnie okresy temperatury powietrza o dużych amplitudach $\Delta T = 2b = T_{\max} - T_{\min}$ (tab. 4.1 i 4.2).

Tab. 4.1. Okresy około 8-letnie temperatury powietrza podczas zimy i lata w Europie
Tab. 4.1. 8-years periods of air temperature in Europe in winter and summer

Miejscowość	Zima		Lato		Miejscowość	Zima		Lato	
	Θ	ΔT	Θ	ΔT		Θ	ΔT	Θ	ΔT
Warszawa	8,3	1,59	7,1	0,66	Genewa	7,7	0,62	7,8	0,40
Kraków	8,3	1,87	7,8	0,33	Wiedeń	8,3	0,87	8,4	0,38
Wrocław	8,3	1,53	7,8	0,27	Rzym	7,9	0,30	8,4	0,32
Lwów	8,3	1,30	7,9	0,56	Sztokholm	7,8	1,33	7,8	0,40
Praga	8,3	1,06	7,8	0,44	Kopenhaga	7,8	1,24	8,3	0,51
Berlin	7,7	1,54	7,8	0,55	Moskwa	7,9	0,76	8,3	0,60

Tab. 4.2. Okresy około 8-letnie temperatury powietrza w styczniu i lipcu w Europie
Tab. 4.2. 8-years periods of air temperature in Europe in January and July

Miejscowość	Styczeń		Lipiec		Miejscowość	Styczeń		Lipiec	
	Θ	ΔT	Θ	ΔT		Θ	ΔT	Θ	ΔT
Warszawa	8,3	1,28	7,9	0,58	Genewa	8,4	0,84	7,9	0,54
Kraków	8,3	1,38	7,0	0,52	Wiedeń	7,8	1,10	6,5	0,68
Wrocław	8,3	1,50	6,4	0,52	Rzym	7,3	0,76	8,2	0,42
Lwów	8,3	1,28	7,3	0,62	Sztokholm	6,6	1,48	6,8	0,78
Praga	7,8	1,52	8,3	0,60	Kopenhaga	7,8	1,22	8,3	0,62
Berlin	7,7	1,94	8,2	0,58	Moskwa	9,3	1,60	7,0	0,76

Zakres wahań temperatury powietrza np. w Warszawie w zimie w cyklu 8,3-letnim wynosi $\Delta T = 1,5^\circ\text{C}$, a średniej rocznej (okres 7,7 lat) – $0,6^\circ\text{C}$:

Od dawna znana jest cykliczność około 11-letnia temperatury powietrza, związana z cyklem 11-letnim plam słonecznych. Okresy około 11-letnie temperatury powietrza i amplitudy ΔT ($^{\circ}\text{C}$) w wybranych miejscowościach w zimie, lecie i roku zestawiono w tabelach 4.3-4.4.

Tab. 4.3. Okresy około 11-letnie temperatury powietrza podczas zimy i lata w Europie
Tab. 4.3. 11-years periods of air temperature in Europe in winter and summer

Miejscowość	Zima		Lato		Miejscowość	Zima		Lato	
	Θ	ΔT	Θ	ΔT		Θ	ΔT	Θ	ΔT
Warszawa	11,6	0,53	11,3	0,22	Genewa	11,0	0,40	11,3	0,28
Kraków	11,3	0,84	11,4	0,26	Wiedeń	11,0	0,44	11,0	0,12
Wrocław	11,4	0,74	11,5	0,42	Rzym	11,8	0,44	10,7	0,39
Lwów	11,2	1,11	10,7	0,06	Sztokholm	11,3	0,29	11,6	0,38
Praga	11,0	0,42	11,1	0,19	Kopenhaga	11,1	0,26	11,5	0,48
Berlin	11,0	0,42	11,6	0,18	Moskwa	11,4	1,62	11,3	0,30

Tab. 4.4. Okresy około 11-letnie temperatury powietrza w styczniu i lipcu w Europie
Tab. 4.4. 11-years periods of air temperature in Europe in January and July

Miejscowość	Styczeń		Lipiec		Miejscowość	Styczeń		Lipiec	
	Θ	ΔT	Θ	ΔT		Θ	ΔT	Θ	ΔT
Warszawa	9,2	1,80	12,9	0,58	Genewa	11,7	0,84	11,2	0,50
Kraków	10,5	1,60	11,1	0,50	Wiedeń	9,3	0,76	9,2	0,68
Wrocław	9,3	2,16	11,3	0,32	Rzym	—	—	10,9	0,60
Lwów	10,3	1,80	8,0	0,38	Sztokholm	9,2	1,98	9,1	0,72
Praga	10,4	1,20	11,2	0,52	Kopenhaga	9,2	1,34	12,4	0,64
Berlin	9,2	1,68	11,1	0,52	Moskwa	11,4	1,74	10,1	0,94

Zakres wahań temperatury powietrza w tym około 11-letnim cyklu jest na ogół większy w zimie niż w lecie.

Krótkookresowe zmiany aktywności Słońca (stałej słonecznej) nie odgrywają istotnej roli w kształtowaniu klimatu Ziemi, ze względu na bardzo powolne przenikanie ciepła do głębszych warstw Ziemi. Większą rolę odgrywają długie cykle: 102-letni i 187-letni aktywności Słońca (tab. 4.5). W otoczeniu maksimów plam słonecznych w tych cyklach kumulowane są duże ilości energii w głębszych warstwach lądów i oceanów. Energia magazynowana w oceanach wywiera wpływ na cyrkulację atmosferyczną.

Tab. 4.5. Okresy około 100- i 180- letnie: aktywności Słońca, stałej słonecznej i erupcji wulkanicznych (lata)

Tab. 4.5. 100- and 180-years periods: solar activity, xxx, and volcanic eruptions

Zmienna	Okres	Okres
Aktywność Słońca (1700-2000)	102,0	187,3
Stała słoneczna (1700-2000)	102,0	187,0
DVI/ Δt	91,5	206,0

Analogiczne okresy są obecne w seriach pomiarowych temperatury powietrza (tab. 4.6 i 4.7, $\Delta T = 2b$ – amplituda)

Tab. 4.6. Okresy około 100-letnie temperatury powietrza podczas zimy i lata w Europie

Tab. 4.6. 100-years periods of air temperature in Europe in winter and summer

Miejscowość	Zima		Lato		Miejscowość	Zima		Lato	
	Θ	ΔT	Θ	ΔT		Θ	ΔT	Θ	ΔT
Warszawa	113,4	1,22	75,0	0,88	Bazylea	85,5	0,14	87,6	0,64
Kraków	90,0	0,48	88,0	0,67	Kopenhaga	80,5	0,22	89,6	0,27
Wrocław	123,3	1,66	75,0	0,50	Anglia	99,3	0,44	102,5	0,20
Lwów	108,8	1,30	74,1	1,33	Sztokholm	86,3	0,55	89,4	0,51
Praga	116,3	1,44	118,3	0,68	Uppsala	102,7	1,48	94,0	0,79
Wiedeń	89,8	0,79	96,1	0,58	Insbruk	69,9	0,80	84,6	0,50

Tab. 4.7. Okresy około 100-letnie temperatury powietrza w styczniu i lipcu w Europie

Tab. 4.7. 100-years periods of air temperature in Europe in January and July

Miejscowość	Styczeń		Lipiec		Miejscowość	Styczeń		Lipiec	
	Θ	ΔT	Θ	ΔT		Θ	ΔT	Θ	ΔT
Warszawa	116,1	1,50	102,0	0,70	Bazylea	127,2	0,42	89,6	0,66
Kraków	102,0	0,86	–	–	Kopenhaga	87,0	0,10	–	–
Wrocław	129,0	2,20	148,0	0,72	Anglia	95,1	0,22	–	–
Lwów	118,0	1,14	–	–	Sztokholm	87,8	0,46	–	–
Praga	148,0	1,52	117,3	0,96	Ryga	120,9	1,42	115,5	0,32
Wiedeń	90,2	0,76	94,3	0,56	Greenwich	98,8	0,36	79,9	0,72

Tab. 4.8. Okresy około 180-letnie temperatury powietrza podczas zimy i lata w Europie
 Tab. 4.8. 180-years periods of air temperature in Europe in winter and summer

Miejscowość	Zima		Lato		Miejscowość	Zima		Lato	
	Θ	ΔT	Θ	ΔT		Θ	ΔT	Θ	ΔT
Warszawa	218,3	0,44	208,2	0,66	Bazylea	—	—	227,4	0,26
Kraków	168,3	0,43	—	—	Kopenhaga	—	—	211,6	1,19
Lwów	—	—	195,3	1,00	Anglia	166,9	0,48	204,6	0,34
Genewa	144,1		248,3	1,09	Sztokholm	184,6	0,49	—	—
Berlin	212,8	1,18	—	—	Uppsala	182,3	2,50	192,8	0,39
Rzym	—	—	224,9	1,40	Insbruck	169,8	1,45	—	—

Tab. 4.9. Okresy około 180-letnie temperatury powietrza w styczniu i lipcu w Europie
 Tab. 4.9. 180-years periods of air temperature in Europe in January and July

Miejscowość	Styczeń		Lipiec		Miejscowość	Styczeń		Lipiec	
	Θ	ΔT	Θ	ΔT		Θ	ΔT	Θ	ΔT
Warszawa	—	—			Trondheim	207,7	2,29	—	—
Kraków	—	—	179,8	0,58	Kopenhaga	—	—	175,2	1,14
Lwów	—	—	158,8	0,72	Anglia	191,1	1,04	—	—
Genewa	236,0	0,92	154,4	0,48	Sztokholm	—	—	165,4	0,96
Berlin	236,9	2,64	136,1	0,68	Uppsala	193,3	0,62	—	—
Odessa	—	—	168,0	0,36	Insbruck	164,2	1,38	—	—

Dominujący wpływ na klimat ma pył wulkaniczny, absorbujący i rozpraszający promień słoneczne. Promieniowanie słoneczne bezpośrednio po wybuchu wulkanu może zmniejszyć się przez kilka miesięcy o 10-20% (Katmai na Alasce w 1912 r.). Spadek promieniowania bezpośredniego po wybuchach wulkanów: Krakatau (Indonezja, 1883), Hekla (Islandia, 1970) miał charakter zmian planetarnych (globalnych). Po wybuchu wulkanu Tambora (Indonezja, 1815) pył osiągnął wysokość 60-70 km.

Wulkany typu eksplozynnego wyrzucają do atmosfery duże ilości pyłów i gazów (HCl, SO₂, CO₂, H₂, S i inne). Drobny pył wyrzucany do stratosfery może pozostawać w niej nawet przez kilkanaście lat.

Szczególne znaczenie w badaniach zmian klimatu mają gazy wulkaniczne wyrzucane do stratosfery, które w ciągu kilku miesięcy ulegają przemianom chemicznym i są rozprzestrzenione wokół całej Ziemi. Największy wpływ na rozproszenie promieniowania krótkofalowego, słonecznego mają cząsteczki siarczanów (aerozole siarczane), które powstają z gazów zawierających siarkę (np. SO₂). Cząstki siarczanów absorbują i rozpraszają promieniowanie słoneczne. Powodują one ogrzanie się stratosfery, gdy w dolnych warstwach troposfery występuje ochłodzenie, wywołane spadkiem promieniowania dochodzącego do powierzchni Ziemi.

Pył wulkaniczny powoduje znaczny spadek promieniowania bezpośredniego i zwiększa promieniowanie rozproszone dochodzące do Ziemi.

Gdy w atmosferze znajduje się warstwa pyłów wulkanicznych, to spadki promieniowania bezpośredniego są większe przy mniejszych wysokościach Słońca (wyższych szerokościach geograficznych). Ten spadek jest jeszcze większy w przypadku promieniowania całkowitego. Maleje ono bardziej ze wzrostem szerokości geograficznej niż promieniowanie bezpośrednie, Ten stosunek na biegunie osiąga wartość 24%.

Spadek promieniowania całkowitego o 1,5-1,6% może doprowadzić do całkowitego zlodowacenia Ziemi – od biegunów do równika.

Niepokojące jest systematyczne ocieplanie się klimatu Ziemi w XIX-XX wieku. Średnia globalna temperatura powietrza w latach 1890-1985 wzrosła od 0,2°C w strefie okolorównikowej do 5°C w strefie polarnej, podczas zim. Wzrost średniej globalnej temperatury, obliczonej na podstawie pomiarów temperatury powietrza i powierzchni mórz w latach 1861-1991 wynosi średnio 0,5°C.

2. Mroźne i łagodne zimy oraz ciepłe i chłodne lata

Najniższa temperatura powietrza w Polsce występuje przeważnie w styczniu. Na przykład w Warszawie w latach 1779-1998 , najmroźniejsze były stycznie: 1823 – -14,3°C, 1838 – -13,7 , 1848 – -13,2, 1893 – -13,2, 1963 – -13,0, 1987 – -13,0. Wyjątkowo mroźny w Warszawie był luty w latach: 1929 – -14,1°C, 1956 – -12,4, 1855 – -11,6, 1870 – -11,5, 1799 – -10,5, 1845 – -10,5, 1986 – 1954 – -10,0, 1963– -9,9. Najmroźniejszy był grudzień w latach 1788 (-15,0°C), 1829 (-12,4), 1812 (-11,1), 1969 (-9,6). Najcieplejszymi miesiącami zimowymi były: styczeń w roku 1983 (3,2°C), luty – w 1990 (4,6), grudzień 1971 (2,9). W Krakowie w latach 1827-1997 najmroźniejsze były stycznie: 1848 (-12,4), 1830 (-11,4), 1838 (-11,4°C), a we Wrocławiu: 1803 (-11,9), 1826 (-11,8), 1830 (-11,6°C) Natomiast najcieplejszymi miesiącami letnimi w Warszawie były: lipiec – 1834 (22,4), 1811 (22,3), 1826 (22,1), 1917 (20,3), 1964 (20,0), 1979 (19,6), sierpień – 1811 (22,3), 1994 (22,0), 2002 (21,1), 1959 (21,5), sierpień – 1807 (23,6), 1951 (20,7), 2002 (20,7). Po najchłodniejszym czerwcu w roku 1810 (12,6°C) wystąpił w następnym roku 1811 najcieplejszy lipiec (22,3°C). Do najcieplejszych lipców w Krakowie należą: 1834 (22,6), 1932 (21,3), 1983 (21,1°C), a we Wrocławiu – 1834 (22,5), 1994 (22,3), 1983 (21,8°C).

Najmroźniejsze i najłagodniejsze stycznie oraz najcieplejsze i najchłodniejsze lipce zestawiono w tab. 4.11-4.50. Najniższą temperaturę -41,0°C w Polsce zanotowano dotychczas 11 stycznia 1940 r. w Siedlcach (Kuziem ska 1983). Spadek temperatury do -40,6°C wystąpił wcześniej 10 lutego 1929 r. w Żywcu.

Najwyższą zaś temperaturę 40,2°C zmierzono 29 lipca 1921 r. w Prószkowie (koło Poznania), a samym Poznaniu – 38,7°C. W Warszawie było najcieplej w czerwcu 1811 (22,2°C) i później w latach 1964 (20,0), 1979 (19,6). Do najcieplejszych lipców w Warszawie można zaliczyć 1864 (22,4°C), 1811 (22,3), 1959 (21,5), 1963 (20,9), 2002 (21,1), 2001 (20,7). W sierpniu najcieplej było w latach: 1807 (23,6°C), 1992 (21,5),

1951 (20,7), 2002 (20,7). Do najcieplejszych sezonów letnich należą: 1811 (21,4), 1992 (20,0), 2002 (19,8), a do nachłodniejszych: 1821 (14,6), 1923 (15,6), 1980 (16,1)

Skrajne wartości temperatury powietrza występują przy układach wyżowych.

Najmroźniejsze dni występują przy napływie powietrza kontynentalnego ze wschodu i północo-wschodu, przy adwekcji chłodnego powietrza pochodzenia arktycznego, podczas bezchmurnej pogody w nocy (silnym wypromieniowaniu ciepła z podłoża). Najcieplejsze dni w lecie są zwykle spowodowane adwekcją gorącego powietrza zwrotnikowego z południa i południo-zachodu lub napływu powietrza pochodzenia kontynentalnego z południo-wschodu i wschodu. W zimie przy napływie powietrza polarno-morskiego nad Atlantykiem mogą występować dni o dość wysokiej temperaturze – np. 4 stycznia 1925 r. w Zakopanem (+17,7°C) i Krakowie (+16,3°C).

3. Zmiany temperatury powietrza w Europie w XVIII-XXI wieku

Zmiany temperatury powietrza w styczniu i lipcu w XVIII-XXI w 40 miejscowościach Europy, z prognozą po rok 2100 przedstawiają wykresy na rys. 54-94. Są to wykresy z nakładania się (interferencji) cykli temperatury powietrza, wykrytych w ciągach chronologicznych wyników pomiarów.

W przedziale obserwacji są to wartości obliczone na podstawie superpozycji cykli tj. funkcji $T = f(t)$, a poza przedziałem pomiarów – wartości prognozowane $T = f(t)$ i z uwzględnieniem składnika liniowego at . Na wykresach tych przedstawiono również zmierzone wartości temperatury powietrza T_i .

Tendencje temperatury powietrza w Europie określone według równań prostych regresji $T = A_0 + At$ (współczynniki kierunkowe A w °C/100 lat) podano w tab. 4.10. Charakteryzują one średnie przyrosty temperatury powietrza na 100 lat w odpowiednich przedziałach czasowych. Na ogół tendencje temperatury powietrza w miastach europejskich w zimie są rosnące ($A > 0$), a w lecie malejące ($A < 0$).

W Europie (i Polsce) przede wszystkim zimy są coraz cieplejsze. Na przykład w Warszawie w latach 1779-1998 zimy są coraz cieplejsze – o 1,1°C na 100 lat, a lata chłodniejsze prawie o 0,1°C. Jeszcze większy wzrost temperatury powietrza podczas zimy występuje w Krakowie – 1,5°C/100 lat i Moskwie – 1,6°C/100 lat. Średnia roczna temperatura powietrza wzrasta w: Warszawie – o 0,6, Krakowie – o 0,8, Moskwie – o 0,7°C na 100 lat.

Nie wiadomo, jaka część postępującego ocieplenia klimatu jest efektem oddziaływanego czynników naturalnych, a jaka – czynników antropogenicznych.

Ocieplenie klimatu w XIX-XX wieku może być wywołane wzrostem aktywności Słońca i spadkiem aktywności wulkanicznej na ziemi.

Nie wiadomo jednak jaki w tym jest udział zmian aktywności Słońca (stałej słonecznej), pyłów wulkanicznych ograniczających dopływ energii słonecznej do powierzchni Ziemi i antropogenicznego efektu cieplarnianego atmosfery.

Tab. 4.10. Tendencje zmian temperatury powietrza w wybranych miastach Europy ($^{\circ}\text{C}/100$ lat)
 Tab. 4.10. The tendency of air temperature chosen cities in Europe ($^{\circ}\text{C}/100$ lat)

Miejscowość	Okres	Styczeń	Zima	Lipiec	Lato	Rok
Warszawa	1779-1998	1,36	1,12	0,15	-0,06	0,58
Kraków	1827-1997	1,71	1,48	0,33	0,31	0,82
Wrocław	1792-2002	1,10	0,69	0,34	0,25	0,52
Lwów	1824-2002	0,53	0,53	0,20	-0,22	0,20
Praga	1771-1990	0,04	0,25	-1,13	-0,25	-0,025
Berlin	1769-1990	1,12	0,32	0,33	-0,39	0,13
Genewa	1769-1980	1,23	0,51	0,08	-0,40	0,51
Wiedeń	1775-2002	0,84	0,69	0,02	-0,08	0,27
Rzym	1811-1989	0,36	0,04	0,08	-0,10	0,09
Sztokholm	1756-1994	1,12	0,86	0,11	-0,08	0,46
Kopenhaga	1768-1991	1,13	0,94	0,01	0,05	0,55
Moskwa	1881-2002	3,54	1,65	0,92	-0,15	0,68

Wraz z postępującym ociepleniem klimatu podnosi się poziom mórz i oceanów. Rekonstrukcje dawnych linii brzegowych wskazują, iż poziom mórz i oceanów podczas ocieplenia klimatu jest znacznie wyższy niż w czasie ochłodzenia (zlodowacenia Ziemi). W czasie ostatniej fazy zlodowacenia würm 18 000 lat temu poziom Atlantyku obniżył się około 135m wraz z przyrostem pokrywy lodowej (Lamb, 1972-1977).

Ekwiwalentem obecnej pokrywy lodowej jest różnica poziomu oceanów 59,1-83,3 m. A więc obecna pokrywa lodowa na Ziemi (lody Arktyki, Antarktydy i lodowce górskie) stanowi 43,8-61,7% masy lodu sprzed 18 000 lat. Średnie tempo wzrostu poziomu oceanów w ciągu tych 18 000 lat wynosi zatem 75 cm/100 lat.

Wraz ze wzrostem średniej globalnej temperatury powietrza obserwuje się podniesienie się poziomu oceanów – średnio o 10-25 cm w ostatnim stuleciu.

Poziom Morza Bałtyckiego wg stanów wody w Świnoujściu w latach 1811-1990 podnosi się średnio o 4,5 cm/100 lat.

W podnoszenie się poziomu mórz i oceanów w XIX-XX wieku ma też udział (oprócz topnienia pokrywy lodowej) rozszerzalność objętościowa wody. Objętość wód oceanów (bez mórz) obecnie wynosi 1370,4 mln km³, a średnia głębokość 3704 m. Przykładowo, wzrostowi temperatury wody o 1°C (od 4 do 5°C) odpowiada przyrost poziomu oceanów o 18 cm.

W prognozach zmian klimatu przyjęto założenie, że ekstremalna wykrytych cykli temperatury powietrza będą się powtarzać nadal, tak jak w XVIII-XX wieku. Do przyjęcia takiego założenia upoważnia obecność analogicznych cykli w ciągach czasowych: aktywności Słońca, (stałej słonecznej) i parametrów Układu Słonecznego. Najdłuższe okresy około 100- i 200-letni powtarzają się wielokrotnie w ciągach chronologicznych paleotemperatury ($^{18}\text{O}/^{16}\text{O}$) i zawartości substancji organicznych zdeponowanych w osadach jeziornych.

Sprawdzili się dotychczasowe prognozy temperatury powietrza w Warszawie na podstawie danych z lat 1799-1980 – prognozowane minimum wiekowe średniej rocznej temperatury w roku 1980 (Boryczka, 1998). Średnia roczna temperatura 6,6°C w roku 1980, wg pomiarów ze stacji Warszawa-Okęcie, jest najmniejszą wartością w 30-leciu 1966-1996.

Najmroźniejsze zimy w Warszawie, o średniej temperaturze -4 ÷ -7°C wystąpią prawdopodobnie w połowie tego stulecia – około roku 2050. Według wypadkowej letnich cykli temperatury powietrza chłodne lata wystąpią w pierwszych dwóch dekadach XXI wieku.

Najmroźniejsze zimy w Warszawie (około -4°C) wystąpią około roku 2050. Będą one nieco łagodniejsze niż na początku XIX wieku, ze względu na coraz większy udział czynników antropogenicznych. Natomiast lata chłodniejsze (około 17,5-18,0°C) wystąpią wcześniej, w drugiej dekadzie XXI wieku.

Tab. 4.11. Mroźne stycznie i gorące lipce w Akureyri (1882-2002)

Tab. 4.11. The frosty Januaries and hot Julys in Akureyri (1882-2002)

STYCZEŃ				LIPIEC			
chłodny		ciepły		ciepły		chłodny	
1918	-13,5	1947	3,2	1933	14,6	1915	6,6
1886	-10,0	1992	2,9	1927	13,6	1887	7,4
1902	-6,2	1972	2,5	1945	13,4	1970	7,4
1975	-6,0	1933	2,4	1926	13,2	1993	7,6
1936	-5,8	1973	2,2	1955	13,2	1882	7,7
1959	-5,7	1935	2,1	1894	13,1	1967	8,1
1971	-5,5	1987	2,1	1941	13,0	1886	8,3
1979	-5,5	1946	2,0	1919	12,7	1888	8,5
1892	-5,1	1950	1,8	1934	12,7	1998	8,6
1920	-5,1	1964	1,6	1984	12,7	1979	8,7

Tab. 4.12. Mroźne stycznie i gorące lipce w Anglii Środkowej (1660-1973)

Tab. 4.12. The frosty Januaries and hot Julys in England (1660-1973)

STYCZEŃ				LIPIEC			
chłodny		ciepły		ciepły		chłodny	
1795	-3,1	1916	7,5	1783	18,8	1816	13,4
1684	-3,0	1796	7,3	1852	18,7	1695	13,5
1814	-2,9	1921	7,3	1921	18,5	1802	13,5
1740	-2,8	1834	7,1	1757	18,4	1879	13,6
1855	-2,4	1733	6,9	1808	18,4	1888	13,7
1963	-2,1	1898	6,6	1701	18,3	1922	13,7
1716	-2,0	1686	6,5	1733	18,3	1725	13,8
1776	-1,6	1884	6,5	1859	18,3	1840	13,8
1709	-1,5	1736	6,4	1868	18,3	1841	13,8
1838	-1,5	1875	6,4	1759	18,2	1919	13,9

Tab. 4.13. Mroźne stycznie i gorące lipce w Atenach (1858-2002)
 Tab. 4.13. The frosty Januaries and hot Julys in Athens (1858-2002)

STYCZEŃ				LIPIEC			
chłodny		ciepły		ciepły		chłodny	
1858	4,3	1936	13,5	2000	30,3	1913	25,3
1864	4,7	1948	12,6	2001	30,2	1992	25,5
1950	4,9	1955	12,2	1998	29,8	1969	25,6
1859	5,1	1915	12,0	2002	29,7	1971	25,7
1880	5,2	1895	11,9	1861	29,5	1911	25,8
1896	5,7	1939	11,6	1888	29,5	1976	25,9
1869	6,3	2001	11,6	1866	29,4	1982	26,0
1888	6,3	1867	11,5	1999	29,4	1885	26,1
1907	6,5	1886	11,5	1988	29,3	1903	26,1
1884	6,8	1919	11,5	1938	29,2	1972	26,1

Tab. 4.14. Mroźne stycznie i gorące lipce w Bazylei (1755-1980)
 Tab. 4.14. The frosty Januaries and hot Julys in Basel (1755-1980)

STYCZEŃ				LIPIEC			
chłodny		ciepły		ciepły		chłodny	
1830	-8,8	1834	5,4	1952	21,7	1758	14,6
1766	-7,8	1948	4,9	1859	21,5	1816	14,9
1795	-7,4	1936	4,8	1921	21,3	1913	15,1
1779	-7,0	1921	4,7	1903	21,2	1919	15,1
1826	-7,0	1975	4,7	1904	21,2	1840	15,5
1940	-6,5	1974	4,6	1807	21,1	1879	15,5
1848	-6,4	1804	4,4	1911	21,1	1813	15,7
1810	-6,2	1916	4,4	1928	21,1	1909	15,7
1893	-6,2	1783	3,8	1947	21,1	1888	15,9
1763	-6,0	1806	3,6	1950	21,1	1907	15,9

Tab. 4.15. Mroźne stycznie i gorące lipce w Berlinie (1769-1990)
 Tab. 4.15. The frosty Januaries and hot Julys in Berlin (1769-1990)

STYCZEŃ				LIPIEC			
chłodny		ciepły		ciepły		chłodny	
1823	-11,9	1796	6,5	1834	23,6	1979	15,1
1838	-10,2	1921	5,0	1826	22,5	1954	15,4
1776	-9,8	1975	5,0	1794	22,2	1815	15,5
1940	-9,6	1983	4,8	1778	21,8	1962	15,5
1848	-9,5	1866	4,3	1865	21,8	1898	15,6
1803	-8,7	1873	4,1	1783	21,6	1832	15,7
1795	-8,3	1902	4,1	1874	21,4	1965	15,8
1830	-7,4	1916	4,1	1983	21,4	1974	15,8
1893	-7,4	1944	4,0	1803	21,3	1844	15,9
1963	-7,3	1990	3,9	1859	21,3	1984	16,2

Tab. 4.16. Mroźne stycznie i gorące lipce w Budapeszcie (1780-1991)
 Tab. 4.16. The frosty Januaries and hot Julys in Budapest (1780-1991)

STYCZEŃ				LIPIEC			
chłodny		ciepły		ciepły		chłodny	
1893	-9,0	1983	5,1	1821	19,9	1811	24,7
1942	-8,5	1921	4,6	1954	19,9	1928	24,7
1795	-8,0	1796	4,5	1815	19,8	1983	24,8
1864	-7,7	1806	4,4	1816	19,7	1859	24,9
1833	-7,1	1948	4,2	1860	19,7	1874	24,9
1799	-7,0	1936	4,0	1919	19,7	1788	25,0
1940	-7,0	1916	3,8	1984	19,7	1797	25,0
1830	-6,7	1791	3,6	1837	19,6	1865	25,0
1838	-6,7	1804	3,6	1879	19,3	1794	26,5
1896	-6,4	1975	3,5	1913	18,4	1834	26,6

Tab. 4.17. Mroźne stycznie i gorące lipce w Genewie (1768-1980)

Tab. 4.17. The frosty Januaries and hot Julys in Geneva (1768-1980)

STYCZEŃ				LIPIEC			
chłodny		ciepły		ciepły		chłodny	
1830	-6,2	1834	5,4	1952	23,4	1816	15,6
1795	-5,9	1936	5,3	1794	23,2	1813	15,8
1802	-5,5	1804	5,3	1928	23,2	1980	16,2
1812	-5,4	1948	4,1	1859	23,0	1919	16,3
1838	-5,4	1921	4,1	1881	22,7	1913	16,4
1826	-5,2	1899	4,1	1793	22,6	1841	16,7
1810	-4,4	1877	4,0	1782	22,3	1840	16,8
1891	-4,4	1920	3,9	1950	22,3	1879	16,8
1779	-4,3	1956	3,8	1870	22,2	1770	16,9
1848	-4,2	1866	3,7	1783	22,0	1843	16,9

Tab. 4.18. Mroźne stycznie i gorące lipce w Greenwich (1763-1969)

Tab. 4.18. The frosty Januaries and hot Julys in Greenwich (1763-1969)

STYCZEŃ				LIPIEC			
chłodny		ciepły		ciepły		chłodny	
1795	-3,3	1796	8,1	1783	21,1	1816	13,9
1814	-2,6	1921	7,8	1859	20,5	1767	14,2
1776	-2,1	1916	7,7	1794	20,1	1919	14,2
1838	-2,1	1834	6,9	1868	20,1	1817	14,3
1780	-0,8	1930	6,7	1921	19,8	1841	14,3
1763	-0,7	1932	6,7	1778	19,7	1823	14,4
1940	-0,7	1944	6,7	1793	19,6	1888	14,4
1823	-0,6	1804	6,6	1818	19,6	1802	14,5
1830	-0,6	1884	6,6	1911	19,6	1910	14,5
1820	-0,5	1898	6,5	1852	19,4	1879	14,6

Tab. 4.19. Mroźne stycznie i gorące lipce w Innsbrucku (1777-2000)
 Tab. 4.19. The frosty Januaries and hot Julys in Innsbruck (1777-2000)

STYCZEŃ				LIPIEC			
chłodny		ciepły		ciepły		chłodny	
1779	-11,9	1791	2,5	1780	21,9	1913	14,4
1795	-10,1	1948	2,5	1807	21,7	1786	14,9
1799	-9,8	1988	2,5	1792	21,6	1795	14,9
1891	-9,5	1809	2,4	1788	21,4	1919	15,1
1893	-8,3	1834	2,3	1827	21,3	1889	15,2
1945	-8,2	1804	2,2	1983	21,2	1816	15,4
1929	-7,9	1936	2,2	1995	21,2	1954	15,5
1940	-7,8	1974	2,0	1994	21,1	1879	15,7
1812	-7,6	1975	2,0	1928	20,9	1833	15,8
1833	-7,6	1994	2,0	1828	20,7	1910	15,9

Tab. 4.20. Mroźne stycznie i gorące lipce w Kijowie (1812-2000)

Tab. 4.20. The frosty Januaries and hot Julys in Kiev (1812-2000)

STYCZEŃ				LIPIEC			
chłodny		ciepły		ciepły		chłodny	
1838	-15,2	1975	0,3	1936	25,3	1832	15,3
1942	-15,2	1936	0,2	2001	24,6	1825	15,7
1861	-14,8	1989	0,2	2002	23,9	1830	16,1
1893	-14,8	1994	0,2	1959	23,2	1837	16,3
1963	-14,0	1990	-0,2	1999	22,7	1878	16,6
1987	-13,9	1899	-0,5	1841	22,6	1979	16,8
1954	-12,7	1925	-0,5	1885	22,6	1902	17,0
1950	-12,6	1902	-0,6	1938	22,5	1935	17,0
1823	-12,2	1983	-0,7	1992	22,5	1978	17,0
1862	-12,2	2001	-1,0	1882	22,4	1990	17,1

Tab. 4.21. Mroźne stycznie i gorące lipce w Kopenhadze (1768-1991)

Tab. 4.21. The frosty Januaries and hot Julys in Kopenhagen (1768-1991)

STYCZEŃ				LIPIEC			
chłodny		ciepły		ciepły		chłodny	
1776	-7,8	1975	5,0	1783	21,4	1841	13,0
1893	-6,7	1989	5,0	1826	20,7	1802	13,5
1942	-6,4	1983	4,9	1776	20,5	1844	13,9
1814	-5,9	1990	4,4	1788	20,4	1856	14,1
1941	-5,8	1988	3,8	1834	20,4	1862	14,2
1803	-5,1	1925	3,7	1914	20,3	1863	14,2
1838	-5,1	1873	3,4	1798	20,0	1898	14,2
1987	-4,8	1898	3,3	1901	19,9	1821	14,3
1830	-4,6	1930	3,3	1941	19,9	1965	14,5
1809	-4,4	1921	3,2	1831	19,7	1867	14,6

Tab. 4.22. Mroźne stycznie i gorące lipce w Krakowie w lipcech (1827-1997)
 Tab. 4.22. The frosty Januaries and hot Julys in Krakow (1827-1997)

STYCZEŃ				LIPIEC			
chłodny		ciepły		ciepły		chłodny	
1848	-12,4	1921	3,5	1834	22,6	1832	15,1
1830	-11,4	1975	3,5	1932	21,3	1844	15,3
1838	-11,4	1994	2,7	1983	21,1	1864	16,0
1893	-11,4	1902	2,4	1928	21,0	1837	16,1
1942	-11,2	1916	2,3	1953	20,8	1836	16,2
1940	-11,0	1936	2,1	1959	20,8	1913	16,2
1987	-10,6	1948	2,1	1994	20,8	1898	16,6
1871	-10,0	1944	2,0	1967	20,7	1919	16,6
1963	-10,0	1983	1,7	1826	20,6	1996	16,6
1850	-9,3	1988	1,6	1865	20,6	1879	16,7

Tab. 4.23. Mroźne stycznie i gorące lipce w Kramsmuenster (1767-1981)
 Tab. 4.23. The frosty Januaries and hot Julys in Kramsmuenster (1767-1981)

STYCZEŃ				LIPIEC			
chłodny		ciepły		ciepły		chłodny	
1776	-11,8	1921	4,0	1778	22,8	1860	14,8
1830	-9,7	1916	3,8	1782	22,8	1833	15,0
1940	-9,7	1785	3,4	1788	22,8	1840	15,0
1779	-9,6	1834	2,5	1811	21,9	1879	15,2
1799	-9,6	1920	2,4	1859	21,6	1913	15,2
1942	-9,6	1948	2,4	1769	21,3	1954	15,6
1768	-9,4	1944	2,3	1905	21,3	1816	15,7
1802	-9,2	1791	2,0	1887	21,0	1856	15,8
1784	-9,0	1975	2,0	1783	20,9	1919	15,8
1795	-9,0	1902	1,9	1928	20,9	1815	16,0

Tab. 4.24. Mroźne stycznie i gorące lipce we Lwowie (1824-2002)
 Tab. 4.24. The frosty Januaries and hot Julys in Lwow (1824-2002)

STYCZEŃ				LIPIEC			
chłodny		ciepły		ciepły		chłodny	
1942	-12,6	1936	2,4	1838	16,1	1832	14,0
1838	-12,3	1921	1,6	1974	16,1	1979	14,6
1963	-12,2	1994	1,3	1993	16,1	1837	14,9
1893	-11,6	1975	1,2	1913	16,0	1984	15,4
1954	-11,2	1983	1,1	1978	15,9	1962	15,5
1987	-11,1	1902	0,7	1962	15,5	1978	15,9
1830	-10,5	1899	0,6	1984	15,4	1913	16,0
1850	-10,4	1925	0,2	1837	14,9	1838	16,1
1941	-9,4	1939	0,2	1979	14,6	1974	16,1
1950	-9,2	1918	0,1	1832	14,0	1993	16,1

Tab. 4.25. Mroźne stycznie i gorące lipce w Marsylii (1838-2002)
 Tab. 4.25. The frosty Januaries and hot Julys in Marsylia (1838-2002)

STYCZEŃ				LIPIEC			
chłodny		ciepły		ciepły		chłodny	
1985	1,4	1936	23,1	1994	26,6	1932	19,8
1953	2,3	1932	21,7	1983	26,5	1888	20,0
1987	2,3	1939	21,2	1982	26,0	1890	20,0
1942	2,4	1834	21,0	1995	25,9	1919	20,1
1871	3,0	2002	21,0	1950	25,7	1879	20,2
1893	3,0	1826	20,9	1859	25,5	1913	20,3
1940	3,0	1920	20,7	1989	25,5	1909	20,4
1948	3,4	1882	20,6	1952	25,4	1910	20,4
1929	3,4	1931	20,6	1998	25,3	1841	20,9
1947	3,4	1938	20,4	1923	25,1	1875	20,9

Tab. 4.26. Mroźne stycznie i gorące lipce w Mińsku (1891-2002)
 Tab. 4.26. The frosty Januaries and hot Julys in Minsk (1891-2002)

STYCZEŃ				LIPIEC			
chłodny		ciepły		ciepły		chłodny	
1893	-17,6	1989	0,5	2001	22,0	1935	14,6
1942	-16,3	1990	-0,5	2002	22,0	1979	14,6
1987	-15,3	1925	-0,6	1936	21,8	1920	14,9
1940	-15,2	1975	-0,6	1999	21,3	1904	15,2
1950	-14,0	1983	-0,6	1959	20,8	1962	15,4
1963	-13,6	1994	-0,8	1932	20,4	1943	15,6
1941	-13,4	1998	-1,3	1994	20,2	1977	15,7
1969	-12,8	1902	-2,0	1891	20,0	1984	15,7
1954	-12,5	1936	-2,0	1988	20,0	1956	15,8
1972	-12,2	1899	-2,1	1896	19,9	1990	15,8

Tab. 4.27. Mroźne stycznie i gorące lipce w Monachium (1781-1991)
 Tab. 4.27. The frosty Januaries and hot Julys in Munich (1781-1991)

STYCZEŃ				LIPIEC			
chłodny		ciepły		ciepły		chłodny	
1830	-9,5	1796	5,0	1911	20,1	1806	2,7
1940	-9,4	1834	4,9	1921	20,1	1916	2,8
1942	-9,4	1983	3,3	1928	20,1	1948	2,8
1893	-8,3	1921	3,1	1887	20,0	1804	2,9
1963	-8,0	1804	2,9	1967	20,0	1866	2,9
1838	-7,5	1866	2,9	1797	19,9	1975	2,9
1795	-7,4	1975	2,9	1811	19,9	1921	3,1
1929	-7,1	1916	2,8	1905	19,9	1983	3,3
1848	-7,0	1948	2,8	1950	19,9	1834	4,9
1826	-6,9	1806	2,7	1964	19,8	1796	5,0

Tab. 4.28. Mroźne stycznie i gorące lipce w Moskwie (1779-2002)
 Tab. 4.28. The frosty Januaries and hot Julys in Moscow (1779-2002)

STYCZEŃ				LIPIEC			
chłodny		ciepły		ciepły		chłodny	
1893	-21,7	1932	-4,1	1904	14,5	1999	21,7
1942	-20,3	1983	-4,1	1912	14,6	1972	21,9
1940	-19,5	1949	-3,9	1935	15,1	1846	22,0
1783	-19,1	1975	-3,9	1956	15,2	1885	22,0
1848	-18,3	1925	-3,8	1911	15,4	2002	22,6
1950	-18,1	1944	-3,8	1921	15,6	1936	22,7
1891	-17,7	1971	-3,7	1968	15,7	1841	22,8
1850	-17,6	1994	-3,4	1923	15,8	1839	22,9
1987	-17,6	1882	-3,1	1950	15,8	2001	23,0
1838	-17,2	1989	-2,2	1783	16,0	1938	23,3

Tab. 4.29. Mroźne stycznie i gorące lipce w Odessie (1821-2002)
 Tab. 4.29. The frosty Januaries and hot Julys in Odessa (1821-2002)

STYCZEŃ				LIPIEC			
chłodny		ciepły		ciepły		chłodny	
1861	-10,9	1895	4,0	1936	26,6	1993	19,6
1893	-10,2	1936	3,7	2001	26,0	1902	19,8
1942	-9,9	1948	3,1	1938	25,8	1974	19,9
1848	-9,8	1899	2,9	2002	25,6	1979	19,9
1963	-9,4	1867	2,6	1999	25,3	1982	19,9
1847	-9,0	1975	2,4	1882	24,8	1843	20,0
1896	-9,0	1994	2,4	1959	24,8	1912	20,0
1954	-9,0	1915	2,2	1839	24,6	1913	20,1
1830	-8,5	1952	2,2	1883	24,6	1956	20,1
1858	-8,5	1983	2,0	1845	24,5	1985	20,1

Tab. 4.30. Mroźne stycznie i gorące lipce w Oksfordzie (1828-1980)
 Tab. 4.30. The frosty Januaries and hot Julys in Oxford (1828-1980)

STYCZEŃ				LIPIEC			
chłodny		ciepły		ciepły		chłodny	
1963	-3,0	1916	7,7	1921	19,7	1841	14,1
1838	-2,2	1921	7,6	1911	19,6	1840	14,3
1940	-1,3	1884	7,3	1976	19,6	1888	14,4
1881	-1,0	1975	7,2	1859	19,4	1919	14,4
1879	-0,6	1834	7,1	1868	19,3	1922	14,4
1830	-0,5	1875	7,1	1852	19,2	1879	14,5
1829	-0,2	1898	6,4	1934	19,1	1892	14,6
1979	-0,1	1932	6,4	1870	19,0	1920	14,6
1880	0,2	1974	6,4	1876	18,8	1851	14,7
1842	0,5	1877	6,3	1900	18,8	1910	14,7

Tab. 4.31. Mroźne stycznie i gorące lipce w Oslo (1816-1991)
 Tab. 4.31. The frosty Januaries and hot Julys in Oslo (1816-1991)

STYCZEŃ				LIPIEC			
chłodny		ciepły		ciepły		chłodny	
1941	-13,0	1983	0,7	1901	22,7	1821	13,1
1942	-12,1	1975	0,1	1914	21,8	1832	14,0
1917	-10,9	1932	1,1	1955	21,3	1862	14,0
1867	-10,3	1930	1,4	1855	20,8	1817	14,1
1850	-10,1	1923	0,5	1925	20,0	1851	14,1
1820	-10,0	1898	0,6	1834	19,9	1827	14,3
1841	-8,8	1890	0,4	1899	19,9	1840	14,3
1861	-8,8	1882	0,2	1897	19,6	1841	14,3
1881	-8,7	1874	0,9	1868	19,4	1964	14,3
1875	-8,6	1825	0,4	1896	19,2	1965	14,3

Tab. 4.32. Mroźne stycznie i gorące lipce w Paryżu (1757-1995)
 Tab. 4.32. The frosty Januaries and hot Julys in Paris (1757-1995)

STYCZEŃ				LIPIEC			
chłodny		ciepły		ciepły		chłodny	
1795	-6,3	1796	7,8	1757	24,6	1919	15,2
1838	-4,6	1975	7,4	1762	23,3	1795	15,5
1776	-3,9	1974	7,2	1794	22,6	1816	15,6
1963	-2,6	1834	7,1	1994	22,1	1879	15,6
1830	-2,5	1988	7,1	1859	22,0	1888	15,7
1763	-2,4	1916	7,0	1983	21,9	1909	15,7
1940	-2,4	1921	7,0	1807	21,8	1860	15,8
1799	-2,1	1993	6,9	1921	21,7	1841	16,1
1829	-2,1	1948	6,8	1976	21,7	1965	16,1
1985	-2,1	1764	6,7	1995	21,7	1913	16,3

Tab. 4.33. Mroźne stycznie i gorące lipce w Poczdamie (1894-1992)
 Tab. 4.33. The frosty Januaries and hot Julys in Potsdam (1894-1992)

STYCZEŃ				LIPIEC			
chłodny		ciepły		ciepły		chłodny	
1940	-9,9	1975	4,8	1983	21,5	1898	14,4
1963	-8,3	1983	4,5	1959	20,4	1907	14,7
1893	-8,2	1921	4,2	1976	20,4	1954	15,2
1942	-8,1	1916	3,5	1982	20,3	1979	15,2
1987	-7,2	1944	3,5	1991	20,3	1962	15,4
1941	-7,0	1988	3,4	1946	20,1	1902	15,6
1947	-5,6	1990	3,4	1992	20,0	1965	15,7
1985	-5,6	1902	3,3	1975	19,8	1919	15,8
1929	-4,8	1974	3,3	1911	19,7	1974	15,9
1970	-4,7	1936	3,2	1932	19,7	1984	16,0

Tab. 4.34. Mroźne stycznie i gorące lipce w Pradze (1771-2002)
 Tab. 4.34. The frosty Januaries and hot Julys in Prague (1771-2002)

STYCZEŃ				LIPIEC			
chłodny		ciepły		ciepły		chłodny	
1799	-10,4	1796	5,7	1834	24,1	1980	14,8
1838	-9,2	1921	5,0	1788	23,2	1954	15,0
1784	-9,0	1916	4,5	1794	23,0	1979	15,0
1823	-8,7	1834	4,3	1811	22,8	1996	15,3
1848	-8,6	1902	3,8	1859	22,7	1978	15,5
1963	-8,6	1791	3,6	1826	22,6	2000	15,6
1776	-8,2	1806	3,4	1874	22,5	1984	15,7
1830	-8,2	1866	3,4	1865	22,2	1962	15,8
1893	-7,9	1884	3,2	1778	21,9	1974	15,8
1795	-7,8	1936	3,2	1807	21,9	1965	16,0

Tab. 4.35. Mroźne stycznie i gorące lipce w Rydze (1795-1990)

Tab. 4.35. The frosty Januaries and hot Julys in Ryga (1795-1990)

STYCZEŃ				LIPIEC			
chłodny		ciepły		ciepły		chłodny	
1803	-17,1	1989	2,5	1826	22,5	1979	14,2
1809	-14,7	1796	2,3	1914	22,4	1902	14,4
1893	-14,7	1824	1,8	1798	21,2	1904	14,4
1987	-14,5	1882	1,4	1865	21,1	1965	14,5
1942	-13,2	1925	1,3	1805	20,7	1962	14,6
1940	-12,7	1983	1,3	1861	20,5	1830	14,8
1848	-12,6	1863	0,8	1927	20,5	1806	15,0
1861	-12,3	1825	0,7	1868	20,4	1863	15,0
1941	-12,0	1866	0,7	1972	20,3	1928	15,0
1950	-11,8	1975	0,6	1855	20,2	1847	15,1

Tab. 4.36. Mroźne stycznie i gorące lipce w Rzymie (1811-1991)

Tab. 4.36. The frosty Januaries and hot Julys in Rome (1811-1991)

STYCZEŃ				LIPIEC			
chłodny		ciepły		ciepły		chłodny	
1864	3,7	1988	10,9	1928	27,6	1980	22,0
1880	3,7	1955	10,8	1950	27,4	1909	22,1
1942	3,7	1845	10,4	1947	27,0	1843	22,2
1858	4,0	1856	10,4	1822	26,9	1913	22,2
1905	4,1	1977	10,1	1945	26,6	1966	22,3
1850	4,2	1970	9,9	1828	26,5	1910	22,4
1893	4,2	1982	9,7	1942	26,4	1948	22,4
1859	4,4	1821	9,6	1952	26,4	1815	22,5
1929	4,6	1974	9,6	1881	26,3	1833	22,5
1891	4,7	1971	9,4	1897	26,3	1816	22,7

Tab. 4.37. Mroźne stycznie i gorące lipce w Seantis (1883-1988)
 Tab. 4.37. The frosty Januaries and hot Julys in Seantis (1883-1988)

STYCZEŃ				LIPIEC			
chłodny		ciepły		ciepły		chłodny	
1895	-14,3	1898	-3,3	1942	8,7	1913	1,3
1953	-13,4	1932	-4,6	1928	8,5	1919	1,7
1944	-12,0	1930	-5,0	1911	7,8	1944	2,2
1929	-11,9	1890	-5,1	1887	7,7	1888	2,4
1917	-11,8	1925	-5,4	1905	7,5	1909	2,4
1935	-11,8	1954	-5,4	1904	7,4	1907	2,6
1915	-11,7	1964	-5,4	1921	7,4	1910	2,7
1891	-11,6	1965	-5,4	1923	7,4	1970	2,8
1893	-11,5	1945	-5,9	1949	7,3	1898	3,0
1969	-11,3	1963	-6,5	1957	7,3	1956	3,1

Tab. 4.38. Mroźne stycznie i gorące lipce w Sonnblick (1921-1980)
 Tab. 4.38. The frosty Januaries and hot Julys in Sonnblick (1921-1980)

STYCZEŃ				LIPIEC			
chłodny		ciepły		ciepły		chłodny	
1963	-18,5	1945	-8,1	1941	4,2	1939	0,3
1954	-16,9	1938	-8,9	1952	3,9	1960	0,3
1948	-16,6	1943	-8,9	1967	3,0	1961	0,3
1968	-16,1	1974	-9,0	1963	2,8	1962	0,3
1942	-15,6	1975	-9,2	1934	2,7	1966	0,3
1966	-15,4	1955	-9,9	1936	2,5	1978	0,4
1979	-15,1	1934	-10,1	1953	2,5	1979	0,4
1935	-14,8	1949	-10,4	1958	2,4	1980	0,4
1952	-14,8	1964	-10,5	1959	2,4	1968	0,5
1959	-14,8	1973	-10,8	1971	2,4	1974	0,6

Tab. 4.39. Mroźne stycznie i gorące lipce w Stambule (1839-2002)
 Tab. 4.39. The frosty Januaries and hot Julys in Istanbul (1839-2002)

STYCZEŃ				LIPIEC			
chłodny		ciepły		ciepły		chłodny	
1880	0,8	1895	10,5	2002	26,6	1933	20,7
1864	1,6	1915	9,9	1882	26,3	1912	21,0
1858	1,7	1948	9,8	2001	26,1	1969	21,3
1942	1,7	1886	9,6	1879	26,0	1857	21,5
1954	1,9	1936	9,4	1885	25,7	1949	21,6
1947	2,1	1873	9,0	1858	25,6	1877	21,9
1896	2,2	1857	8,9	1883	25,4	1919	21,9
1869	2,3	1971	8,9	1999	25,4	1992	21,9
1950	2,5	1865	8,8	1847	25,3	1943	22,0
1964	2,8	1955	8,8	1880	25,2	1982	22,0

Tab. 4.40. Mroźne stycznie i gorące lipce w Sztokholmie (1756-1994)
 Tab. 4.40. The frosty Januaries and hot Julys in Stockholm (1756-1994)

STYCZEŃ				LIPIEC			
chłodny		ciepły		ciepły		chłodny	
1814	-14,3	1989	3,1	1855	21,4	1832	12,9
1987	-12,6	1796	2,4	1901	21,2	1902	13,8
1809	-12,1	1930	2,1	1783	21,1	1844	14,0
1774	-11,7	1791	1,9	1826	21,1	1862	14,0
1767	-11,2	1873	1,9	1914	21,1	1863	14,3
1942	-10,6	1975	1,9	1994	21,1	1866	14,3
1760	-10,5	1824	1,6	1818	20,8	1812	14,5
1941	-10,4	1932	1,4	1764	20,6	1837	14,5
1803	-9,8	1973	1,4	1941	20,5	1841	14,5
1867	-9,1	1983	1,4	1819	20,2	1977	14,5

Tab. 4.41. Mroźne stycznie i gorące lipce w Tallinnie (1779-2002)

Tab. 4.41. The frosty Januaries and hot Julys in Tallinn (1779-2002)

STYCZEŃ				LIPIEC			
chłodny		ciepły		ciepły		chłodny	
1942	-15,2	1925	1,8	1914	20,8	1815	12,5
1803	-14,8	1930	0,9	1826	20,3	1821	12,5
1809	-14,5	1882	0,6	1927	20,3	1832	12,9
1838	-13,9	1992	0,6	1858	20,0	1902	13,2
1987	-13,4	1975	0,4	2001	19,9	1844	13,7
1861	-13,3	1983	0,2	1855	19,8	1878	13,7
1829	-13,1	1866	0,0	1789	19,7	1904	13,8
1850	-13,1	1791	-0,1	1972	19,5	1790	13,9
1893	-13,0	1932	-0,1	1834	19,4	1965	13,9
1848	-12,9	1898	-0,2	1865	19,4	1928	14,0

Tab. 4.42. Mroźne stycznie i gorące lipce w Trondheim (1761-1981)

Tab. 4.42. The frosty Januaries and hot Julys in Trondheim (1761-1981)

STYCZEŃ				LIPIEC			
chłodny		ciepły		ciepły		chłodny	
1867	-10,3	1973	2,5	1826	19,0	1928	11,0
1814	-9,8	1934	2,4	1819	18,8	1902	11,1
1823	-9,5	1898	2,2	1855	18,7	1800	11,4
1776	-9,1	1932	2,1	1901	18,1	1921	11,6
1838	-9,0	1933	2,1	1914	18,1	1951	11,6
1942	-8,9	1930	1,8	1831	18,0	1965	11,6
1809	-8,6	1882	1,6	1798	17,8	1904	11,7
1767	-8,4	1974	1,6	1941	17,8	1962	11,7
1774	-8,3	1890	1,5	1834	17,7	1863	11,8
1841	-8,0	1925	1,4	1925	17,6	1900	11,8

Tab. 4.43. Mroźne stycznie i gorące lipce w Uppsali (1739-1970)
 Tab. 4.43. The frosty Januaries and hot Julys in Uppsala (1739-1970)

STYCZEŃ				LIPIEC			
chłodny		ciepły		ciepły		chłodny	
1941	-12,6	1930	1,5	1914	21,4	1902	13,3
1942	-12,5	1873	1,3	1901	21,2	1862	13,8
1875	-11,0	1874	1,0	1855	20,5	1844	13,9
1867	-10,9	1932	0,6	1941	20,0	1965	14,1
1917	-10,0	1882	0,5	1925	19,4	1866	14,2
1861	-9,6	1743	0,3	1752	19,3	1867	14,2
1838	-9,2	1866	0,3	1927	19,3	1878	14,2
1881	-8,8	1863	0,2	1899	19,2	1898	14,2
1893	-8,8	1890	0,1	1865	19,1	1962	14,2
1970	-8,6	1934	0,0	1757	18,9	1863	14,3

Tab. 4.44. Mroźne stycznie i gorące lipce w Vestmannaeyjar (1884-1981)
 Tab. 4.44. The frosty Januaries and hot Julys in Vestmannaeyjar (1884-1981)

STYCZEŃ				LIPIEC			
chłodny		ciepły		ciepły		chłodny	
1918	-3,4	1947	4,4	1889	12,8	1979	8,5
1979	-1,9	1964	4,4	1891	12,7	1969	9,0
1886	-1,8	1929	4,1	1917	12,7	1970	9,0
1945	-1,3	1973	4,1	1904	12,5	1975	9,0
1956	-1,3	1912	3,9	1893	12,3	1972	9,2
1949	-1,2	1946	3,9	1908	12,3	1964	9,3
1952	-1,2	1972	3,7	1919	12,3	1973	9,3
1936	-0,9	1926	3,6	1894	12,2	1981	9,3
1959	-0,8	1935	3,6	1895	12,2	1955	9,5
1958	-0,7	1961	3,6	1912	12,1	1963	9,6

Tab. 4.45. Mroźne stycznie i gorące lipce w Warszawie (1779-1998)
 Tab. 4.45. The frosty Januaries and hot Julys in Warsaw (1779-1998)

STYCZEŃ				LIPIEC			
chłodny		ciepły		ciepły		chłodny	
1838	-13,5	1796	3,5	1811	22,4	1923	13,0
1803	-13,2	1983	3,4	2002	21,1	1865	13,6
1823	-13,0	1975	2,7	2001	20,7	1918	14,1
1848	-13,0	1921	2,6	1866	20,6	1810	14,2
1940	-12,1	1994	2,3	1875	20,6	1899	14,4
1893	-12,0	1989	2,2	1999	20,6	1806	14,5
1987	-12,0	1936	2,0	1917	20,5	1821	14,5
1850	-11,7	1990	1,9	1979	20,5	1925	14,6
1963	-11,6	1944	1,5	1964	20,4	1928	14,6
1942	-10,9	1916	1,4	1783	20,0	1984	15,0

Tab. 4.46. Mroźne stycznie i gorące lipce w Wiedniu (1775-2002)
 Tab. 4.46. The frosty Januaries and hot Julys in Vienna (1775-2002)

STYCZEŃ				LIPIEC			
chłodny		ciepły		ciepły		chłodny	
1942	-9,4	1983	5,1	1794	23,5	1913	16,0
1830	-8,7	1916	4,7	1811	23,2	1837	16,2
1940	-8,5	1921	4,7	1983	23,2	1860	16,7
1838	-8,4	1796	4,6	1994	23,2	1919	16,7
1795	-8,3	1994	4,4	1834	23,1	1856	17,0
1848	-8,1	1834	3,8	1859	23,0	1879	17,0
1893	-8,0	1975	3,5	1995	22,9	1833	17,1
1823	-7,7	1791	3,4	1782	22,8	1844	17,2
1776	-7,6	1944	3,4	1788	22,7	1907	17,2
1799	-7,4	1902	3,2	1797	22,3	1909	17,4

Tab. 4.47. Mroźne stycznie i gorące lipce w Wilnie (1777-2002)
 Tab. 4.47. The frosty Januaries and hot Julys in Wilno (1777-2002)

STYCZEŃ				LIPIEC			
chłodny		ciepły		ciepły		chłodny	
1803	-19,1	1989	1,1	1826	22,7	1979	13,3
1987	-15,6	1791	0,8	1858	22,0	1832	14,7
1942	-15,0	1866	0,5	1861	21,7	1974	14,9
1893	-14,9	1882	0,5	1865	21,7	1977	15,0
1838	-14,6	1863	0,4	1811	21,5	1984	15,2
1940	-14,6	1925	0,3	1834	21,3	1844	15,3
1809	-14,5	1990	-0,1	1896	21,1	1876	15,3
1848	-13,9	1983	-0,2	1914	21,1	1878	15,3
1823	-13,7	1975	-0,3	1845	21,0	1978	15,3
1861	-13,0	1994	-0,4	1936	21,0	1996	15,4

Tab. 4.48. Mroźne stycznie i gorące lipce we Wrocławiu (1792-2002)
 Tab. 4.48. The frosty Januaries and hot Julys in Wroclaw (1792-2002)

STYCZEŃ				LIPIEC			
chłodny		ciepły		ciepły		chłodny	
1803	-11,9	1796	4,6	1834	22,5	1795	14,8
1826	-11,8	1921	4,3	1994	22,3	1844	15,2
1830	-11,6	1983	4,3	1983	21,8	1832	15,4
1940	-11,3	1975	3,4	1865	21,3	1979	15,4
1823	-10,7	1902	3,3	1959	21,2	1815	15,5
1848	-10,7	1916	3,2	1859	20,9	1821	15,6
1838	-10,6	1994	3,2	1995	20,9	1898	15,7
1963	-10,6	1944	3,1	1957	20,8	1820	15,9
1987	-10,0	1936	2,9	1874	20,7	1837	15,9
1795	-9,7	1988	2,6	1797	20,5	1860	15,9

Tab. 4.49. Mroźne stycznie i gorące lipce w Zagrzebiu (1862-2002)
 Tab. 4.49. The frosty Januaries and hot Julys in Zagreb (1862-2002)

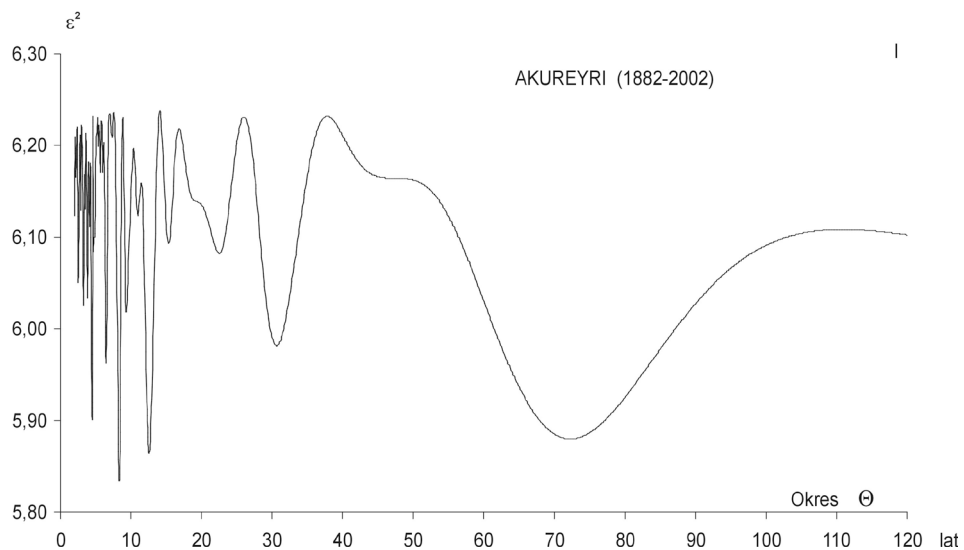
STYCZEŃ				LIPIEC			
chłodny		ciepły		ciepły		chłodny	
1864	-7,3	1936	6,6	1928	24,9	1913	18,3
1891	-6,6	1948	5,9	1950	24,5	1919	18,7
1942	-6,6	1975	5,3	1865	24,2	1898	19,3
1893	-6,4	1921	5,1	1874	24,1	1954	19,3
1940	-6,0	1994	5,0	1952	24,1	1960	19,3
1880	-5,3	1863	4,7	1994	23,9	1984	19,3
1964	-5,0	1988	4,7	1995	23,8	1987	19,3
1947	-4,9	1899	4,3	1862	23,7	1948	19,4
1963	-4,9	1939	4,3	1921	23,7	1978	19,4
1876	-4,4	2001	4,3	1946	23,7	1962	19,6

Tab. 4.50. Mroźne stycznie i gorące lipce w Zurchu (1864-1980)
 Tab. 4.50. The frosty Januaries and hot Julys in Zurich (1864-1980)

STYCZEŃ				LIPIEC			
chłodny		ciepły		ciepły		chłodny	
1953	-6,2	1936	4,2	1874	21,1	1918	14,4
1864	-5,9	1921	4,1	1881	21,1	1913	14,8
1893	-5,9	1916	3,7	1928	21,1	1919	14,8
1940	-5,5	1965	3,6	1911	20,8	1970	15,0
1891	-5,4	1920	3,0	1870	20,7	1950	15,3
1880	-5,2	1964	2,9	1873	20,6	1944	15,4
1895	-4,6	1928	2,6	1942	20,6	1956	15,5
1929	-4,5	1877	2,5	1869	20,5	1888	15,6
1871	-4,4	1866	2,4	1904	20,5	1909	15,6
1885	-4,1	1899	2,3	1905	20,5	1955	15,6

Tab. 51. Rozmieszczenie stacji meteorologicznych w Europie
 Tab. 51. Location of meteorological stations in Europe

Miejscowość	Okres	φ	λ	H
Akureyri	1882-2002	65°41'N	18°05'W	27
Anglia Środkowa	1660-1973	–	–	–
Ateny	1858-2002	37°58'N	23°43'E	107
Bazylea	1755-1980	47°36'N	7°36'E	316
Berlin	1769-1990	52°28'N	13°18'E	58
Budapeszt	1780-1991	47°31'N	19°02'E	129
Genewa	1768-1980	46°15'N	6°08'E	416
Greenwich	1763-1969	51°30'N	0°00	
Innsbruck	1777-2000	48°24'N	17°09'E	207
Kijów	1812-2000	50°24'N	30°34'E	167
Kopenhaga	1768-1991	55°37'N	12°39'E	5
Kraków	1827-1997	50°04'N	19°57'E	221
Kremsmuenster	1767-1981	48°00'N	14°06'E	
Lwów	1824-2002	49°49'N	23°57'E	323
Marsylia	1838-2002	43°27'N	5°14'E	36
Mińsk	1891-2002	53°56'N	27°38'E	231
Monachium	1781-1991	48°22'N	11°48'E	447
Moskwa	1779-2002	55°50'N	37°37'E	156
Odessa	1821-2002	46°26'N	30°46'E	42
Oksford	1828-1980	51°42'N	1°12'E	63
Oslo	1816-1991	59°57'N	10°43'E	96
Paryż	1757-1995	48°58'N	2°27'E	65
Poczdam	1984-1992	52°23'N	13°04'E	100
Praga	1771-2002	50°06'N	14°15'E	365
Ryga	1795-1990	56°58'N	24°03'E	7
Rzym	1811-1991	41°48'N	12°36'E	46
Saentis	1883-1988	47°15'N	9°21'E	2500
Sonnblick	1921-1980	47°03'N	12°57'E	3109
Stambuł	1839-2002	40°58'N	29°05'E	33
Sztokholm	1756-1994	59°34'N	18°06'E	44
Tallinn	1779-2002	59°23'N	24°35'E	34
Trondheim	1761-1981	63°24'N	10°30'E	133
Uppsala	1739-1970	59°54'N	17°36'E	
Vestmannaeyjar	1884-1981	63°24'N	20°17'E	124
Warszawa	1779-1998	52°13'N	21°02'E	110
Wiedeń	1775-2002	48°15'N	16°22'E	200
Wilno	1777-2002	54°38'N	25°06'E	156
Wrocław	1792-2002	51°08'N	16°59'E	116
Zagrzeb	1862-2002	45°49'N	15°59'E	162
Zurich	1864-1980	47°23'N	8°34'E	569

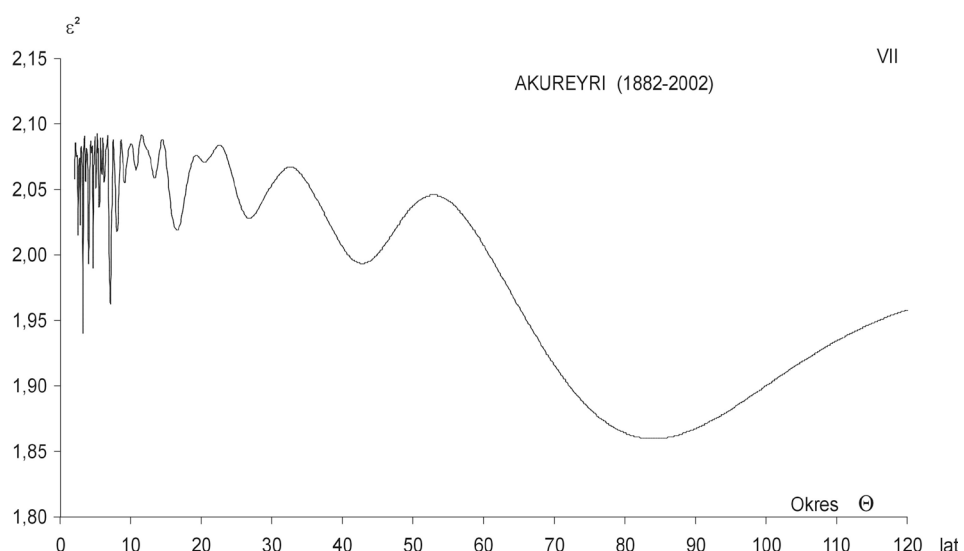


Rys. 4.1a. Widmo temperatury powietrza w Akureyri w latach 1882-2002

(w paśmie 2,0-120 lat, $\Delta\Theta = 0,1$) – styczeń

Fig. 4.1a. Spectrum of air temperature in Akureyri in the years 1882-2002

(in the strip 2.0-120 years, $\Delta\Theta = 0.1$) – January

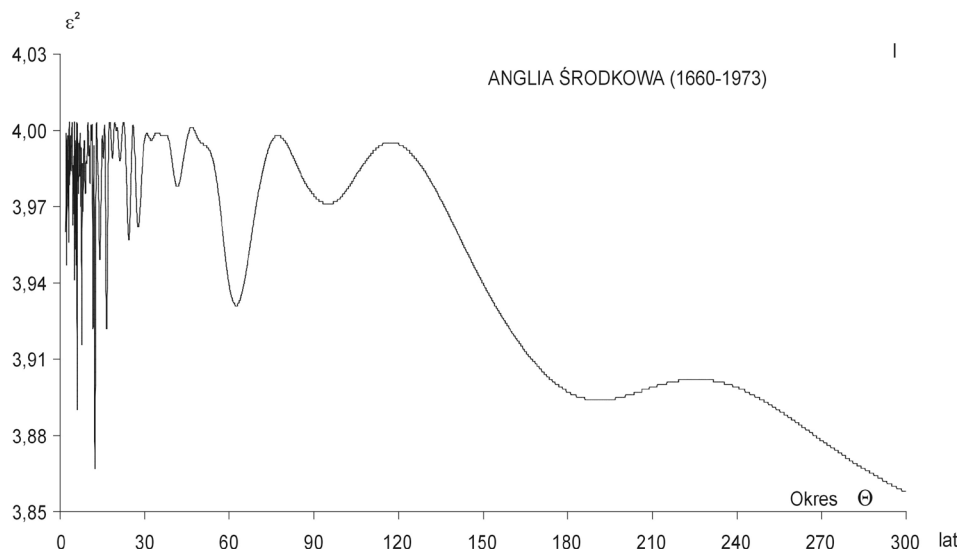


Rys. 4.1b. Widmo temperatury powietrza w Akureyri w latach 1882-2002

(w paśmie 2,0-120 lat, $\Delta\Theta = 0,1$) – lipiec

Fig. 4.1b. Spectrum of air temperature in Akureyri in the years 1882-2002

(in the strip 2.0-120 years, $\Delta\Theta = 0.1$) – July

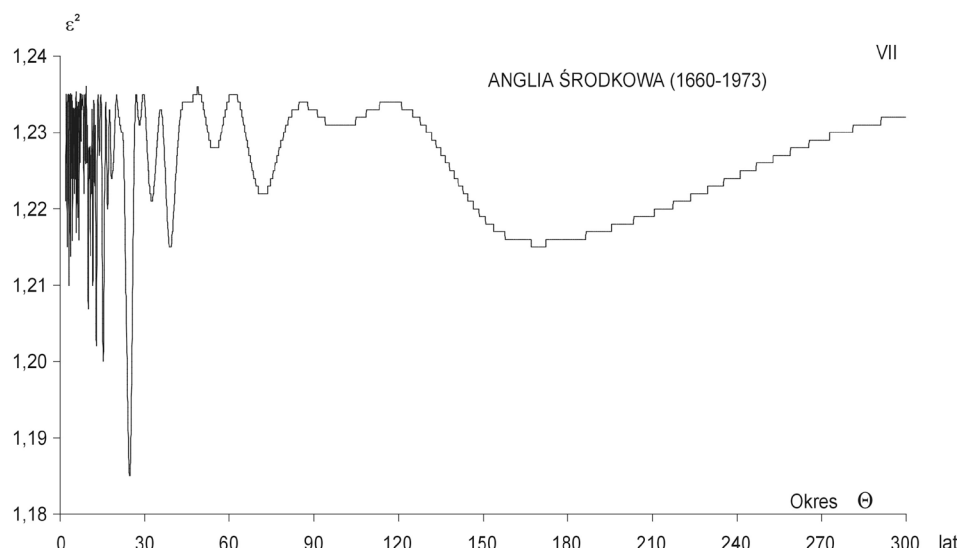


Rys. 4.2a. Widmo temperatury powietrza w Anglii w latach 1660-1973

(w paśmie 2,0-300 lat, $\Delta\Theta = 0,1$) – styczeń

Fig. 4.2a. Spectrum of air temperature in England in the years 1660-1973

(in the strip 2.0-300 years, $\Delta\Theta = 0.1$) – January

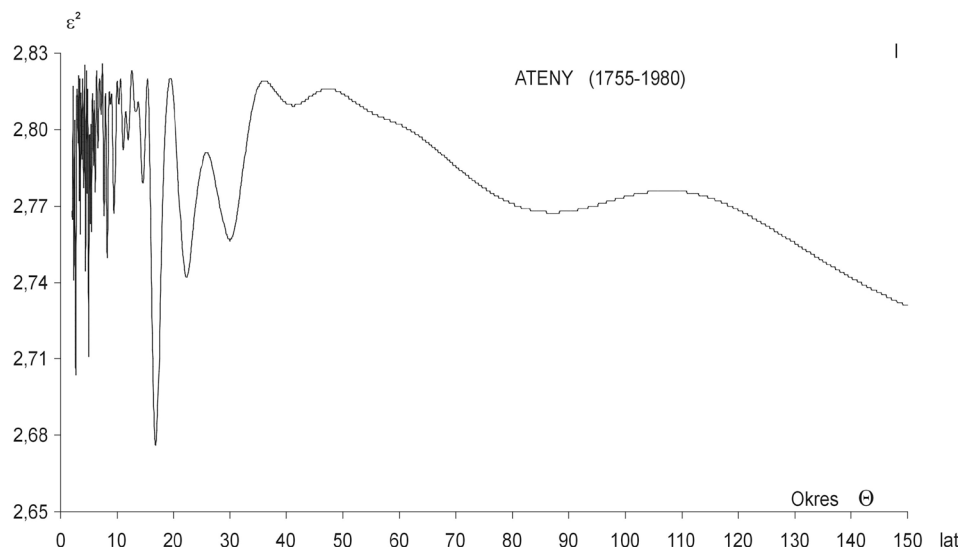


Rys. 4.2b. Widmo temperatury powietrza w Anglii Środkowej w latach 1660-1973

(w paśmie 2,0-300 lat, $\Delta\Theta = 0,1$) – lipiec

Fig. 4.2b. Spectrum of air temperature in England in the years 1660-1973

(in the strip 2.0-300 years, $\Delta\Theta = 0.1$) – July

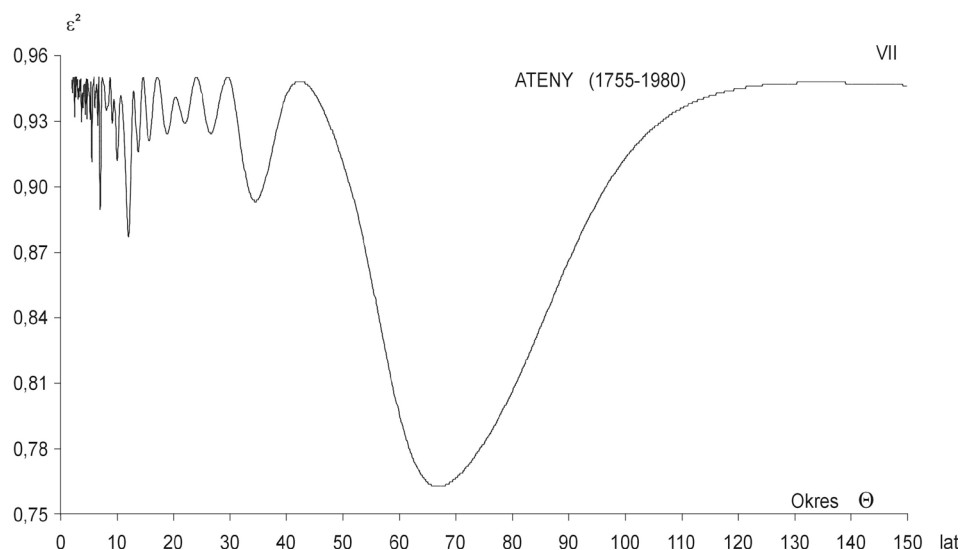


Rys. 4.3a. Widmo temperatury powietrza w Atenach w latach 1858-2002

(w paśmie 2,0-150 lat, $\Delta\Theta = 0,1$) – styczeń

Fig. 4.3a. Spectrum of air temperature in Athens in the years 1858-2002

(in the strip 2.0-150 years, $\Delta\Theta = 0.1$) – January

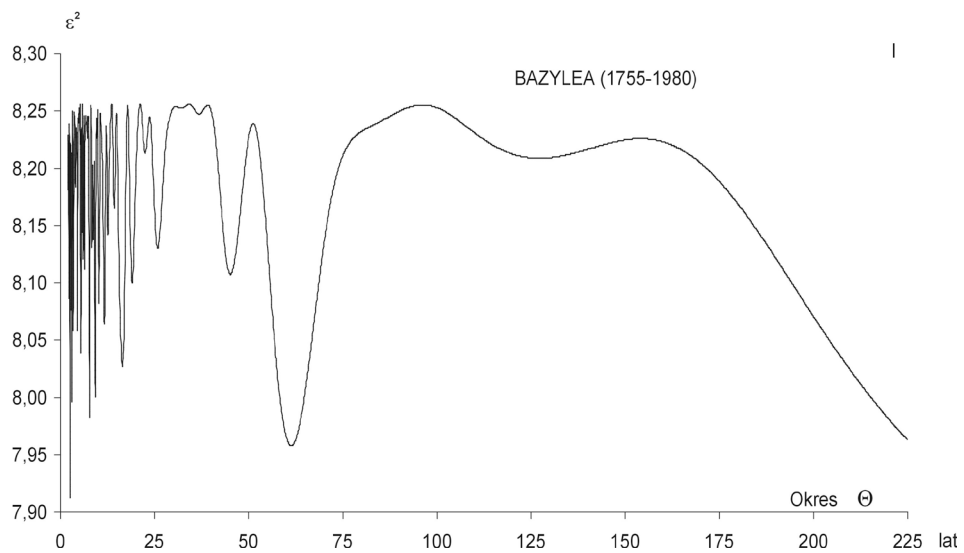


Rys. 4.3b. Widmo temperatury powietrza w Atenach w latach 1858-2002

(w paśmie 2,0-150 lat, $\Delta\Theta = 0,1$) – lipiec

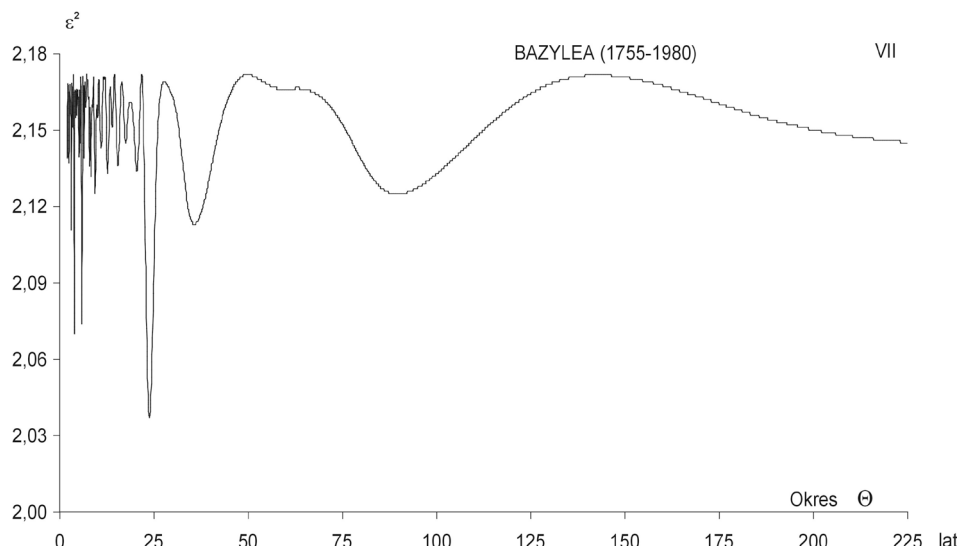
Fig. 4.3b. Spectrum of air temperature in Athens in the years 1858-2002

(in the strip 2.0-150 years, $\Delta\Theta = 0.1$) – July



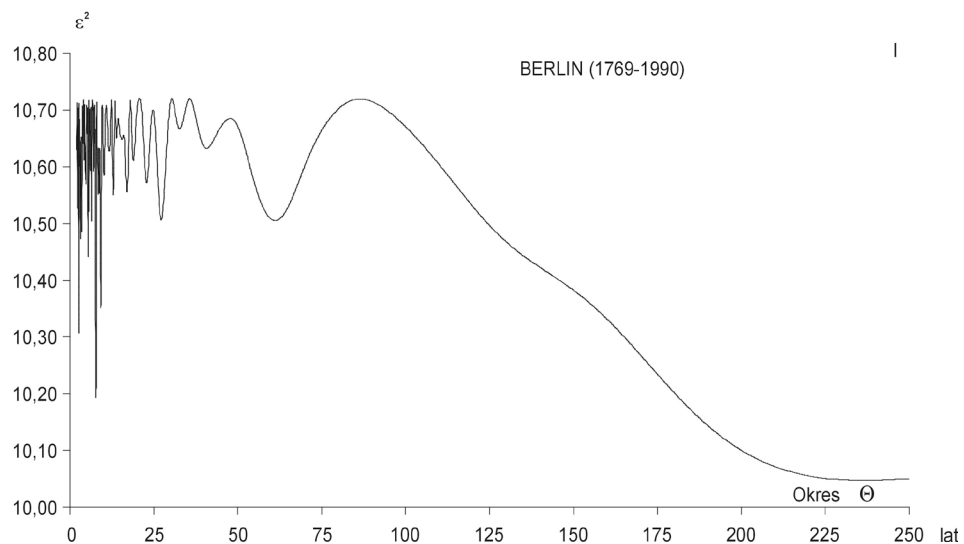
Rys. 4.4a. Widmo temperatury powietrza w Bazylei w latach 1755-1980
 (w paśmie 2,0-225 lat, $\Delta\Theta = 0,1$) – styczeń

Fig. 4.4a. Spectrum of air temperature in Basel in the years 1755-1980
 (in the strip 2.0-225 years, $\Delta\Theta = 0.1$) – January



Rys. 4.4b. Widmo temperatury powietrza w Bazylei w latach 1755-1980
 (w paśmie 2,0-225 lat, $\Delta\Theta = 0,1$) – lipiec

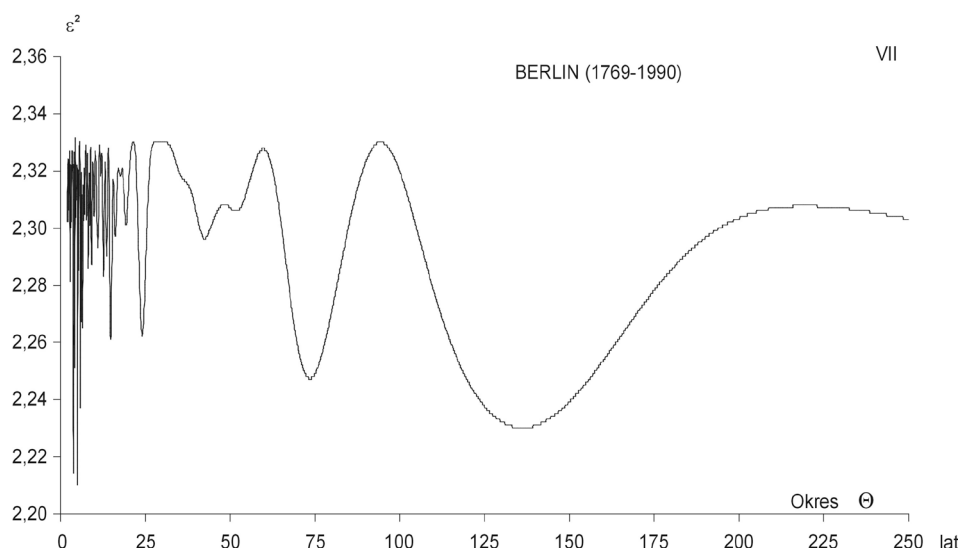
Fig. 4.4b. Spectrum of air temperature in Basel in the years 1755-1980
 (in the strip 2.0-225 years, $\Delta\Theta = 0.1$) – July



Rys. 4.5a. Widmo temperatury powietrza w Berlinie w latach 1769-1990

(w paśmie 2,0-250 lat, $\Delta\Theta = 0,1$) – styczeń

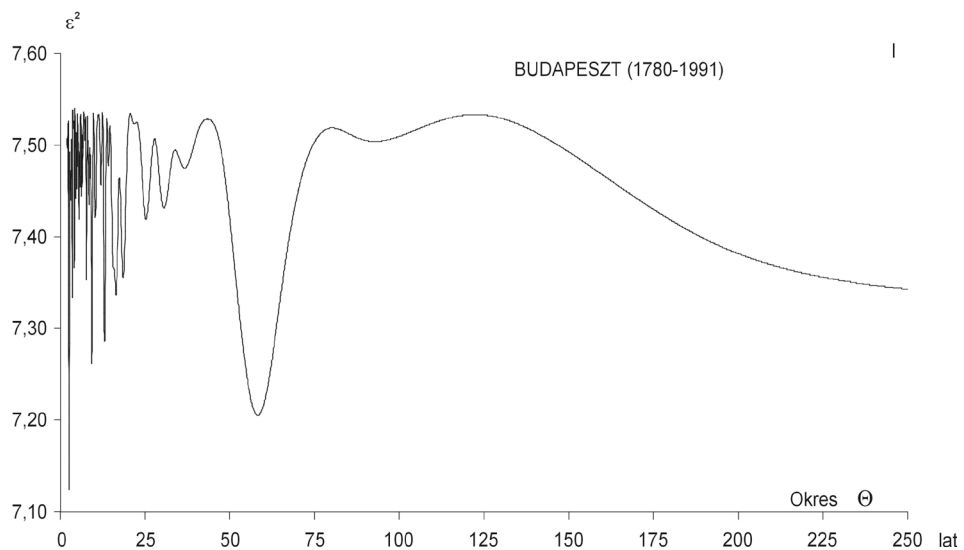
Fig. 4.5a. Spectrum of air temperature in Berlin in the years 1769-1990
(in the strip 2.0-250 years, $\Delta\Theta = 0.1$) – January



Rys. 4.5b. Widmo temperatury powietrza w Berlinie w latach 1769-1990

(w paśmie 2,0-250 lat, $\Delta\Theta = 0,1$) – lipiec

Fig. 4.5b. Spectrum of air temperature in Berlin in the years 1769-1990
(in the strip 2.0-250 years, $\Delta\Theta = 0.1$) – July



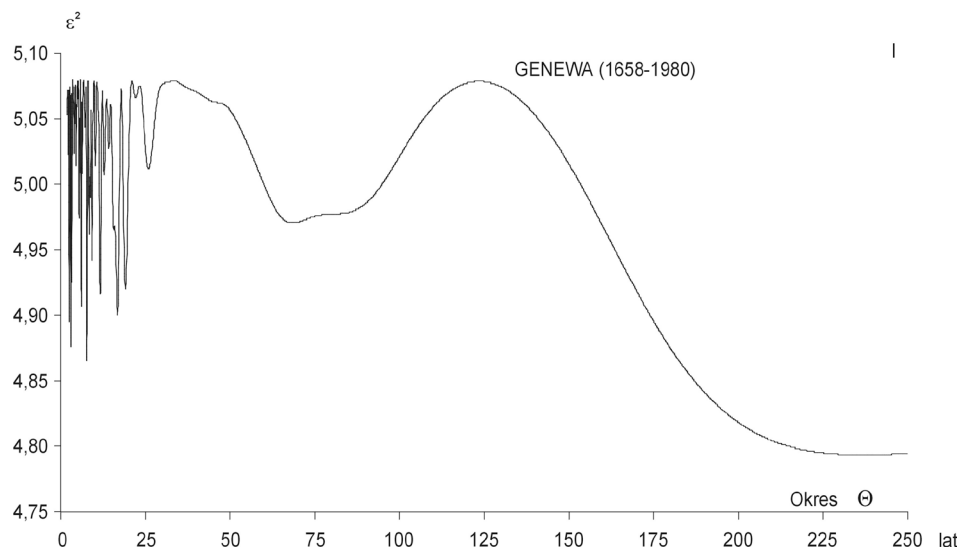
Rys. 4.6a. Widmo temperatury powietrza w Budapeszcie w latach 1780-1991
(w paśmie 2,0-250 lat, $\Delta\Theta = 0,1$) – styczeń

Fig. 4.6a. Spectrum of air temperature in Budapest in the years 1780-1991
(in the strip 2.0-250 years, $\Delta\Theta = 0.1$) – January



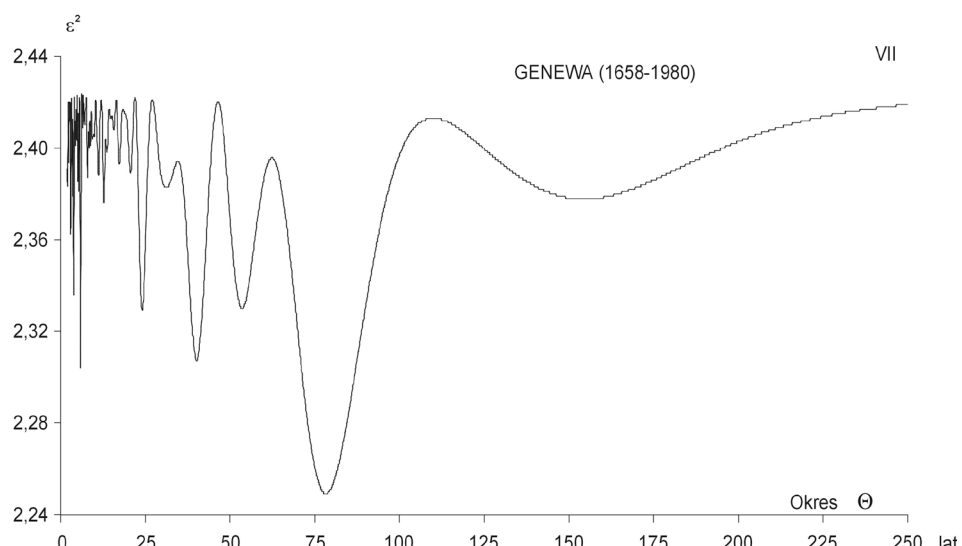
Rys. 4.6b. Widmo temperatury powietrza w Budapeszcie w latach 1780-1991
(w paśmie 2,0-250 lat, $\Delta\Theta = 0,1$) – lipiec

Fig. 4.6b. Spectrum of air temperature in Budapest in the years 1780-1991
(in the strip 2.0-250 years, $\Delta\Theta = 0.1$) – July



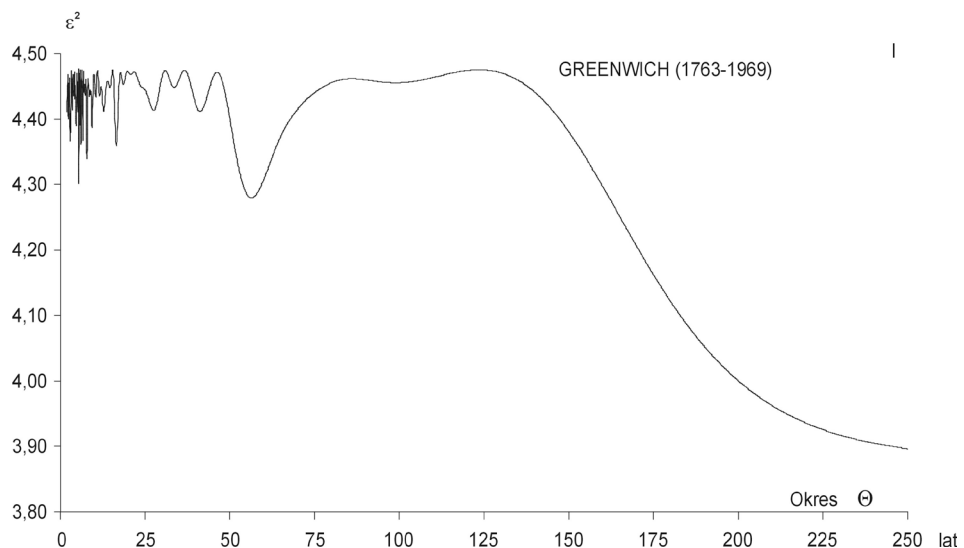
Rys. 4.7a. Widmo temperatury powietrza w Genewie w latach 1768-1980
 (w paśmie 2,0-250 lat, $\Delta\Theta = 0,1$) – styczeń

Fig. 4.7a. Spectrum of air temperature in Geneva in the years 1768-1980
 (in the strip 2.0-250 years, $\Delta\Theta = 0.1$) – January



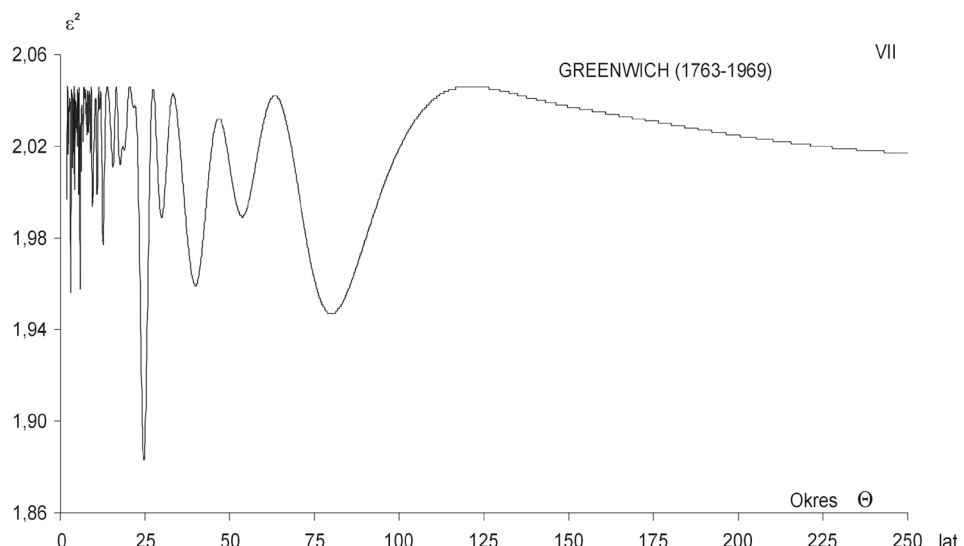
Rys. 4.7b. Widmo temperatury powietrza w Genewie w latach 1768-1980
 (w paśmie 2,0-250 lat, $\Delta\Theta = 0,1$) – lipiec

Fig. 4.7b. Spectrum of air temperature in Geneva in the years 1768-1980
 (in the strip 2.0-250 years, $\Delta\Theta = 0.1$) – July



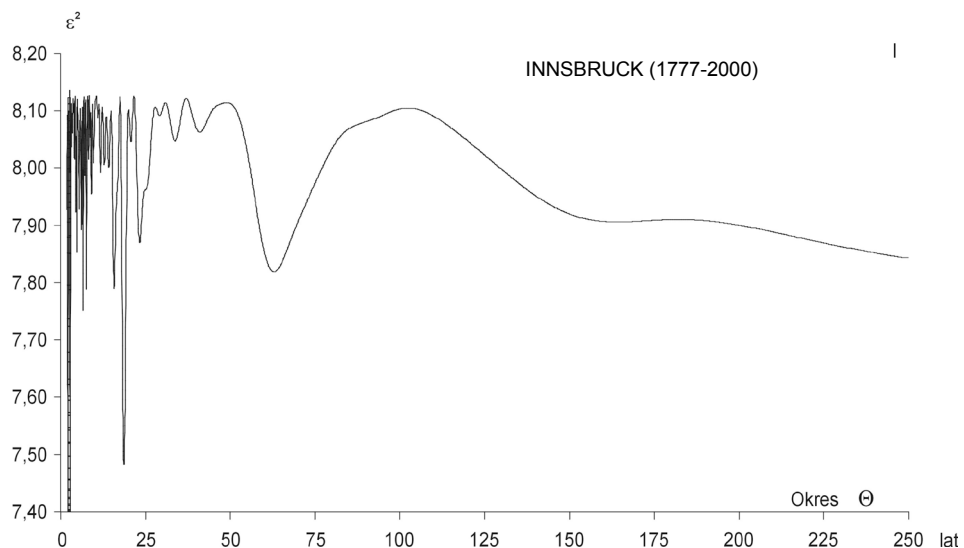
Rys. 4.8a. Widmo temperatury powietrza w Greenwich w latach 1763-1969
 (w paśmie 2,0-250 lat, $\Delta\Theta = 0,1$) – styczeń

Fig. 4.8a. Spectrum of air temperature in Greenwich in the years 1763-1969
 (in the strip 2.0-250 years, $\Delta\Theta = 0.1$) – January



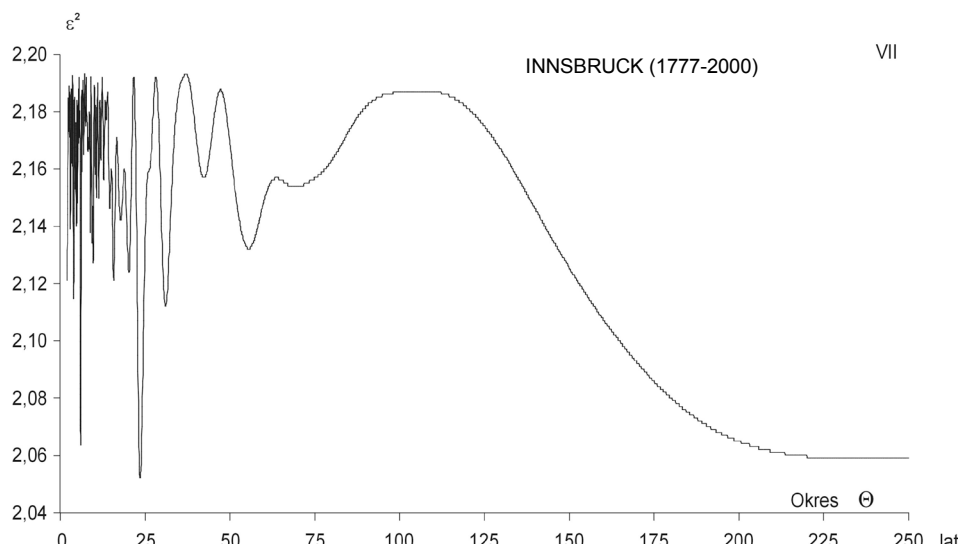
Rys. 4.8b. Widmo temperatury powietrza w Greenwich w latach 1763-1969
 (w paśmie 2,0-250 lat, $\Delta\Theta = 0,1$) – lipiec

Fig. 4.8b. Spectrum of air temperature in Greenwich in the years 1763-1969
 (in the strip 2.0-250 years, $\Delta\Theta = 0.1$) – July



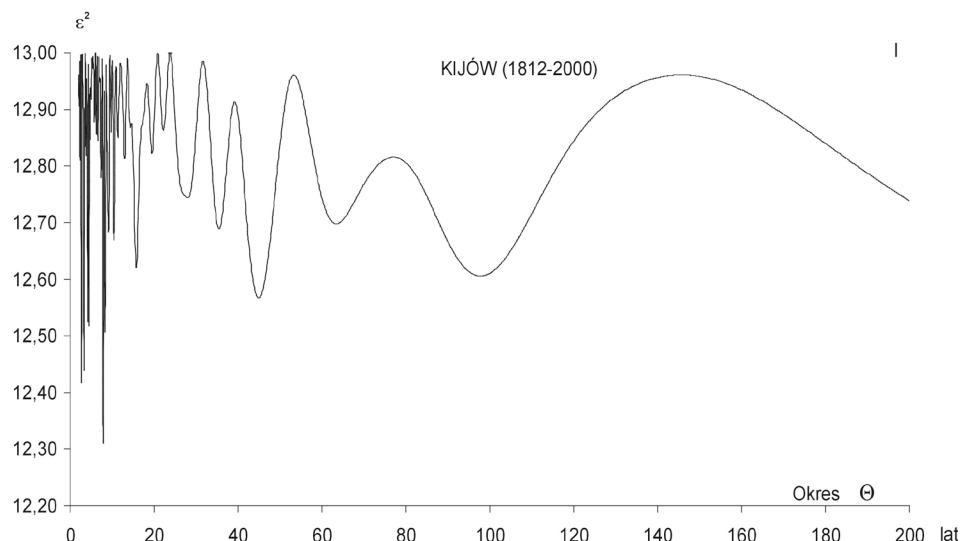
Rys. 4.9a. Widmo temperatury powietrza w Innsbrucku w latach 1777-2000
 (w paśmie 2,0-250 lat, $\Delta\Theta = 0,1$) – styczeń

Fig. 4.9a. Spectrum of air temperature in Innsbruck in the years 1777-2000
 (in the strip 2.0-250 years, $\Delta\Theta = 0.1$) – January



Rys. 4.9b. Widmo temperatury powietrza w Innsbrucku w latach 1777-2000
 (w paśmie 2,0-250 lat, $\Delta\Theta = 0,1$) – lipiec

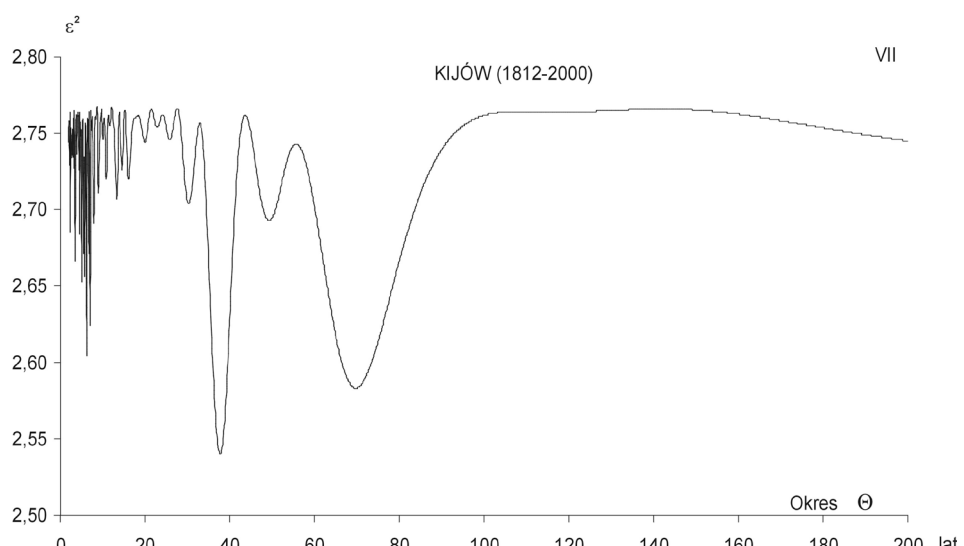
Fig. 4.9b. Spectrum of air temperature in Innsbruck in the years 1777-2000
 (in the strip 2.0-250 years, $\Delta\Theta = 0.1$) – July



Rys. 4.10a. Widmo temperatury powietrza w Kijowie w latach 1812-2000

(w paśmie 2,0-200 lat, $\Delta\Theta = 0,1$) – styczeń

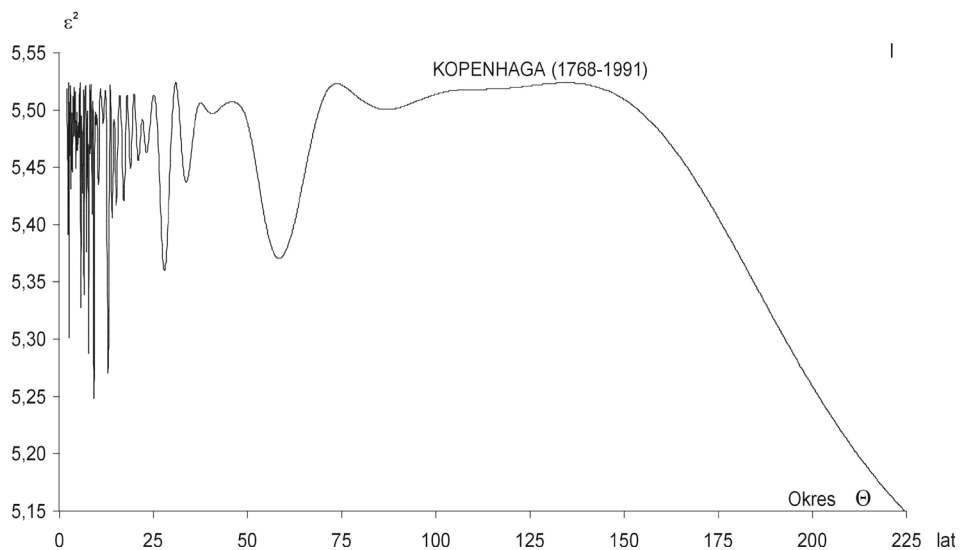
Fig. 4.10a. Spectrum of air temperature in Kiev in the years 1812-2000
(in the strip 2.0-200 years, $\Delta\Theta = 0.1$) – January



Rys. 4.10b. Widmo temperatury powietrza w Kijowie w latach 1812-2000

(w paśmie 2,0-200 lat, $\Delta\Theta = 0,1$) – lipiec

Fig. 4.10b. Spectrum of air temperature in Kiev in the years 1812-2000
(in the strip 2.0-200 years, $\Delta\Theta = 0.1$) – July

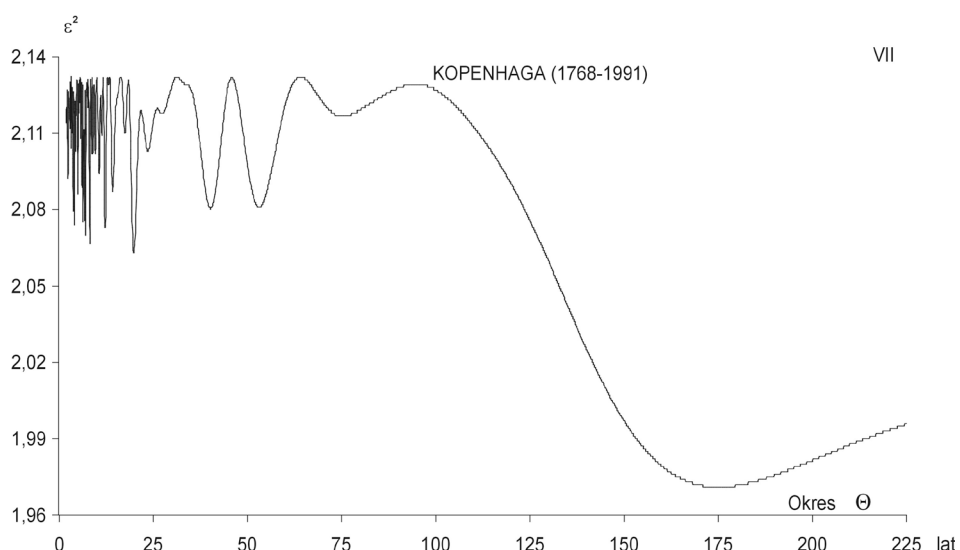


Rys. 4.11a. Widmo temperatury powietrza w Kopenhadze w latach 1768-1991

(w paśmie 2,0-225 lat, $\Delta\Theta = 0,1$) – styczeń

Fig. 4.11a. Spectrum of air temperature in Copenhagen in the years 1768-1991

(in the strip 2.0-225 years, $\Delta\Theta = 0.1$) – January

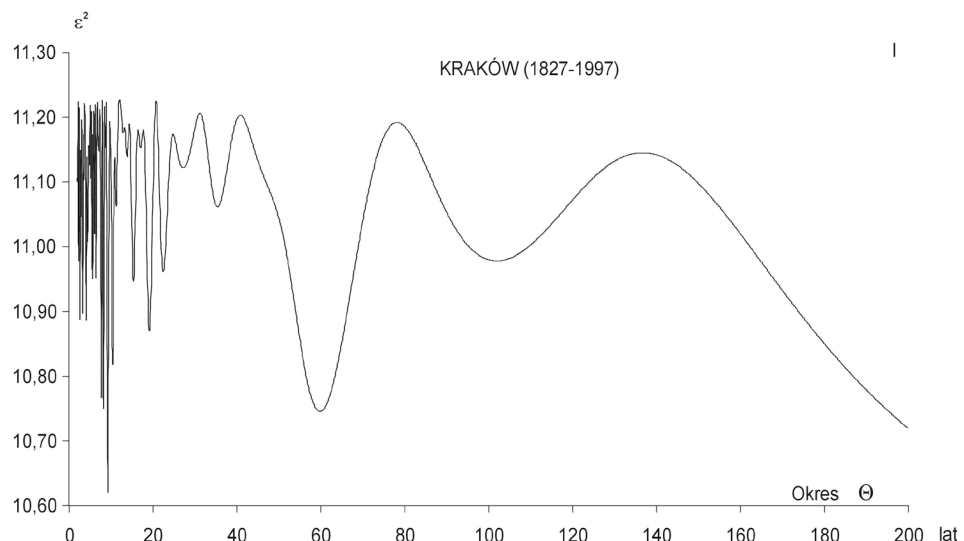


Rys. 4.11b. Widmo temperatury powietrza w Kopenhadze w latach 1768-1991

(w paśmie 2,0-225 lat, $\Delta\Theta = 0,1$) – lipiec

Fig. 4.11b. Spectrum of air temperature in Copenhagen in the years 1768-1991

(in the strip 2.0-225 years, $\Delta\Theta = 0.1$) – July

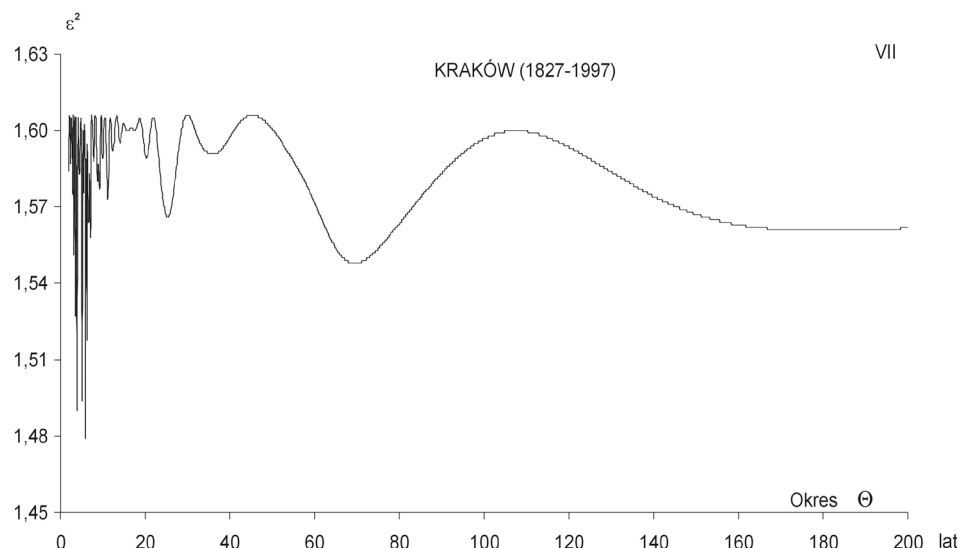


Rys. 4.12a. Widmo temperatury powietrza w Krakowie w latach 1827-1997

(w paśmie 2,0-200 lat, $\Delta\Theta = 0,1$) – styczeń

Fig. 4.12a. Spectrum of air temperature in Krakow in the years 1827-1997

(in the strip 2.0-200 years, $\Delta\Theta = 0.1$) – January

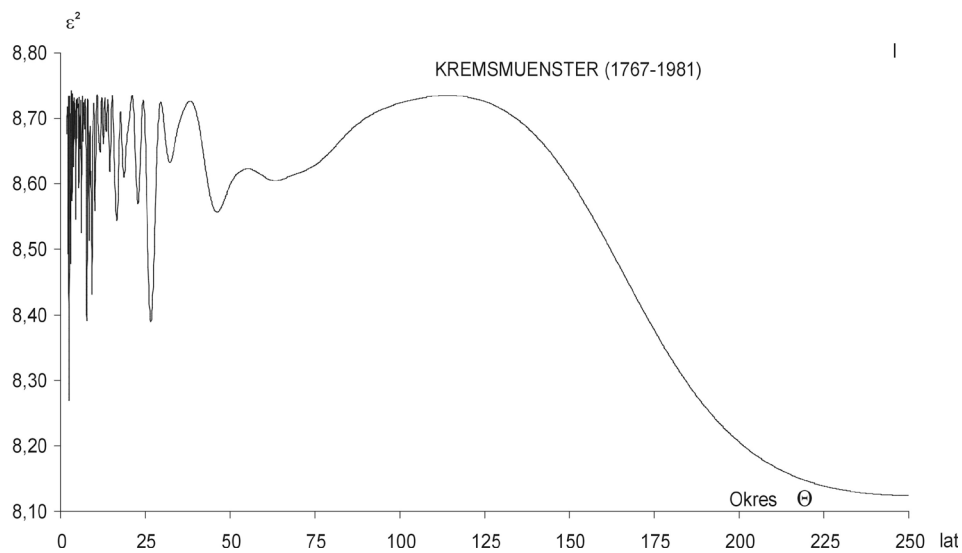


Rys. 4.12b. Widmo temperatury powietrza w Krakowie w latach 1827-1997

(w paśmie 2,0-200 lat, $\Delta\Theta = 0,1$) – lipiec

Fig. 4.12b. Spectrum of air temperature in Krakow in the years 1827-1997

(in the strip 2.0-200 years, $\Delta\Theta = 0.1$) – July

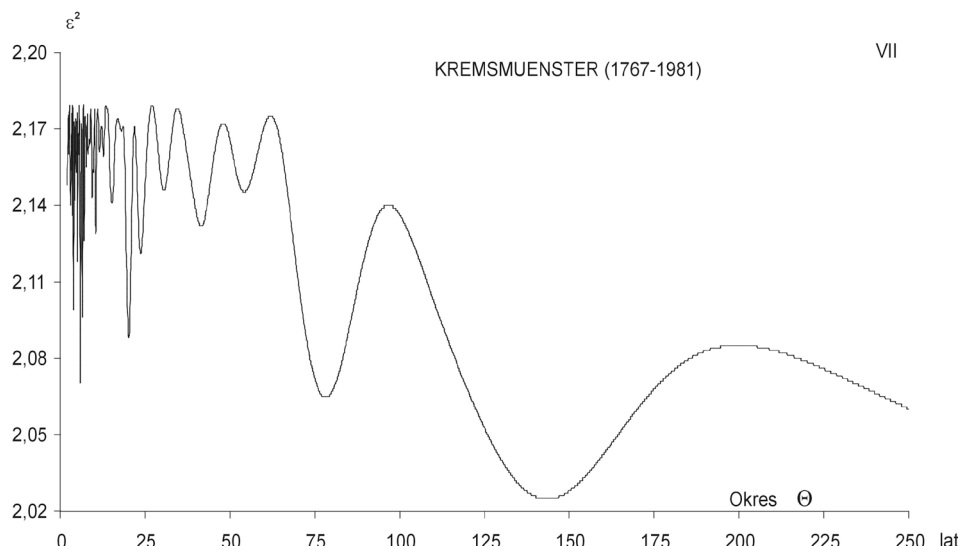


Rys. 4.13a. Widmo temperatury powietrza w Kramsmuenster w latach 1767-1981

(w paśmie 2,0-250 lat, $\Delta\Theta = 0,1$) – styczeń

Fig. 4.13a. Spectrum of air temperature in Kramsmuenster in the years 1767-1981

(in the strip 2.0-250 years, $\Delta\Theta = 0.1$) – January

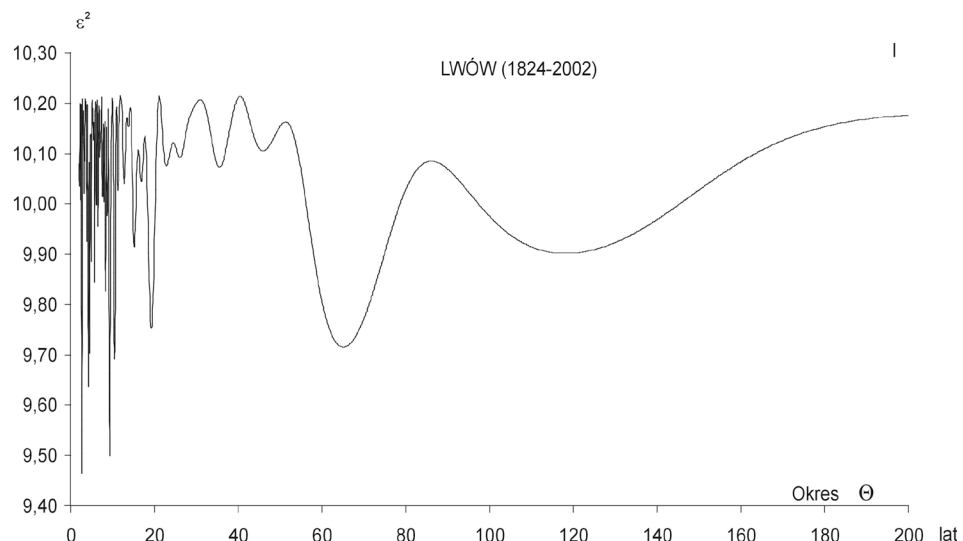


Rys. 4.13b. Widmo temperatury powietrza w Kramsmuenster w latach 1767-1981

(w paśmie 2,0-250 lat, $\Delta\Theta = 0,1$) – lipiec

Fig. 4.13b. Spectrum of air temperature in Kramsmuenster in the years 1767-1981

(in the strip 2.0-250 years, $\Delta\Theta = 0.1$) – July

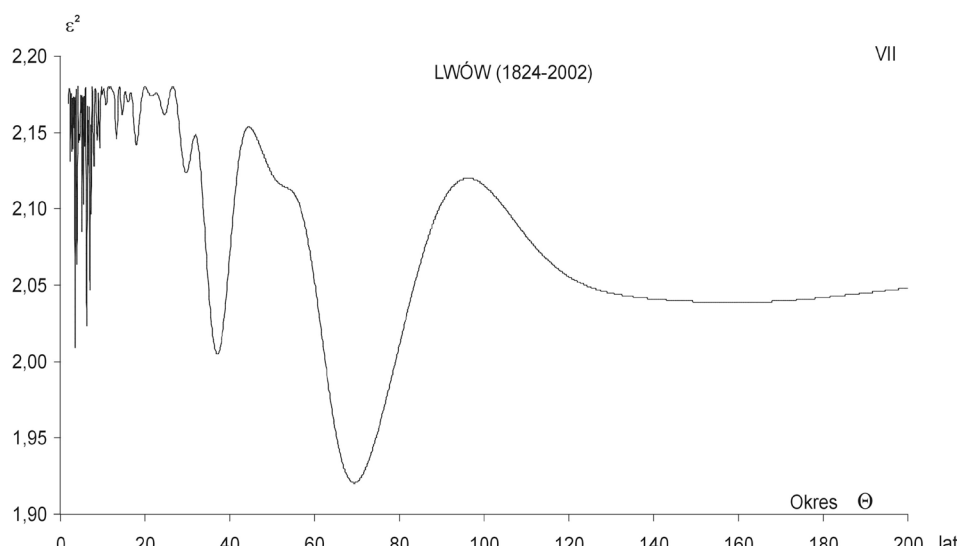


Rys. 4.14a. Widmo temperatury powietrza we Lwowie w latach 1824-2002

(w paśmie 2,0-200 lat, $\Delta\Theta = 0,1$) – styczeń

Fig. 4.14a. Spectrum of air temperature in Lwow in the years 1824-2002

(in the strip 2.0-200 years, $\Delta\Theta = 0,1$) – January

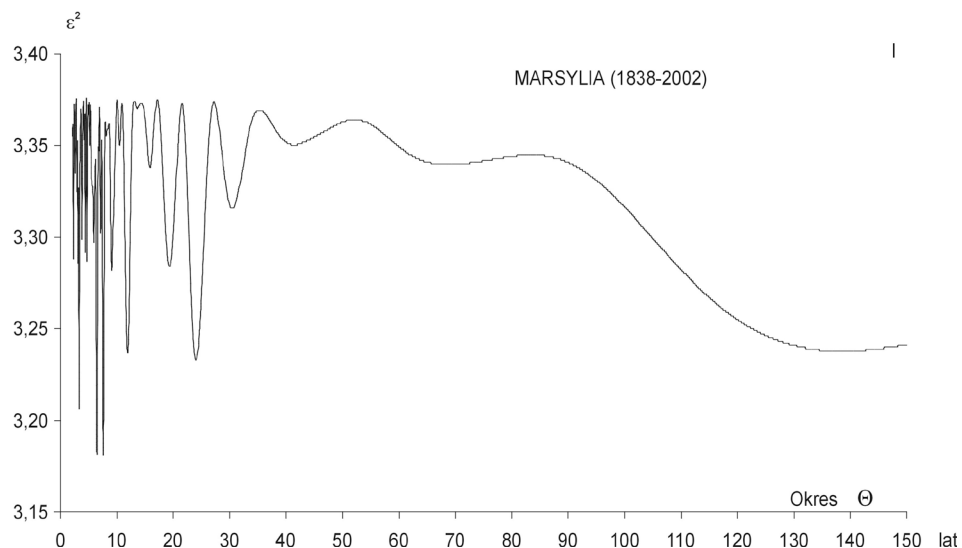


Rys. 4.14b. Widmo temperatury powietrza we Lwowie w latach 1824-2002

(w paśmie 2,0-200 lat, $\Delta\Theta = 0,1$) – lipiec

Fig. 4.14b. Spectrum of air temperature in Lwow in the years 1824-2002

(in the strip 2.0-200 years, $\Delta\Theta = 0,1$) – July

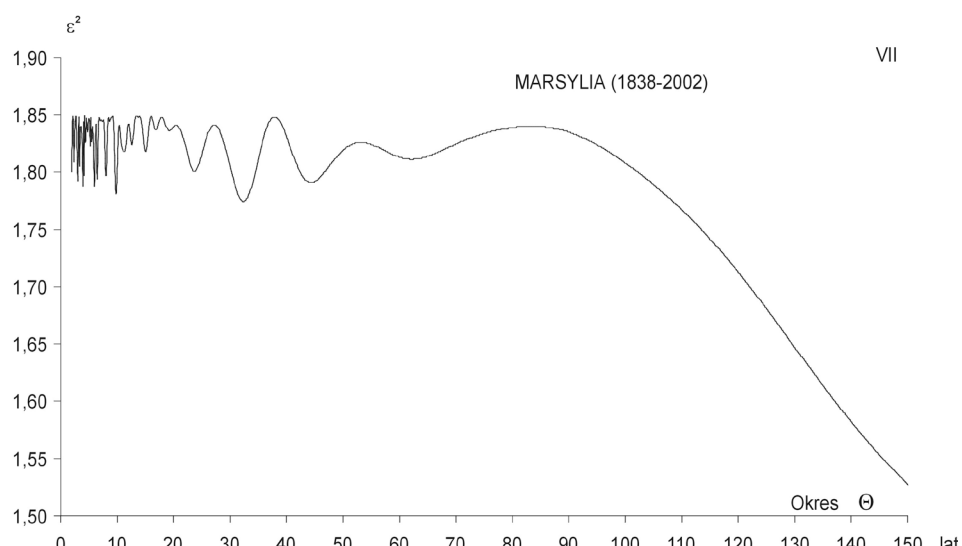


Rys. 4.15a. Widmo temperatury powietrza w Marsylii w latach 1838-2002

(w paśmie 2,0-150 lat, $\Delta\Theta = 0,1$) – styczeń

Fig. 4.15a. Spectrum of air temperature in Marsylia in the years 1838-2002

(in the strip 2.0-150 years, $\Delta\Theta = 0.1$) – January

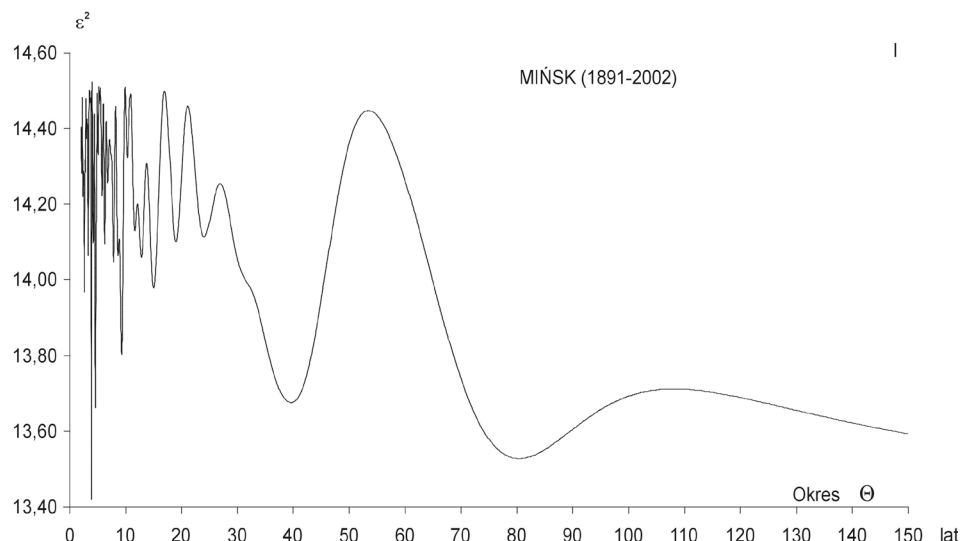


Rys. 4.15b. Widmo temperatury powietrza w Marsylii w latach 1838-2002

(w paśmie 2,0-150 lat, $\Delta\Theta = 0,1$) – lipiec

Fig. 4.15b. Spectrum of air temperature in Marsylia in the years 1838-2002

(in the strip 2.0-150 years, $\Delta\Theta = 0.1$) – July

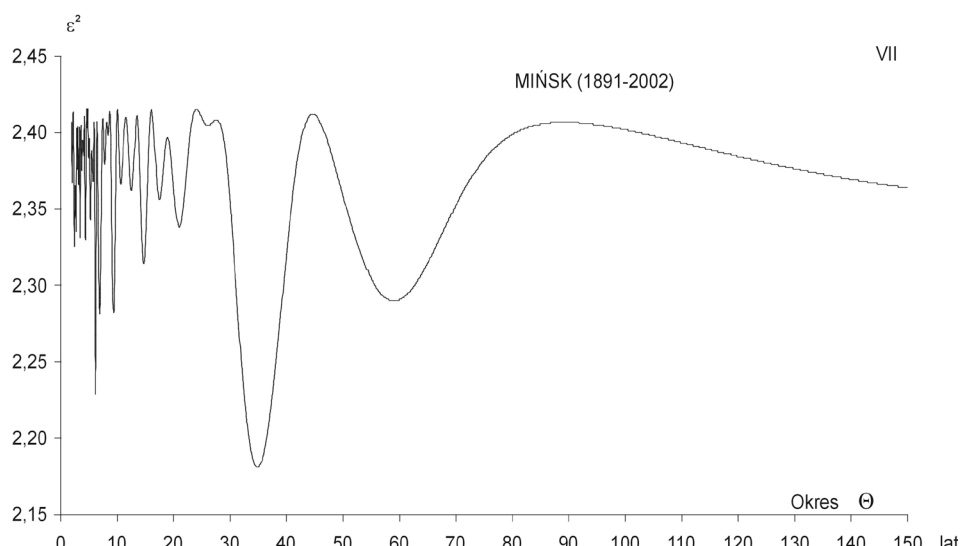


Rys. 4.16a. Widmo temperatury powietrza w Mińsku w latach 1891-2002

(w paśmie 2,0-150 lat, $\Delta\Theta = 0,1$) – styczeń

Fig. 4.16a. Spectrum of air temperature in Minsk in the years 1891-2002

(in the strip 2.0-150 years, $\Delta\Theta = 0.1$) – January

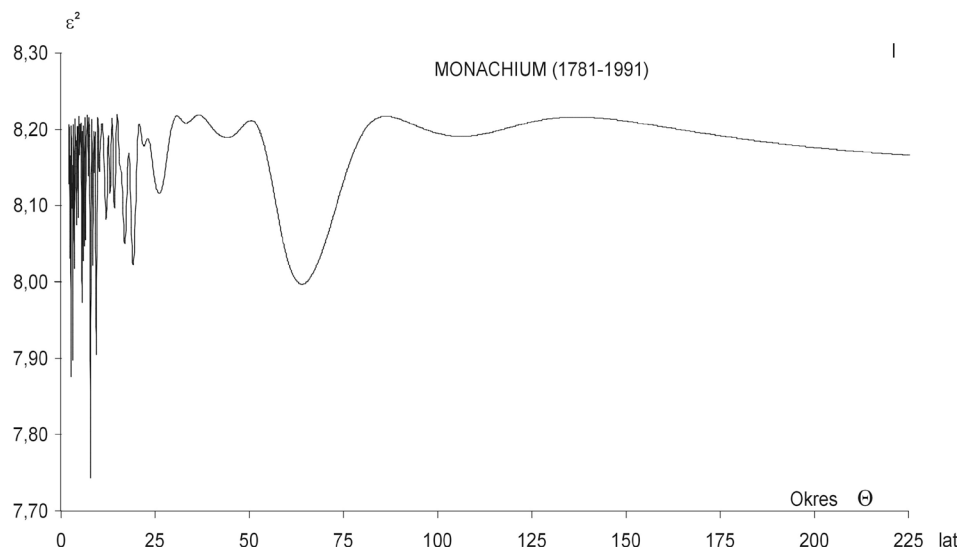


Rys. 4.16b. Widmo temperatury powietrza w Mińsku w latach 1891-2002

(w paśmie 2,0-150 lat, $\Delta\Theta = 0,1$) – lipiec

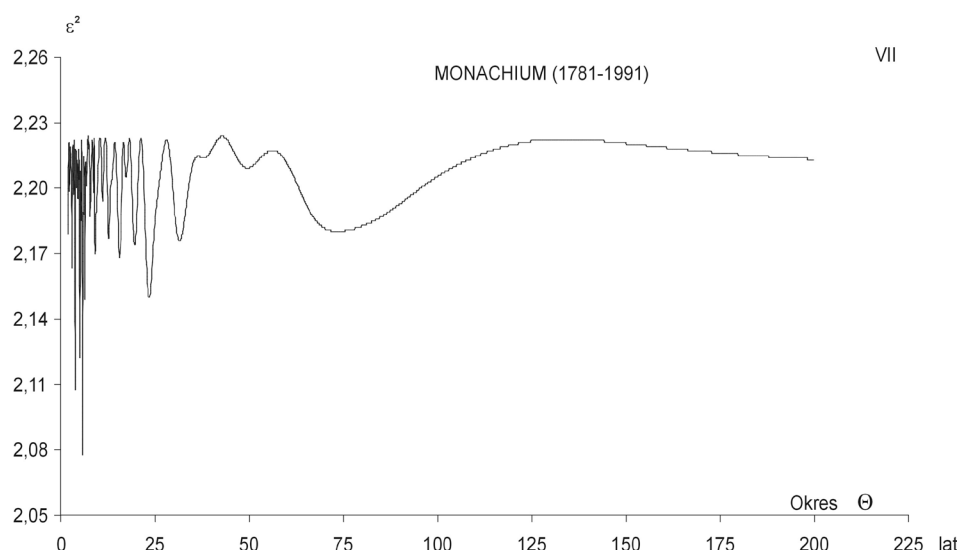
Fig. 4.16b. Spectrum of air temperature in Minsk in the years 1891-2002

(in the strip 2.0-150 years, $\Delta\Theta = 0.1$) – July



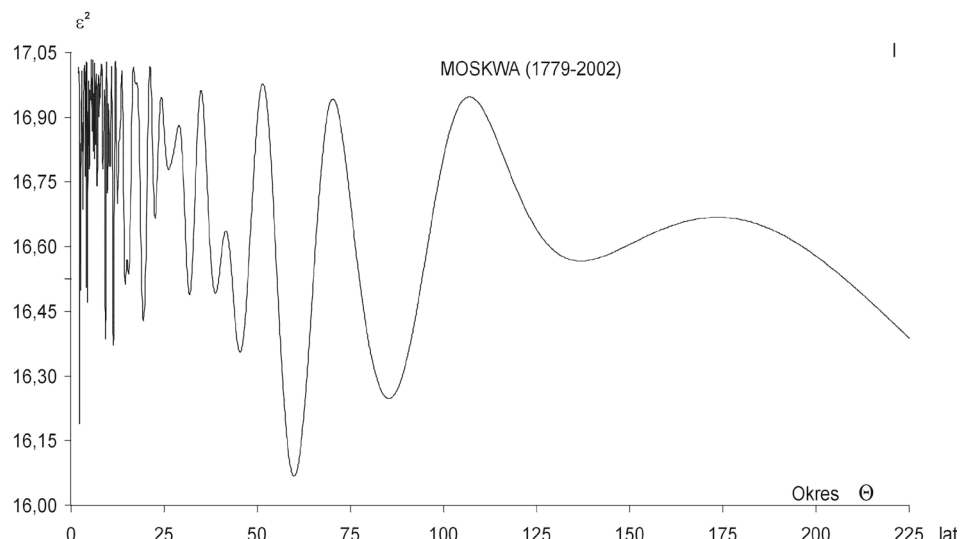
Rys. 4.17a. Widmo temperatury powietrza w Monachium w latach 1781-1991
 (w paśmie 2,0-225 lat, $\Delta\Theta = 0,1$) – styczeń

Fig. 4.17a. Spectrum of air temperature in Munch in the years 1781-1991
 (in the strip 2.0-225 years, $\Delta\Theta = 0.1$) – January



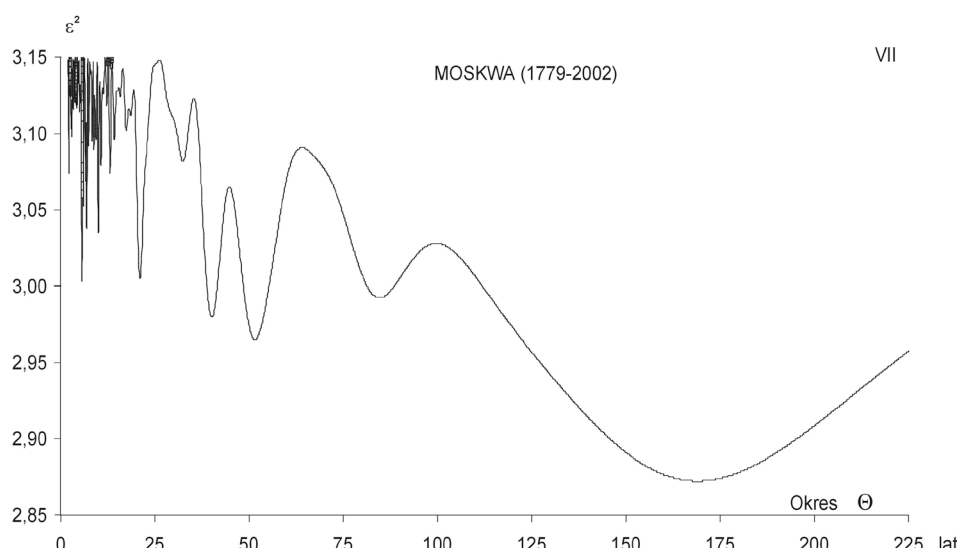
Rys. 4.17b. Widmo temperatury powietrza w Monachium w latach 1781-1991
 (w paśmie 2,0-225 lat, $\Delta\Theta = 0,1$) – lipiec

Fig. 4.17b. Spectrum of air temperature in Munch in the years 1781-1991
 (in the strip 2.0-225 years, $\Delta\Theta = 0.1$) – July



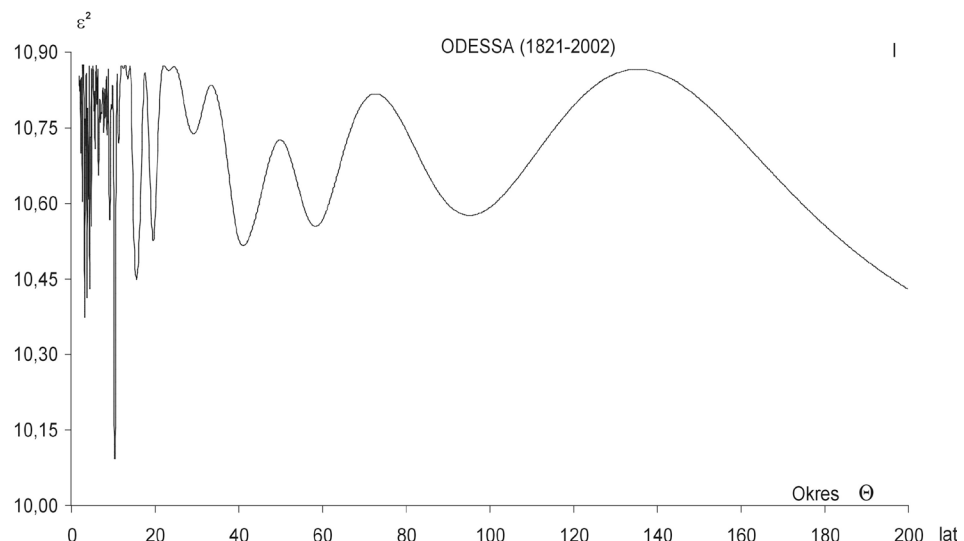
Rys. 4.18a. Widmo temperatury powietrza w Moskwie w latach 1779-2002
 (w paśmie 2,0-225 lat, $\Delta\Theta = 0,1$) – styczeń

Fig. 4.18a. Spectrum of air temperature in Moscow in the years 1779-2002
 (in the strip 2.0-225 years, $\Delta\Theta = 0.1$) – January



Rys. 4.18b. Widmo temperatury powietrza w Moskwie w latach 1779-2002
 (w paśmie 2,0-225 lat, $\Delta\Theta = 0,1$) – lipiec

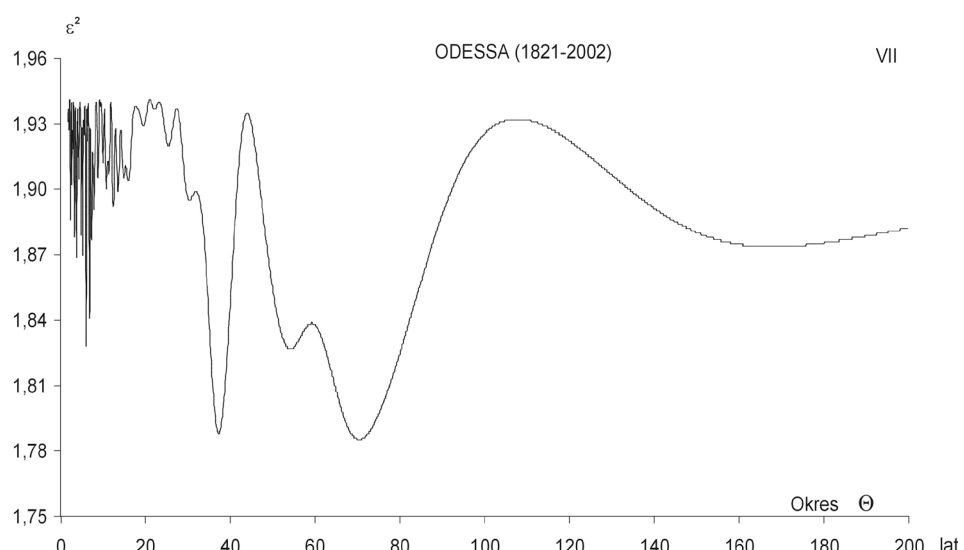
Fig. 4.18b. Spectrum of air temperature in Moscow in the years 1779-2002
 (in the strip 2.0-225 years, $\Delta\Theta = 0.1$) – July



Rys. 4.19a. Widmo temperatury powietrza w Odessie w latach 1821-2002

(w paśmie 2,0-200 lat, $\Delta\Theta = 0,1$) – styczeń

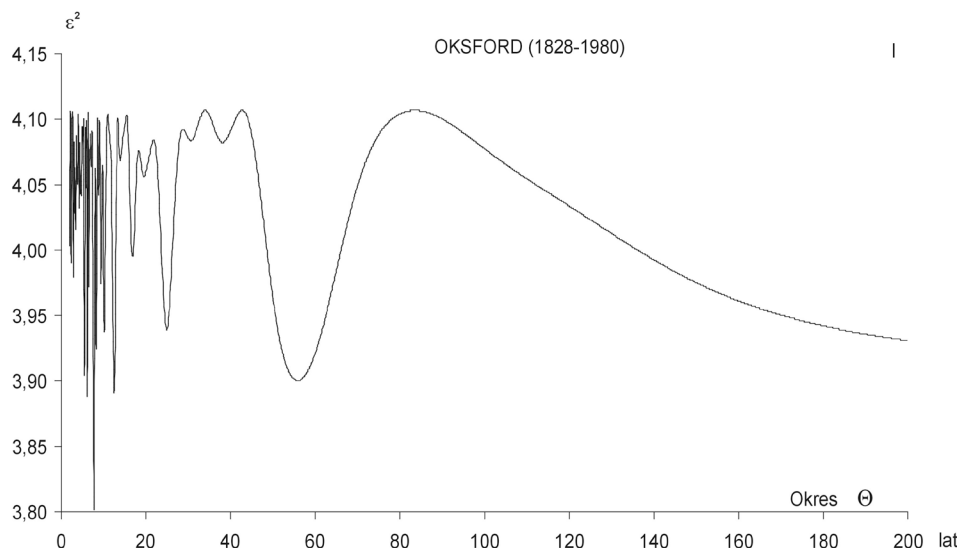
Fig. 4.19a. Spectrum of air temperature in Odessa in the years 1821-2002
(in the strip 2.0-200 years, $\Delta\Theta = 0.1$) – January



Rys. 4.19b. Widmo temperatury powietrza w Odessie w latach 1821-2002

(w paśmie 2,0-200 lat, $\Delta\Theta = 0,1$) – lipiec

Fig. 4.19b. Spectrum of air temperature in Odessa in the years 1821-2002
(in the strip 2.0-200 years, $\Delta\Theta = 0.1$) – July

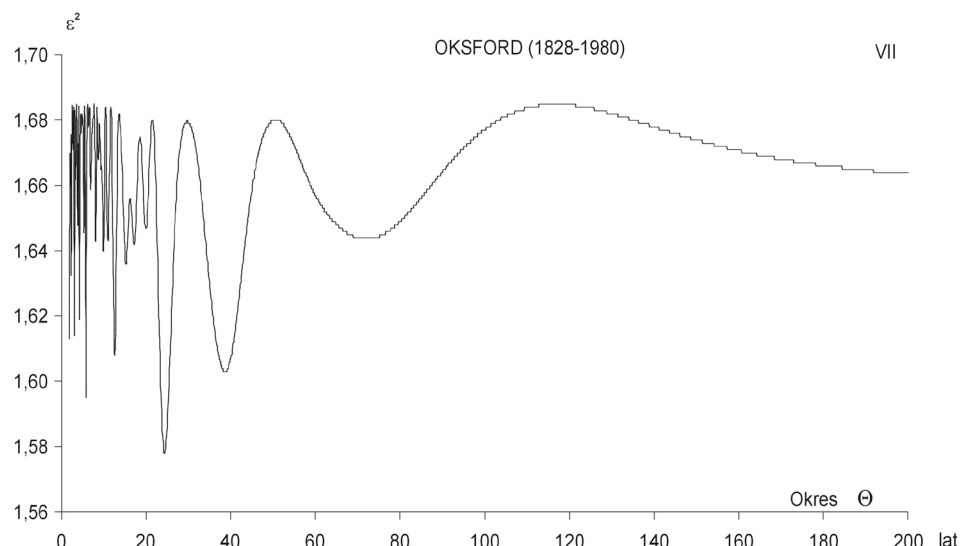


Rys. 4.20a. Widmo temperatury powietrza w Oksfordzie w latach 1828-1980

(w paśmie 2,0-200 lat, $\Delta\Theta = 0,1$) – styczeń

Fig. 4.20a. Spectrum of air temperature in Oxford in the years 1828-1980

(in the strip 2.0-200 years, $\Delta\Theta = 0.1$) – January



Rys. 4.20b. Widmo temperatury powietrza w Oksfordzie w latach 1828-1980

(w paśmie 2,0-200 lat, $\Delta\Theta = 0,1$) – lipiec

Fig. 4.20b. Spectrum of air temperature in Oxford in the years 1828-1980

(in the strip 2.0-200 years, $\Delta\Theta = 0.1$) – July

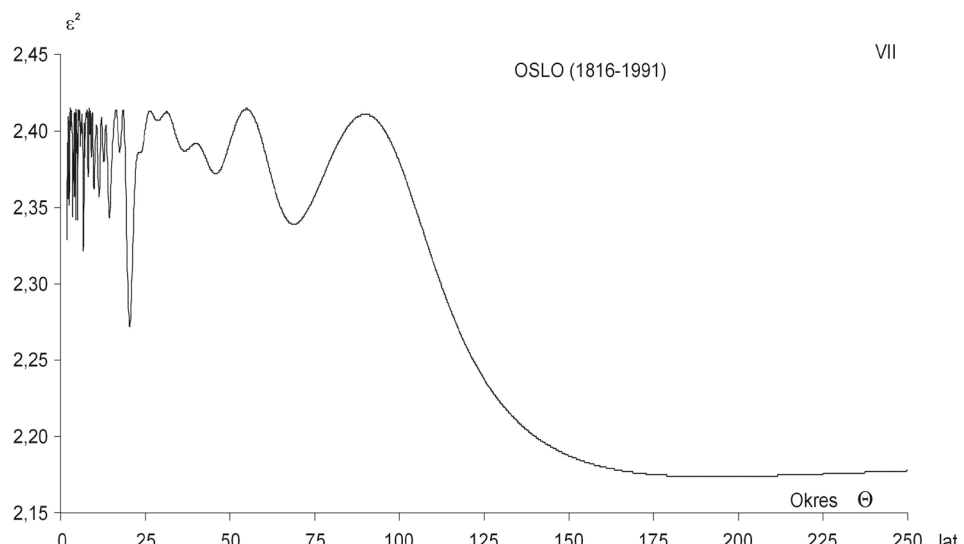


Rys. 4.21a. Widmo temperatury powietrza w Oslo w latach 1816-1991

(w paśmie 2,0-250 lat, $\Delta\Theta = 0,1$) – styczeń

Fig. 4.21a. Spectrum of air temperature in Oslo in the years 1816-1991

(in the strip 2.0-250 years, $\Delta\Theta = 0.1$) – January

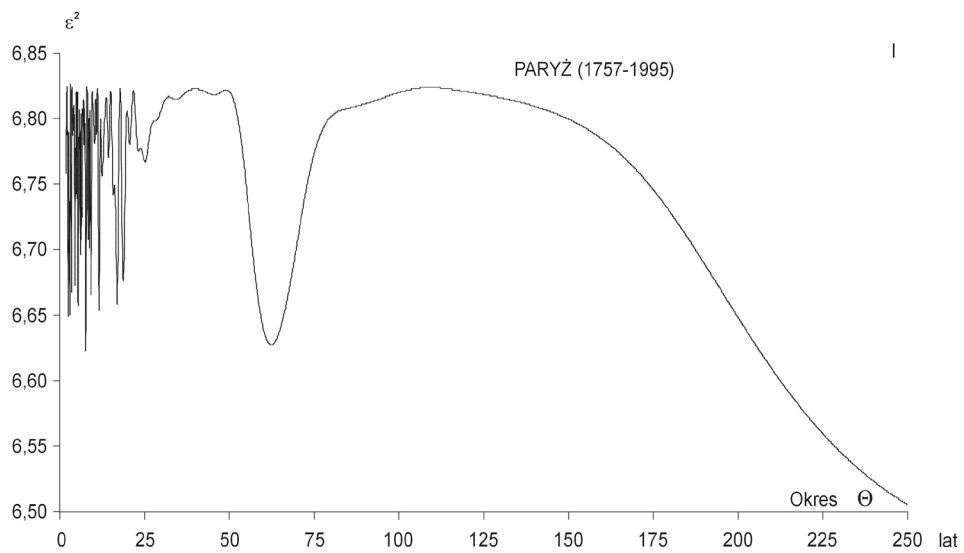


Rys. 4.21b. Widmo temperatury powietrza w Oslo w latach 1816-1991

(w paśmie 2,0-250 lat, $\Delta\Theta = 0,1$) – lipiec

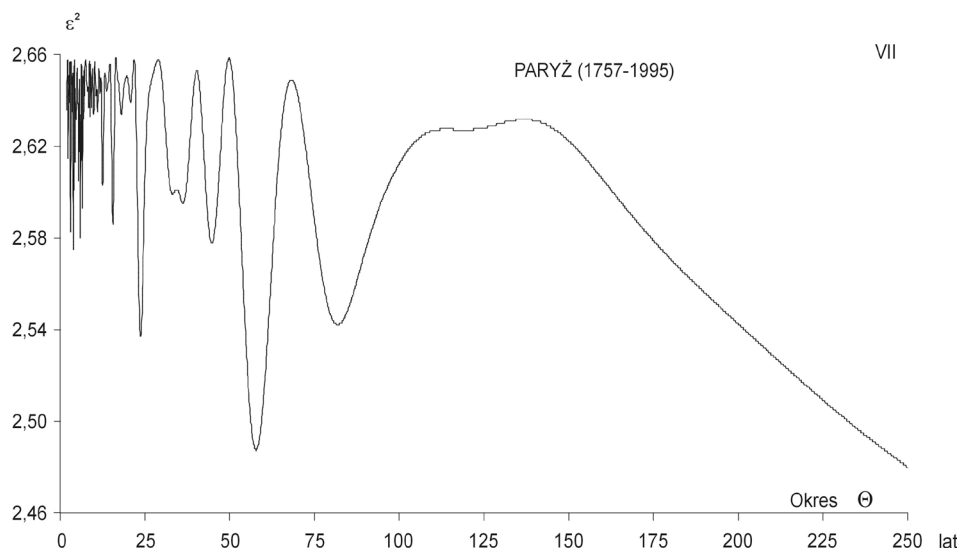
Fig. 4.21b. Spectrum of air temperature in Oslo in the years 1816-1991

(in the strip 2.0-250 years, $\Delta\Theta = 0.1$) – July



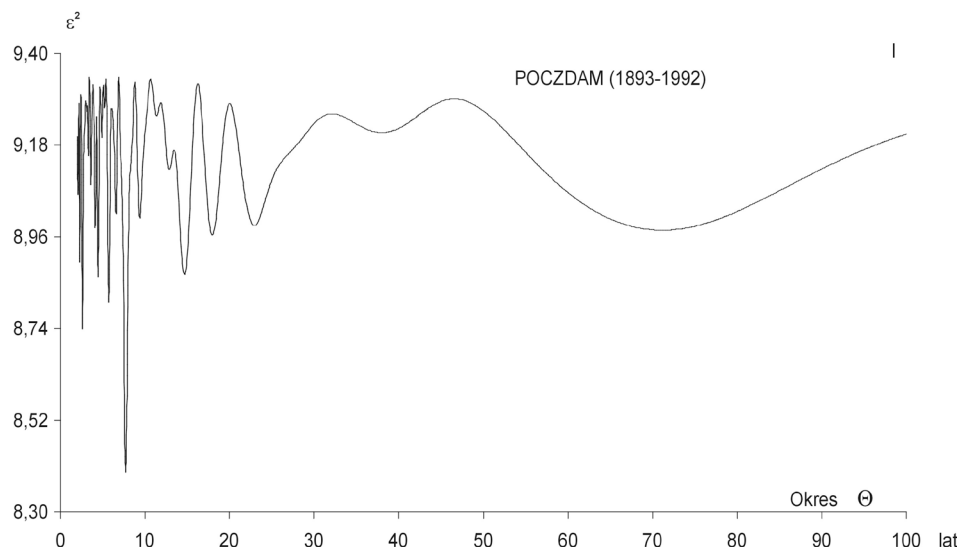
Rys. 4.22a. Widmo temperatury powietrza w Paryżu w latach 1757-1995
 (w paśmie 2,0-250 lat, $\Delta\Theta = 0,1$) – styczeń

Fig. 4.22a. Spectrum of air temperature in Paris in the years 1757-1995
 (in the strip 2.0-250 years, $\Delta\Theta = 0.1$) – January



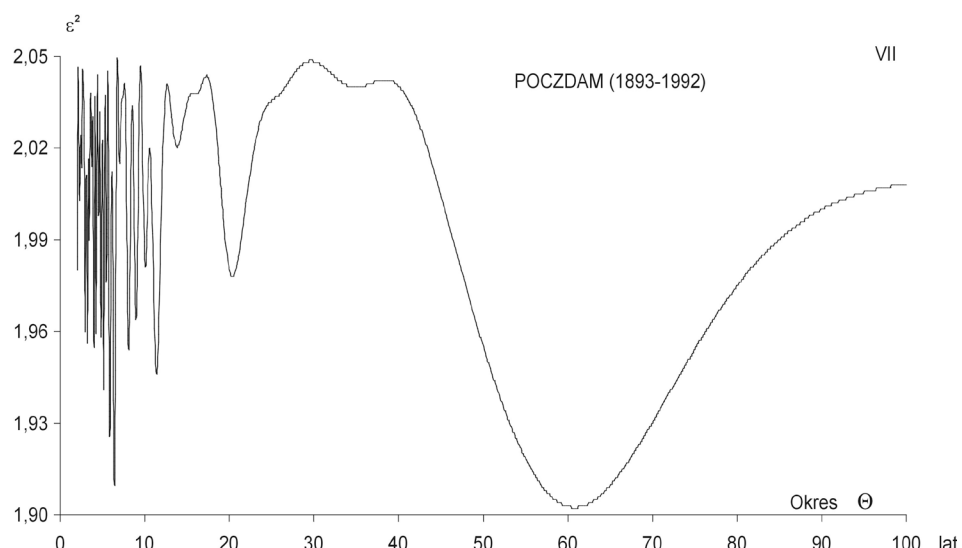
Rys. 4.22b. Widmo temperatury powietrza w Paryżu w latach 1757-1995
 (w paśmie 2,0-250 lat, $\Delta\Theta = 0,1$) – lipiec

Fig. 4.22b. Spectrum of air temperature in Paris in the years 1757-1995
 (in the strip 2.0-250 years, $\Delta\Theta = 0.1$) – July



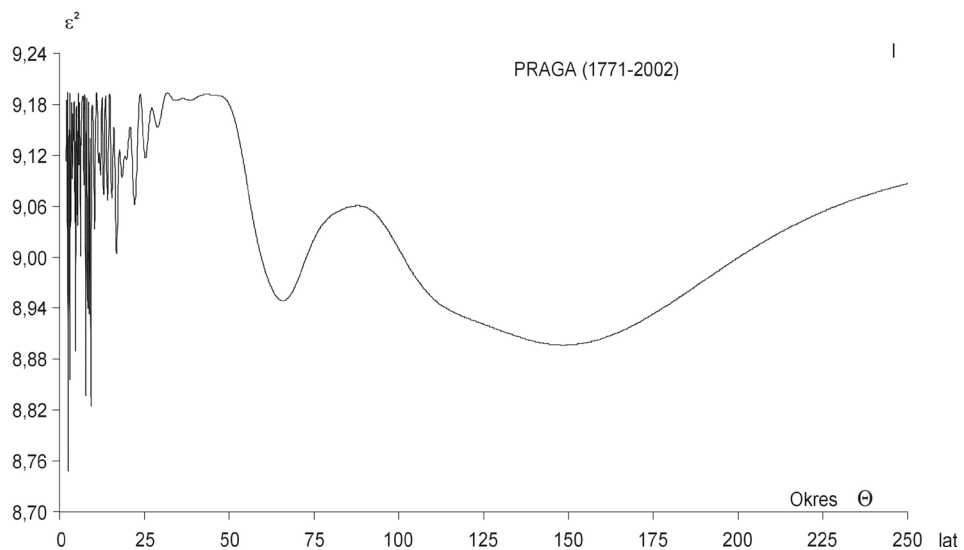
Rys. 4.23a. Widmo temperatury powietrza w Poczdamie w latach 1894-1992
 (w paśmie 2,0-100 lat, $\Delta\Theta = 0,1$) – styczeń

Fig. 4.23a. Spectrum of air temperature in Potsdam in the years 1894-1992
 (in the strip 2.0-100 years, $\Delta\Theta = 0.1$) – January



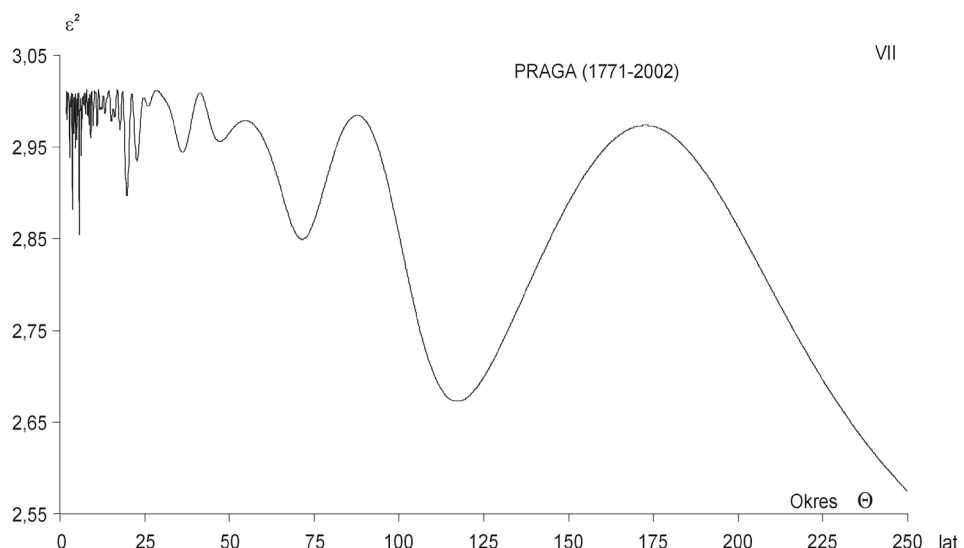
Rys. 4.23b. Widmo temperatury powietrza w Poczdamie w latach 1894-1992
 (w paśmie 2,0-100 lat, $\Delta\Theta = 0,1$) – styczeń

Fig. 4.23b. Spectrum of air temperature in Potsdam in the years 1894-1992
 (in the strip 2.0-100 years, $\Delta\Theta = 0.1$) – January



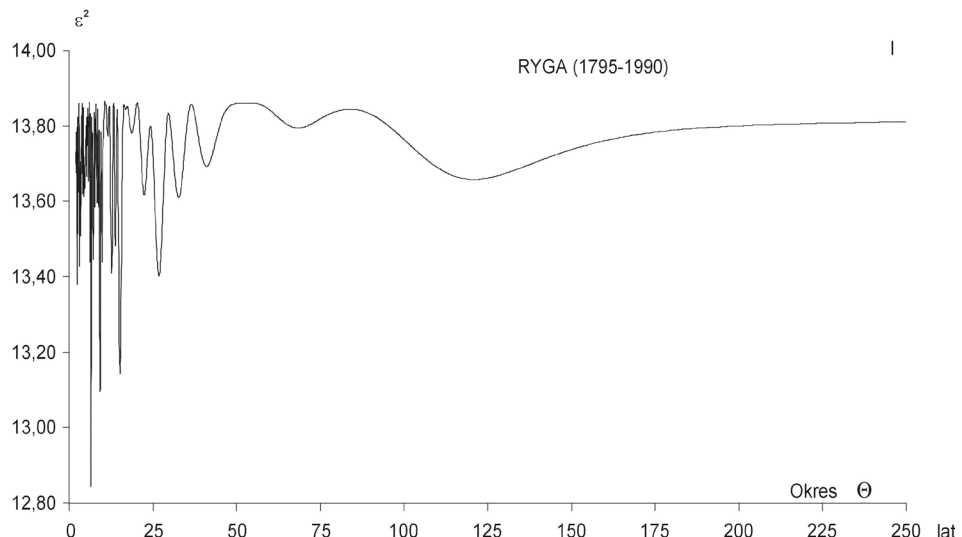
Rys. 4.24a. Widmo temperatury powietrza w Pradze w latach 1771-2002
 (w paśmie 2,0-250 lat, $\Delta\Theta = 0,1$) – styczeń

Fig. 4.24a. Spectrum of air temperature in Prague in the years 1771-2002
 (in the strip 2.0-250 years, $\Delta\Theta = 0.1$) – January



Rys. 4.24b. Widmo temperatury powietrza w Pradze w latach 1771-2002
 (w paśmie 2,0-250 lat, $\Delta\Theta = 0,1$) – lipiec

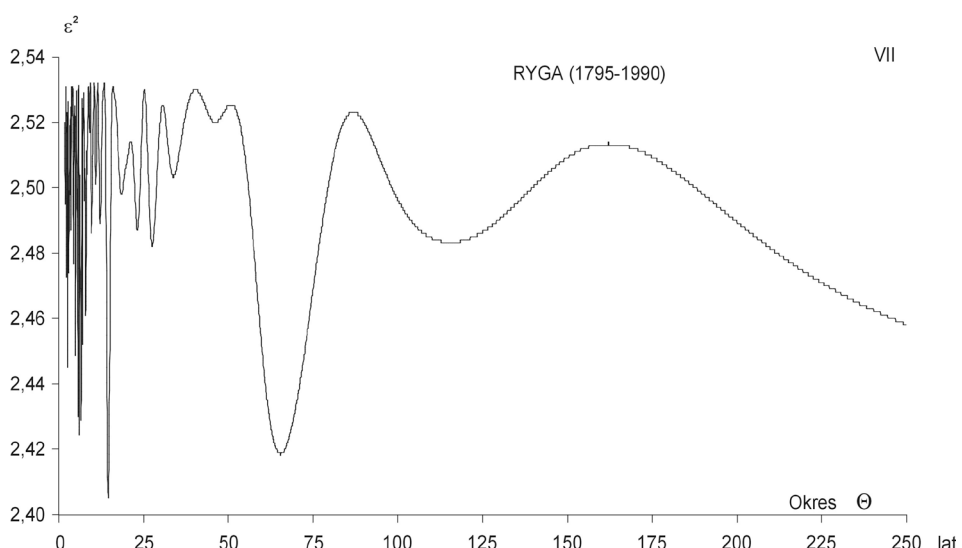
Fig. 4.24b. Spectrum of air temperature in Prague in the years 1771-2002
 (in the strip 2.0-250 years, $\Delta\Theta = 0.1$) – July



Rys. 4.25a. Widmo temperatury powietrza w Rydze w latach 1795-1990

(w paśmie 2,0-250 lat, $\Delta\Theta = 0,1$) – styczeń

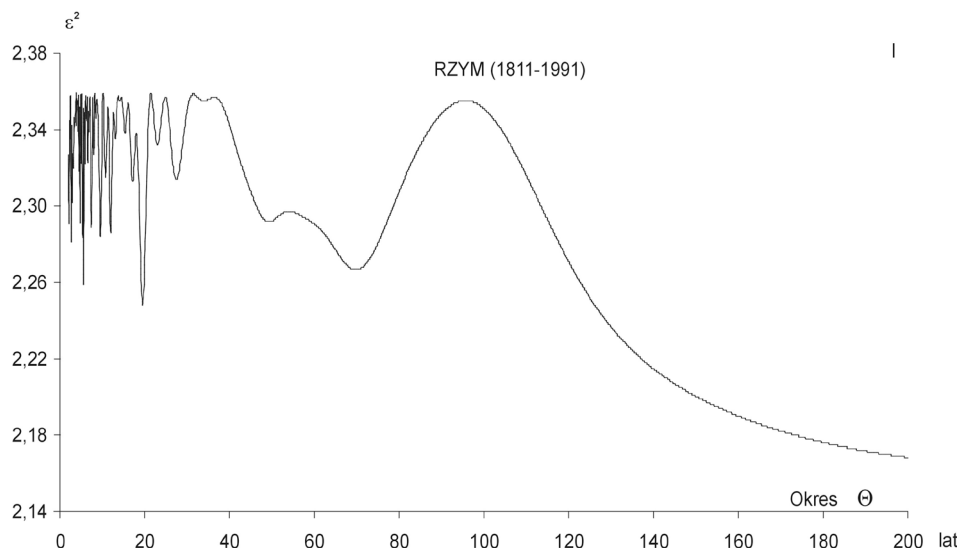
Fig. 4.25a. Spectrum of air temperature in Ryga in the years 1795-1990
(in the strip 2.0-250 years, $\Delta\Theta = 0.1$) – January



Rys. 4.25b. Widmo temperatury powietrza w Rydze w latach 1795-1990

(w paśmie 2,0-250 lat, $\Delta\Theta = 0,1$) – lipiec

Fig. 4.25b. Spectrum of air temperature in Ryga in the years 1795-1990
(in the strip 2.0-250 years, $\Delta\Theta = 0.1$) – July

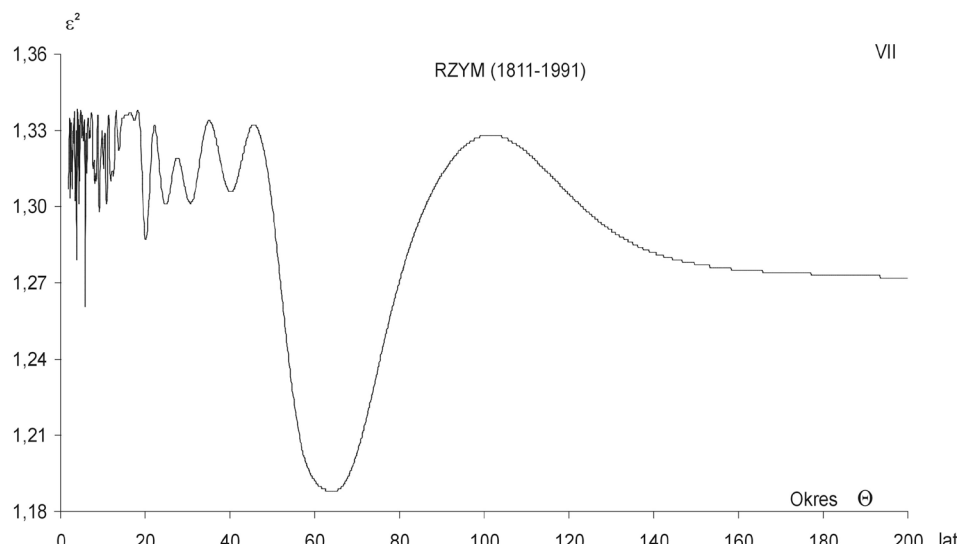


Rys. 4.26a. Widmo temperatury powietrza w Rzymie w latach 1811-1991

(w paśmie 2,0-200 lat, $\Delta\Theta = 0,1$) – styczeń

Fig. 4.26a. Spectrum of air temperature in Rome in the years 1811-1991

(in the strip 2.0-200 years, $\Delta\Theta = 0.1$) – January

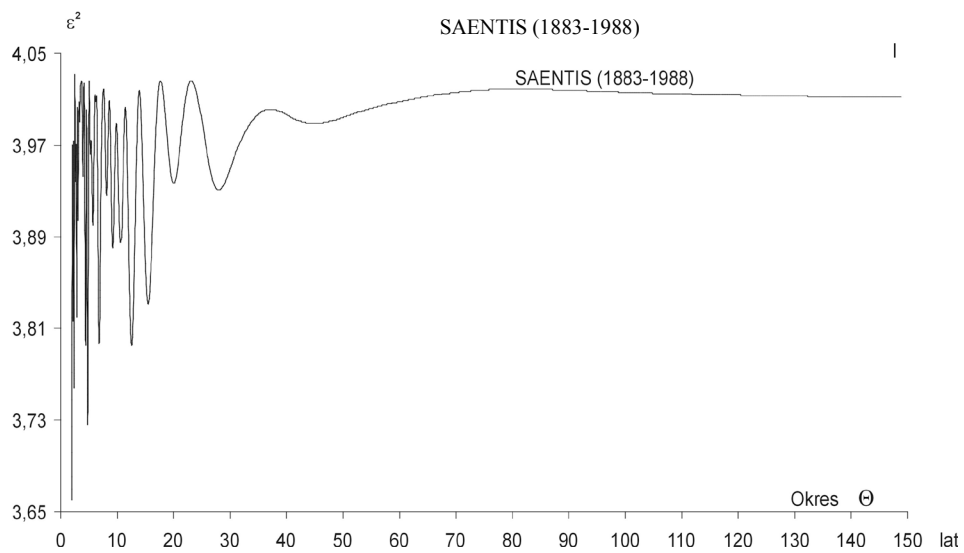


Rys. 4.26b. Widmo temperatury powietrza w Rzymie w latach 1811-1991

(w paśmie 2,0-200 lat, $\Delta\Theta = 0,1$) – lipiec

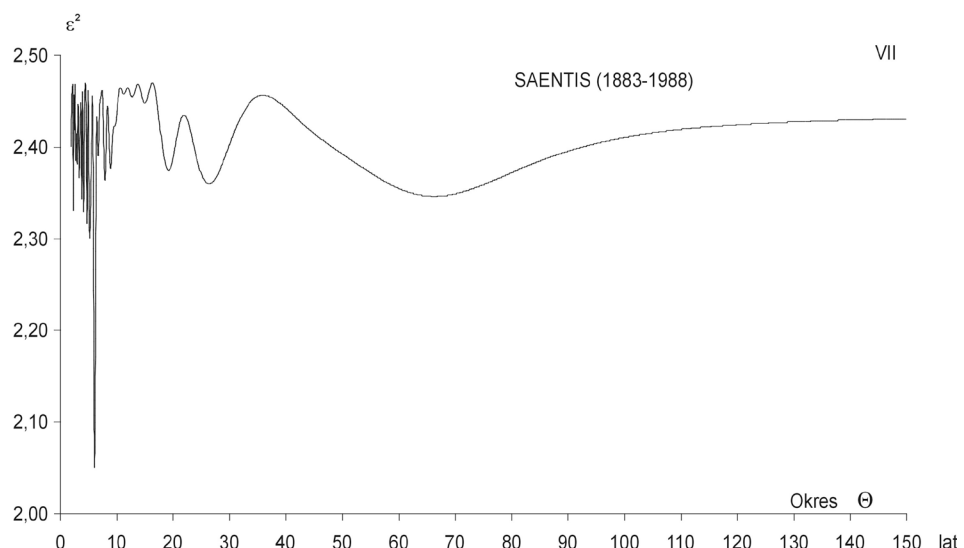
Fig. 4.26b. Spectrum of air temperature in Rome in the years 1811-1991

(in the strip 2.0-200 years, $\Delta\Theta = 0.1$) – July



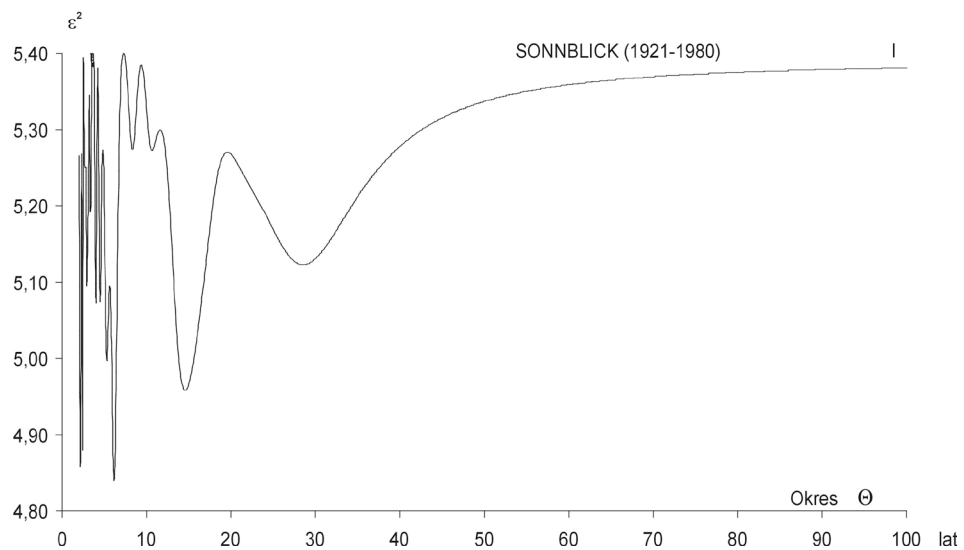
Rys. 4.27a. Widmo temperatury powietrza w Seantis w latach 1883-1988
 (w paśmie 2,0-150 lat, $\Delta\Theta = 0,1$) – styczeń

Fig. 4.27a. Spectrum of air temperature in Seantis in the years 1883-1988
 (in the strip 2.0-150 years, $\Delta\Theta = 0.1$) – January



Rys. 4.27b. Widmo temperatury powietrza w Seantis w latach 1883-1988
 (w paśmie 2,0-150 lat, $\Delta\Theta = 0,1$) – lipiec

Fig. 4.27b. Spectrum of air temperature in Seantis in the years 1883-1988
 (in the strip 2.0-150 years, $\Delta\Theta = 0.1$) – July



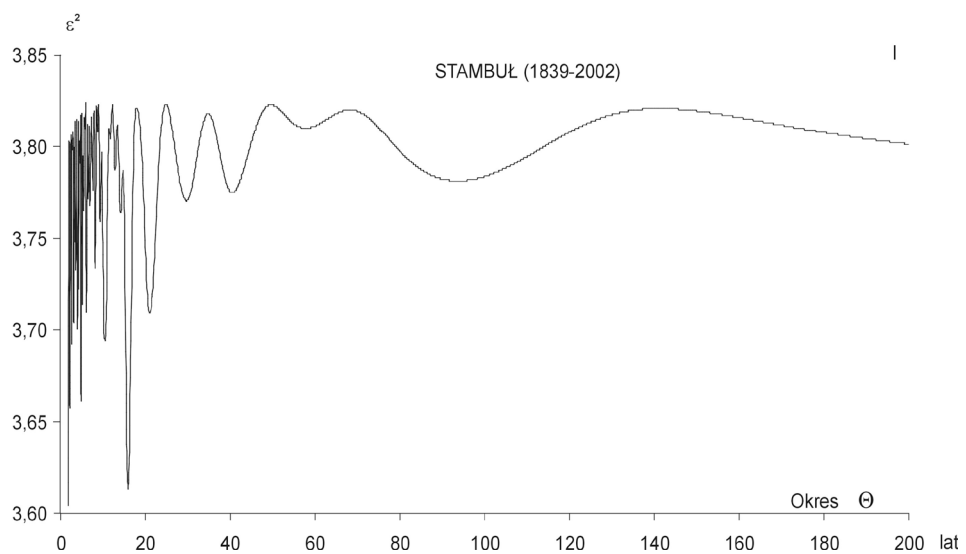
Rys. 4.28a. Widmo temperatury powietrza w Sonnblick w latach 1921-1980
(w paśmie 2,0-100 lat, $\Delta\Theta = 0,1$) – styczeń

Fig. 4.28a. Spectrum of air temperature in Sonnblick in the years 1921-1980
(in the strip 2.0-100 years, $\Delta\Theta = 0.1$) – January



Rys. 4.28b. Widmo temperatury powietrza w Sonnblick w latach 1921-1980
(w paśmie 2,0-100 lat, $\Delta\Theta = 0,1$) – lipiec

Fig. 4.28b. Spectrum of air temperature in Sonnblick in the years 1921-1980
(in the strip 2.0-100 years, $\Delta\Theta = 0.1$) – July

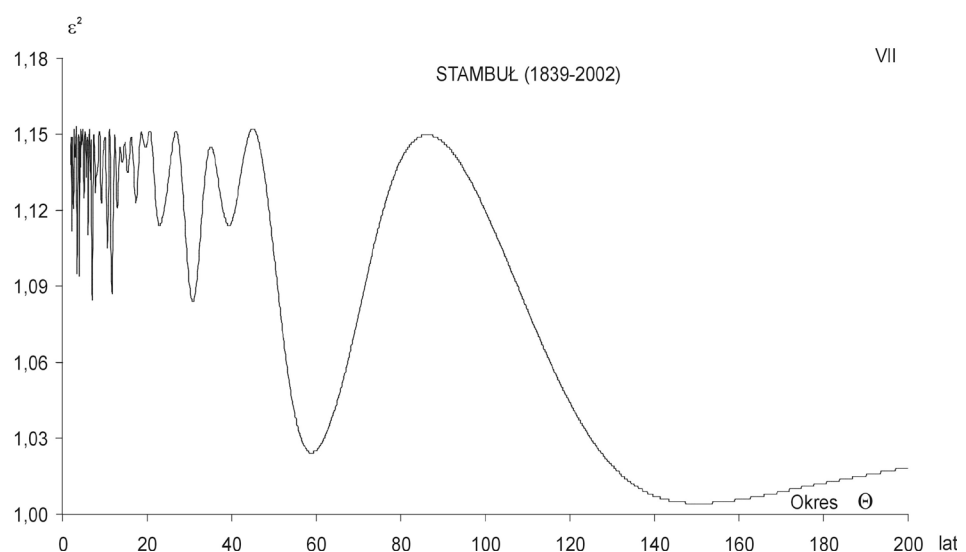


Rys. 4.29a. Widmo temperatury powietrza w Stambuł w latach 1839-2002

(w paśmie 2,0-200 lat, $\Delta\Theta = 0,1$) – styczeń

Fig. 4.29a. Spectrum of air temperature in Stamboul in the years 1839-2002

(in the strip 2.0-200 years, $\Delta\Theta = 0.1$) – January

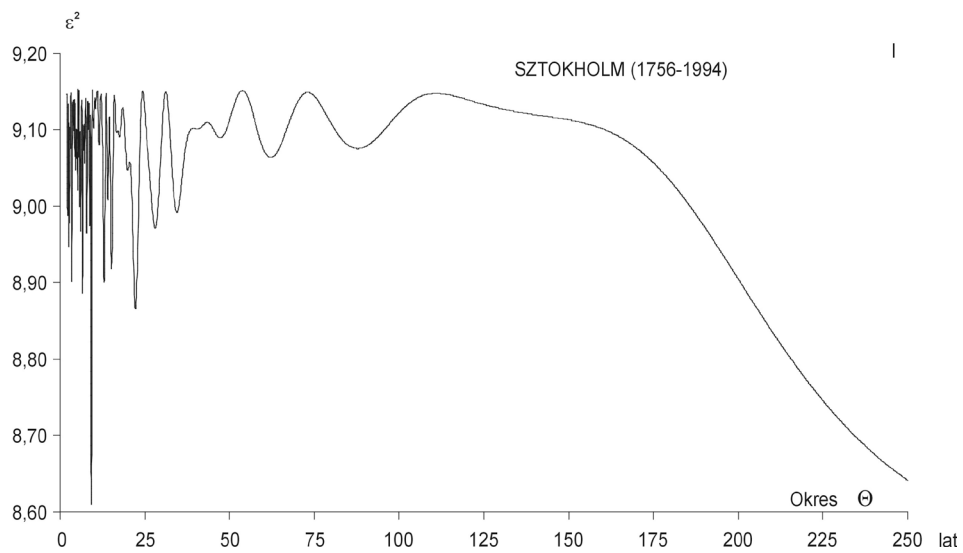


Rys. 4.29b. Widmo temperatury powietrza w Stambuł w latach 1839-2002

(w paśmie 2,0-200 lat, $\Delta\Theta = 0,1$) – lipiec

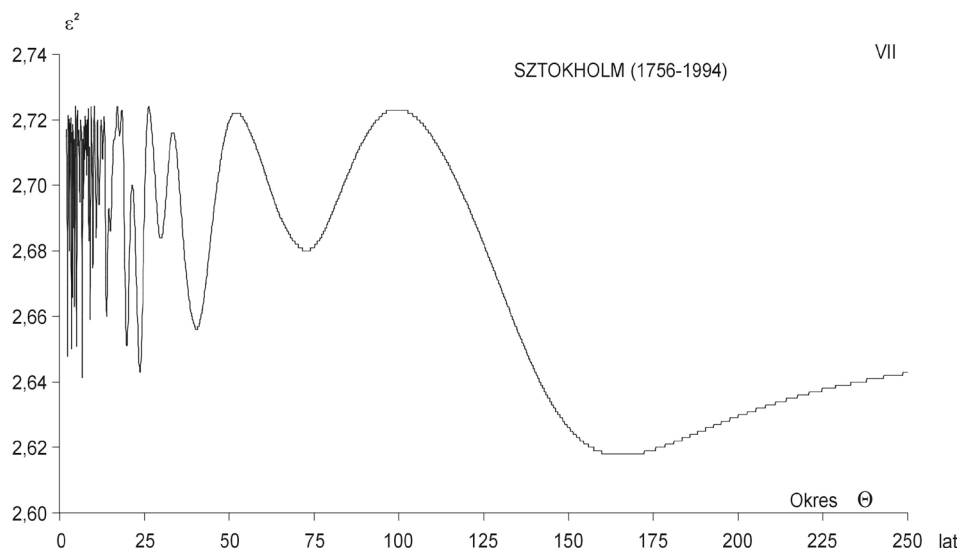
Fig. 4.29b. Spectrum of air temperature in Stamboul in the years 1839-2002

(in the strip 2.0-200 years, $\Delta\Theta = 0.1$) – July



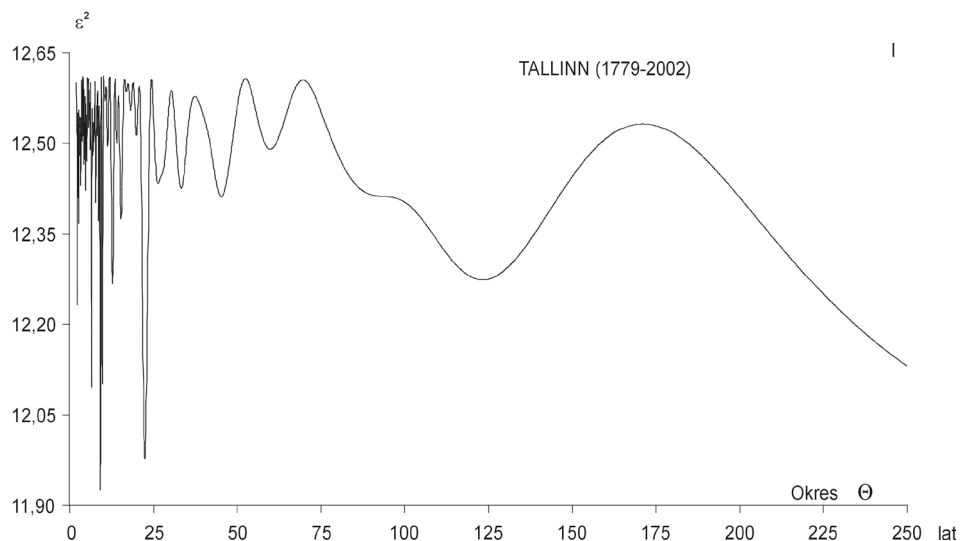
Rys. 4.30a. Widmo temperatury powietrza w Sztokholmie w latach 1756-1994
 (w paśmie 2,0-250 lat, $\Delta\Theta = 0,1$) – styczeń

Fig. 4.30a. Spectrum of air temperature in Stockholm in the years 1756-1994
 (in the strip 2.0-250 years, $\Delta\Theta = 0.1$) – January



Rys. 4.30b. Widmo temperatury powietrza w Sztokholmie w latach 1756-1994
 (w paśmie 2,0-250 lat, $\Delta\Theta = 0,1$) – lipiec

Fig. 4.30b. Spectrum of air temperature in Stockholm in the years 1756-1994
 (in the strip 2.0-250 years, $\Delta\Theta = 0.1$) – July

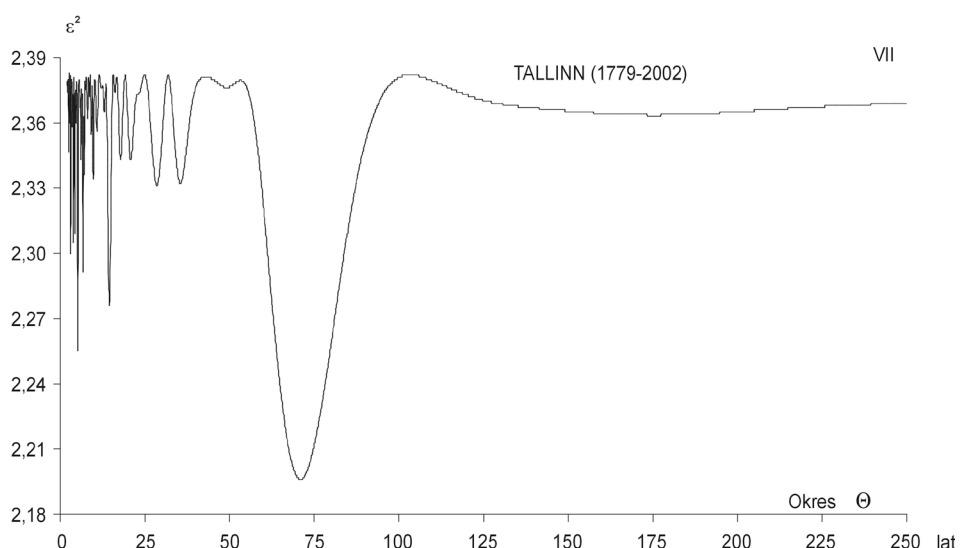


Rys. 4.31a. Widmo temperatury powietrza w Tallinie w latach 1779-2002

(w paśmie 2,0-250 lat, $\Delta\Theta = 0,1$) – styczeń

Fig. 4.31a. Spectrum of air temperature in Tallinn in the years 1779-2002

(in the strip 2.0-250 years, $\Delta\Theta = 0.1$) – January

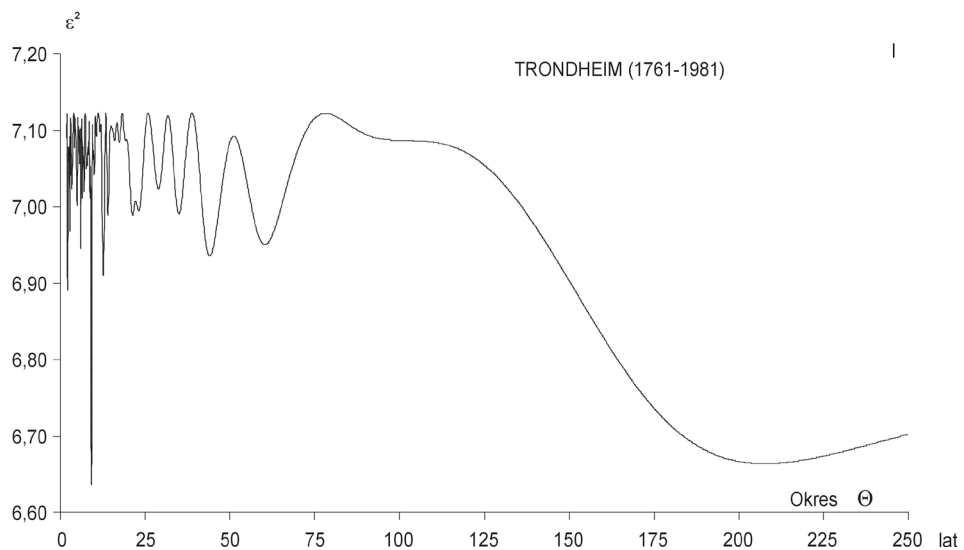


Rys. 4.31b. Widmo temperatury powietrza w Tallinie w latach 1779-2002

(w paśmie 2,0-250 lat, $\Delta\Theta = 0,1$) – lipiec

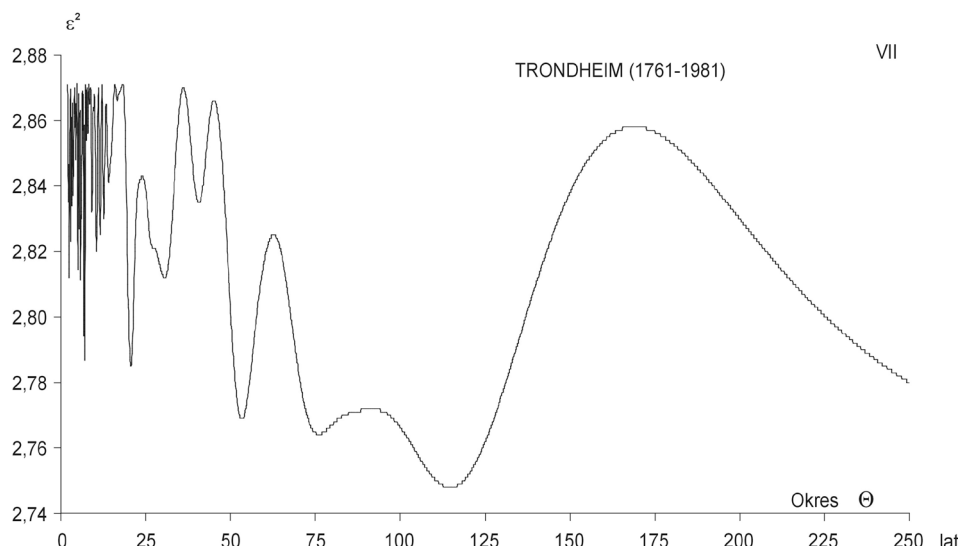
Fig. 4.31b. Spectrum of air temperature in Tallinn in the years 1779-2002

(in the strip 2.0-250 years, $\Delta\Theta = 0.1$) – July



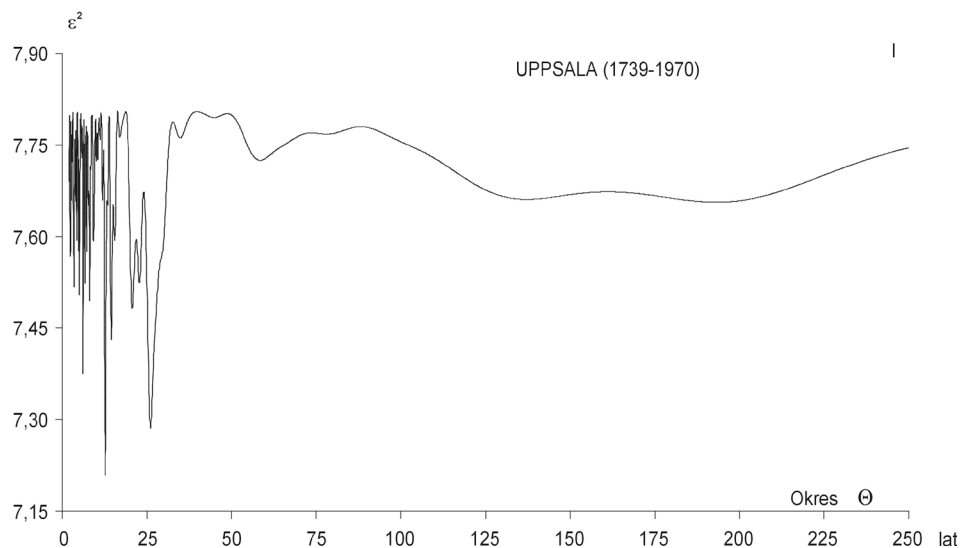
Rys. 4.32a. Widmo temperatury powietrza w Trondheim w latach 1761-1981
 (w paśmie 2,0-250 lat, $\Delta\Theta = 0,1$) – styczeń

Fig. 4.32a. Spectrum of air temperature in Trondheim in the years 1761-1981
 (in the strip 2.0-250 years, $\Delta\Theta = 0.1$) – January



Rys. 4.32b. Widmo temperatury powietrza w Trondheim w latach 1761-1981
 (w paśmie 2,0-250 lat, $\Delta\Theta = 0,1$) – lipiec

Fig. 4.32b. Spectrum of air temperature in Trondheim in the years 1761-1981
 (in the strip 2.0-250 years, $\Delta\Theta = 0.1$) – July

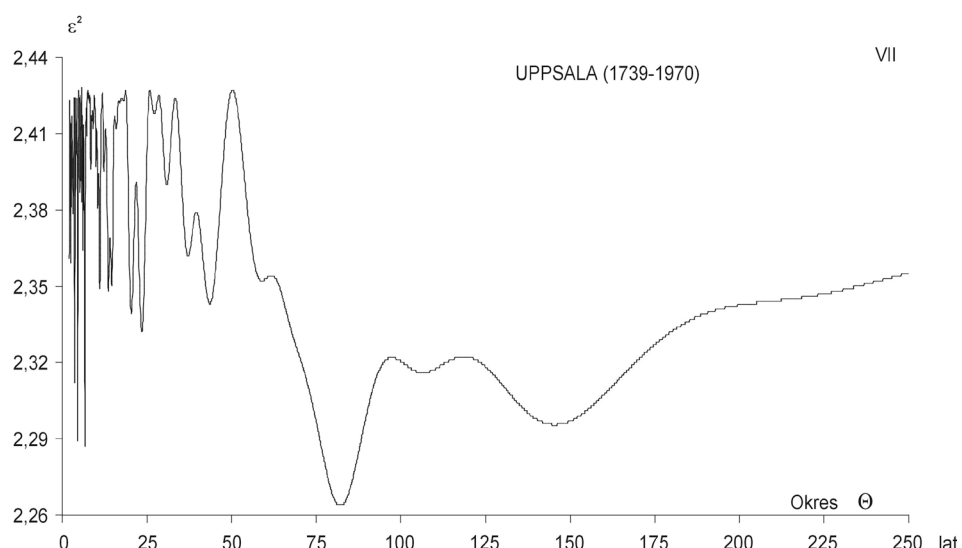


Rys. 4.33a. Widmo temperatury powietrza w Uppsali w latach 1739-1970

(w paśmie 2,0-250 lat, $\Delta\Theta = 0,1$) – styczeń

Fig. 4.33a. Spectrum of air temperature in Uppsala in the years 1739-1970

(in the strip 2.0-250 years, $\Delta\Theta = 0.1$) – January

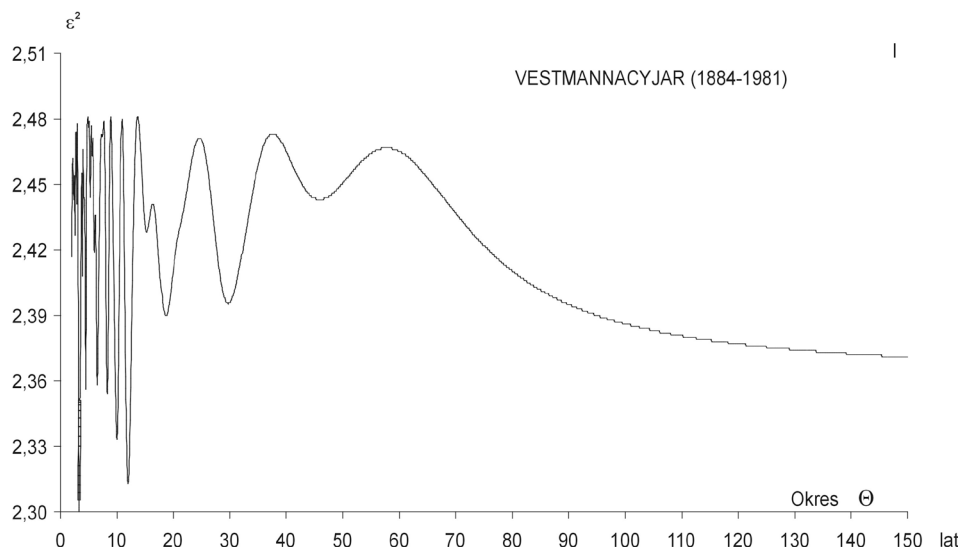


Rys. 4.33b. Widmo temperatury powietrza w Uppsali w latach 1739-1970

(w paśmie 2,0-250 lat, $\Delta\Theta = 0,1$) – lipiec

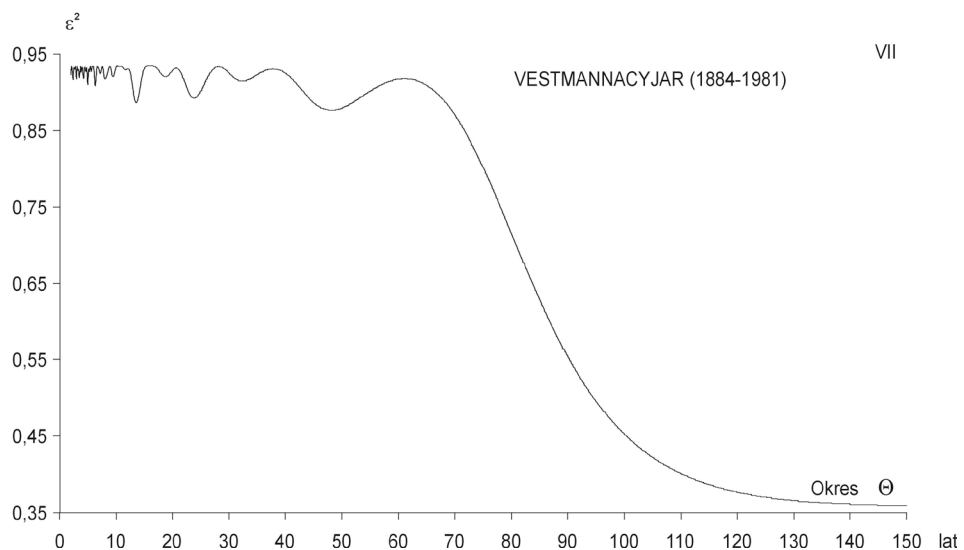
Fig. 4.33b. Spectrum of air temperature in Uppsala in the years 1739-1970

(in the strip 2.0-250 years, $\Delta\Theta = 0.1$) – July



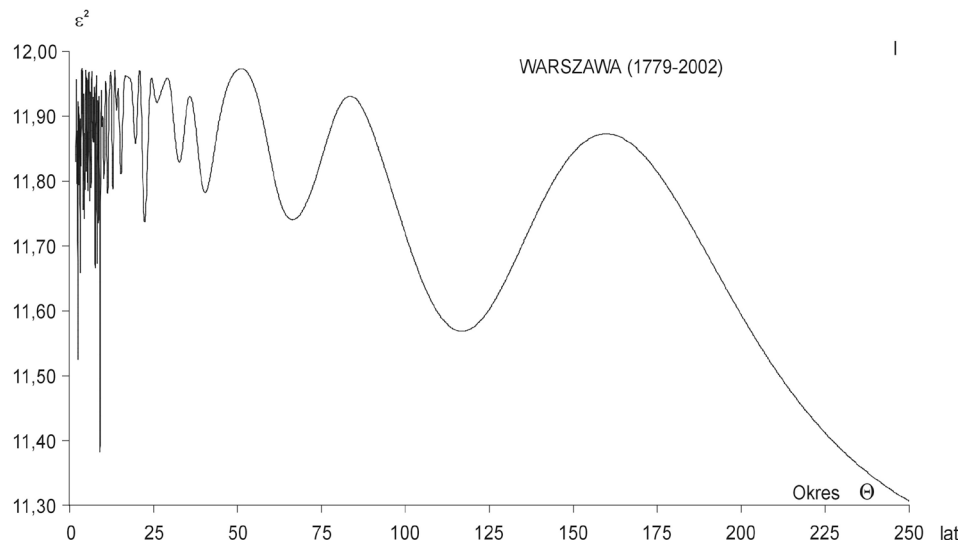
Rys. 4.34a. Widmo temperatury powietrza w Vestmannaeyjar w latach 1884-1981
 (w paśmie 2,0-150 lat, $\Delta\Theta = 0,1$) – styczeń

Fig. 4.34a. Spectrum of air temperature in Vestmannaeyjar in the years 1884-1981
 (in the strip 2.0-150 years, $\Delta\Theta = 0.1$) – January



Rys. 4.34b. Widmo temperatury powietrza w Vestmannaeyjar w latach 1884-1981
 (w paśmie 2,0-150 lat, $\Delta\Theta = 0,1$) – lipiec

Fig. 4.34b. Spectrum of air temperature in Vestmannaeyjar in the years 1884-1981
 (in the strip 2.0-150 years, $\Delta\Theta = 0.1$) – July

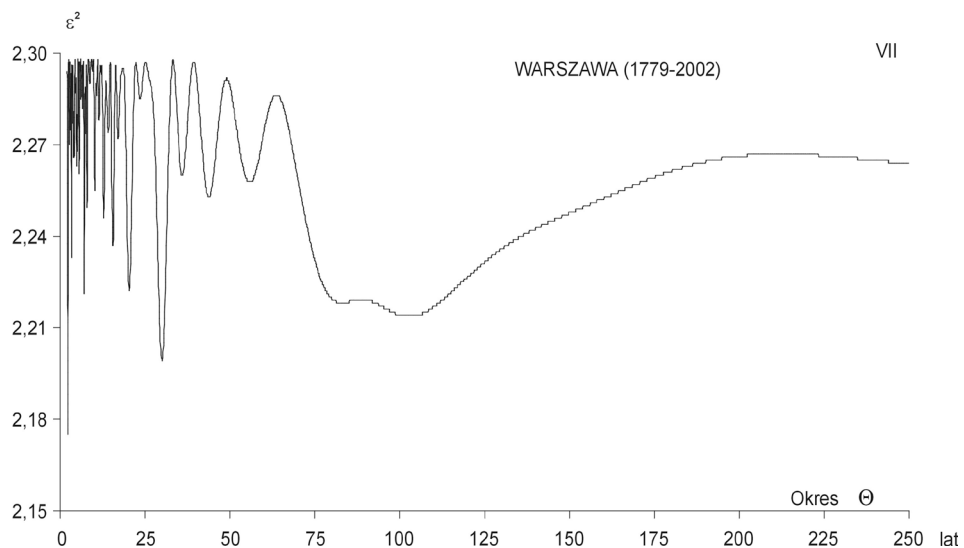


Rys. 4.35a. Widmo temperatury powietrza w Warszawa w latach 1779-1998

(w paśmie 2,0-250 lat, $\Delta\Theta = 0,1$) – styczeń

Fig. 4.35a. Spectrum of air temperature in Warsaw in the years 1779-1998

(in the strip 2.0-250 years, $\Delta\Theta = 0.1$) – January

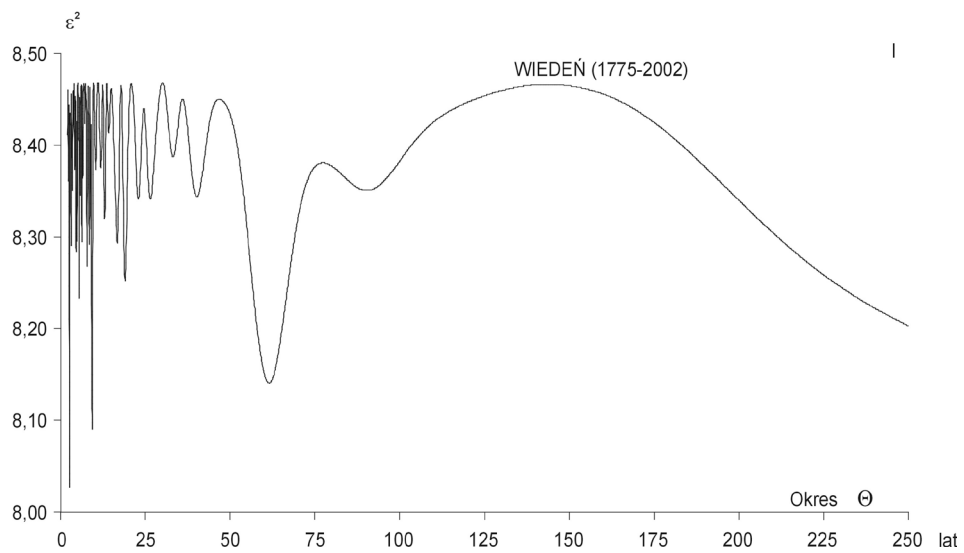


Rys. 4.35b. Widmo temperatury powietrza w Warszawa w latach 1779-1998

(w paśmie 2,0-250 lat, $\Delta\Theta = 0,1$) – lipiec

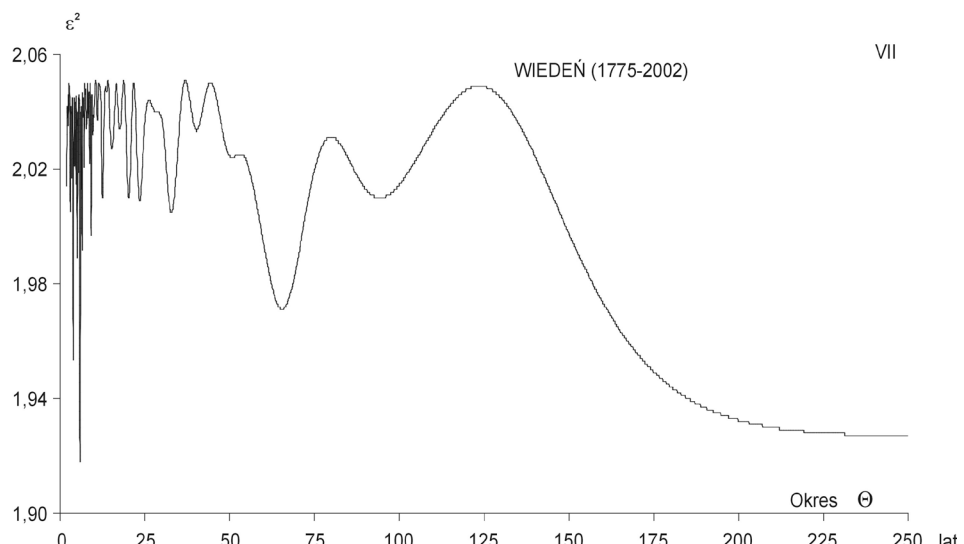
Fig. 4.35b. Spectrum of air temperature in Warsaw in the years 1779-1998

(in the strip 2.0-250 years, $\Delta\Theta = 0.1$) – July



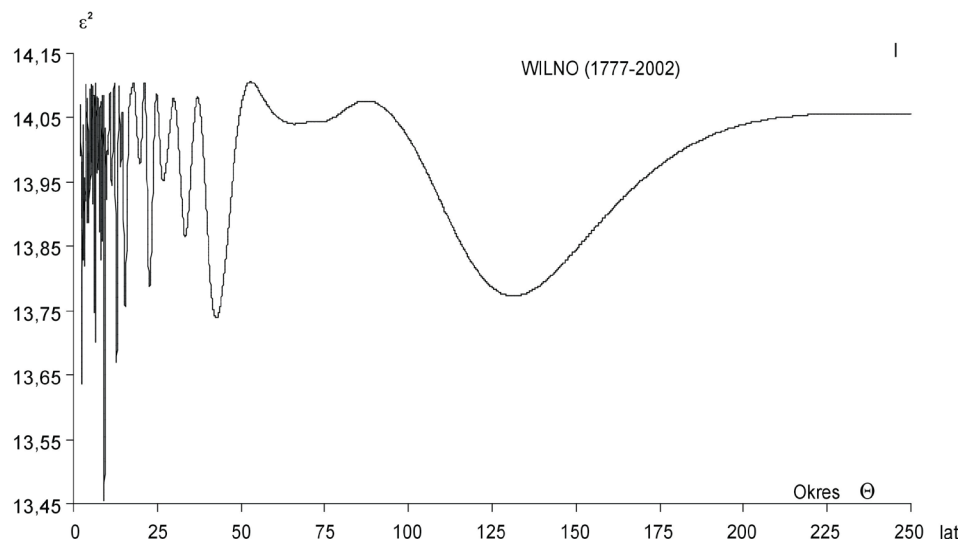
Rys. 4.36a. Widmo temperatury powietrza w Wiedniu w latach 1775-2002
(w paśmie 2,0-250 lat, $\Delta\Theta = 0,1$) – styczeń

Fig. 4.36a. Spectrum of air temperature in Vienna in the years 1775-2002
(in the strip 2.0-250 years, $\Delta\Theta = 0.1$) – January



Rys. 4.36b. Widmo temperatury powietrza w Wiedniu w latach 1775-2002
(w paśmie 2,0-250 lat, $\Delta\Theta = 0,1$) – lipiec

Fig. 4.36b. Spectrum of air temperature in Vienna in the years 1775-2002
(in the strip 2.0-250 years, $\Delta\Theta = 0.1$) – July

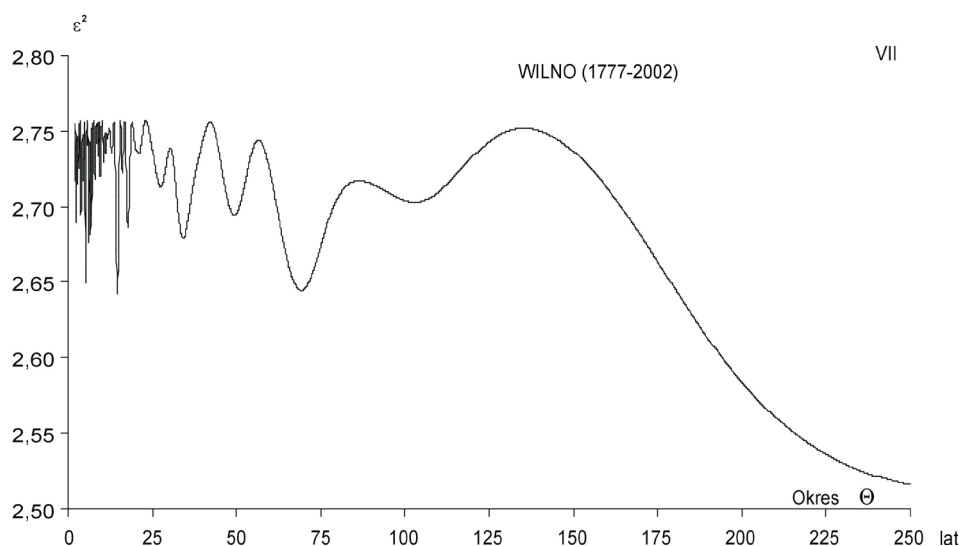


Rys. 4.37a. Widmo temperatury powietrza w Wilnie w latach 1777-2002

(w paśmie 2,0-200 lat, $\Delta\Theta = 0,1$) – styczeń

Fig. 4.37a. Spectrum of air temperature in Wilno in the years 1777-2002

(in the strip 2.0-200 years, $\Delta\Theta = 0.1$) – January

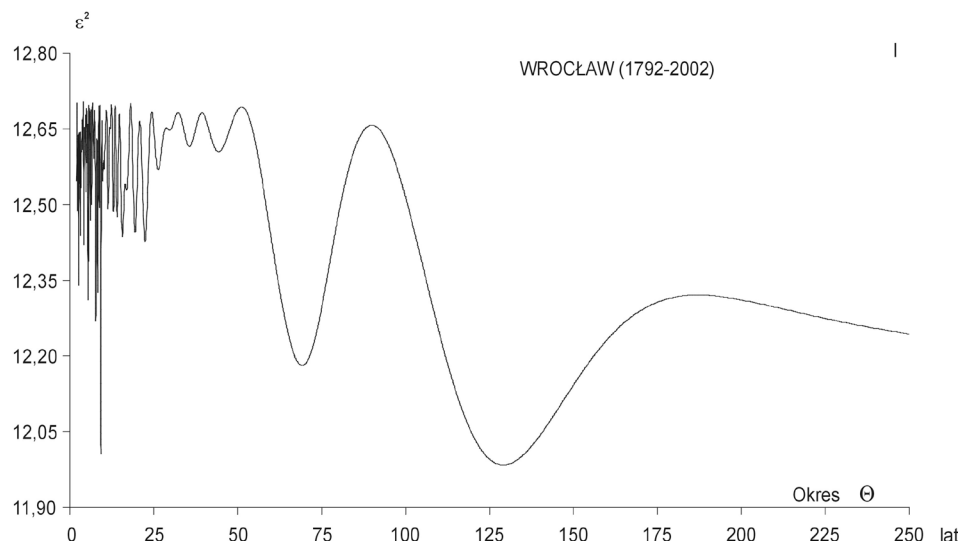


Rys. 4.37b. Widmo temperatury powietrza w Wilnie w latach 1777-2002

(w paśmie 2,0-200 lat, $\Delta\Theta = 0,1$) – lipiec

Fig. 4.37b. Spectrum of air temperature in Wilno in the years 1777-2002

(in the strip 2.0-200 years, $\Delta\Theta = 0.1$) – July

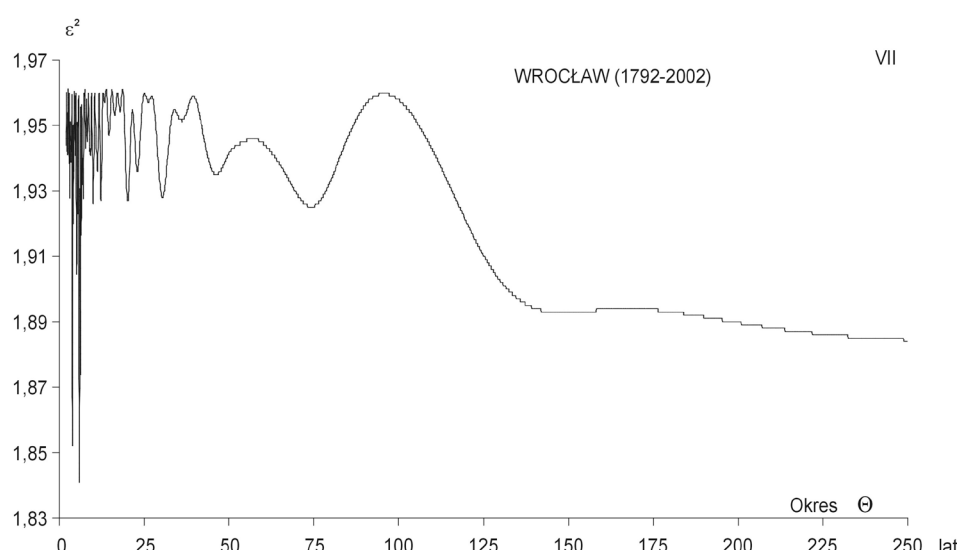


Rys. 4.38a. Widmo temperatury powietrza we Wrocławiu w latach 1792-2002

(w paśmie 2,0-250 lat, $\Delta\Theta = 0,1$) – styczeń

Fig. 4.38a. Spectrum of air temperature in Wroclaw in the years 1792-2002

(in the strip 2.0-250 years, $\Delta\Theta = 0.1$) – January

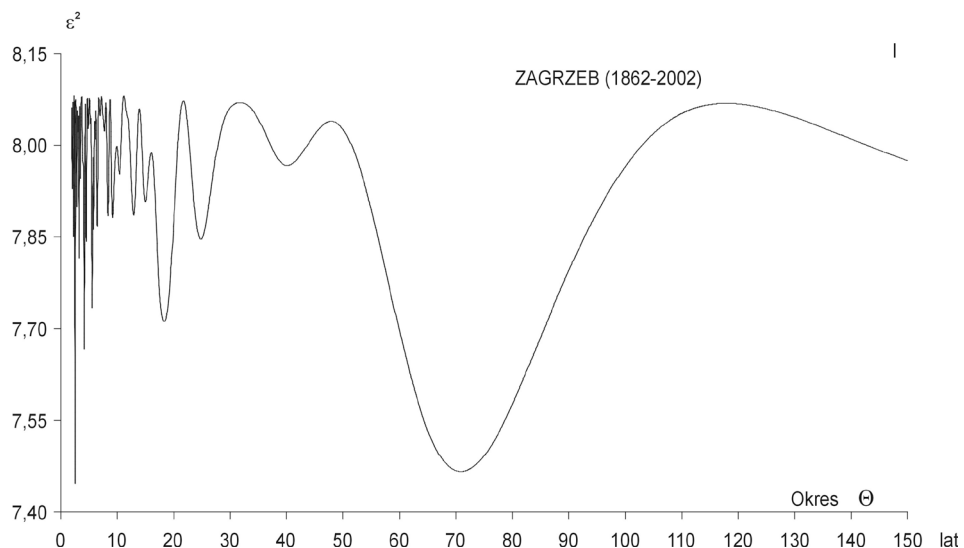


Rys. 4.38b. Widmo temperatury powietrza we Wrocławiu w latach 1792-2002

(w paśmie 2,0-250 lat, $\Delta\Theta = 0,1$) – lipiec

Fig. 4.38b. Spectrum of air temperature in Wroclaw in the years 1792-2002

(in the strip 2.0-250 years, $\Delta\Theta = 0.1$) – July



Rys. 4.39a. Widmo temperatury powietrza w Zagrzebiu w latach 1862-2002

(w paśmie 2,0-150 lat, $\Delta\Theta = 0,1$) – styczeń

Fig. 4.39a. Spectrum of air temperature in Zagreb in the years 1862-2002

(in the strip 2.0-150 years, $\Delta\Theta = 0.1$) – January

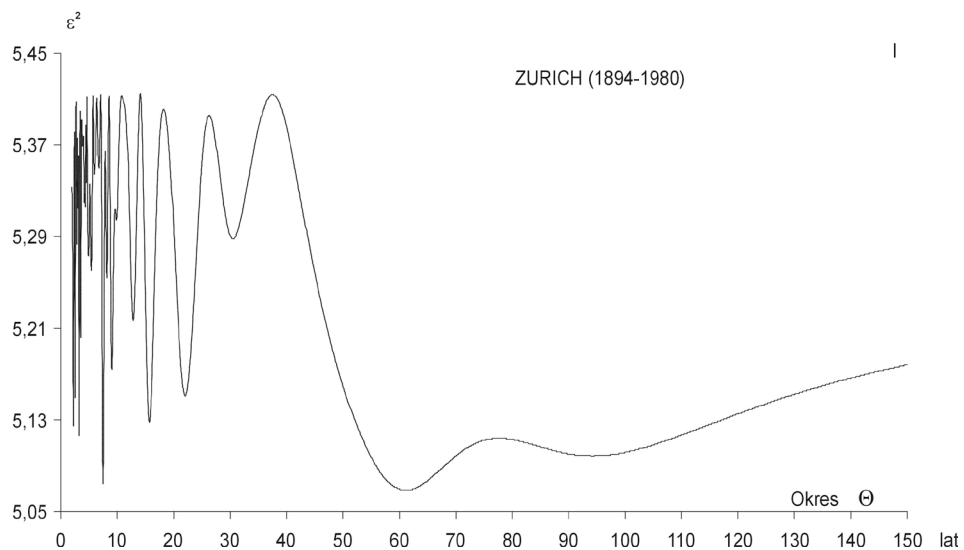


Rys. 4.39b. Widmo temperatury powietrza w Zagrzebiu w latach 1862-2002

(w paśmie 2,0-150 lat, $\Delta\Theta = 0,1$) – lipiec

Fig. 4.39b. Spectrum of air temperature in Zagreb in the years 1862-2002

(in the strip 2.0-150 years, $\Delta\Theta = 0.1$) – July

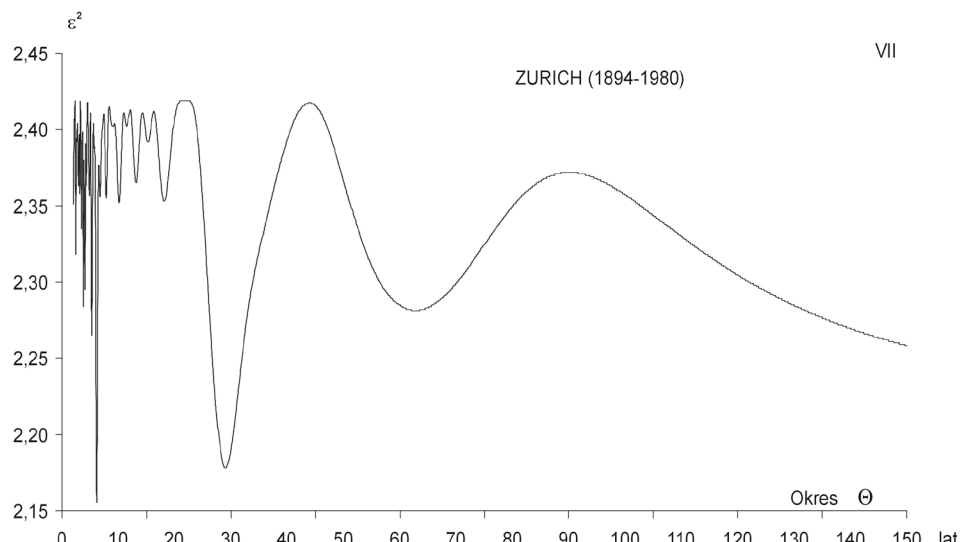


Rys. 4.40a. Widmo temperatury powietrza w Zurychu w latach 1864-1980

(w paśmie 2,0-150 lat, $\Delta\Theta = 0,1$) – styczeń

Fig. 4.40a. Spectrum of air temperature in Zurich in the years 1864-1980

(in the strip 2.0-150 years, $\Delta\Theta = 0.1$) – January

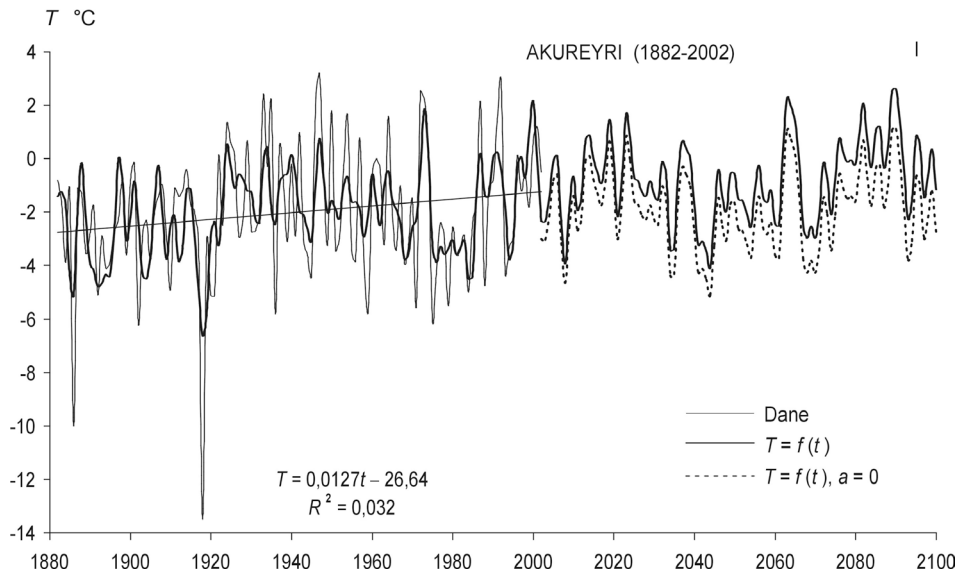


Rys. 4.40b. Widmo temperatury powietrza w Zurychu w latach 1864-1980

(w paśmie 2,0-150 lat, $\Delta\Theta = 0,1$) – lipiec

Fig. 4.40b. Spectrum of air temperature in Zurich in the years 1864-1980

(in the strip 2.0-150 years, $\Delta\Theta = 0.1$) – July

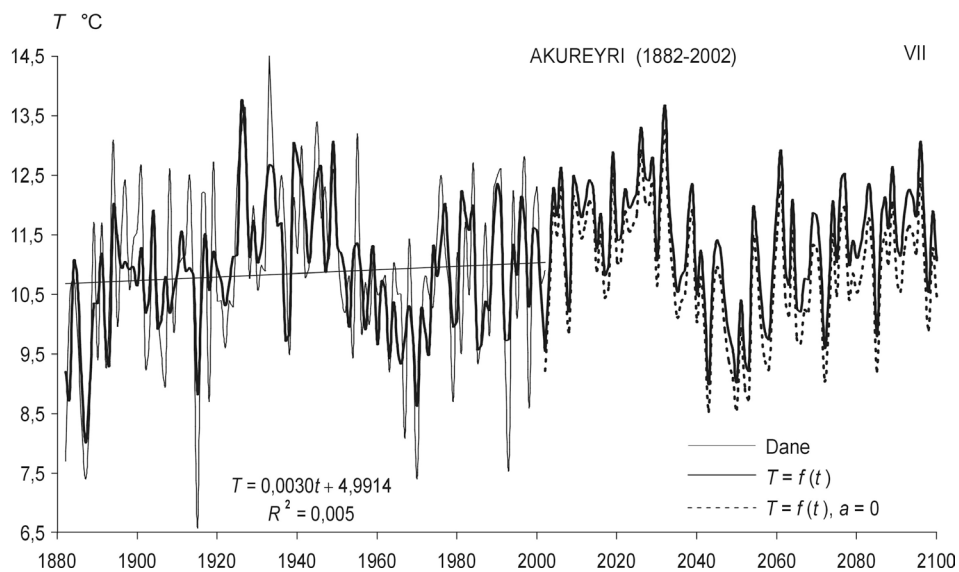


Rys. 4.41a. Zmiany temperatury powietrza w Akureyri w latach 1882-2002

– prognoza w latach 2003-2100 – styczeń

Fig. 4.41a. Changes of air temperature in Akureyri in the 1882-2002 years

– forecasts in years 2003-2100 – January

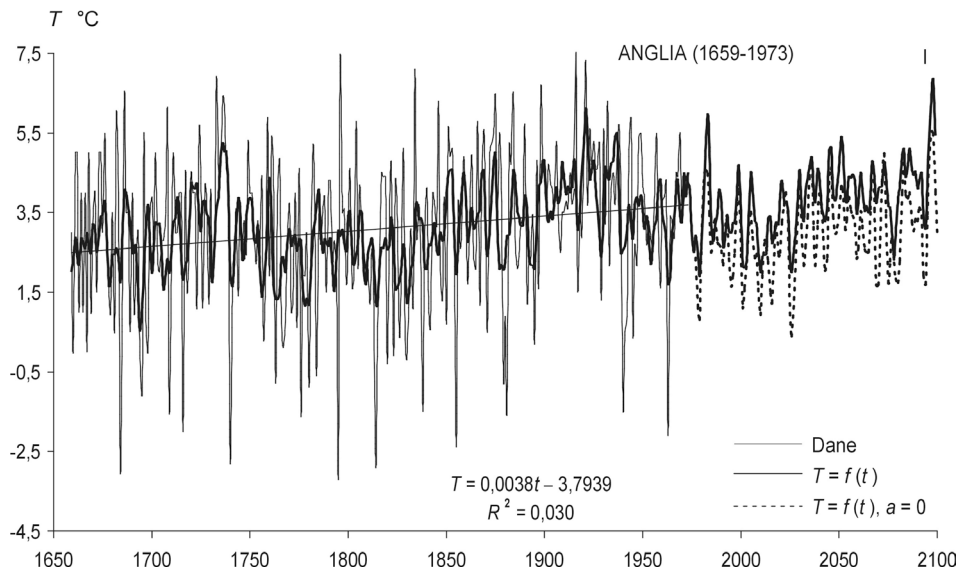


Rys. 4.41b. Zmiany temperatury powietrza w Akureyri w latach 1882-2002

– prognoza w latach 2003-2100 – lipiec

Fig. 4.41b. Changes of air temperature in Akureyri in the 1882-2002 years

– forecasts in years 2003-2100 – July

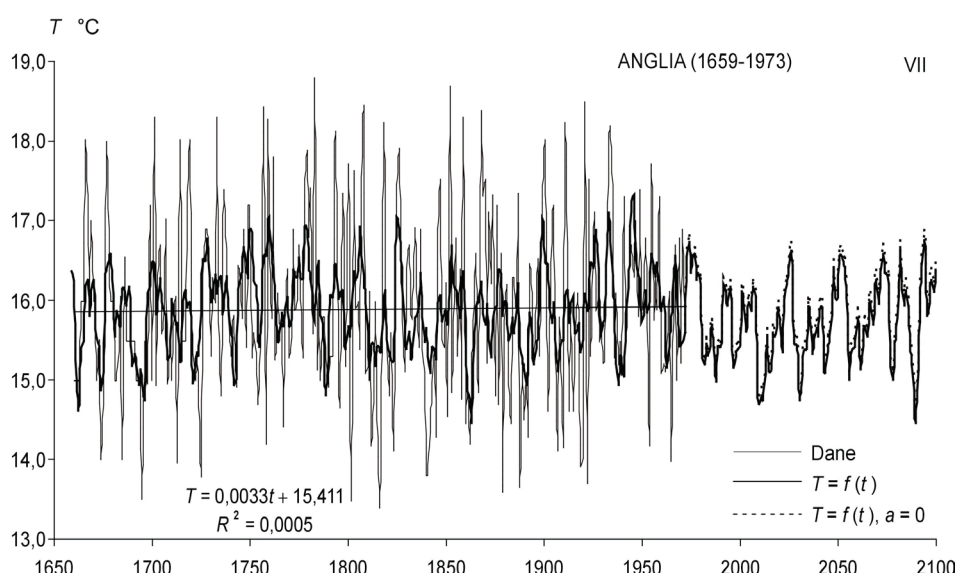


Rys. 4.42a. Zmiany temperatury powietrza w Środkowej Anglii w latach 1659-1973

– prognoza w latach 1974-2100 – styczeń

Fig. 4.42a. Changes of air temperature in England in the 1659-1973 years

– forecasts in years 1974-2100 – January

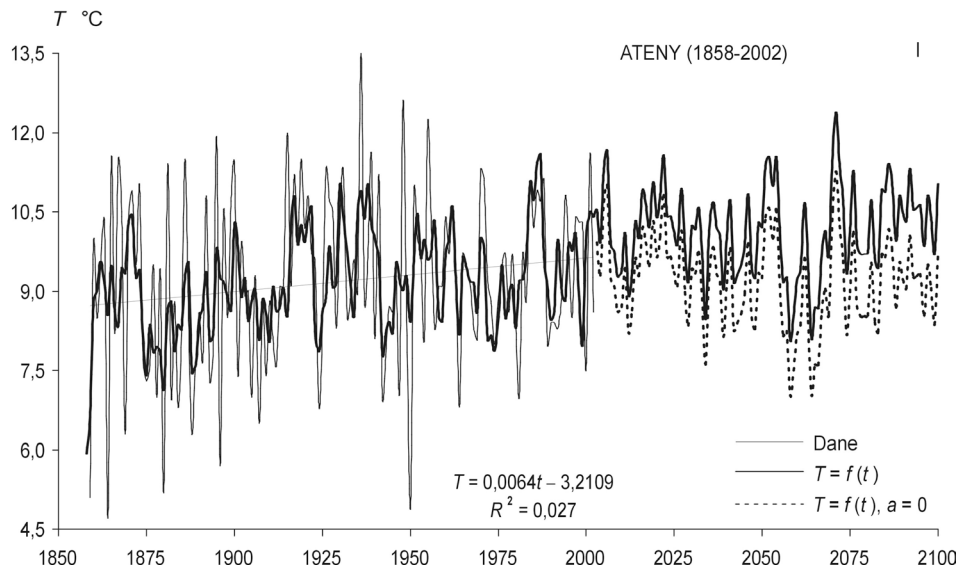


Rys. 4.42b. Zmiany temperatury powietrza w Środkowej Anglii w latach 1659-1973

– prognoza w latach 1974-2100 – lipiec

Fig. 4.42b. Changes of air temperature in England in the 1659-1973 years

– forecasts in years 1974-2100 – July

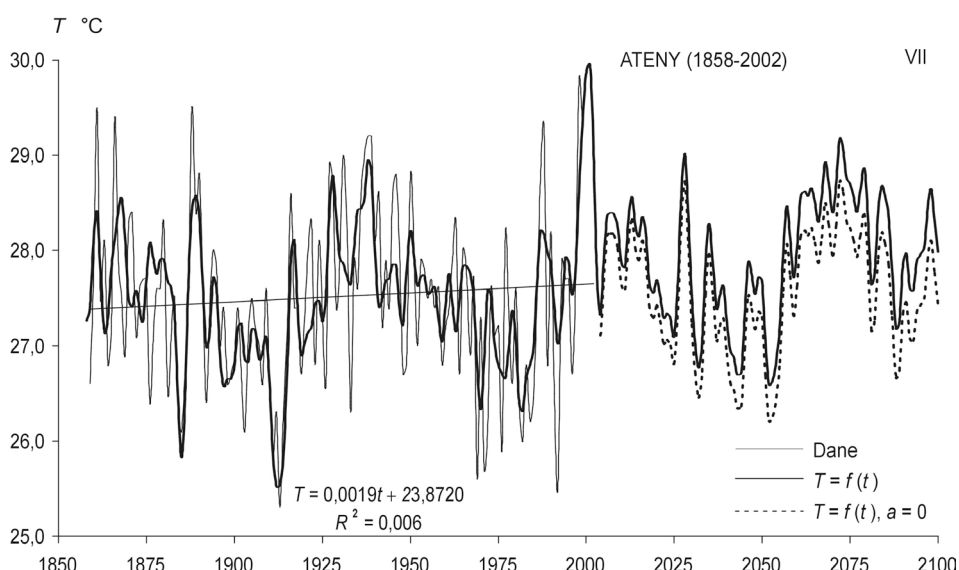


Rys. 4.43a. Zmiany temperatury powietrza w Atenach w latach 1858-2002

– prognoza w latach 2002-2100 – styczeń

Fig. 4.43a. Changes of air temperature in Athens in the 1858-2002 years

– forecasts in years 2002-2100 – January

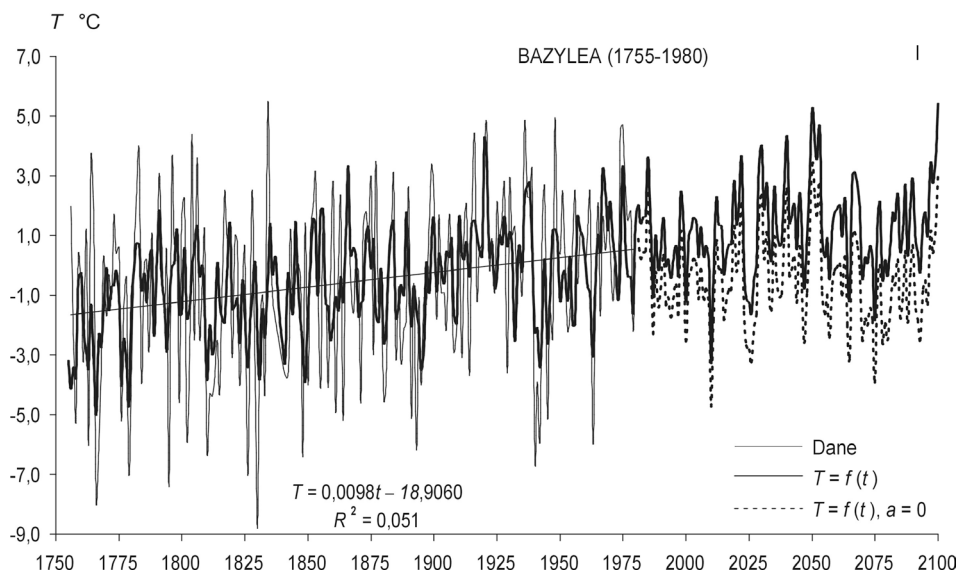


Rys. 4.43b. Zmiany temperatury powietrza w Atenach w latach 1858-2002

– prognoza w latach 2002-2100 – lipiec

Fig. 4.43b. Changes of air temperature in Athens in the 1858-2002 years

– forecasts in years 2002-2100 – July

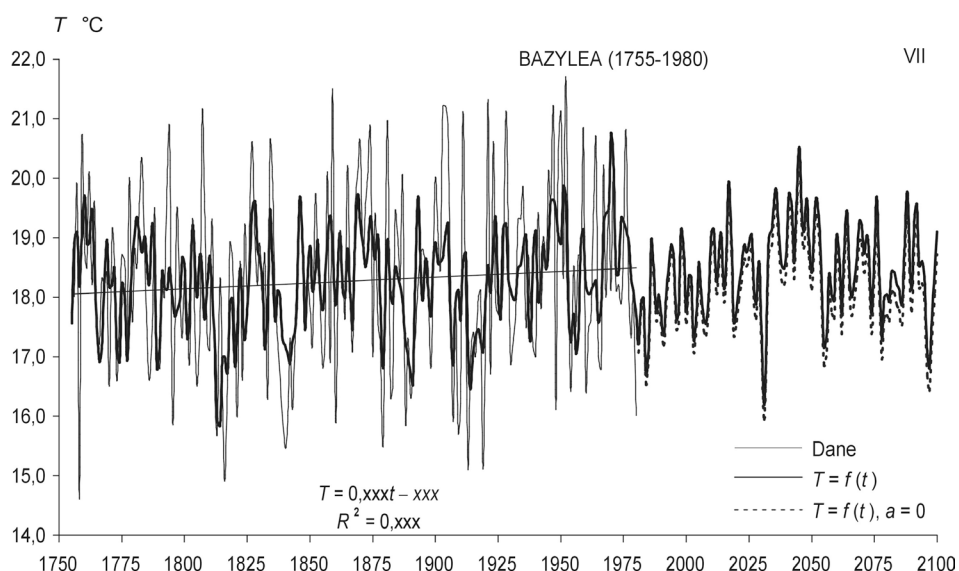


Rys. 4.44a. Zmiany temperatury powietrza w Bazylei w latach 1755-1980

– prognoza w latach 1981-2100 – styczeń

Fig. 4.44a. Changes of air temperature in Basel in the 1755-1980 years

– forecasts in years 1981-2100 – January

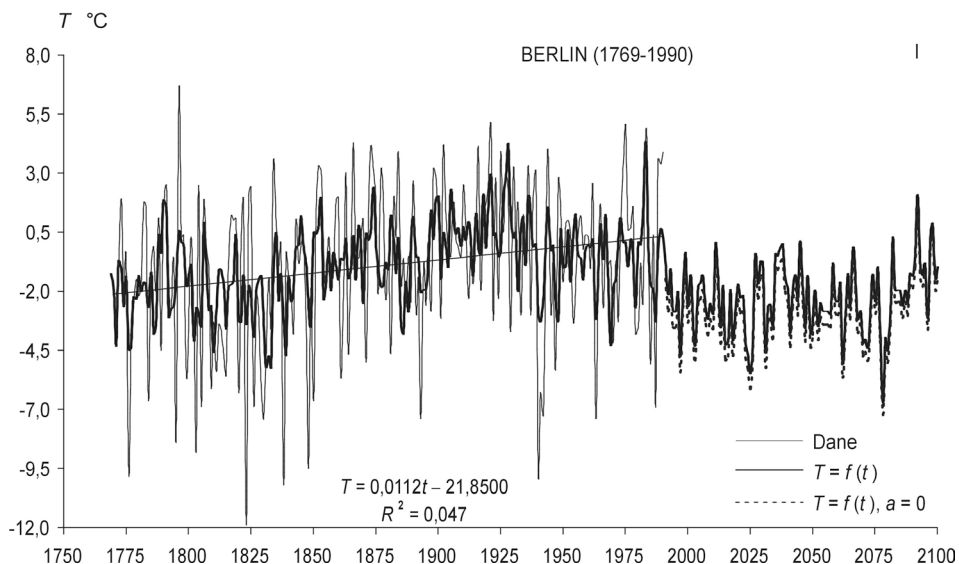


Rys. 4.44b. Zmiany temperatury powietrza w Bazylei w latach 1755-1980

– prognoza w latach 1981-2100 – lipiec

Fig. 4.44b. Changes of air temperature in Basel in the 1755-1980 years

– forecasts in years 1981-2100 – July

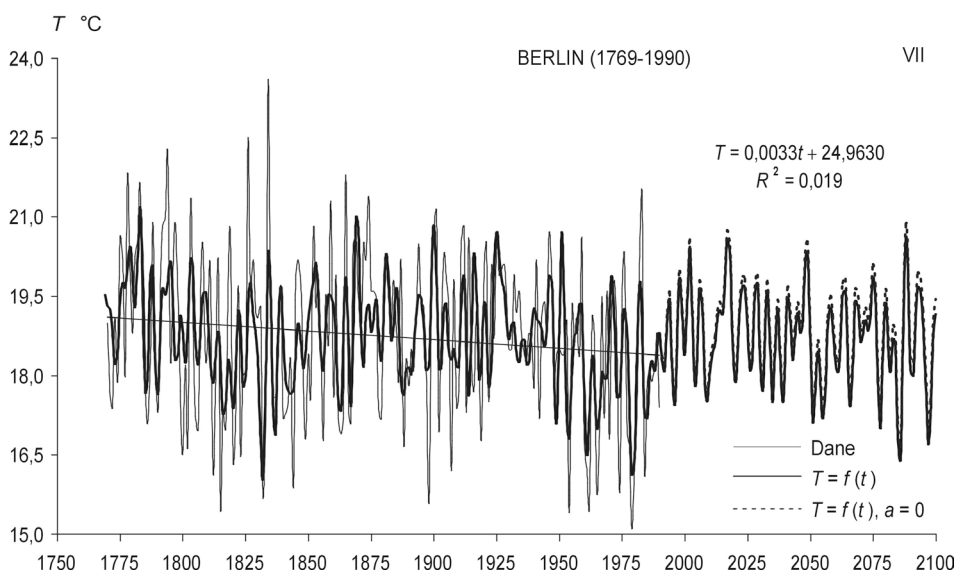


Rys. 4.45a. Zmiany temperatury powietrza w Berlinie w latach 1769-1990

– prognoza w latach 1991-2100 – styczeń

Fig. 4.45a. Changes of air temperature in Berlin in the 1769-1990 years

– forecasts in years 1991-2100 – January

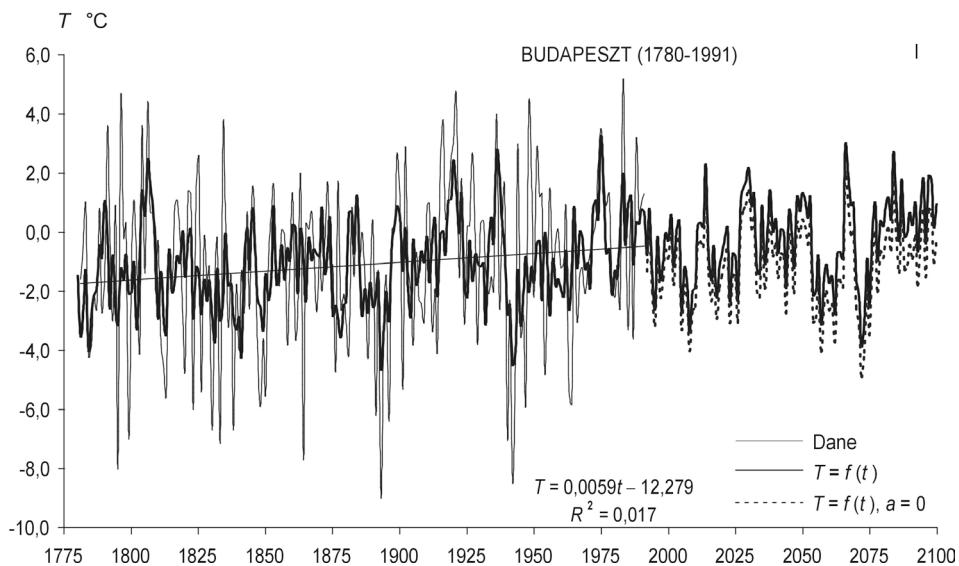


Rys. 4.45b. Zmiany temperatury powietrza w Berlinie w latach 1769-1990

– prognoza w latach 1991-2100 – lipiec

Fig. 4.45b. Changes of air temperature in Berlin in the 1769-1990 years

– forecasts in years 1991-2100 – July

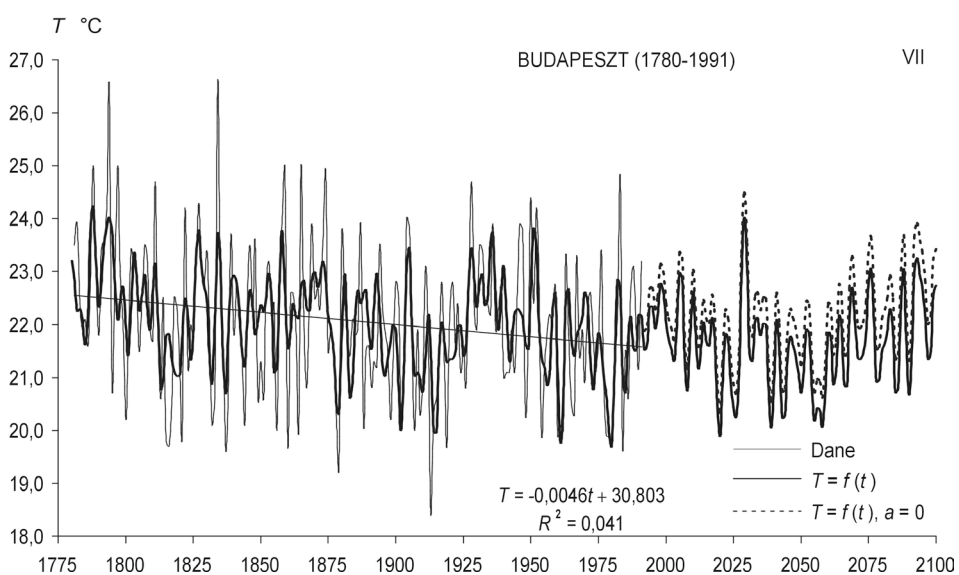


Rys. 4.46a. Zmiany temperatury powietrza w Budapeszcie w latach 1780-1991

– prognoza w latach 1992-2100 – styczeń

Fig. 4.46a. Changes of air temperature in Budapest in the 1780-1991 years

– forecasts in years 1992-2100 – January

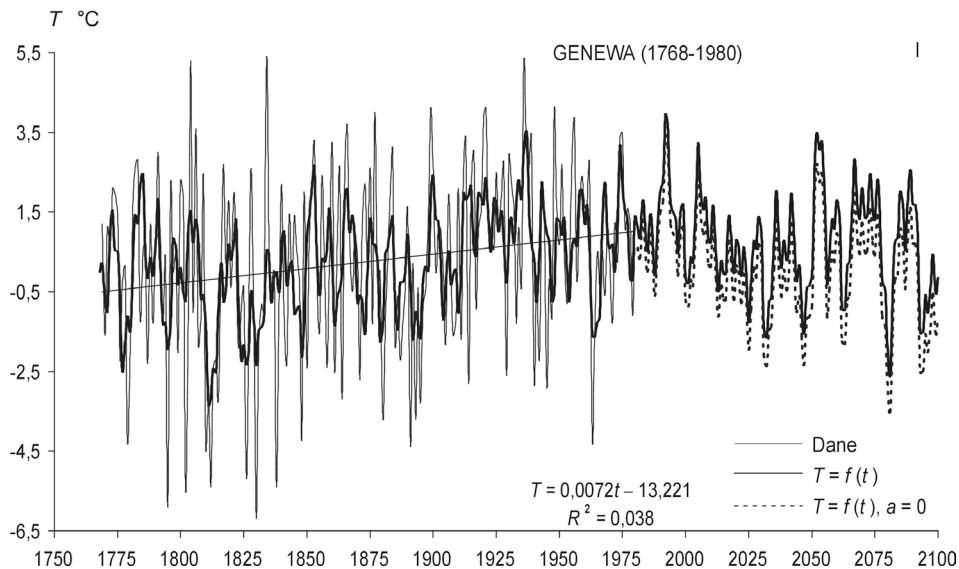


Rys. 4.46b. Zmiany temperatury powietrza w Budapeszcie w latach 1780-1991

– prognoza w latach 1992-2100 – lipiec

Fig. 4.46b. Changes of air temperature in Budapest in the 1780-1991 years

– forecasts in years 1992-2100 – July

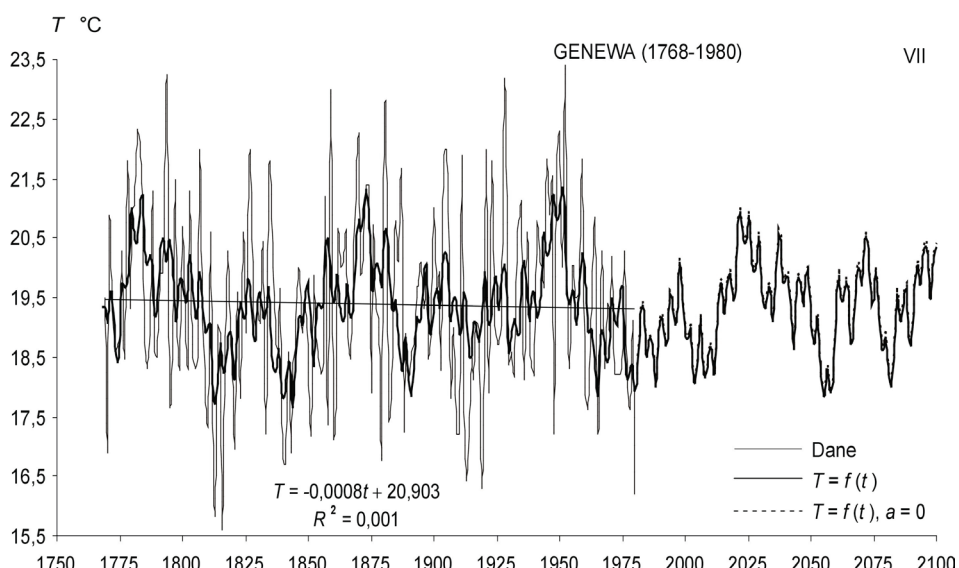


Rys. 4.47a. Zmiany temperatury powietrza w Genewie w latach 1768-1980

– prognoza w latach 1981-2100 – styczeń

Fig. 4.47a. Changes of air temperature in Geneva in the 1768-1980 years

– forecasts in years 1981-2100 – January

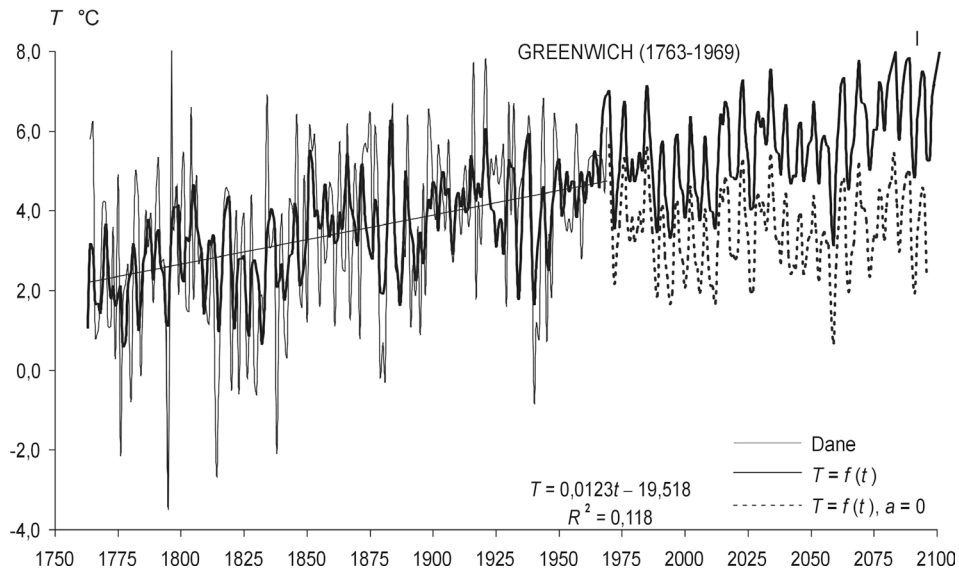


Rys. 4.47b. Zmiany temperatury powietrza w Genewie w latach 1768-1980

– prognoza w latach 1981-2100 – lipiec

Fig. 4.47b. Changes of air temperature in Geneva in the 1768-1980 years

– forecasts in years 1981-2100 – July

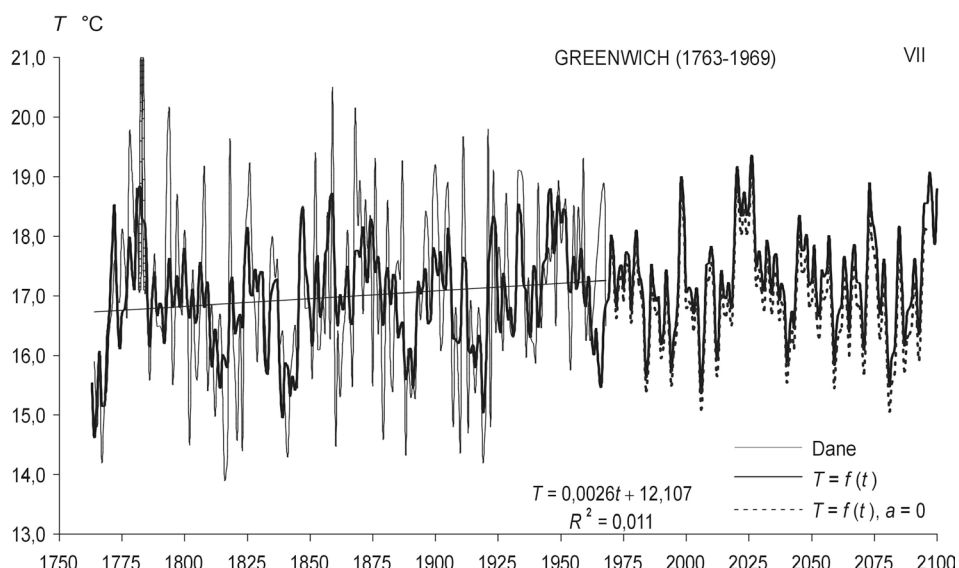


Rys. 4.48a. Zmiany temperatury powietrza w Greenwich w latach 1763-1969

– prognoza w latach 1970-2100 – styczeń

Fig. 4.48a. Changes of air temperature in Greenwich in the 1763-1969 years

– forecasts in years 1970-2100 – January

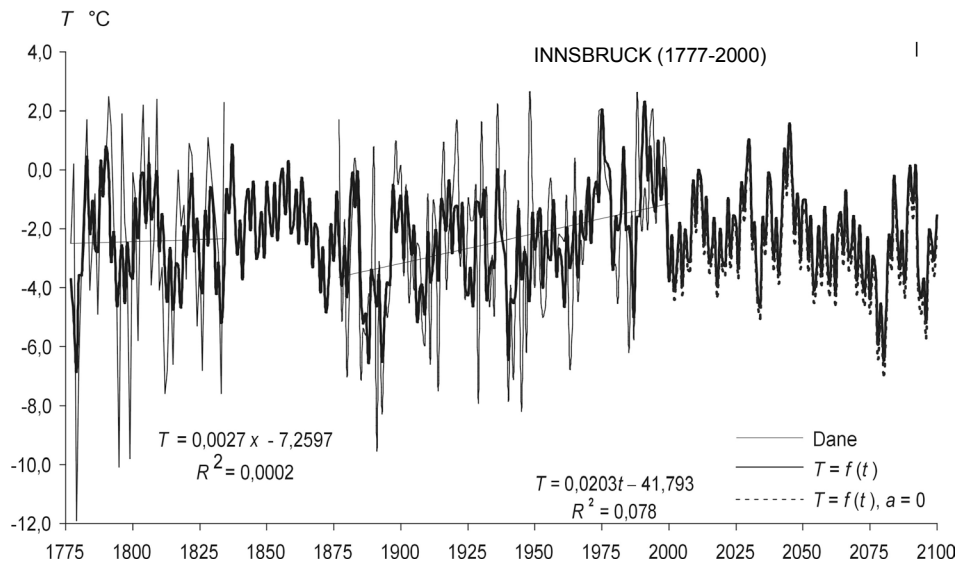


Rys. 4.48b. Zmiany temperatury powietrza w Greenwich w latach 1763-1969

– prognoza w latach 1970-2100 – lipiec

Fig. 4.48b. Changes of air temperature in Greenwich in the 1763-1969 years

– forecasts in years 1970-2100 – July

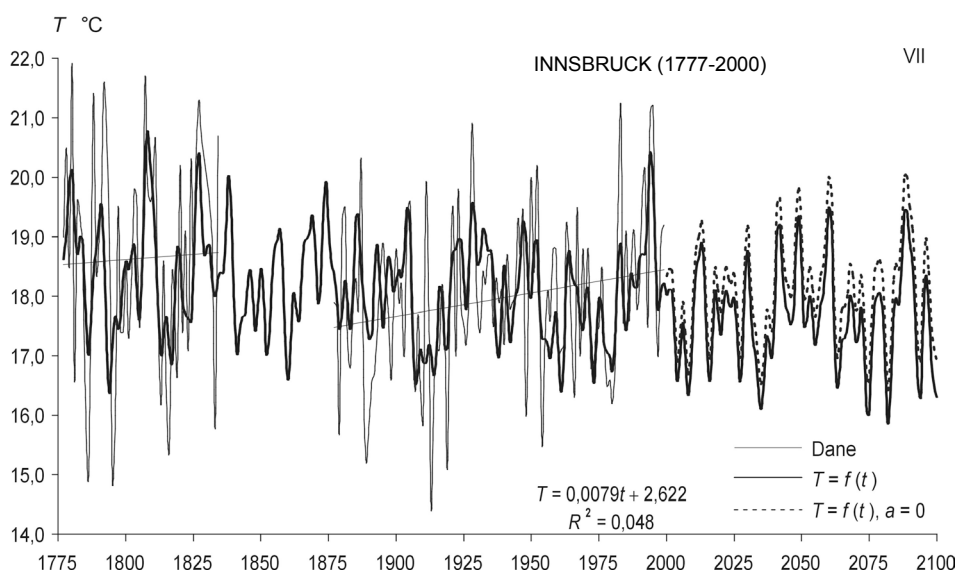


Rys. 4.49a. Zmiany temperatury powietrza w Innsbrucku w latach 1777-2000

– prognoza w latach 2001-2100 – styczeń

Fig. 4.49a. Changes of air temperature in Innsbruck in the 1777-2000 years

– forecasts in years 2001-2100 – January

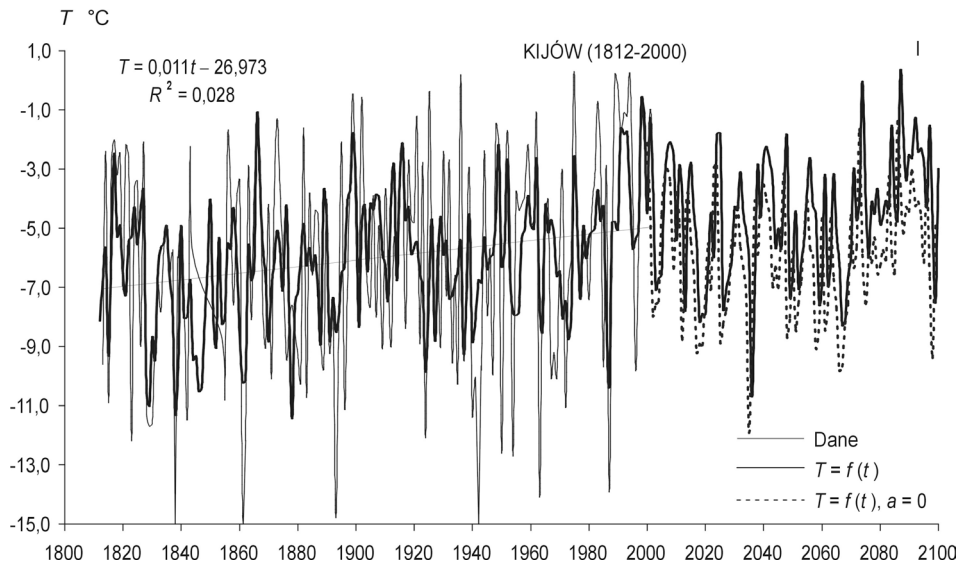


Rys. 4.49b. Zmiany temperatury powietrza w Innsbrucku w latach 1777-2000

– prognoza w latach 2001-2100 – lipiec

Fig. 4.49b. Changes of air temperature in Innsbruck in the 1777-2000 years

– forecasts in years 2001-2100 – July

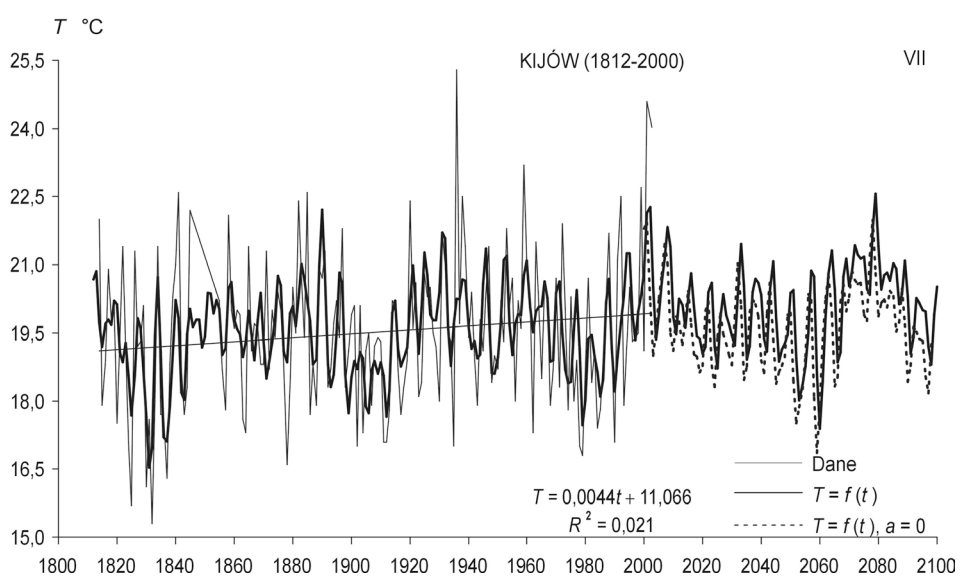


Rys. 4.50a. Zmiany temperatury powietrza w Kijowie w latach 1812-2000

– prognoza w latach 2001-2100 – styczeń

Fig. 4.50a. Changes of air temperature in Kiev in the 1812-2000 years

– forecasts in years 2001-2100 – January

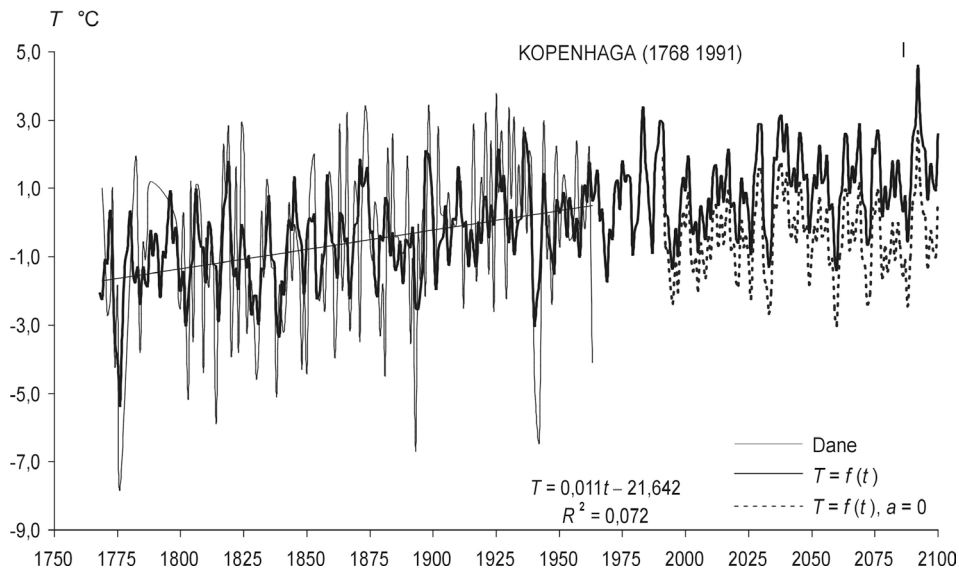


Rys. 4.50b. Zmiany temperatury powietrza w Kijowie w latach 1812-2000

– prognoza w latach 2001-2100 – lipiec

Fig. 4.50b. Changes of air temperature in Kiev in the 1812-2000 years

– forecasts in years 2001-2100 – July

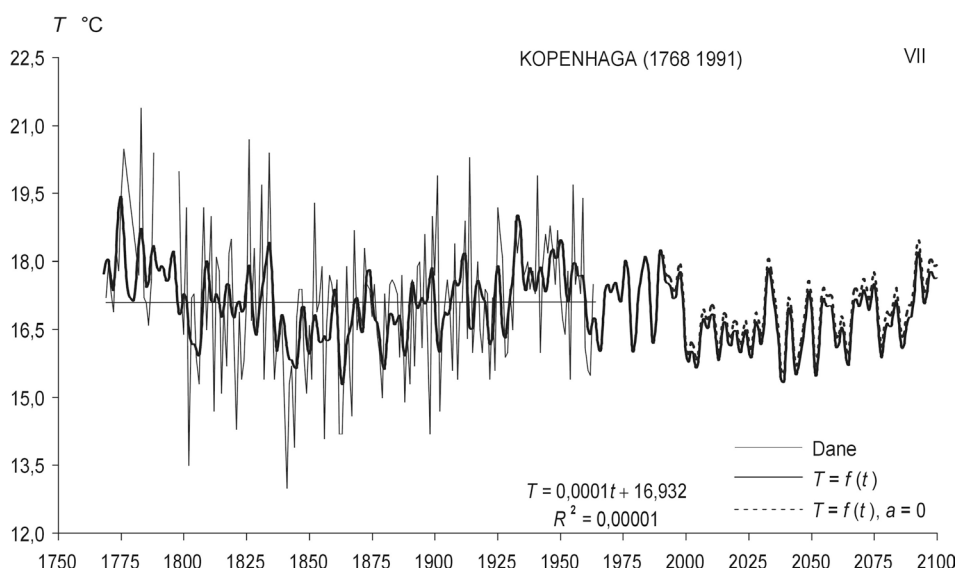


Rys. 4.51a. Zmiany temperatury powietrza w Kopenhadze w latach 1768-1991

– prognoza w latach 1992-2100 – styczeń

Fig. 4.51a. Changes of air temperature in Copenhagen in the 1768-1991 years

– forecasts in years 1992-2100 – January

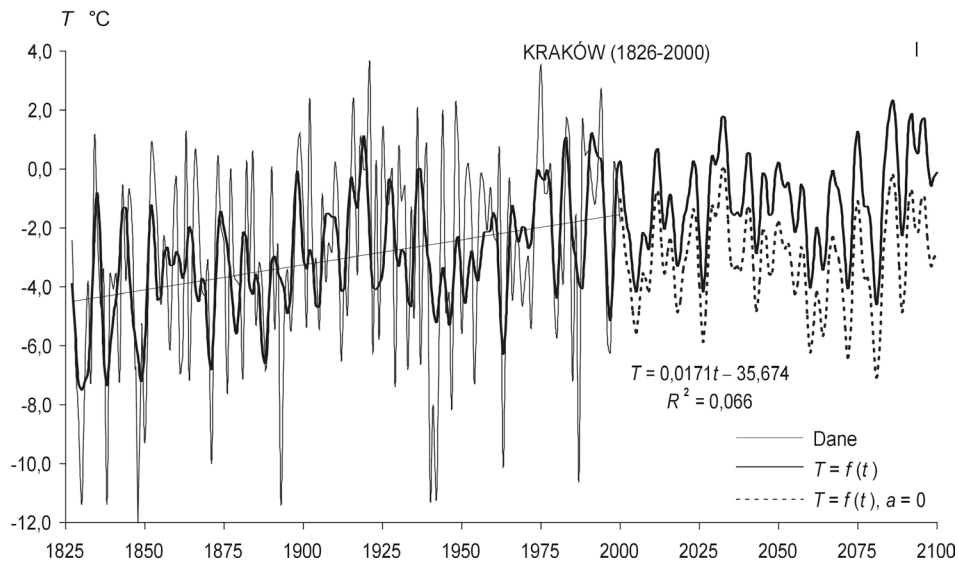


Rys. 4.51b. Zmiany temperatury powietrza w Kopenhadze w latach 1768-1991

– prognoza w latach 1992-2100 – lipiec

Fig. 4.51b. Changes of air temperature in Copenhagen in the 1768-1991 years

– forecasts in years 1992-2100 – July

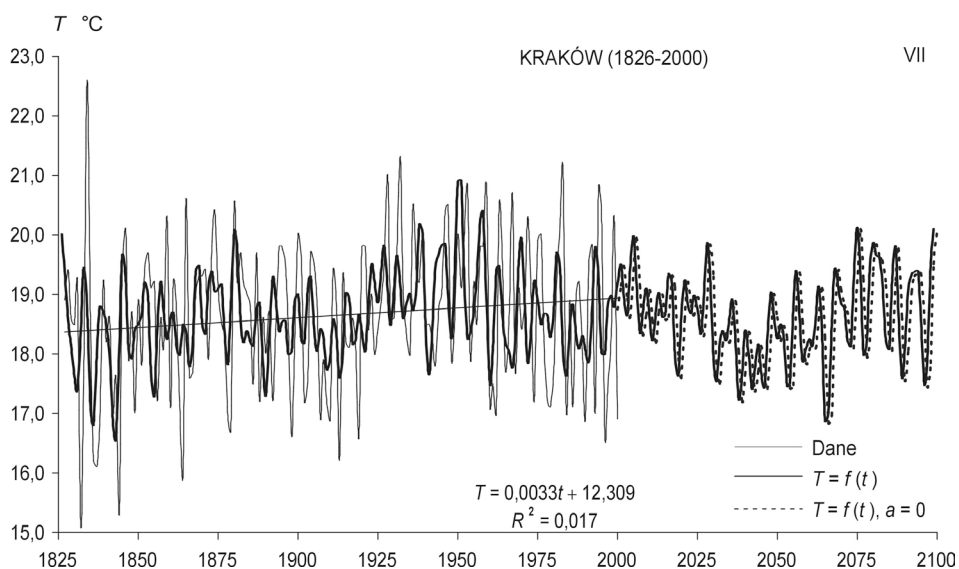


Rys. 4.52a. Zmiany temperatury powietrza w Krakowie w latach 1826-2000

– prognoza w latach 2001-2100 – styczeń

Fig. 4.52a. Changes of air temperature in Krakow in the 1826-2000 years

– forecasts in years 2001-2100 – January

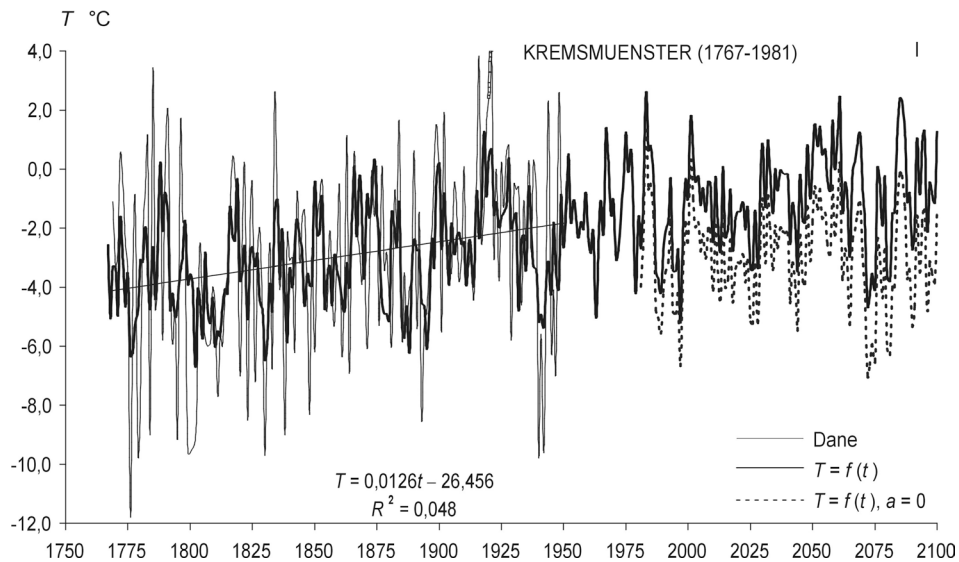


Rys. 4.52b. Zmiany temperatury powietrza w Krakowie w latach 1826-2000

– prognoza w latach 2001-2100 – lipiec

Fig. 4.52b. Changes of air temperature in Krakow in the 1826-2000 years

– forecasts in years 2001-2100 – July

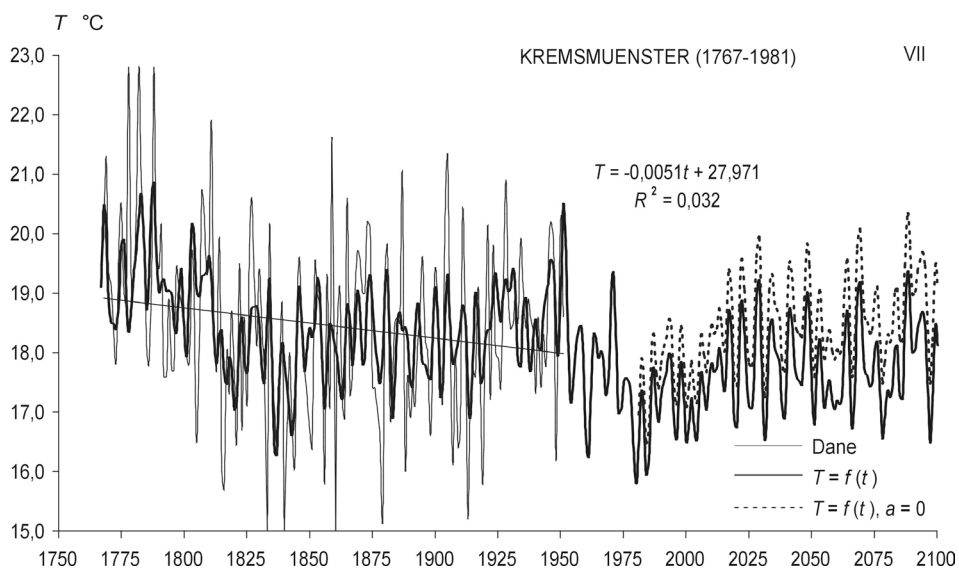


Rys. 4.53a. Zmiany temperatury powietrza w Kramsmuenster w latach 1767-1981

– prognoza w latach 1982-2100 – styczeń

Fig. 4.53a. Changes of air temperature in Kramsmuenster in the 1767-1981 years

– forecasts in years 1982-2100 – January

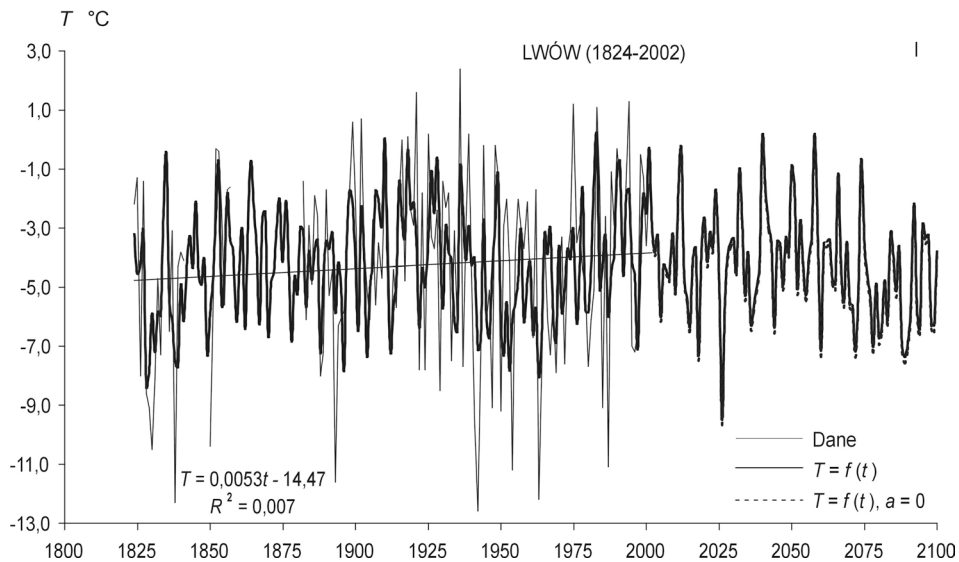


Rys. 4.53b. Zmiany temperatury powietrza w Kramsmuenster w latach 1767-1981

– prognoza w latach 1982-2100 – lipiec

Fig. 4.53b. Changes of air temperature in Kramsmuenster in the 1767-1981 years

– forecasts in years 1982-2100 – July

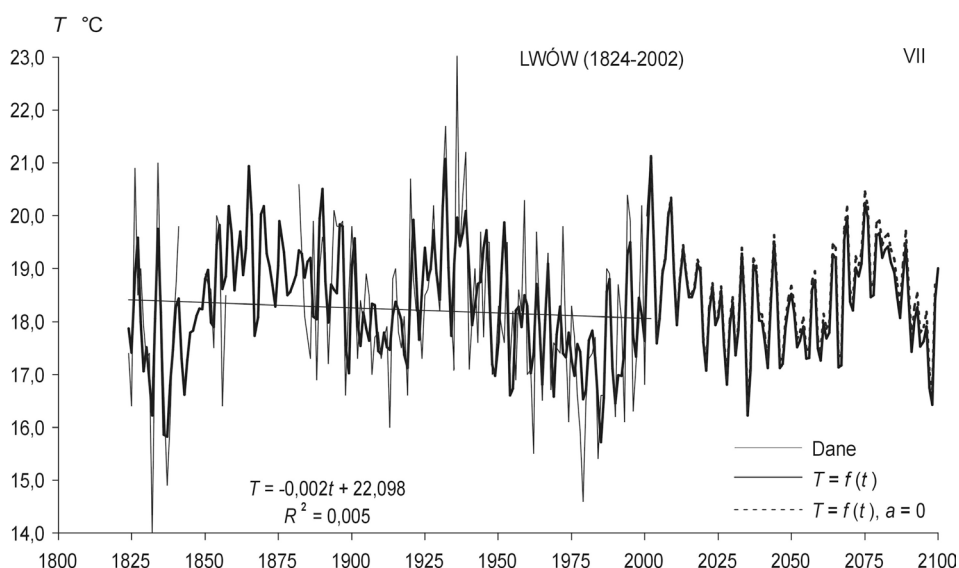


Rys. 4.54a. Zmiany temperatury powietrza we Lwowie w latach 1824-2002

– prognoza w latach 2003-2100 – styczeń

Fig. 4.54a. Changes of air temperature in Lwow in the 1824-2002 years

– forecasts in years 2003-2100 – January

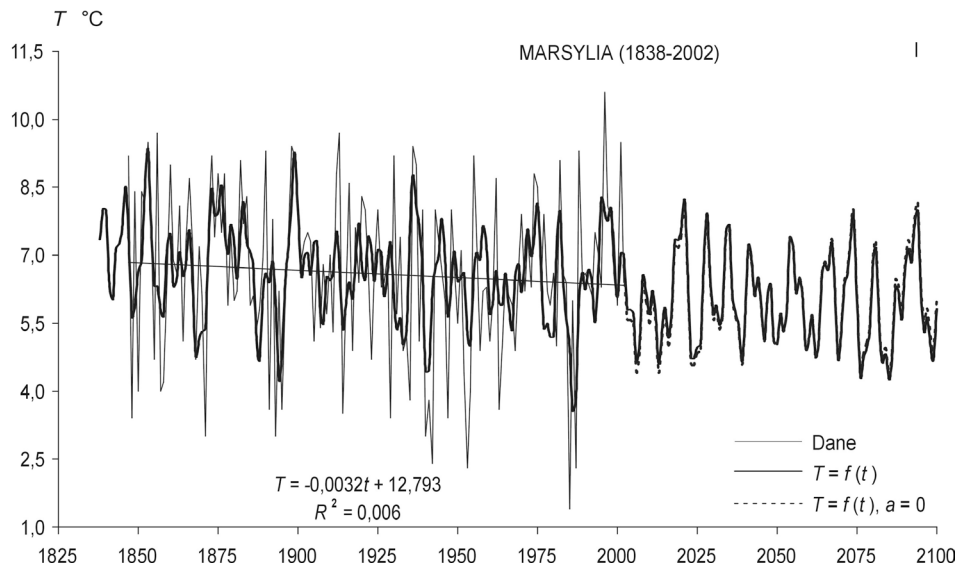


Rys. 4.54b. Zmiany temperatury powietrza we Lwowie w latach 1824-2002

– prognoza w latach 2003-2100 – lipiec

Fig. 4.54b. Changes of air temperature in Lwow in the 1824-2002 years

– forecasts in years 2003-2100 – July

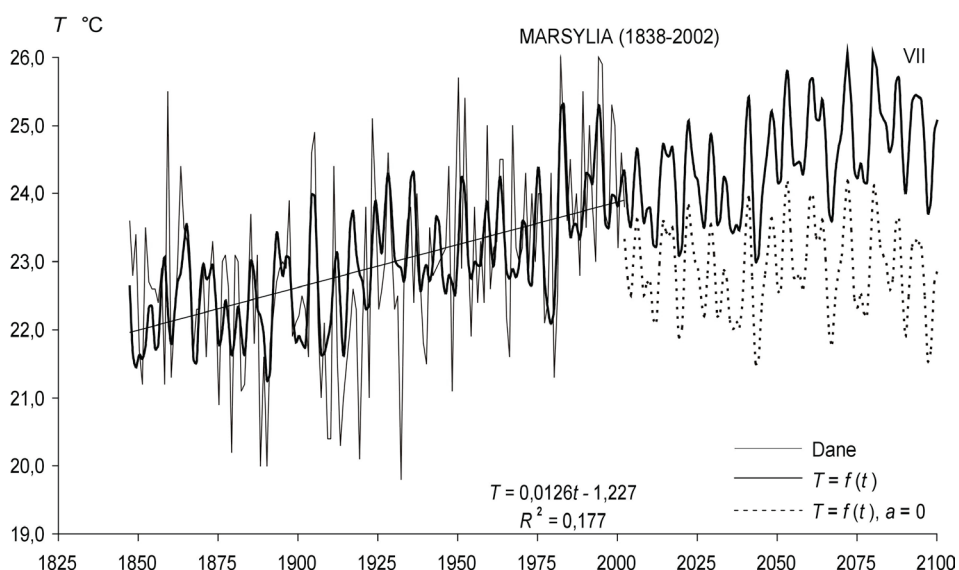


Rys. 4.55a. Zmiany temperatury powietrza w Marsylii w latach 1838-2002

– prognoza w latach 2003-2100 – styczeń

Fig. 4.55a. Changes of air temperature in Marsylia in the 1838-2002 years

– forecasts in years 2003-2100 – January

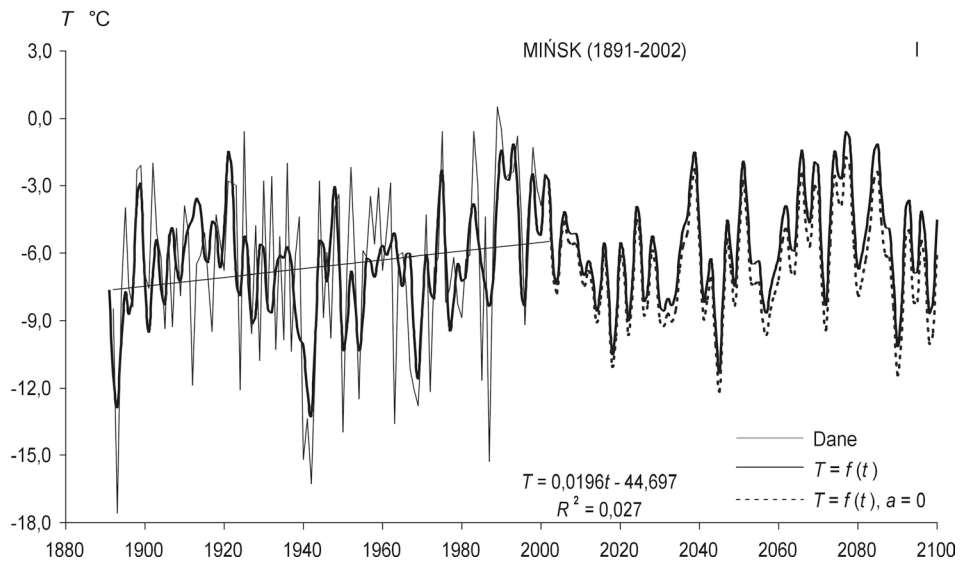


Rys. 4.55b. Zmiany temperatury powietrza w Marsylii w latach 1838-2002

– prognoza w latach 2003-2100 – lipiec

Fig. 4.55b. Changes of air temperature in Marsylia in the 1838-2002 years

– forecasts in years 2003-2100 – July

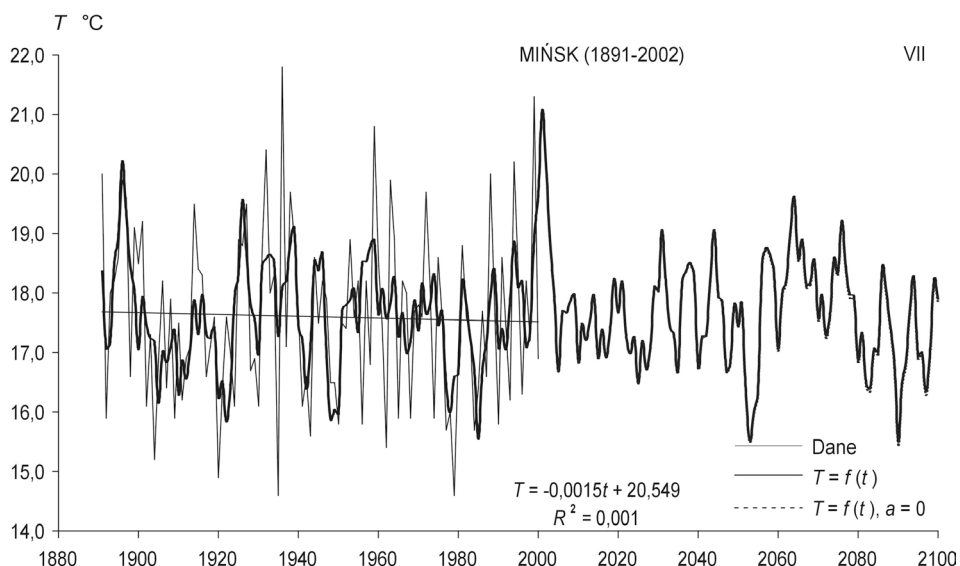


Rys. 4.56a. Zmiany temperatury powietrza w Mińsku w latach 1891-2002

– prognoza w latach 2003-2100 – styczeń

Fig. 4.56a. Changes of air temperature in Minsk in the 1891-2002 years

– forecasts in years 2003-2100 – January

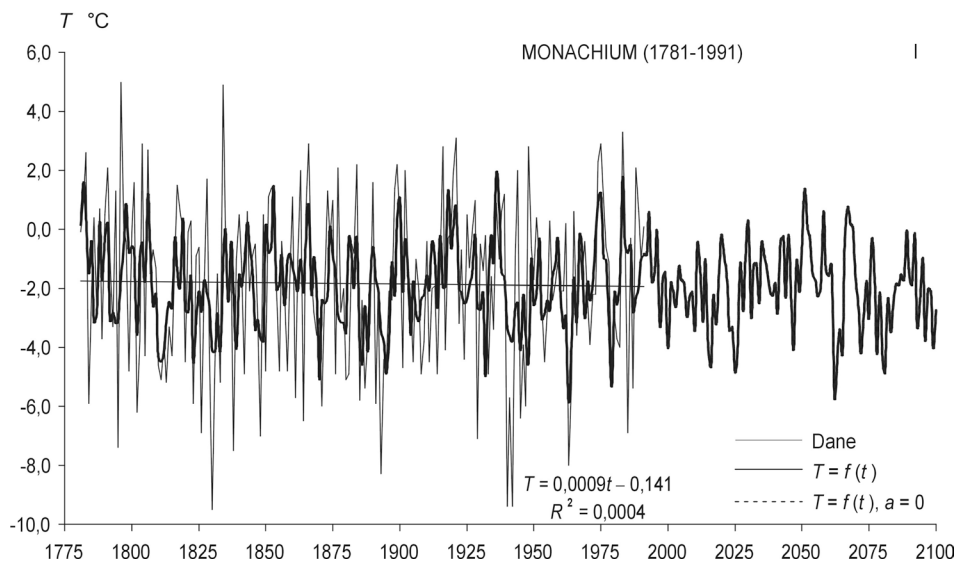


Rys. 4.56b. Zmiany temperatury powietrza w Mińsku w latach 1891-2002

– prognoza w latach 2003-2100 – lipiec

Fig. 4.56b. Changes of air temperature in Minsk in the 1891-2002 years

– forecasts in years 2003-2100 – July

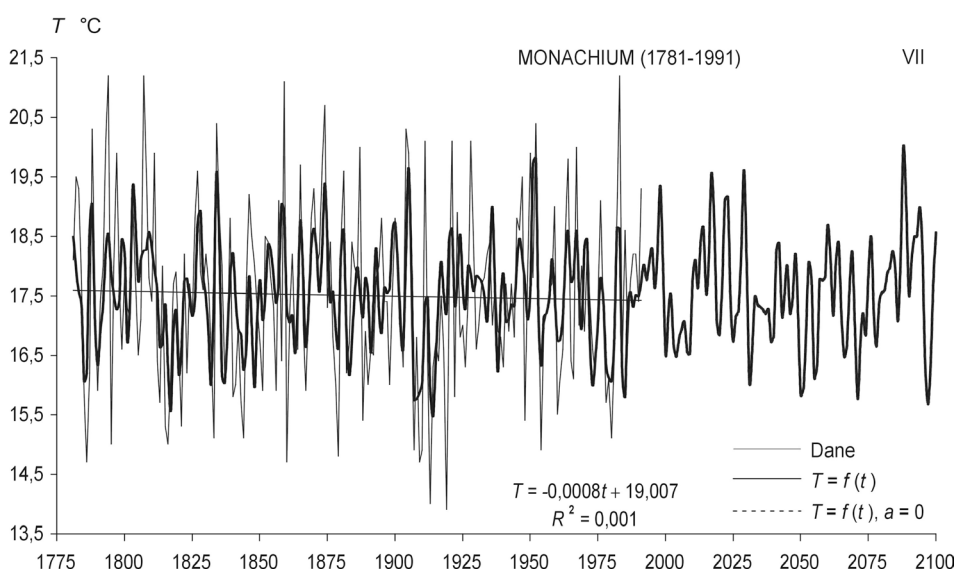


Rys. 4.57a. Zmiany temperatury powietrza w Monachium w latach 1781-1991

– prognoza w latach 1992-2100 – styczeń

Fig. 4.57a. Changes of air temperature in Munch in the 1781-1991 years

– forecasts in years 1992-2100 – January

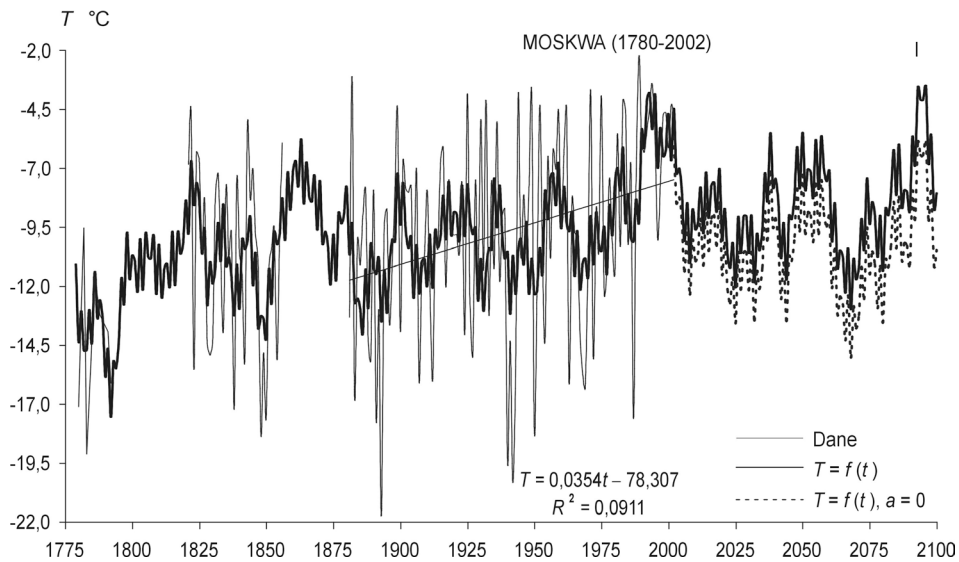


Rys. 4.57b. Zmiany temperatury powietrza w Monachium w latach 1781-1991

– prognoza w latach 1992-2100 – lipiec

Fig. 4.57b. Changes of air temperature in Munch in the 1781-1991 years

– forecasts in years 1992-2100 – July

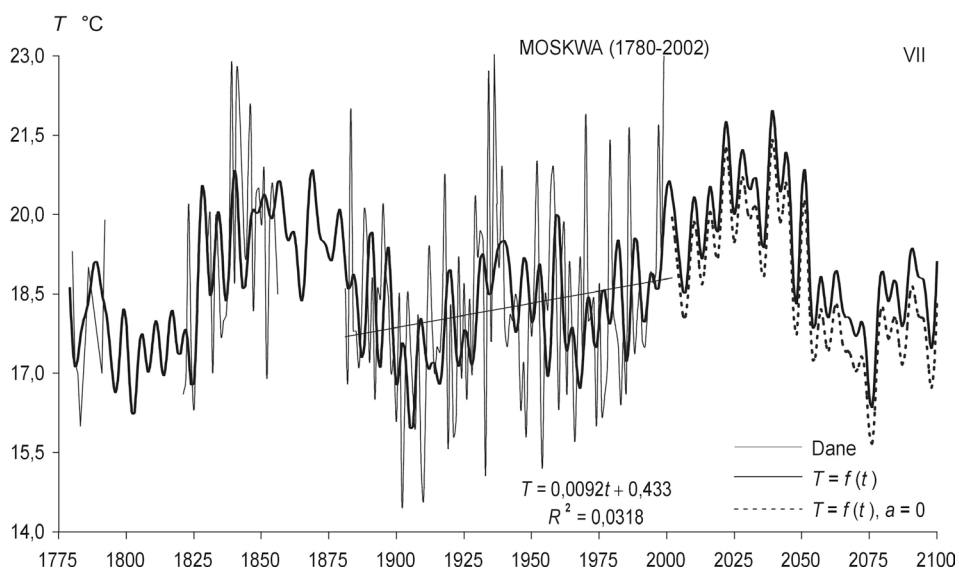


Rys. 4.58a. Zmiany temperatury powietrza w Moskwie w latach 1780-2002

– prognoza w latach 2003-2100 – styczeń

Fig. 4.58a. Changes of air temperature in Moscow in the 1780-2002 years

– forecasts in years 2003-2100 – January

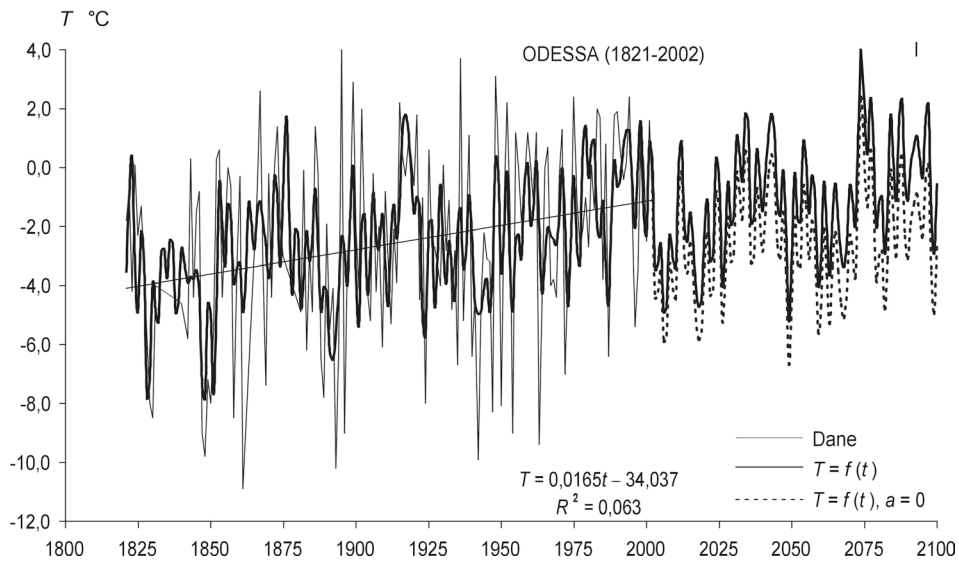


Rys. 4.58b. Zmiany temperatury powietrza w Moskwie w latach 1780-2002

– prognoza w latach 2003-2100 – lipiec

Fig. 4.58b. Changes of air temperature in Moscow in the 1780-2002 years

– forecasts in years 2003-2100 – July

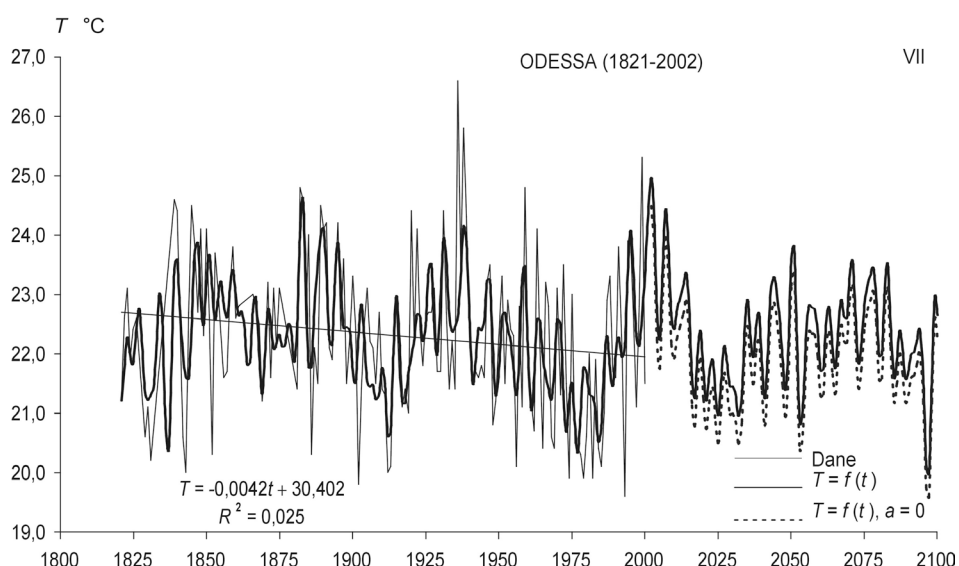


Rys. 4.59a. Zmiany temperatury powietrza w Odessie w latach 1821-2002

– prognoza w latach 2003-2100 – styczeń

Fig. 4.59a. Changes of air temperature in Odessa in the 1821-2002 years

– forecasts in years 2003-2100 – January

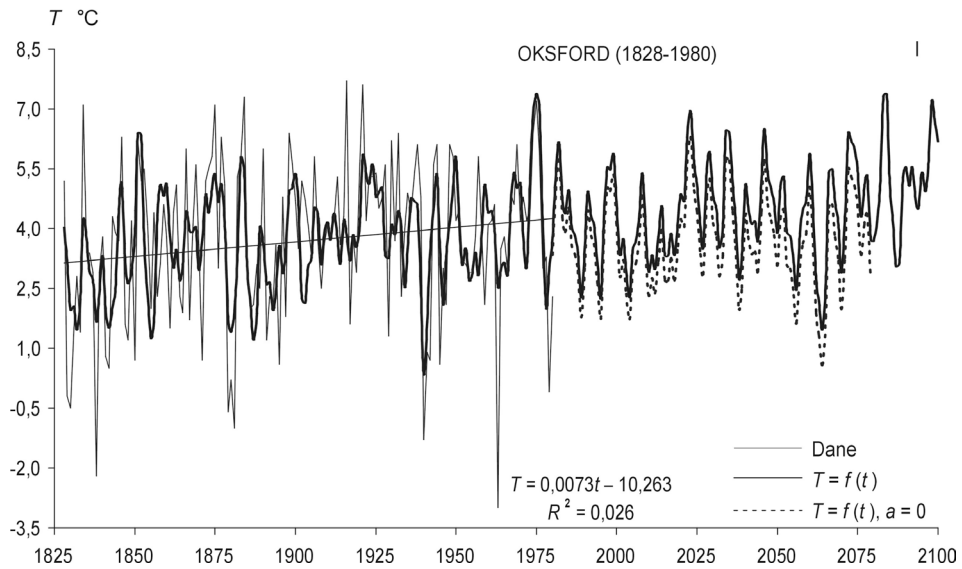


Rys. 4.59b. Zmiany temperatury powietrza w Odessie w latach 1821-2002

– prognoza w latach 2003-2100 – lipiec

Fig. 4.59b. Changes of air temperature in Odessa in the 1821-2002 years

– forecasts in years 2003-2100 – July

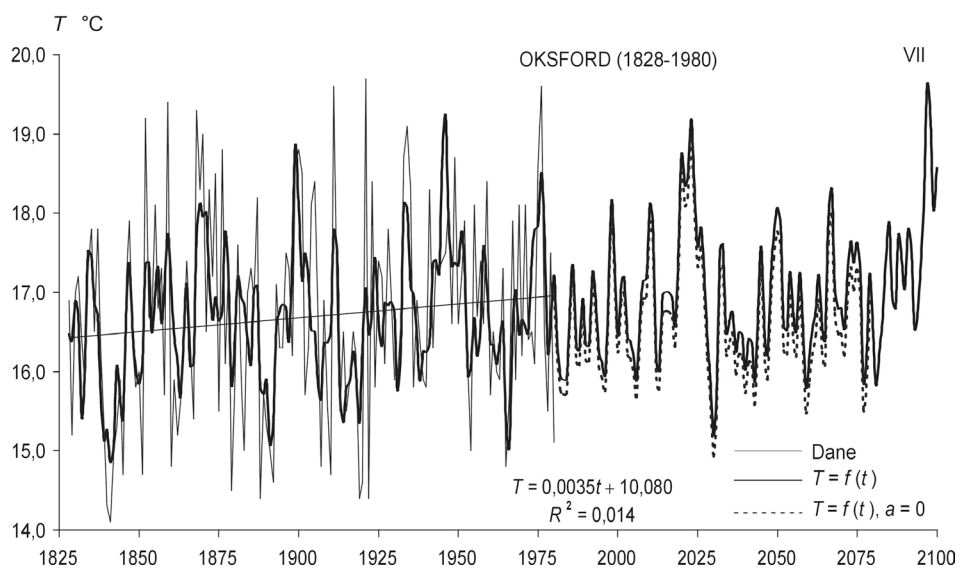


Rys. 4.60a. Zmiany temperatury powietrza w Oksfordzie w latach 1828-1980

– prognoza w latach 1981-2100 – styczeń

Fig. 4.60a. Changes of air temperature in Oxford in the 1828-1980 years

– forecasts in years 1981-2100 – January

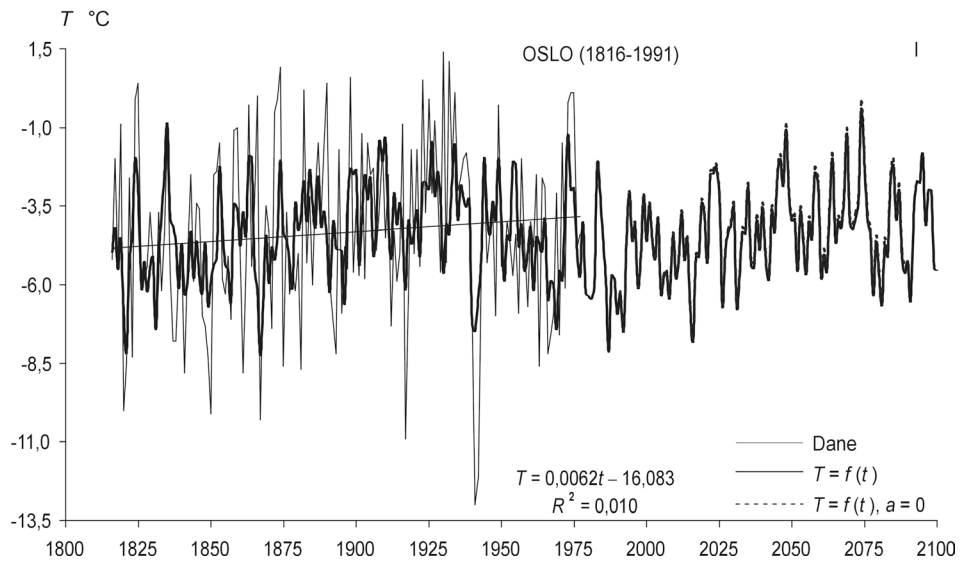


Rys. 4.60b. Zmiany temperatury powietrza w Oksfordzie w latach 1828-1980

– prognoza w latach 1981-2100 – lipiec

Fig. 4.60b. Changes of air temperature in Oxford in the 1828-1980 years

– forecasts in years 1981-2100 – July

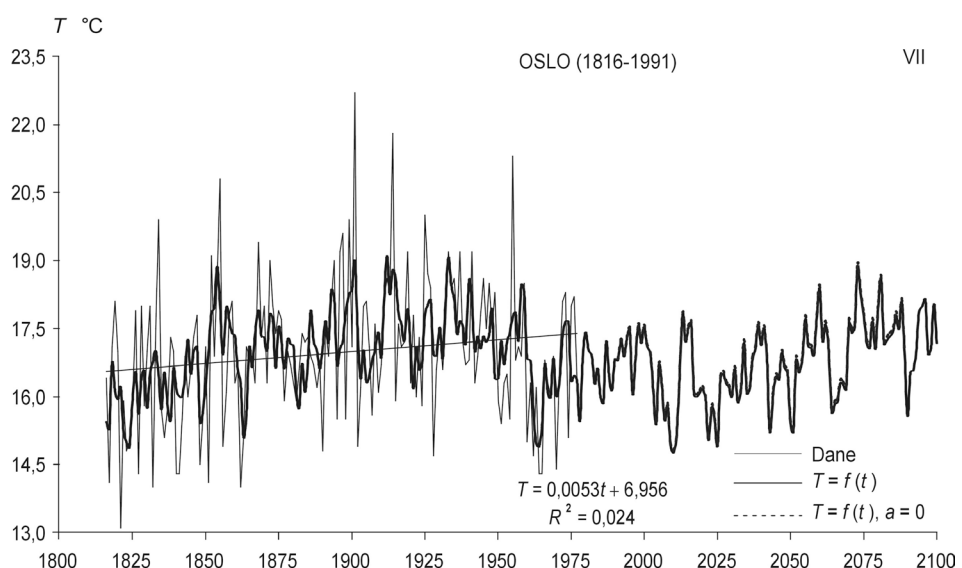


Rys. 4.61a. Zmiany temperatury powietrza w Oslo w latach 1816-1991

– prognoza w latach 1992-2100 – styczeń

Fig. 4.61a. Changes of air temperature in Oslo in the 1816-1991 years

– forecasts in years 1992-2100 – January

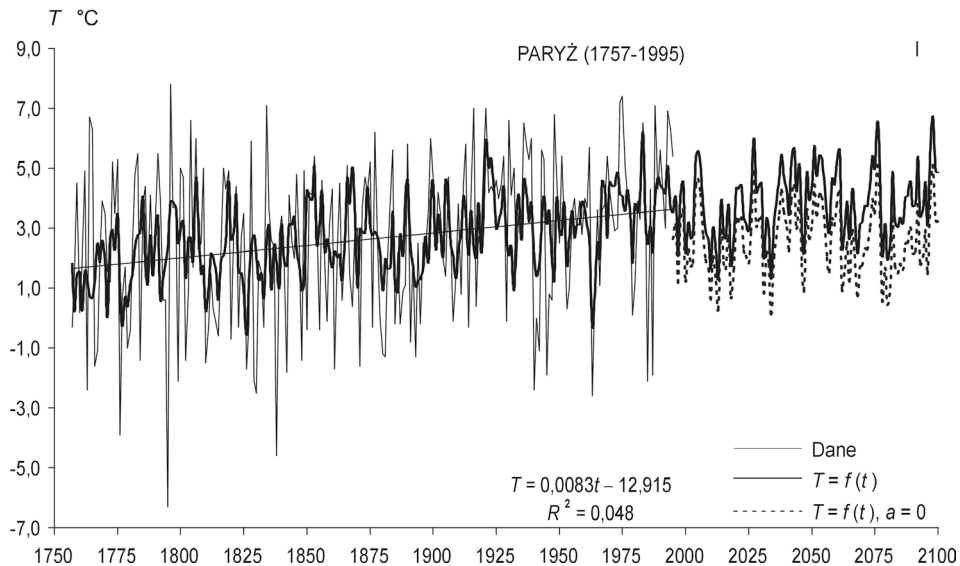


Rys. 4.61b. Zmiany temperatury powietrza w Oslo w latach 1816-1991

– prognoza w latach 1992-2100 – lipiec

Fig. 4.61b. Changes of air temperature in Oslo in the 1816-1991 years

– forecasts in years 1992-2100 – July

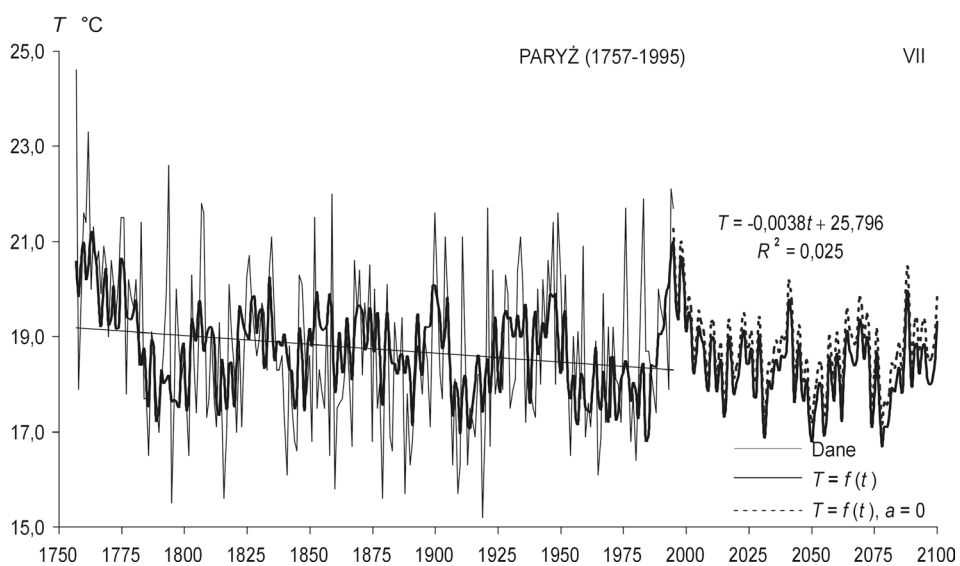


Rys. 4.62a. Zmiany temperatury powietrza w Paryżu w latach 1757-1995

– prognoza w latach 1996-2100 – styczeń

Fig. 4.62a. Changes of air temperature in Paris in the 1757-1995 years

– forecasts in years 1996-2100 – January

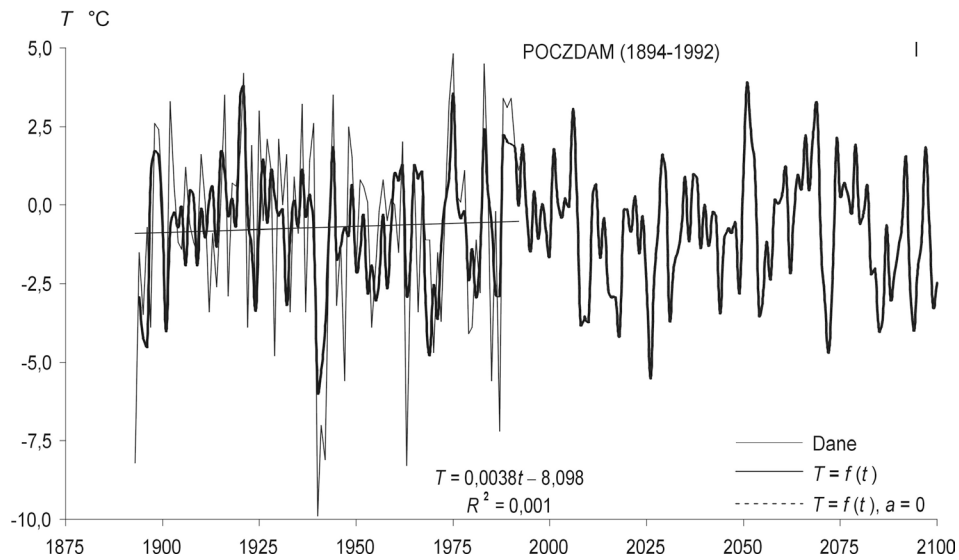


Rys. 4.62b. Zmiany temperatury powietrza w Paryżu w latach 1757-1995

– prognoza w latach 1996-2100 – lipiec

Fig. 4.62b. Changes of air temperature in Paris in the 1757-1995 years

– forecasts in years 1996-2100 – July

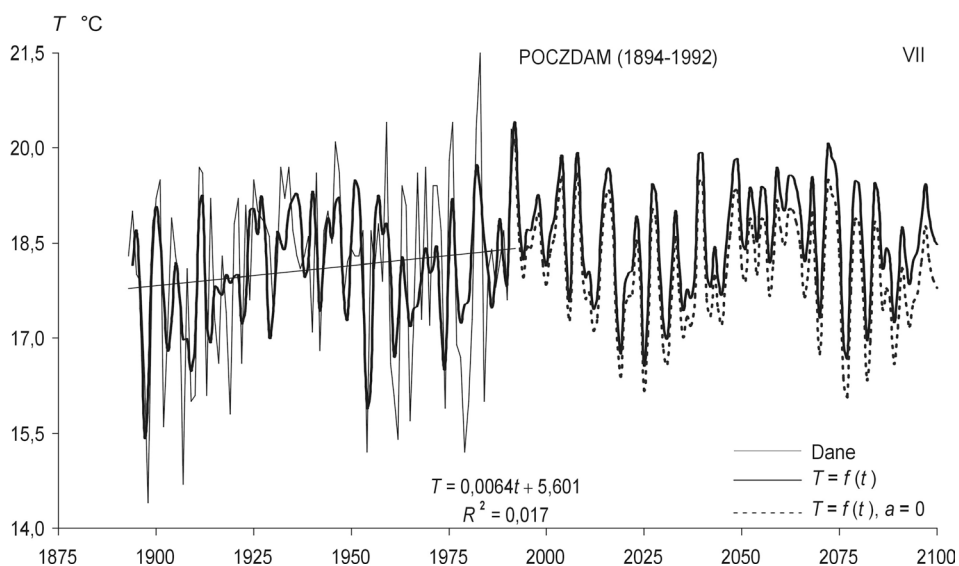


Rys. 4.63a. Zmiany temperatury powietrza w Poczdamie w latach 1894-1992

– prognoza w latach 1993-2100 – styczeń

Fig. 4.63a. Changes of air temperature in Potsdam in the 1894-1992 years

– forecasts in years 1993-2100 – January

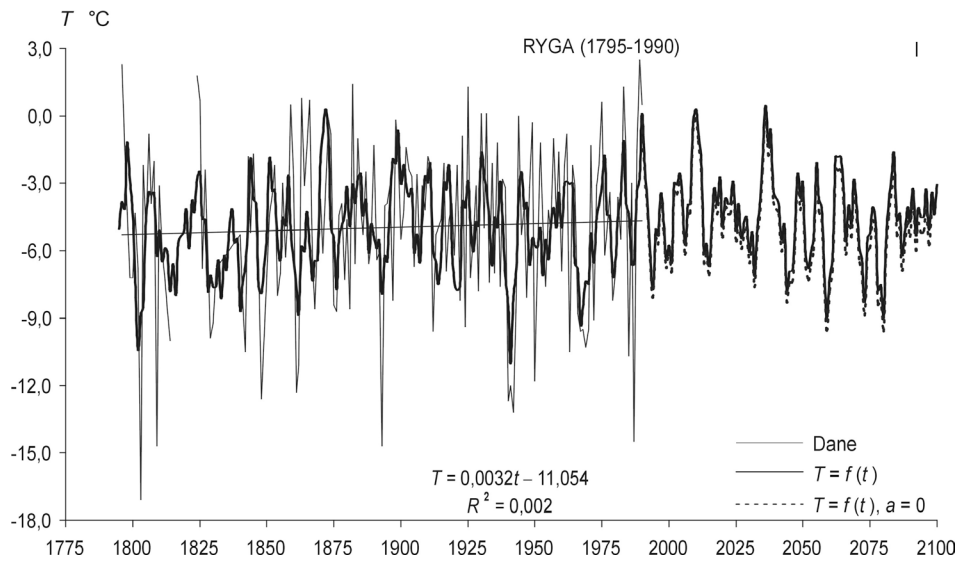


Rys. 4.63b. Zmiany temperatury powietrza w Poczdamie w latach 1894-1992

– prognoza w latach 1993-2100 – lipiec

Fig. 4.63b. Changes of air temperature in Potsdam in the 1894-1992 years

– forecasts in years 1993-2100 – July

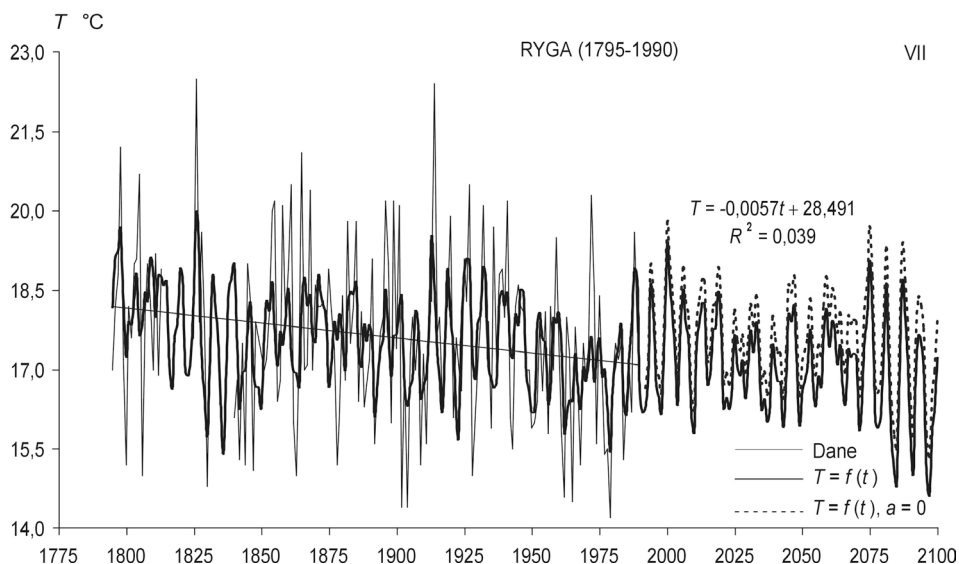


Rys. 4.64a. Zmiany temperatury powietrza w Rydze w latach 1795-1990

– prognoza w latach 1991-2100 – styczeń

Fig. 4.64a. Changes of air temperature in Ryga in the 1795-1990 years

– forecasts in years 1991-2100 – January

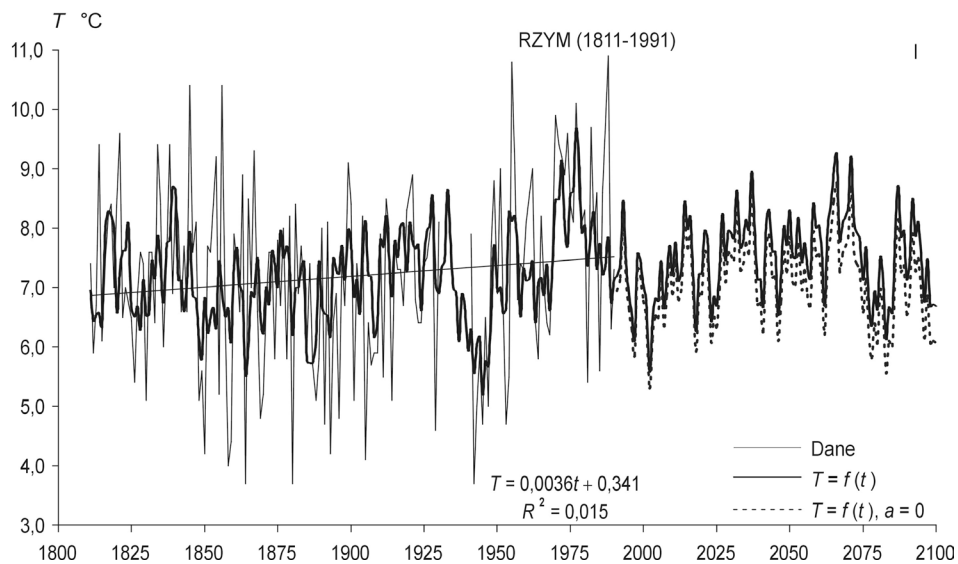


Rys. 4.64b. Zmiany temperatury powietrza w Rydze w latach 1795-1990

– prognoza w latach 1991-2100 – lipiec

Fig. 4.64b. Changes of air temperature in Ryga in the 1795-1990 years

– forecasts in years 1991-2100 – July

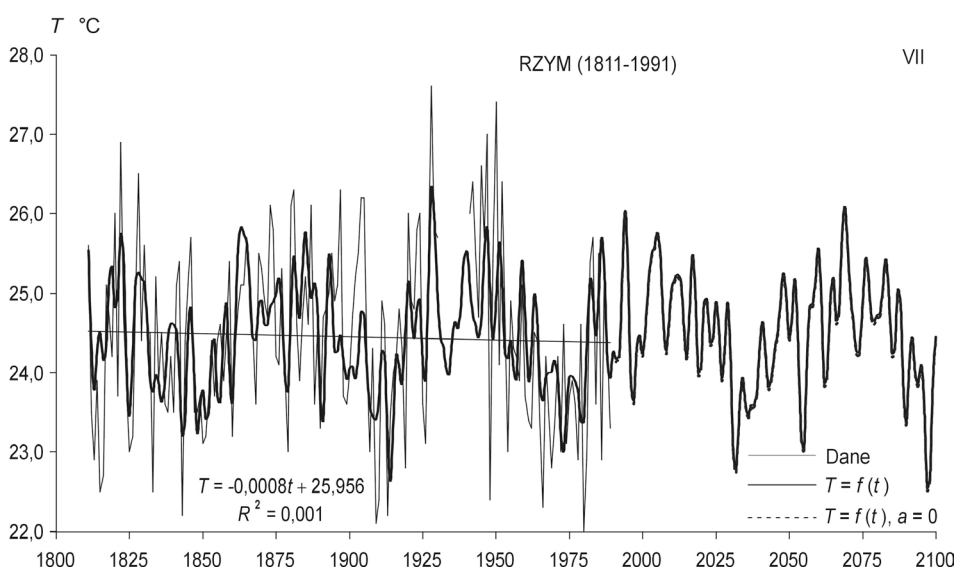


Rys. 4.65a. Zmiany temperatury powietrza w Rzymie w latach 1811-1991

– prognoza w latach 1992-2100 – styczeń

Fig. 4.65a. Changes of air temperature in Rome in the 1811-1991 years

– forecasts in years 1992-2100 – January

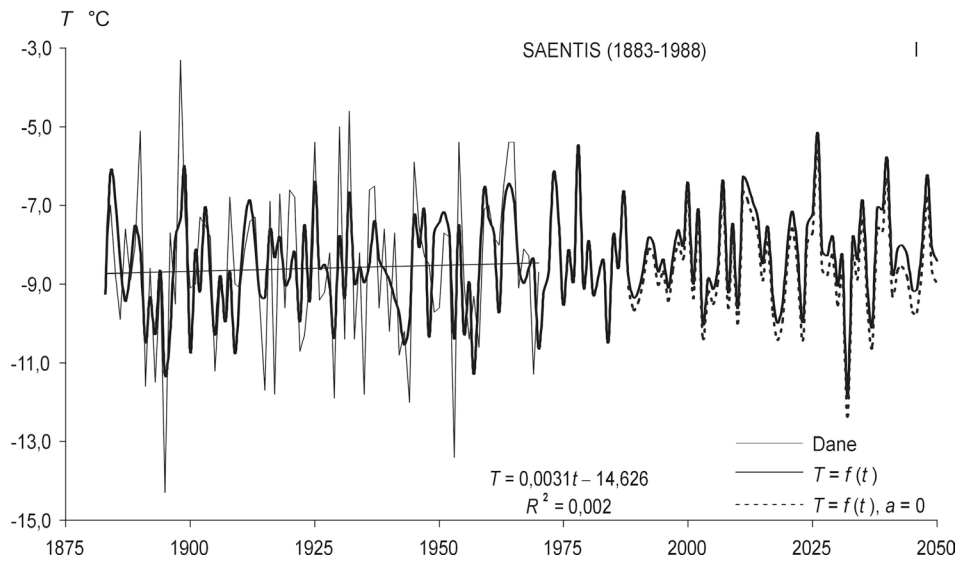


Rys. 4.65b. Zmiany temperatury powietrza w Rzymie w latach 1811-1991

– prognoza w latach 1992-2100 – lipiec

Fig. 4.65b. Changes of air temperature in Rome in the 1811-1991 years

– forecasts in years 1992-2100 – July

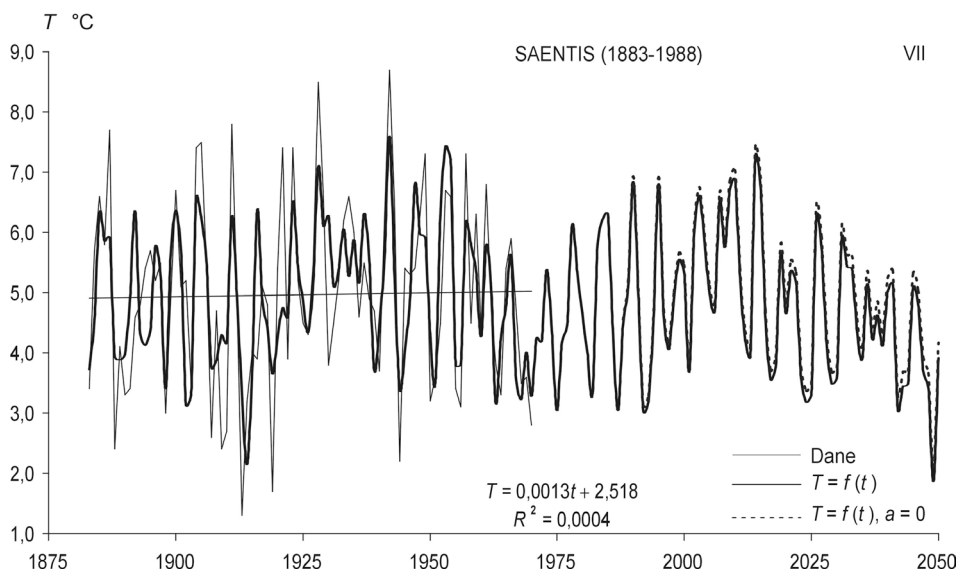


Rys. 4.66a. Zmiany temperatury powietrza w Saentis w latach 1883-1988

– prognoza w latach 1989-2100 – styczeń

Fig. 4.66a. Changes of air temperature in Saentis in the 1883-1988 years

– forecasts in years 1989-2100 – January

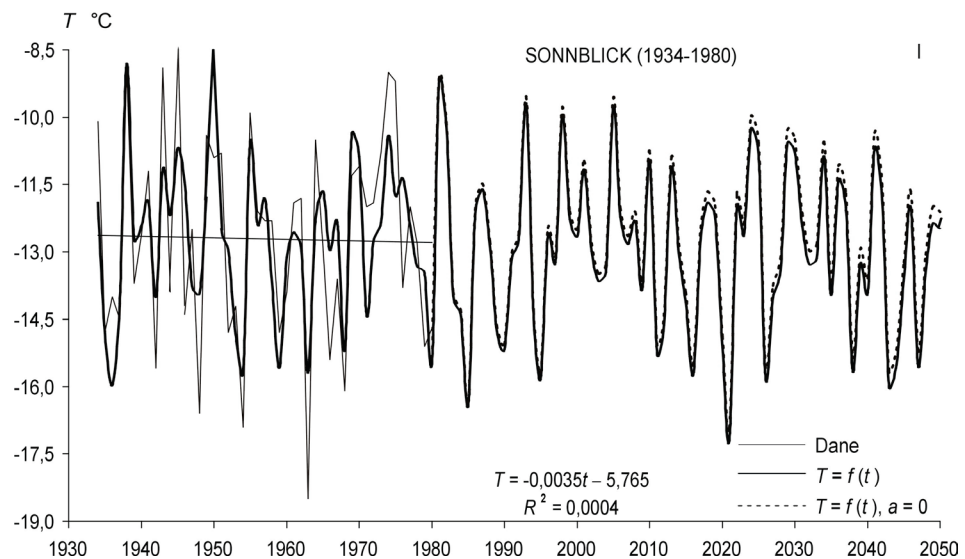


Rys. 4.66b. Zmiany temperatury powietrza w Saentis w latach 1883-1988

– prognoza w latach 1989-2100 – lipiec

Fig. 4.66b. Changes of air temperature in Saentis in the 1883-1988 years

– forecasts in years 1989-2100 – July

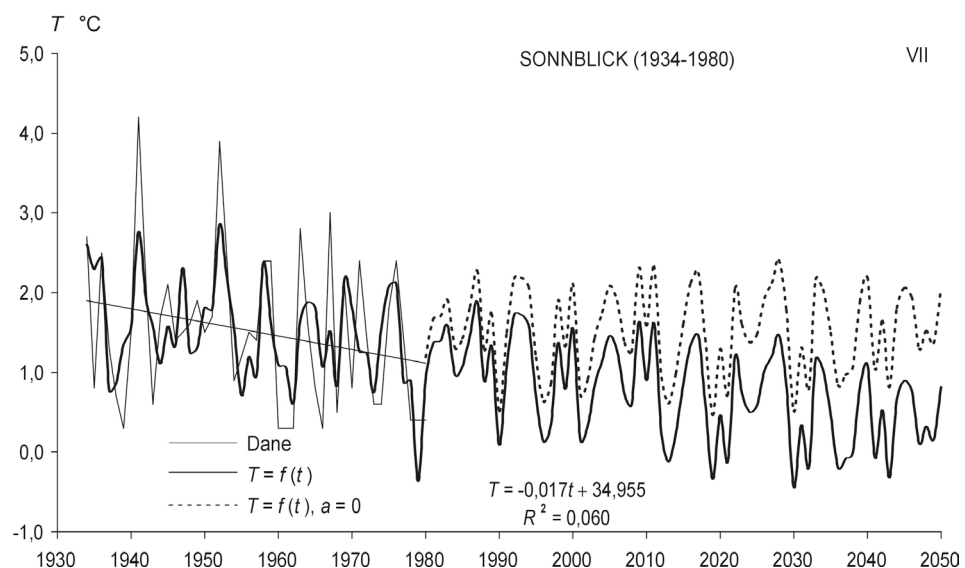


Rys. 4.67a. Zmiany temperatury powietrza w Sonnblick w latach 1934-1980

– prognoza w latach 1981-2100 – styczeń

Fig. 4.67a. Changes of air temperature in Sonnblick in the 1934-1980 years

– forecasts in years 1981-2100 – January

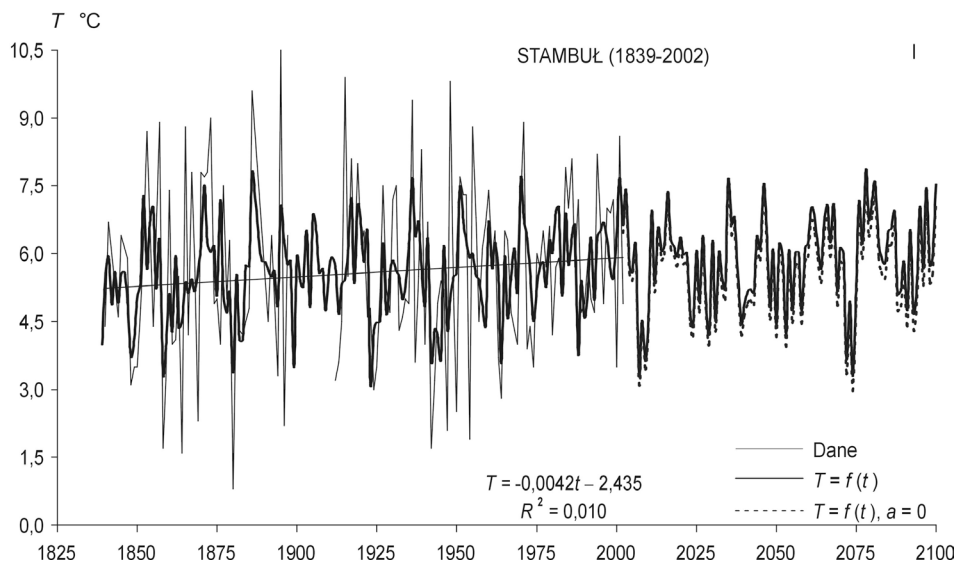


Rys. 4.67b. Zmiany temperatury powietrza w Sonnblick w latach 1934-1980

= prognoza w latach 1981-2100 – lipiec

Fig. 4.67b. Changes of air temperature in Sonnblick in the 1934-1980 years

– forecasts in years 1981-2100 – July

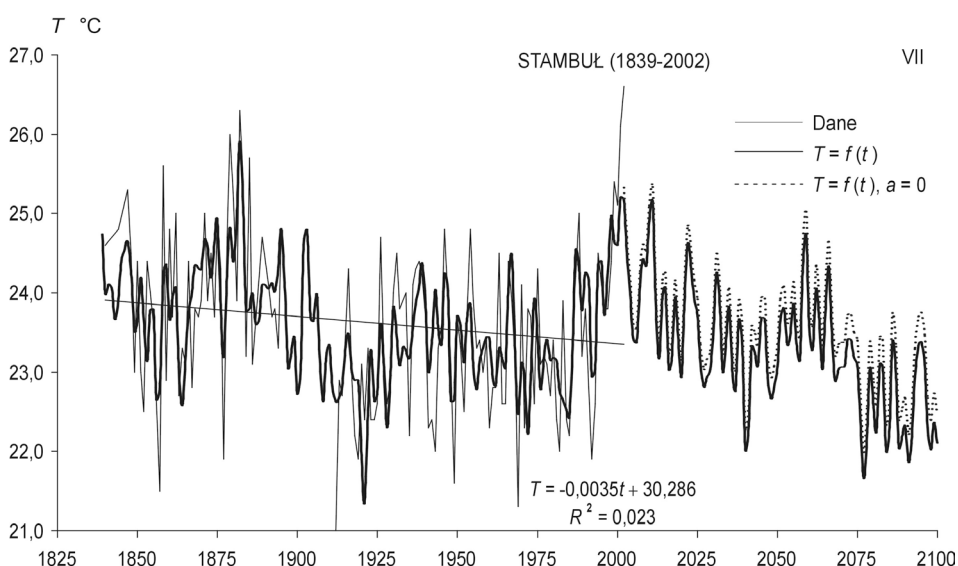


Rys. 4.68a. Zmiany temperatury powietrza w Stambule w latach 1839-2002

– prognoza w latach 2003-2100 – styczeń

Fig. 4.68a. Changes of air temperature in Istanbul in the 1839-2002 years

– forecasts in years 2003-2100 – January

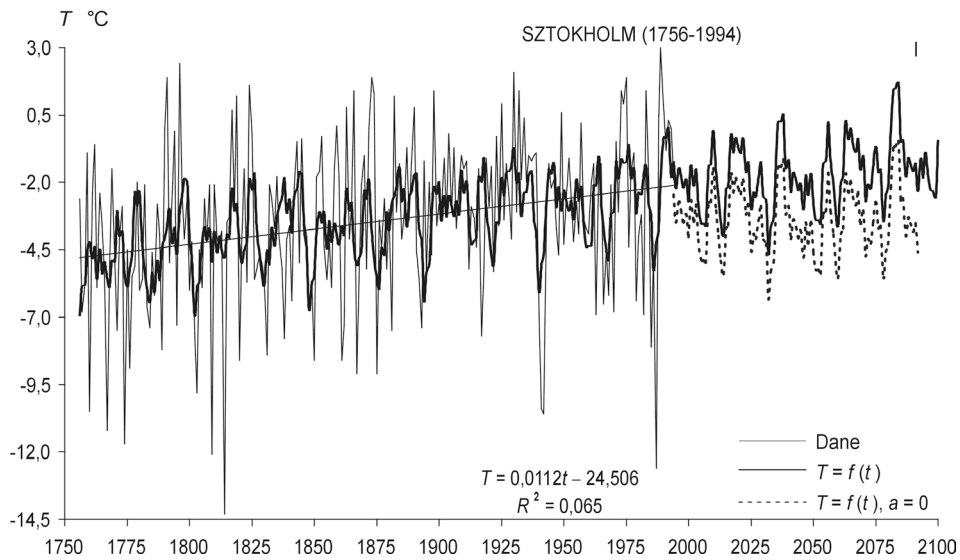


Rys. 4.68b. Zmiany temperatury powietrza w Stambule w latach 1839-2002

– prognoza w latach 2003-2100 – lipiec

Fig. 4.68b. Changes of air temperature in Istanbul in the 1839-2002 years

– forecasts in years 2003-2100 – July

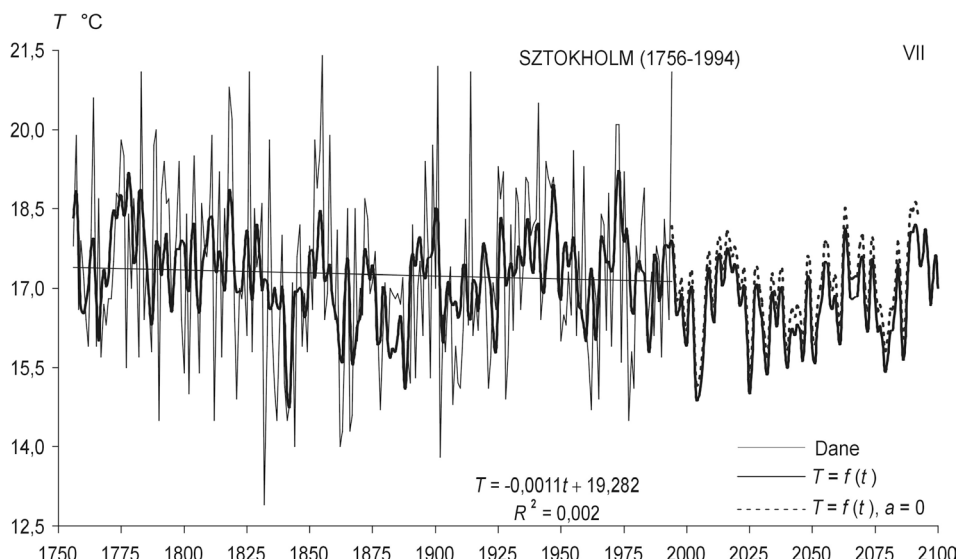


Rys. 4.69a. Zmiany temperatury powietrza w Sztokholmie w latach 1756-1994

– prognoza w latach 1995-2100 – styczeń

Fig. 4.69a. Changes of air temperature in Stockholm in the 1756-1994 years

– forecasts in years 1995-2100 – January

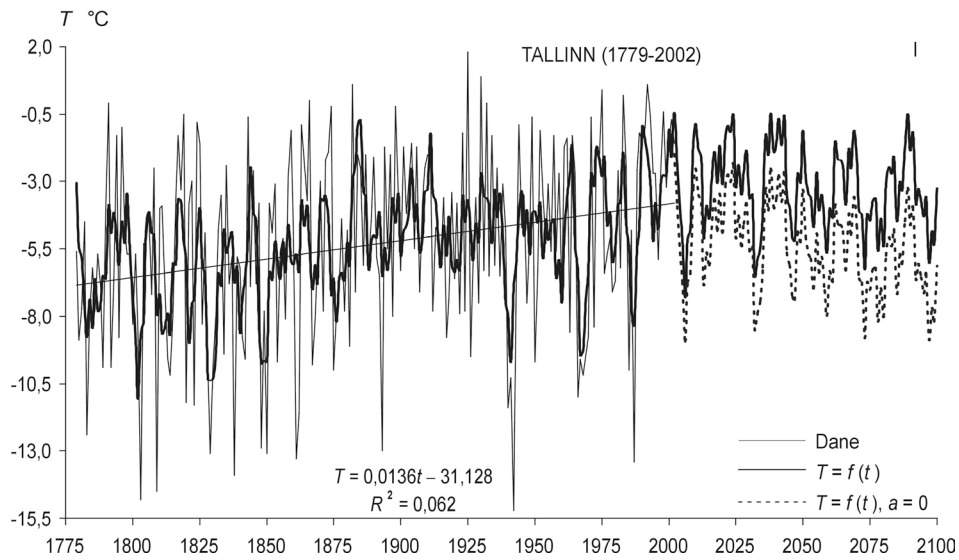


Rys. 4.69b. Zmiany temperatury powietrza w Sztokholmie w latach 1756-1994

– prognoza w latach 1995-2100 – lipiec

Fig. 4.69b. Changes of air temperature in Stockholm in the 1756-1994 years

– forecasts in years 1995-2100 – July

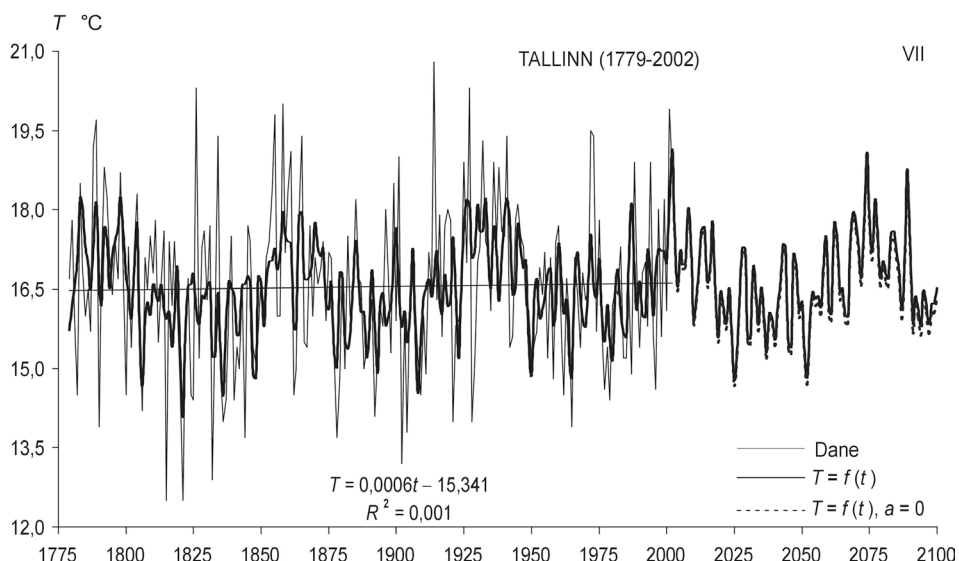


Rys. 4.70a. Zmiany temperatury powietrza w Tallinie w latach 1756-1994

– prognoza w latach 1995-2100 – styczeń

Fig. 4.70a. Changes of air temperature in Tallinn in the 1756-1994 years

– forecasts in years 1995-2100 – January

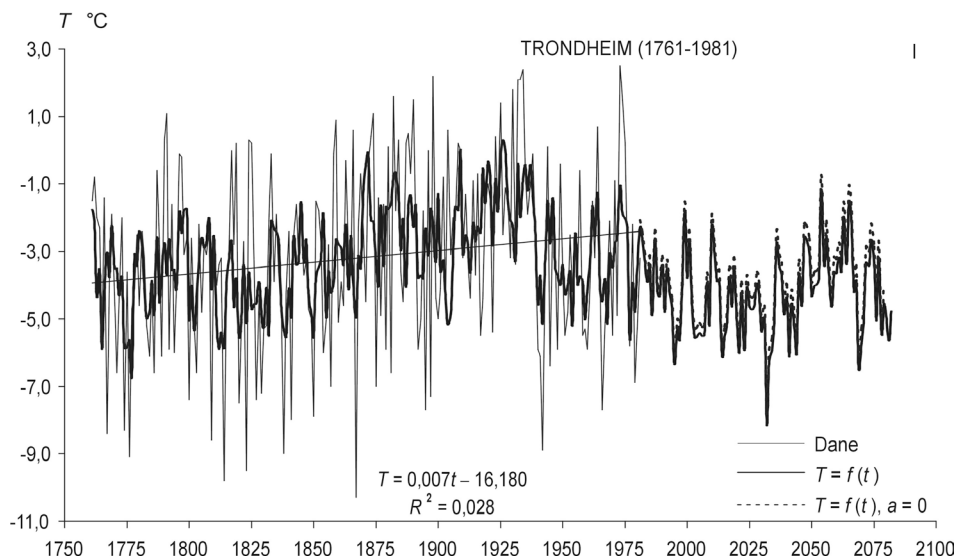


Rys. 4.70b. Zmiany temperatury powietrza w Tallinie w latach 1756-1994

– prognoza w latach 1995-2100 – lipiec

Fig. 4.70b. Changes of air temperature in Tallinn in the 1756-1994 years

– forecasts in years 1995-2100 – July

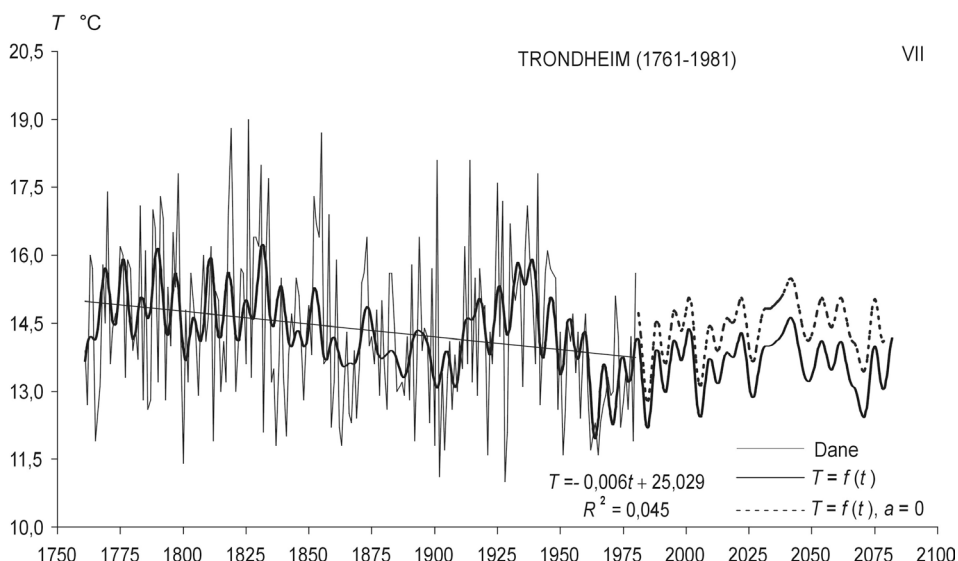


Rys. 4.71a. Zmiany temperatury powietrza w Trondheim w latach 1761-1981

– prognoza w latach 1982-2100 – styczeń

Fig. 4.71a. Changes of air temperature in Trondheim in the 1761-1981 years

– forecasts in years 1982-2100 – January

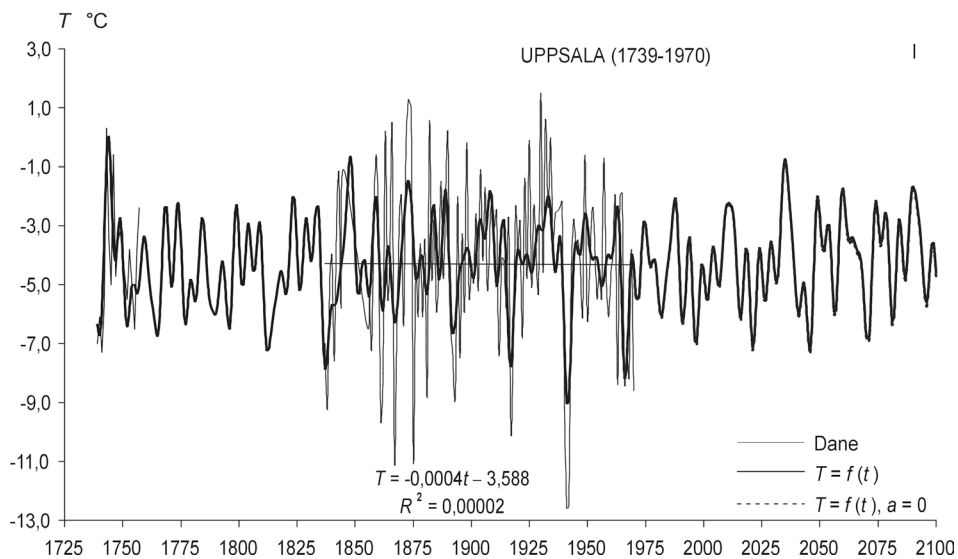


Rys. 4.71b. Zmiany temperatury powietrza w Trondheim w latach 1761-1981

– prognoza w latach 1982-2100 – lipiec

Fig. 4.71b. Changes of air temperature in Trondheim in the 1761-1981 years

– forecasts in years 1982-2100 – July

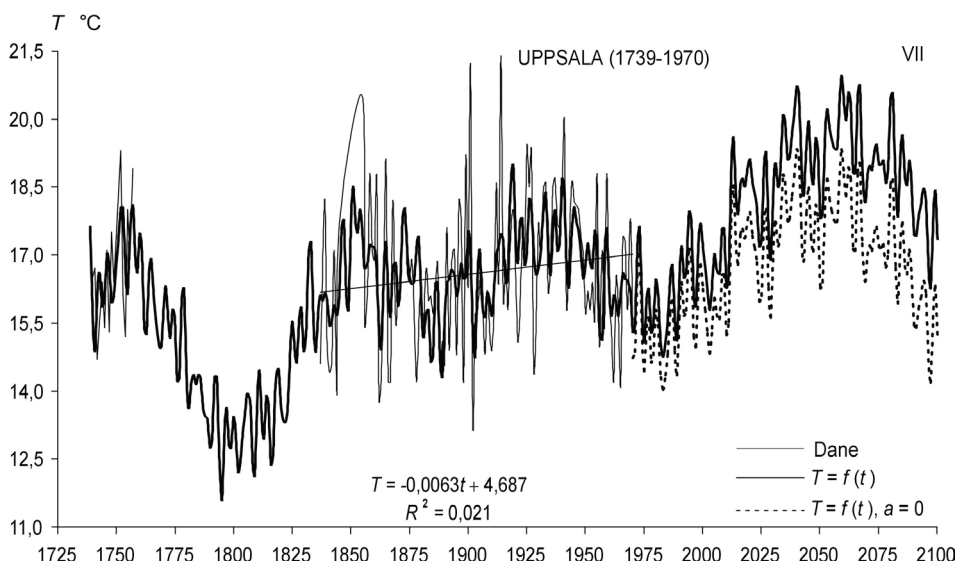


Rys. 4.72a. Zmiany temperatury powietrza w Uppsali w latach 1739-1970

– prognoza w latach 1971-2100 – styczeń

Fig. 4.72a. Changes of air temperature in Uppsala in the 1739-1970 years

– forecasts in years 1970-2100 – January

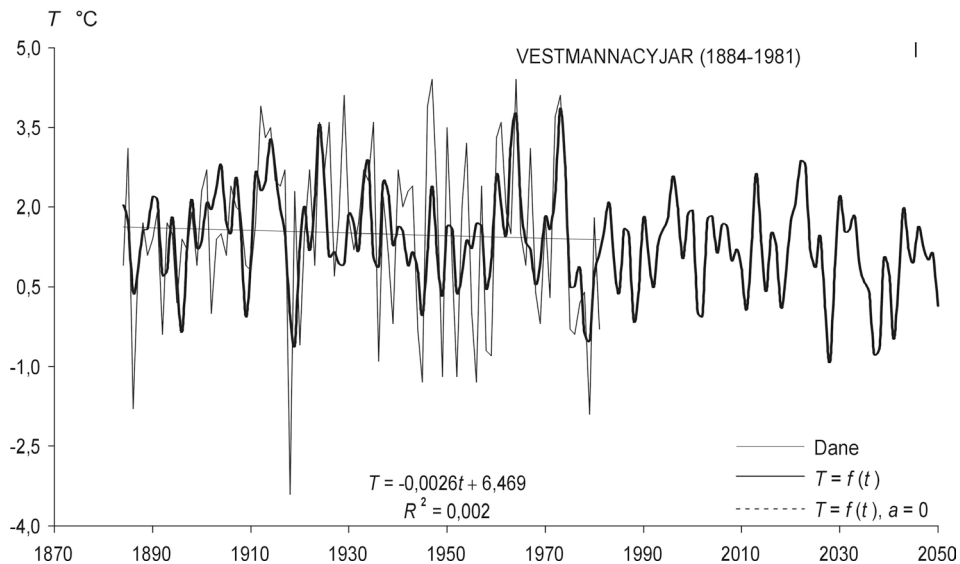


Rys. 4.72b. Zmiany temperatury powietrza w Uppsali w latach 1739-1970

– prognoza w latach 1971-2100 – lipiec

Fig. 4.72b. Changes of air temperature in Uppsala in the 1739-1970 years

– forecasts in years 1970-2100 – July

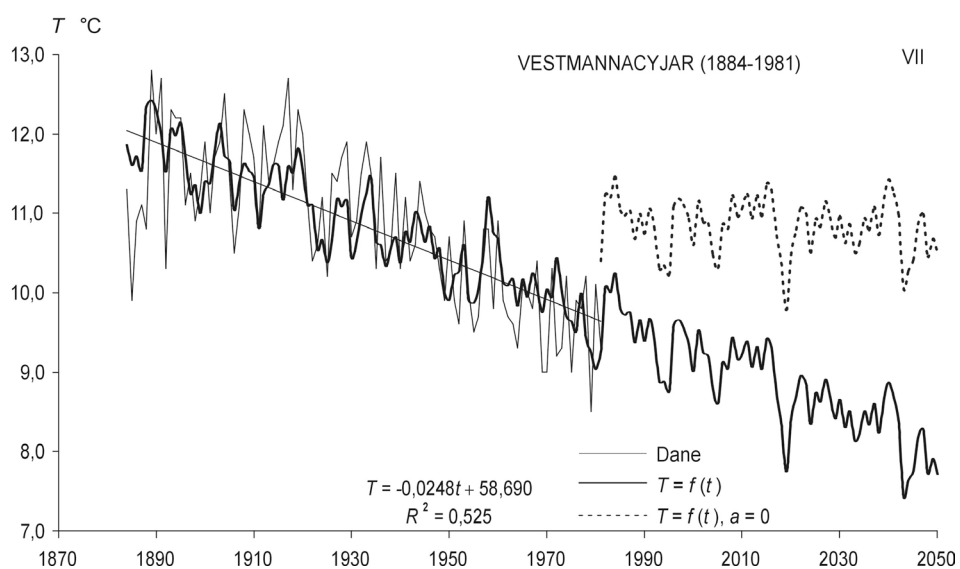


Rys. 4.73a. Zmiany temperatury powietrza w Vestmannacyjar w latach 1884-1981

– prognoza w latach 1982-2100 – styczeń

Fig. 4.73a. Changes of air temperature in Vestmannacyjar in the 1884-1981 years

– forecasts in years 1982-2100 – January

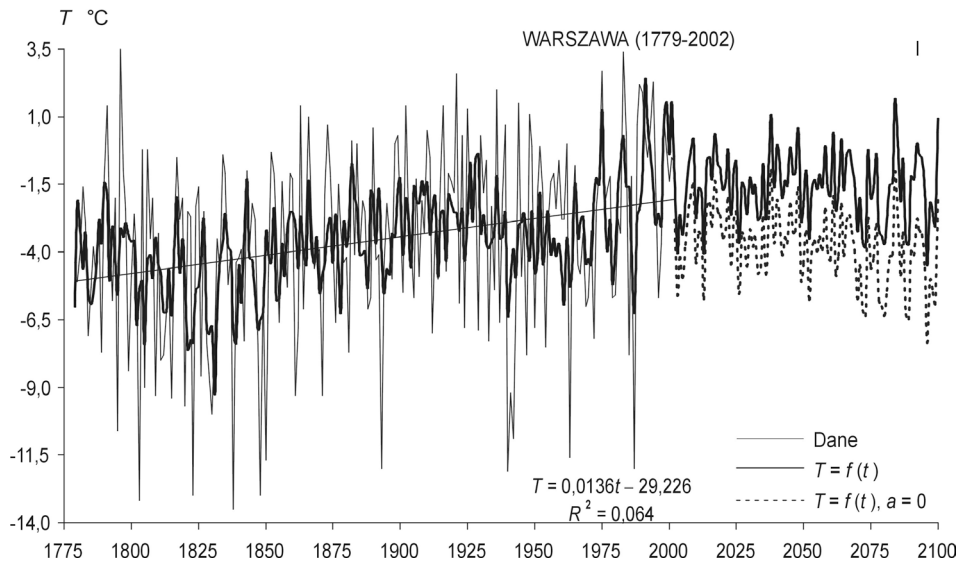


Rys. 4.73b. Zmiany temperatury powietrza w Vestmannacyjar w latach 1884-1981

– prognoza w latach 1982-2100 – lipiec

Fig. 4.73b. Changes of air temperature in Vestmannacyjar in the 1884-1981 years

– forecasts in years 1982-2100 – July

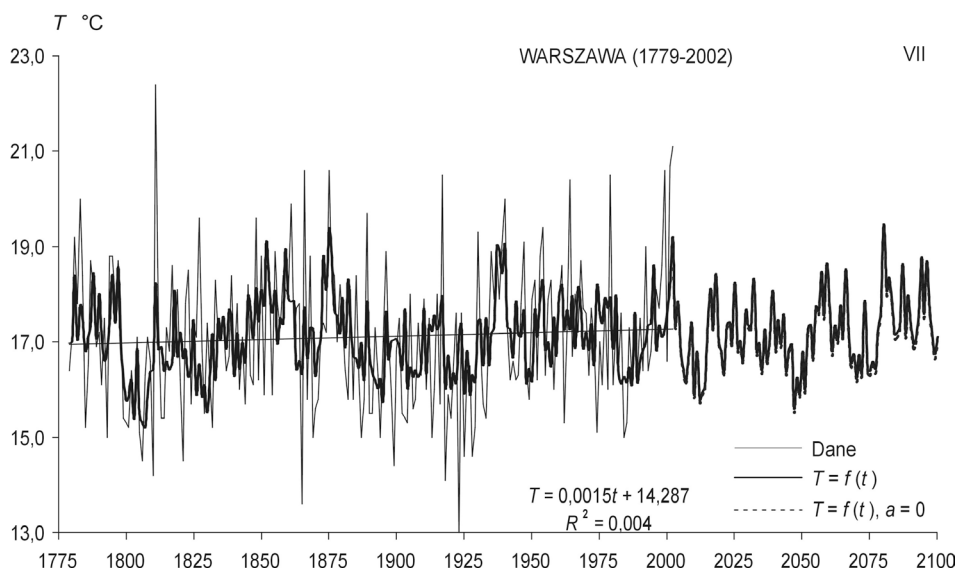


Rys. 4.74a. Zmiany temperatury powietrza w Warszawie w latach 1779-2002

– prognoza w latach 2003-2100 – styczeń

Fig. 4.74a. Changes of air temperature in Warsaw in the 1779-2002 years

– forecasts in years 2003-2100 – January

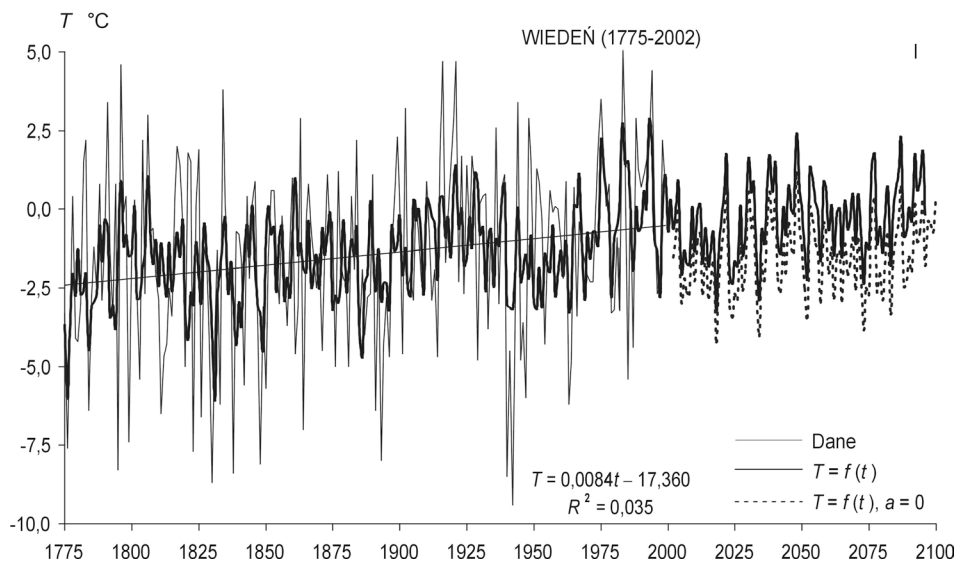


Rys. 4.74b. Zmiany temperatury powietrza w Warszawie w latach 1779-2002

– prognoza w latach 2003-2100 – lipiec

Fig. 4.74b. Changes of air temperature in Warsaw in the 1779-2002 years

– forecasts in years 2003-2100 – July

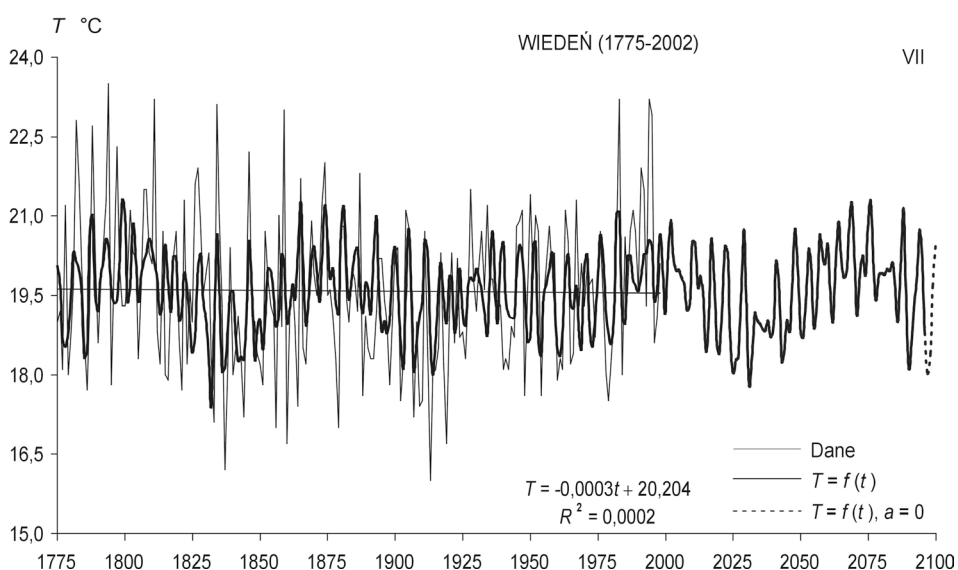


Rys. 4.75a. Zmiany temperatury powietrza w Wiedniu w latach 1775-2002

– prognoza w latach 2003-2100 – styczeń

Fig. 4.75a. Changes of air temperature in Vienna in the 1775-2002 years

– forecasts in years 2003-2100 – January

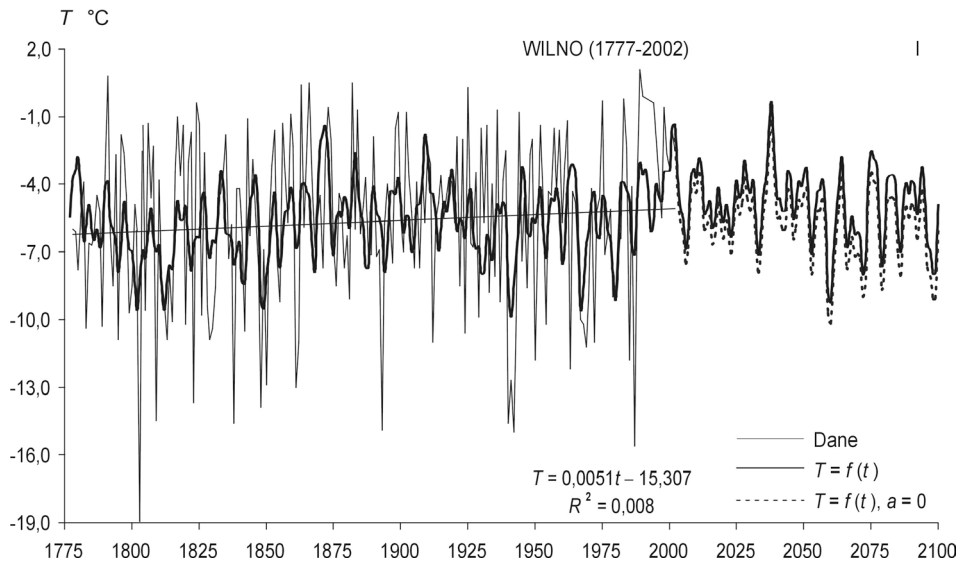


Rys. 4.75b. Zmiany temperatury powietrza w Wiedniu w latach 1775-2002

– prognoza w latach 2003-2100 – lipiec

Fig. 4.75b. Changes of air temperature in Vienna in the 1775-2002 years

– forecasts in years 2003-2100 – July

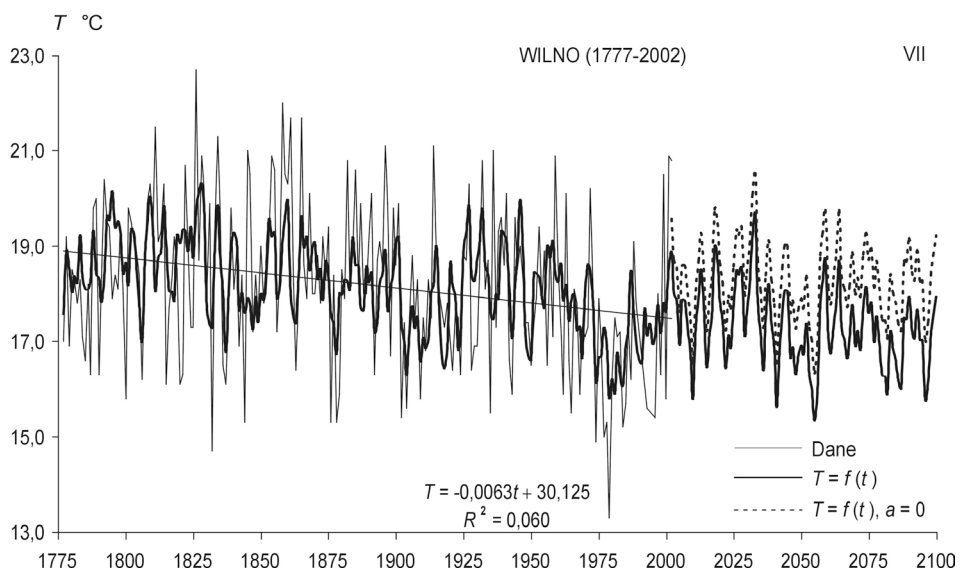


Rys. 4.76a. Zmiany temperatury powietrza w Wilnie w latach 1777-2002

– prognoza w latach 2003-2100 – styczeń

Fig. 4.76a. Changes of air temperature in Vilnius in the 1777-2002 years

– forecasts in years 2003-2100 – January

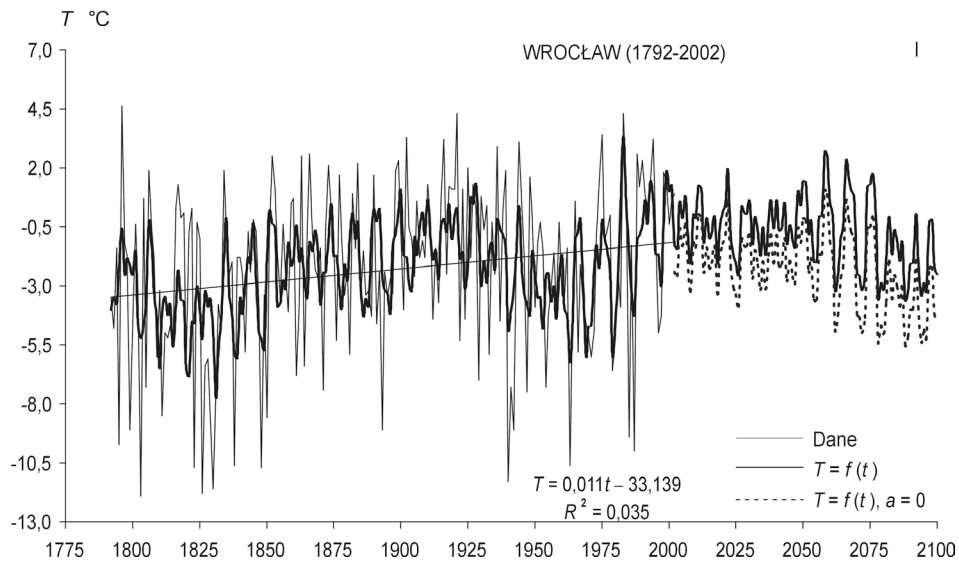


Rys. 4.76b. Zmiany temperatury powietrza w Wilnie w latach 1777-2002

– prognoza w latach 2003-2100 – lipiec

Fig. 4.76b. Changes of air temperature in Vilnius in the 1777-2002 years

– forecasts in years 2003-2100 – July

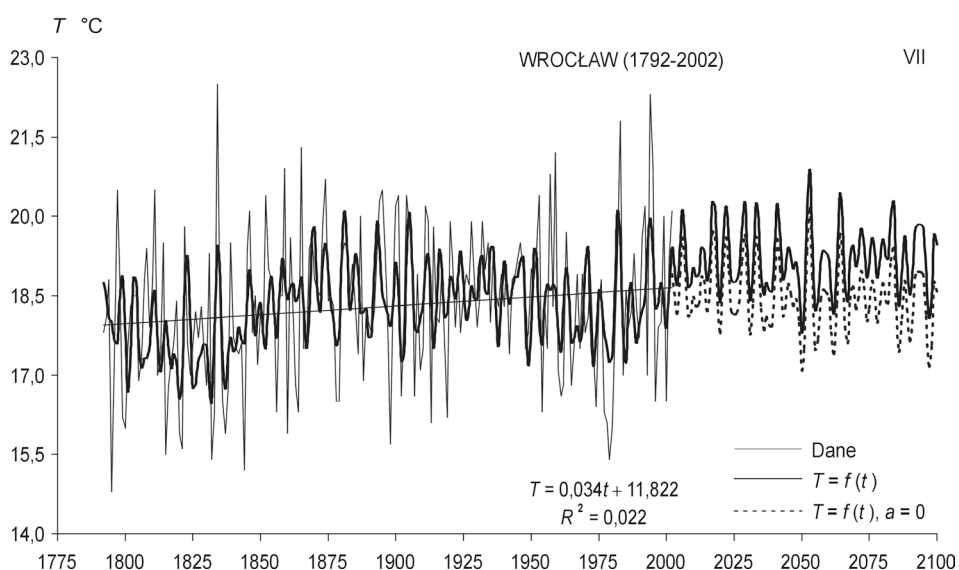


Rys. 4.77a. Zmiany temperatury powietrza we Wrocławiu w latach 1792-2002

– prognoza w latach 2003-2100 – styczeń

Fig. 4.77a. Changes of air temperature in Wrocław in the 1792-2002 years

– forecasts in years 2003-2100 – January



Rys. 4.77b. Zmiany temperatury powietrza we Wrocławiu w latach 1792-2002

– prognoza w latach 2003-2100 – lipiec

Fig. 4.77b. Changes of air temperature in Wrocław in the 1792-2002 years

– forecasts in years 2003-2100 – July

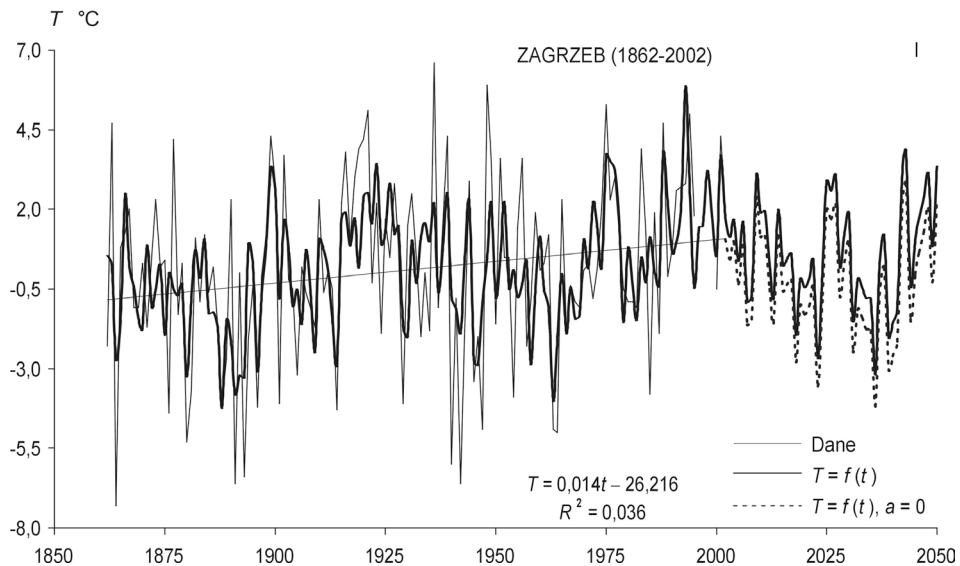


Fig. 4.78a. Changes of air temperature in Zagreb in the 1862-2002 years

– forecasts in years 2003-2100 – January

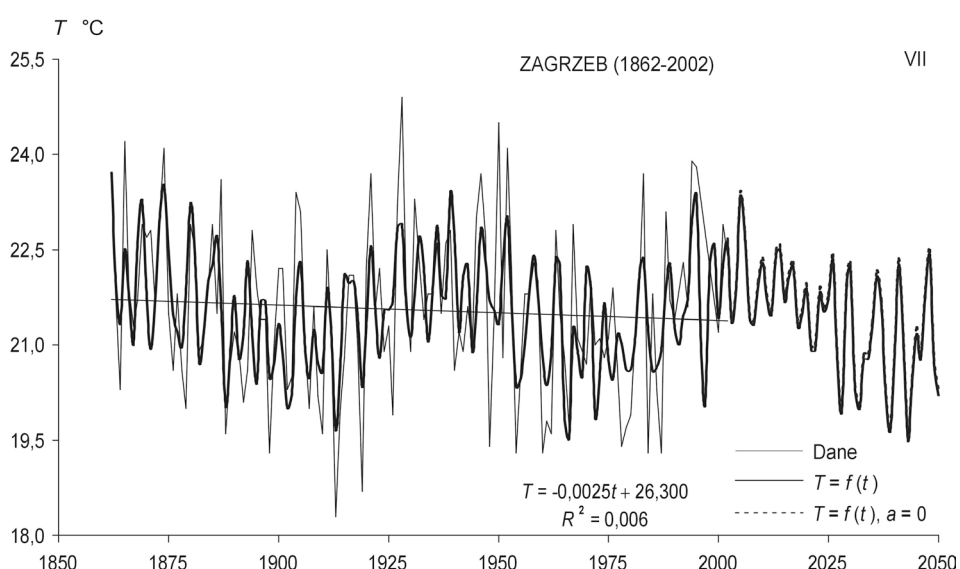
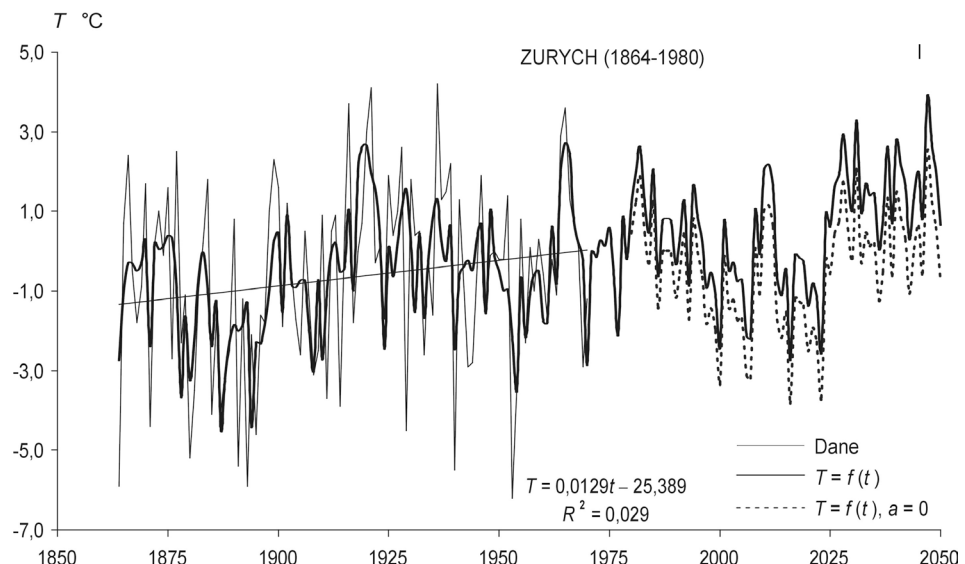


Fig. 4.78b. Changes of air temperature in Zagreb in the 1862-2002 years

– forecasts in years 2003-2100 – July

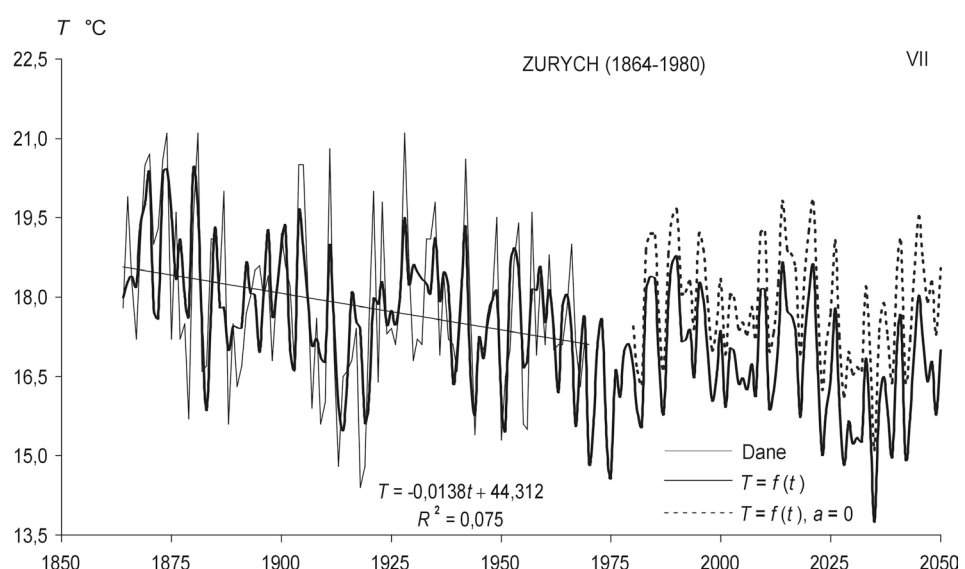


Rys. 4.79a. Zmiany temperatury powietrza w Zurychu w latach 1864-1980

– prognoza w latach 1981-2100 – styczeń

Fig. 4.79a. Changes of air temperature in Zurich in the 1862-2002 years

– forecasts in years 2003-2100 – January



Rys. 4.79b. Zmiany temperatury powietrza w Zurychu w latach 1864-1980

– prognoza w latach 1981-2100 – lipiec

Fig. 4.79b. Changes of air temperature in Zurich in the 1862-2002 years

– forecasts in years 2003-2100 – July

V. CECHY OCEANICZNE I KONTYNENTALNE KLIMATU EUROPY

W Atlasie określono także najważniejsze cechy termiczne klimatu Europy, wynikające z jej położenia w umiarkowanych szerokościach geograficznych – w sąsiedztwie Oceanu Atlantyckiego i strefowego ukształtowania jej powierzchni.

1. Profile temperatury powietrza (południkowy, równoleżnikowy, hipsometryczny)

Pole temperatury powietrza na obszarze o współrzędnych geograficznych: $15^{\circ}\text{N} < \varphi < 85^{\circ}\text{N}$, $15^{\circ}\text{W} < \lambda < 180^{\circ}\text{E}$ opisano modelami – wielomianami regresji liniowej i nieliniowej $T = f(\varphi, \lambda, H)$ względem trzech współrzędnych: szerokości geograficznej φ , długości geograficznej λ i wysokości nad poziomem morza H . Symulują one zarówno zmienność strefową temperatury powietrza (uwarunkowaną dopływem promieniowania słonecznego) jak też oddziaływanie Oceanu Atlantyckiego oraz wpływ wysokości nad poziomem morza. Badania przeprowadzono na podstawie średnich miesięcznych wartości temperatury powietrza ze stacji meteorologicznych z lat 1961-1990 (rys. 5.1).

Dobrym narzędziem badań ogólnych cech klimatu okazało się równanie hiperplaszczyzny regresji (wielomian pierwszego stopnia):

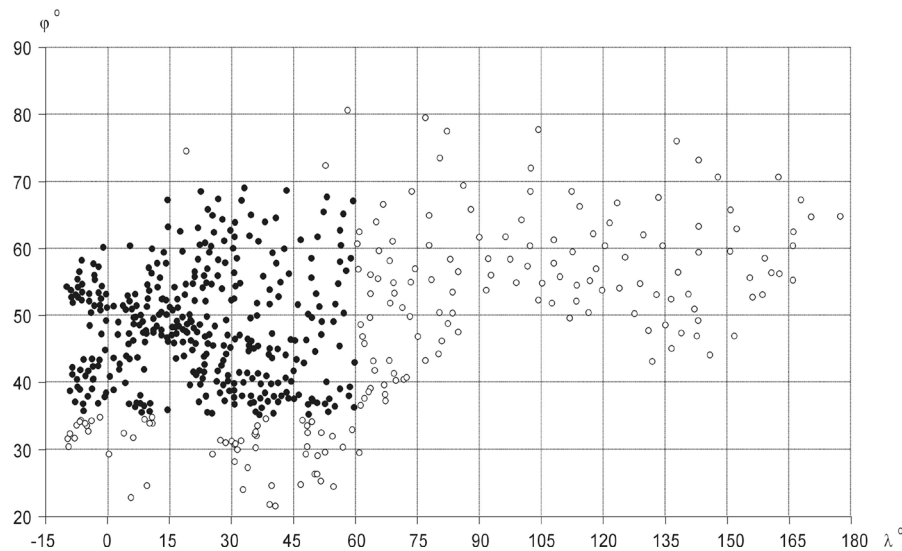
$$T = a_0 + a_1\varphi + a_2\lambda + a_3H$$

Współczynniki regresji cząstkowej a_1 , a_2 , a_3 – to współrzędne (poziome a_1 , a_2 i pionowa a_3) gradientu średniego pola temperatury powietrza:

$$\frac{\partial T}{\partial \varphi} = a_1 \text{ – gradient południkowy, w } ^{\circ}\text{C}/1^{\circ}\varphi,$$

$$\frac{\partial T}{\partial \lambda} = a_2 \text{ – gradient równoleżnikowy, w } ^{\circ}\text{C}/1^{\circ}\lambda,$$

$$\frac{\partial T}{\partial H} = a_3 \text{ – gradient hipsometryczny, w } ^{\circ}\text{C}/100 \text{ m.}$$



Rys. 5.1. Rozmieszczenie (φ, λ) stacji meteorologicznych
Fig 5.1. Location (φ, λ) of meteorological stations

Gradient południkowy (a_1) wskazuje o ile zmienia się temperatura powietrza wzdłuż południka, gdy przesuniemy się ku północy o $1^\circ\varphi$. Gradient równoleżnikowy (a_2) wyraża przyrost temperatury powietrza ku wschodowi, gdy odległość (λ) od Oceanu Atlantyckiego wzrośnie o $\Delta\lambda = 1^\circ$. Natomiast gradient hipsometryczny (a_3) jest miarą zmian temperatury powietrza ze wzrostem wysokości n.p.m. o 100 m.

Wartości gradientów a_1, a_2, a_3 w poszczególnych miesiącach, porach roku i roku podano w tab. 5.1.

Zmiany południkowe $a_1 = \frac{\partial T}{\partial \varphi} < 0$ temperatury powietrza spełniają zasadę strefowości klimatu Ziemi w ciągu całego roku. Średni gradient południkowy $\frac{\partial T}{\partial \varphi}$ na obszarze

Europy wynosi $-0,5^\circ\text{C}/1^\circ\varphi$. To znaczy, że temperatura powietrza spada ze wzrostem szerokości geograficznej w Europie – średnio o $0,5^\circ\text{C}/1^\circ\varphi$.

Gradient równoleżnikowy $a_2 = \frac{\partial T}{\partial \lambda}$ temperatury powietrza w Europie charakteryzuje jej małą zmienność z zachodu na wschód (wzrost lub spadek). Natomiast gradient hipsometryczny $\frac{\partial T}{\partial H}$ wyraża spadek temperatury powietrza ze wzrostem wysokości nad poziomem morza – średniej rocznej o $0,5-0,6^\circ\text{C}/100 \text{ m}$.

Tab. 5.1. Gradienty: południkowy (a_1), równoleżnikowy (a_2) i hipsometryczny (a_3) temperatury powietrza w latach 1961-1990

Tab. 5.1. The gradients: longitudinal (a_1), latitudinal (a_2) and hypsometric (a_3) of air temperature in years 1961-1990

$[a_1, a_2, a_3]$	$a_1 [^{\circ}\text{C}/1^{\circ}\varphi]$	$a_2 [^{\circ}\text{C}/1^{\circ}\lambda]$	$a_3 [^{\circ}\text{C}/100 \text{ m}]$	a_0	$R^2 [\%]$	R
Styczeń	-0,794	-0,148	-0,610	42,0	87,7	0,937
Luty	-0,809	-0,137	-0,580	43,6	89,2	0,945
Marzec	-0,771	-0,095	-0,512	44,2	91,7	0,958
Kwiecień	-0,711	-0,049	-0,476	45,2	90,2	0,950
Maj	-0,612	-0,019	-0,433	44,8	83,3	0,912
Czerwiec	-0,543	0,006	-0,379	44,7	74,9	0,865
Lipiec	-0,528	0,017	-0,335	45,9	74,7	0,864
Sierpień	-0,573	0,007	-0,354	47,4	84,4	0,919
Wrzesień	-0,627	-0,014	-0,394	46,9	91,8	0,958
Październik	-0,663	-0,039	-0,422	43,8	82,2	0,906
Listopad	-0,809	-0,087	-0,559	46,5	86,8	0,932
Grudzień	-0,773	-0,141	-0,639	43,1	86,5	0,930
Wiosna	-0,698	-0,054	-0,474	44,7	91,5	0,956
Lato	-0,547	0,010	-0,356	46,0	79,1	0,889
Jesień	-0,676	-0,057	-0,450	45,1	91,6	0,957
Zima	-0,792	-0,142	-0,610	42,9	88,2	0,939
Rok	-0,684	-0,058	-0,474	45,6	91,4	0,956

Należy podkreślić, że w ten sposób wyznaczone gradienty $\frac{\partial T}{\partial \varphi}$, $\frac{\partial T}{\partial \lambda}$, $\frac{\partial T}{\partial H}$ na podstawie równania hiperpłaszczyzny regresji wyodrębniają zmienność poziomą i pionową temperatury powietrza $\left(\frac{\partial T}{\partial H}\right)$.

O zależności temperatury powietrza od szerokości geograficznej (φ) i odległości od Oceanu Atlantyckiego (λ) i wysokości n.p.m. w Europie informują wykresy (profile): $T(\varphi)$, $T(\lambda)$, $T(H)$ na rys. 5.12-5.28.

Profil południkowy temperatury powietrza opisany wielomianem regresji $T(\varphi)$ wskazuje na jej zmiany południkowe (w kierunku południe-północ) niezależnie od długości geograficznej i wysokości nad poziomem morza. Profil równoleżnikowy temperatury powietrza w Europie $T(\lambda)$ charakteryzuje jej zmienność z zachodu na wschód.

Gradienty równoleżnikowe $\frac{\partial T}{\partial \lambda}$ temperatury powietrza zmieniają znak w ciągu roku.

Wynika to z ocieplającego wpływu Oceanu Atlantyckiego zimą, a ochładzającego latem.

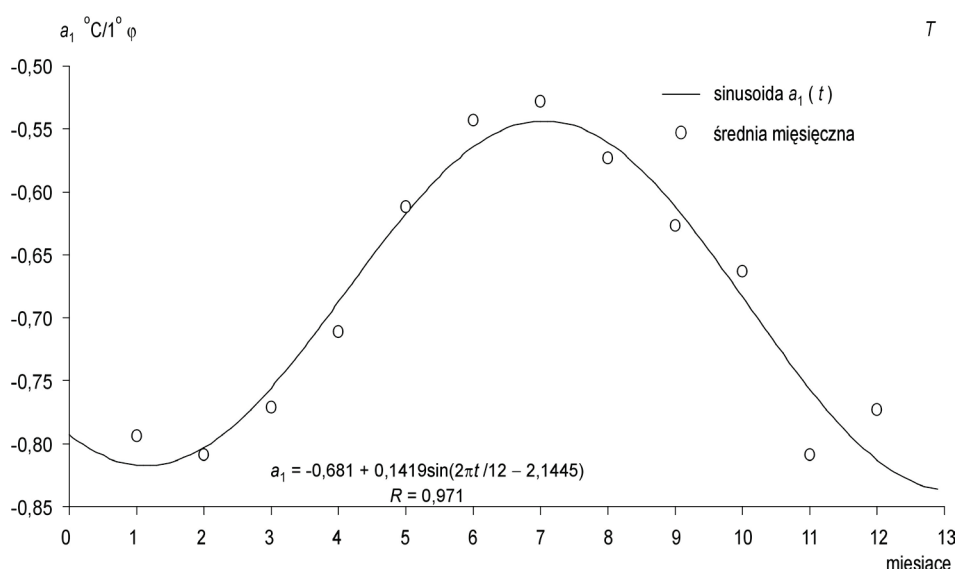
Gradienty południkowe, równoleżnikowe i hipsometryczne temperatury powietrza – średnie na obszarze Europy w latach 1931 -1960 i 1961-1990 wynoszą:

Gradienty	1931-1960			1961-1990		
	a_1	a_2	a_3	a_1	a_2	a_3
Półrocze chłodne	-0,50	-0,18	-0,58	-0,77	-0,11	-0,55
Półrocze ciepłe	-0,50	0,05	-0,58	-0,60	0,01	-0,40
Rok	-0,50	0,05	-0,58	-0,68	-0,06	-0,47

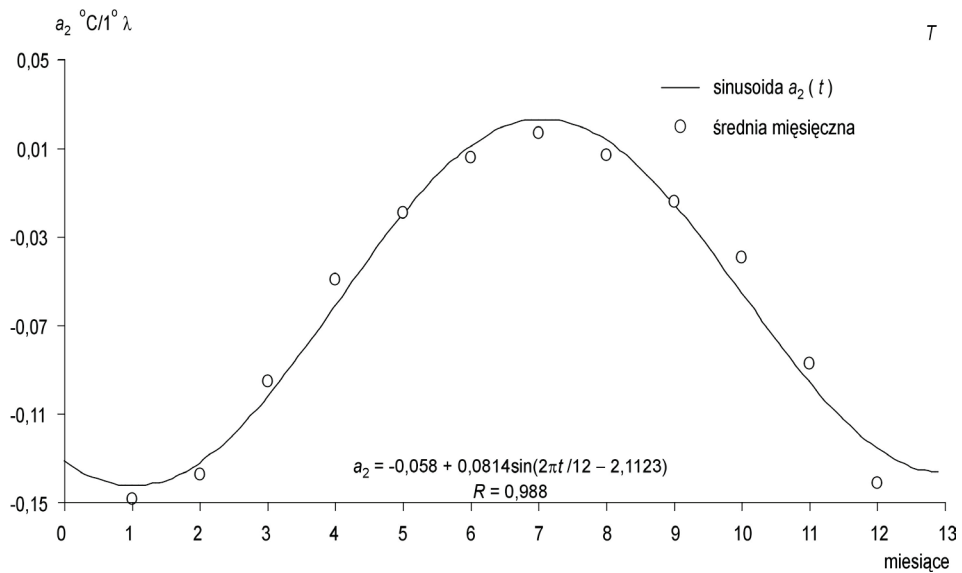
Te średnie gradienty temperatury powietrza na badanym obszarze – określone równaniem hiperpłaszczyzny regresji: $a_1 = -0,5^{\circ}\text{C}/1^{\circ}\varphi$, $a_3 = -0,5 \div -0,6^{\circ}\text{C}/1^{\circ}/100\text{m}$ nie różnią się od znanych z literatury. Gradient hipsometryczny $\frac{\partial T}{\partial H} = a_3 = -0,6^{\circ}\text{C}/1^{\circ}/100\text{m}$ jest zbliżony do gradientu wilgotnoadiabatycznego – określonego na podstawie sondaży aerologicznych w przyziemnej warstwie atmosfery. Trzeba zauważyć, że gradient południkowy $\frac{\partial T}{\partial \varphi} = -0,5^{\circ}\text{C}/1^{\circ}\varphi$, nie odbiega też od średniego na półkuli północnej $0,5-0,6^{\circ}$ (Chromow 1969).

Równania hiperpłaszczyzny regresji temperatury powietrza T względem trzech współrzędnych φ , λ , H (określające gradienty a_1 , a_2 , a_3) cechują się dużymi współczynnikami korelacji wielokrotnej R . Współczynniki determinacji R^2 wyjaśniają duży procent wariancji temperatury powietrza: wiosna – 91,5 %, lato 79,1%, jesień 91,6%, zima 88,2%, rok 91,4%.

Zmiany roczne gradientów a_1 , a_2 , a_3 opisano równaniami sinusoid regresji o okresie $\Theta = 12$ (rys. 5.2-5.4).

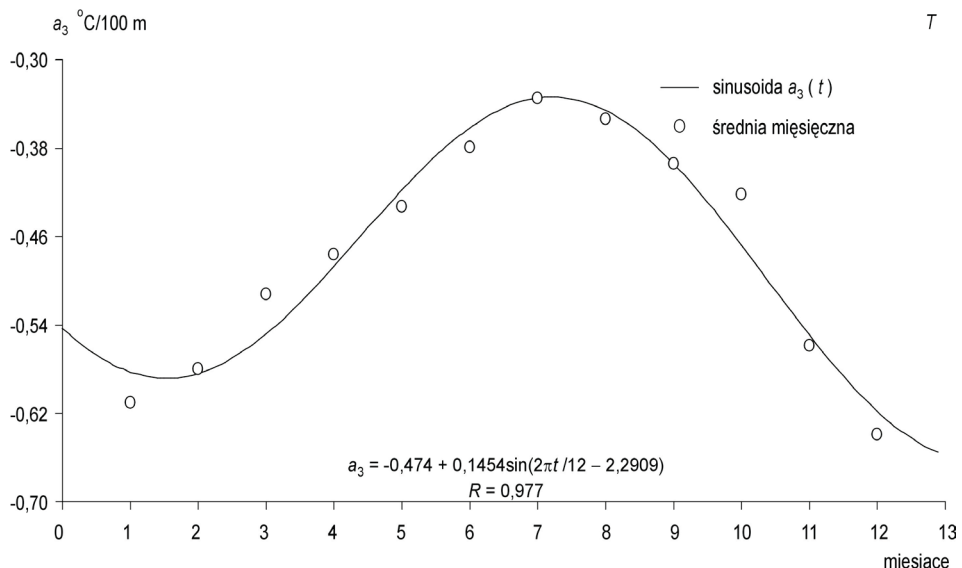


Rys. 5.2. Zmiany roczne gradientu południkowego a_1 temperatury powietrza
Fig. 5.2. The annual changes of the longitudinal gradient a_1 of the air temperature



Rys. 5.3. Zmiany roczne gradientu równoleżnikowego a_2 temperatury powietrza

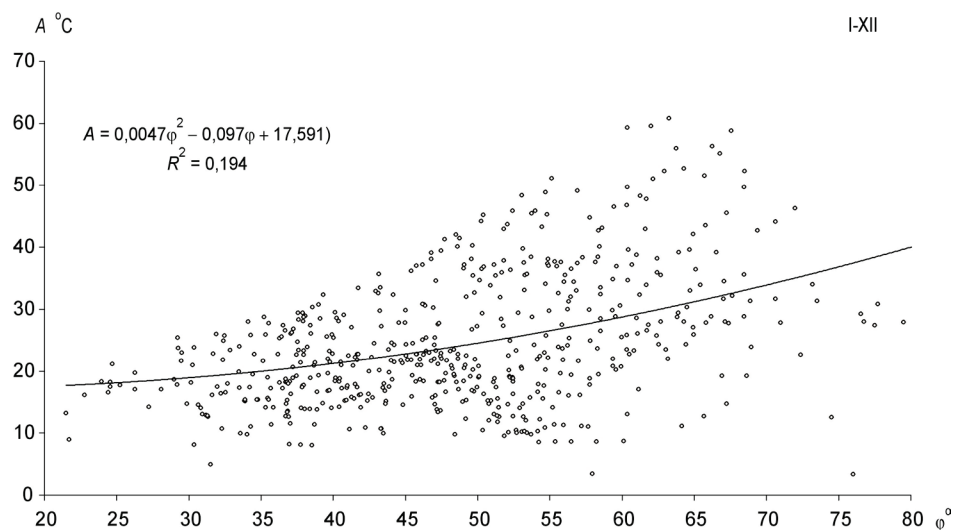
Fig. 5.3. The annual changes of the latitudinal gradient a_2 of the air temperature



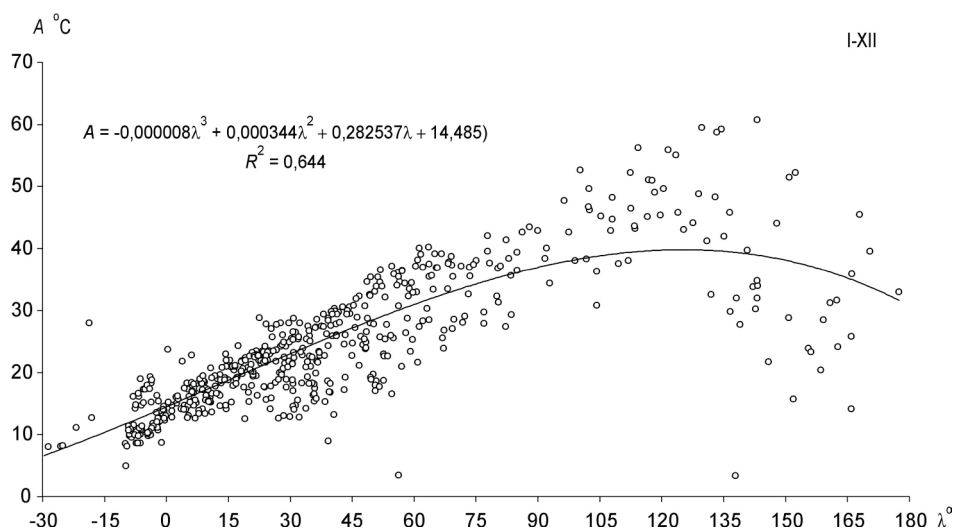
Rys. 5.4. Zmiany roczne gradientu hipsometrycznego a_3 temperatury powietrza

Fig. 5.4. The annual changes of the hypsometric gradient a_3 of the air temperature

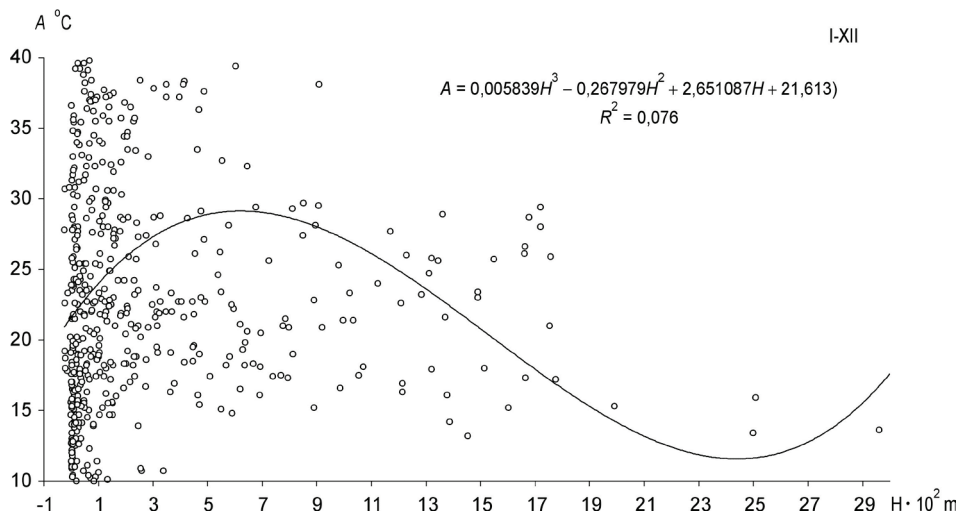
Zależność rocznej amplitudy temperatury powietrza (A) od współrzędnych geograficznych φ , λ i wysokości nad poziomem morza H przedstawiają wykresy na rys. 5.5- 5.7.



Rys. 5.5. Profil południkowy amplitudy rocznej temperatury powietrza $A(\varphi)$
Fig. 5.5. Profile of the longitudinal gradient of the annual amplitude of the air temperature $A(\varphi)$



Rys. 5.6. Profil równoleżnikowy amplitudy rocznej temperatury powietrza $A(\lambda)$
Fig. 5.6. Profile of the latitudinal gradient of the annual amplitude of the air temperature $A(\lambda)$



Rys. 5.7. Profil hipsometryczny amplitudy rocznej temperatury powietrza $A(H)$

Fig. 5.7. Profile of the hypsometric gradient of the annual amplitude of the air temperature $A(H)$

Pole temperatury powietrza w Europie w poszczególnych miesiącach i roku oraz amplitudę roczną charakteryzują mapy izarytm na rys. 5.29-5.42. Pod mapami zamieszczono równania regresji liniowej temperatury powietrza (T) względem trzech współrzędnych: szerokości geograficznej (φ), długości (λ) i wysokości n.p.m. (H). Współczynniki regresji a_1, a_2, a_3 – to współrzędne gradientu pola temperatury powietrza na podstawie danych ze stacji „●” – rys. 5.1).

2. Gradienty horyzontalne w $^{\circ}\text{C}/100 \text{ km}$

Nowością w badaniach klimatu Europy są mapy gradientów: południkowych $\frac{\partial T}{\partial \Phi}$, równoleżnikowych $\frac{\partial T}{\partial \Lambda}$ i hipsometrycznych $\frac{\partial T}{\partial H}$ przedstawione w t. VIII Atlasu (Sto-
pa-Boryczka, Boryczka i inni, 1994)).

Żeby wyznaczyć gradient pola temperatury powietrza w każdym punkcie powierzchni Europy opisano je wielomianem regresji czwartego stopnia $T = f(\Phi, \Lambda, H)$ względem szerokości Φ i długości geograficznej Λ oraz wysokości nad poziomem morza H . We wzorach Φ i Λ wyrażono w setkach km, a wysokość H – w hm.

Gradient pola temperatury powietrza zdefiniowano matematycznie:

$$\text{grad } T = \left[\frac{\partial T}{\partial \Phi}, \frac{\partial T}{\partial \Lambda}, \frac{\partial T}{\partial H} \right]$$

jako wektor, którego składowymi są pochodne cząstkowe – wyrażone w $^{\circ}\text{C}/100 \text{ km}$,

$^{\circ}\text{C}/100 \text{ km}$, $^{\circ}\text{C}/100\text{m}$. Składowe horyzontalne – poziome $\frac{\partial T}{\partial \Phi}, \frac{\partial T}{\partial \Lambda}$ wyrażono w $^{\circ}\text{C}/100 \text{ km}$, przekształcając współrzędne geograficzne:

$$\Phi = 1,111 \varphi^{\circ}$$

$$\Lambda = 1,111 \lambda^{\circ} \cos \varphi^{\circ}$$

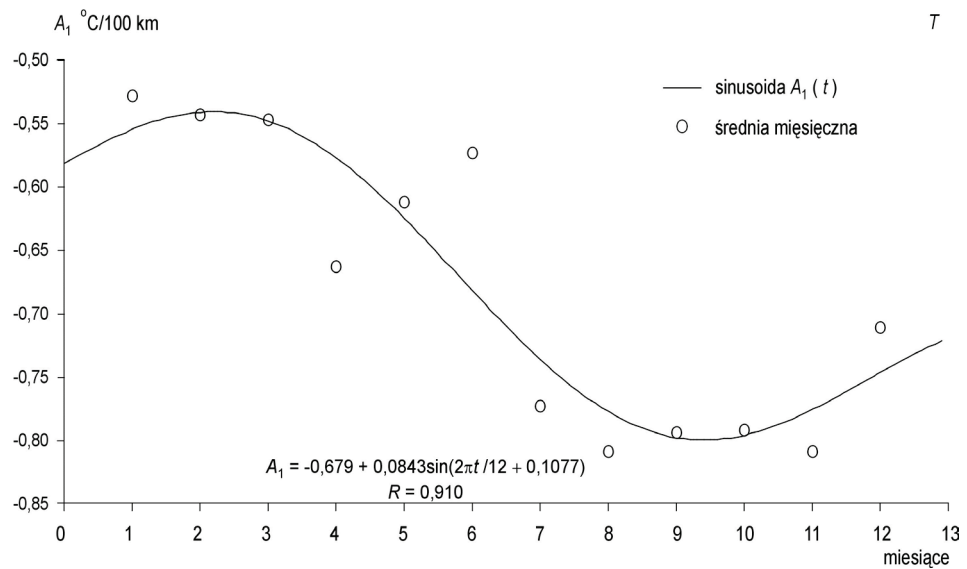
Tak zdefiniowane gradienty oddzielają w każdym miejscu wpływ szerokości geograficznej (Φ), długości geograficznej Λ (odległości od Oceanu Atlantyckiego) i wysokości nad poziomem morza H (tab. 5.2).

Tab. 5.2. Gradienty: południkowy (A_1), równoleżnikowy (A_2) i hipsometryczny (A_3) temperatury powietrza w latach 1961-1990

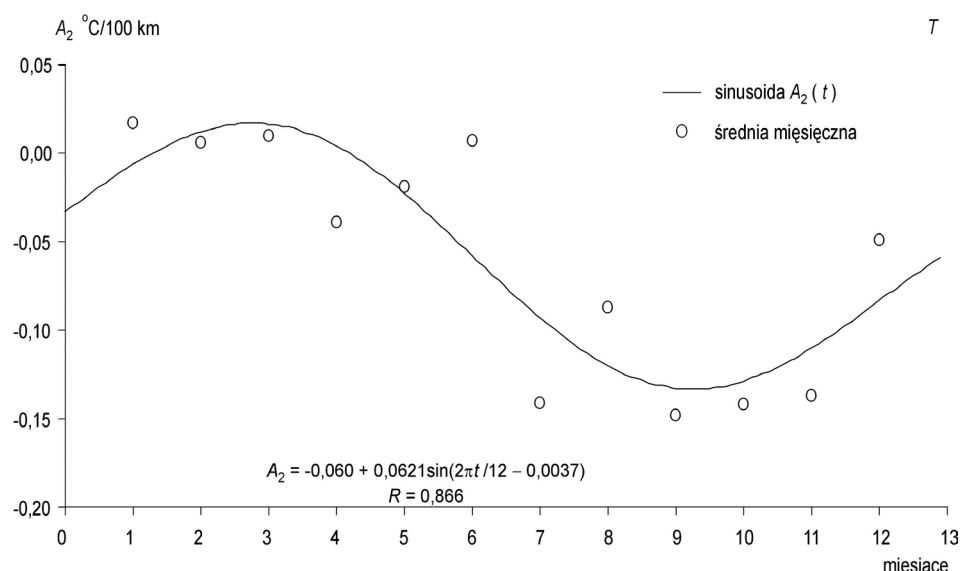
Tab. 5.2. The gradients: longitudinal (A_1), latitudinal (A_2) and hypsometric (A_3) of air temperature in years 1961-1990

$[A_1, A_2, A_3]$	$A_1 [^{\circ}\text{C}/100 \text{ km}]$	$A_2 [^{\circ}\text{C}/100 \text{ km}]$	$A_3 [^{\circ}\text{C}/100 \text{ m}]$	A_0	$R^2 [\%]$	R
Styczeń	-0,528	0,017	-0,335	45,9	74,7	0,864
Luty	-0,543	0,006	-0,379	44,7	74,9	0,865
Marzec	-0,547	0,010	-0,356	46,0	79,1	0,889
Kwiecień	-0,663	-0,039	-0,422	43,8	82,2	0,906
Maj	-0,612	-0,019	-0,433	44,8	83,3	0,912
Czerwiec	-0,573	0,007	-0,354	47,4	84,4	0,919
Lipiec	-0,773	-0,141	-0,639	43,1	86,5	0,930
Sierpień	-0,809	-0,087	-0,559	46,5	86,8	0,932
Wrzesień	-0,794	-0,148	-0,610	42,0	87,7	0,937
Październik	-0,792	-0,142	-0,610	42,9	88,2	0,939
Listopad	-0,809	-0,137	-0,580	43,6	89,2	0,945
Grudzień	-0,711	-0,049	-0,476	45,2	90,2	0,950
Wiosna	-0,712	-0,046	-0,484	45,6	91,4	0,956
Lato	-0,698	-0,054	-0,474	44,7	91,5	0,956
Jesień	-0,676	-0,057	-0,450	45,1	91,6	0,957
Zima	-0,771	-0,095	-0,512	44,2	91,7	0,958
Rok	-0,627	-0,014	-0,394	46,9	91,8	0,958

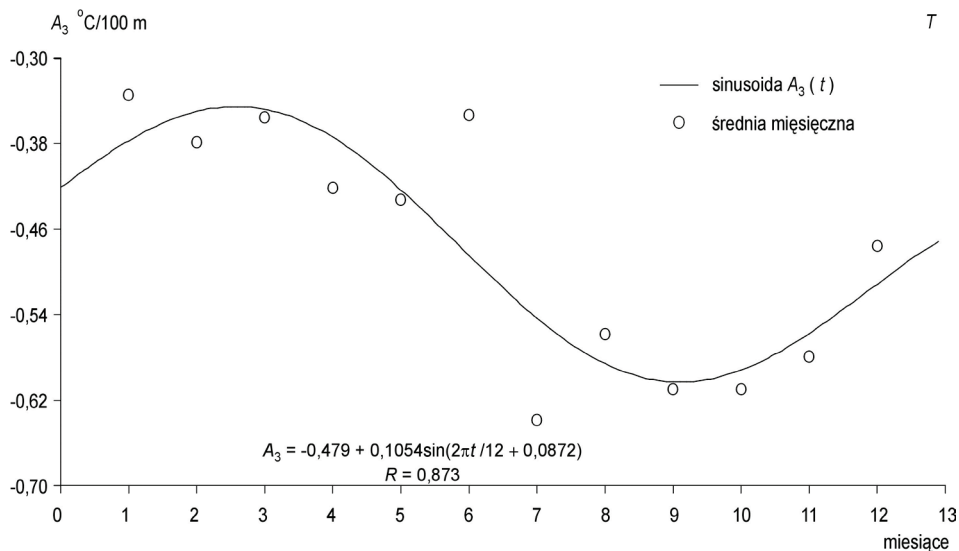
Zmiany roczne gradientów A_1, A_2, A_3 charakteryzują wykresy równań sinusoid regresji o okresie $\Theta = 12$ (5.8-5.10).



Rys. 5.8. Zmiany roczne gradientu południkowego A_1 temperatury powietrza
Fig. 5.8. The annual changes of the longitudinal gradient A_1 of the air temperature



Rys. 5.9. Zmiany roczne gradientu równoleżnikowego A_2 temperatury powietrza
Fig. 5.9. The annual changes of the latitudinal gradient A_2 of the air temperature



Rys. 5.10. Zmiany roczne gradientu hipsometrycznego A_3 temperatury powietrza

Fig. 5.10. The annual changes of the hypsometric gradient A_3 of the air temperature

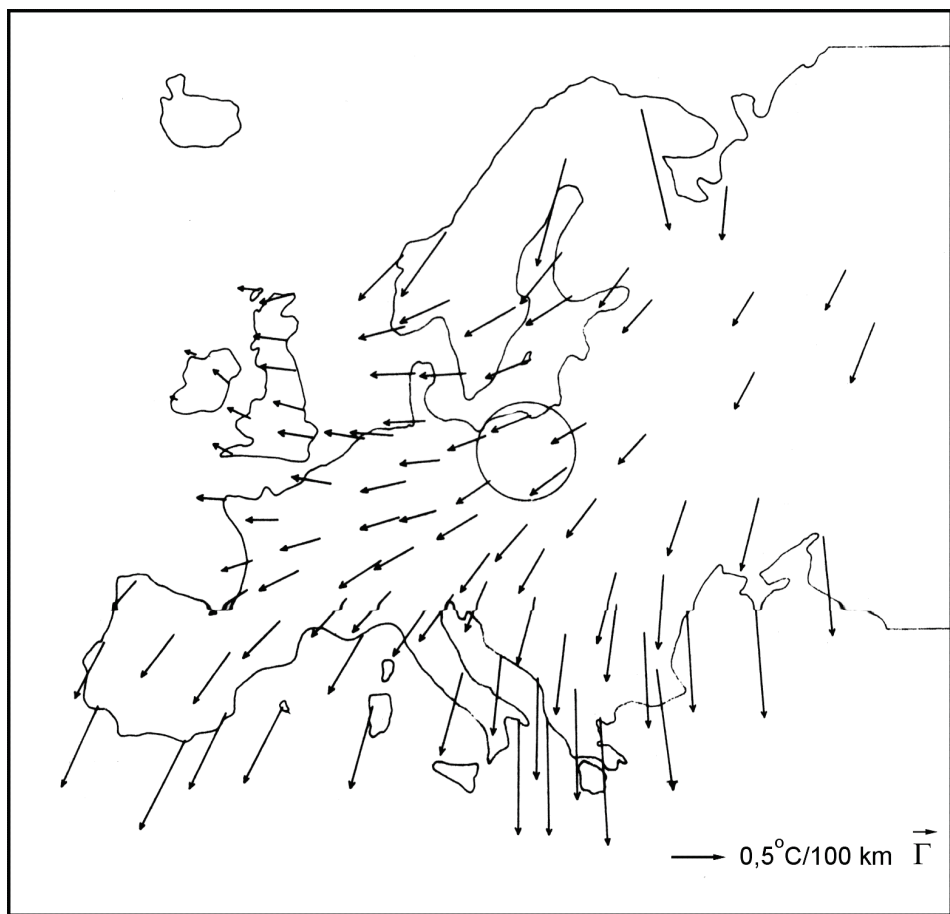
Zgodnie z zasadą strefowości klimatu Ziemi, układ izarytm $\frac{\partial T}{\partial \Phi} = \text{const.}$ powinien być równoleżnikowy. Wpływ Oceanu Atlantyckiego na pole temperatury objawia się odchyleniem izarytm $\frac{\partial T}{\partial \Phi}$ od miejscowych równoleżników.

Specyfiką pola temperatury powietrza w Europie jest zmiana znaku gradientu równoleżnikowego $\frac{\partial T}{\partial \Lambda}$ w ciągu roku – na ogólny z ujemnego w zimie na dodatni – w lecie.

Gradienty hipsometryczne temperatury powietrza $\frac{\partial T}{\partial H}$ zmieniają się w Europie zależnie od miejsca i pory roku. Najmniejsze spadki temperatury powietrza $\left(-\frac{\partial T}{\partial H}\right)$ ze wzrostem wysokości nad poziomem morza występują w styczniu ($0,3^{\circ}\text{C}/100\text{m}$), a największe w lipcu ($0,6^{\circ}\text{C}/100\text{m}$).

Najlepszą miarą oddziaływanego Oceanu Atlantyckiego na pole temperatury powietrza w Europie jest gradient horyzontalny – wektor $\vec{\Gamma} = \frac{\partial f}{\partial \Phi}, \frac{\partial f}{\partial \Lambda}$, którego składowe:

południkowa $\frac{\partial T}{\partial \Phi}$ i równoleżnikowa $\frac{\partial T}{\partial \Lambda}$ są wyrażone w $^{\circ}\text{C}/100 \text{ km}$. Przykładowo, przedstawiono mapę przestrzennego rozkładu gradientów horyzontalnych – wektorów $\vec{\Gamma} = \frac{\partial f}{\partial \Phi}, \frac{\partial f}{\partial \Lambda}$ w Europie w zimie (rys. 5.11).



Rys. 5.11. Gradient horyzontalny temperatury powietrza w Europie – zima

Fig. 5.11. Horizontal gradient of air temperature in Europe – winter

Zwrot wektora $\vec{\Gamma}$ (strzałka) to kierunek wzrostu temperatury powietrza, a jego długość – to przyrost temperatury powietrza w $^{\circ}\text{C}/100\text{km}$

Gradient horyzontalny temperatury powietrza powinien być skierowany na południe Europy – zgodnie z zasadą strefowości klimatu Ziemi. Astrefowość pola temperatury powietrza określa kąt między wektorem $\vec{\Gamma}$ i miejscowym południkiem – azymut astronomiczny (a). Odchylenie gradientu horyzontalnego $\vec{\Gamma}$ od południka miejscowego na zachód ($a < 180$) wskazuje na przewagę cech oceanicznych klimatu w Europie. Natomiast odchylenie wektora $\vec{\Gamma}$ od południka lokalnego na wschód ($a < 0$) świadczy o przewadze cech kontynentalnych klimatu.

Na obszarze Europy przeważają kierunki gradientu horyzontalnego temperatury powietrza $\vec{\Gamma}$: w zimie z sektora południowo-zachodniego, a w lecie – sektora południowo-wschodniego(Stopa-Boryczka i in., 1994). Zimowy wzrost temperatury powietrza w kierunku południowo-zachodnim wywołuje ocieplający wpływ mas powietrza polarnego morskiego nad Oceanem Atlantyckiego i ochładzający – mas powietrza napływającego z głębi kontynentu. Natomiast letni wzrost temperatury powietrza w kierunku południowo-wschodnim wynika z ochładzającego w tym czasie wpływu Oceanu – z przeciwnego oddziaływania tych dwóch ośrodków: ocean-kontynent. Najbardziej strefowy układ wektorów $\vec{\Gamma}$ równoległy do południków miejscowych obserwuje się w sezonach przejściowych – podczas wyrównania temperatury między wodami Oceanu Atlantyckiego i lądem Europy.

Długość wektorów $\vec{\Gamma}$ ulega także rocznym zmianom. Są one znacznie dłuższe w miesiącach półrocza chłodnego (X-III) niż ciepłego (IV-IX). Istotne znaczenie poznawcze ma wyodrębnienie stref oddziaływania Oceanu Atlantyckiego na klimat Europy. Rozwiążanie tego problemu było możliwe dzięki wprowadzeniu gradientu horyzontalnego temperatury powietrza $\vec{\Gamma}$. Tak zdefiniowany gradient horyzontalny $\vec{\Gamma}$ nie zależy od wysokości terenu (H), ponieważ spadek temperatury z wysokością uwzględnia gradient hipsometryczny $\frac{\partial T}{\partial H}$. W ten sposób wyodrębniono wpływ ukształtowania powierzchni Europy na pole temperatury powietrza.

Strefy oddziaływania Oceanu Atlantyckiego na klimat Europy wskazują izarytmy azymutów $a = \text{const.}$, tj. kątów odchylenia gradientów horyzontalnych – wektorów $\vec{\Gamma}$ od południków miejscowych.

Prawie przez 8 miesięcy (IX-IV) wektory $\vec{\Gamma}$ są odchylone na zachód od południków miejscowych ($0 < a < 180^\circ$). Pole wektorowe $\vec{\Gamma}$ cechują w tych miesiącach izarytmy o wartościach $a = 30^\circ$ i $a = 60^\circ$. W pozostałych 4 miesiącach (V-VIII) położenie izarytm jest odmienne. Wektory gradientów horyzontalnych temperatury powietrza $\vec{\Gamma}$ są odchylone na wschód od południków miejscowych ($180^\circ < a < 360^\circ$ czy też $-180^\circ < a < 0^\circ$). Izarytmy $180^\circ < a < 360^\circ$ świadczą w tej porze roku o ochładzającym oddziaływaniu Oceanu Atlantyckiego na klimat Europy.

Miarą wpływu czynników lokalnych: mniejszych form rzeźby terenu, ekspozycji względem Słońca czy też czynników antropogenicznych na pole temperatury powietrza w poszczególnych punktach (Φ_i, Λ_i, H_i) Europy mogą być reszty wielomianowe ε_i . Zmierzona wartość temperatury T_i , jest sumą: obliczonej z wielomianu regresji $f(\Phi_i, \Lambda_i, H_i)$ i różnicę ε_i :

$$T_i = f(\Phi_i, \Lambda_i, H_i) + \varepsilon_i$$

W przypadku wielomianu regresji czwartego stopnia, pole temperatury powietrza jest opisane za pomocą $N = 34$ parametrów – współczynników regresji a_1, \dots, a_N (wg najmniejszych kwadratów). Te 34 parametry nie wystarcza jednak by opisać wszystkie lokalne oddziaływanie podłoż (np. kotliny śródgórskie, szczyty górskie, zbiorniki wodne, większe miasta).

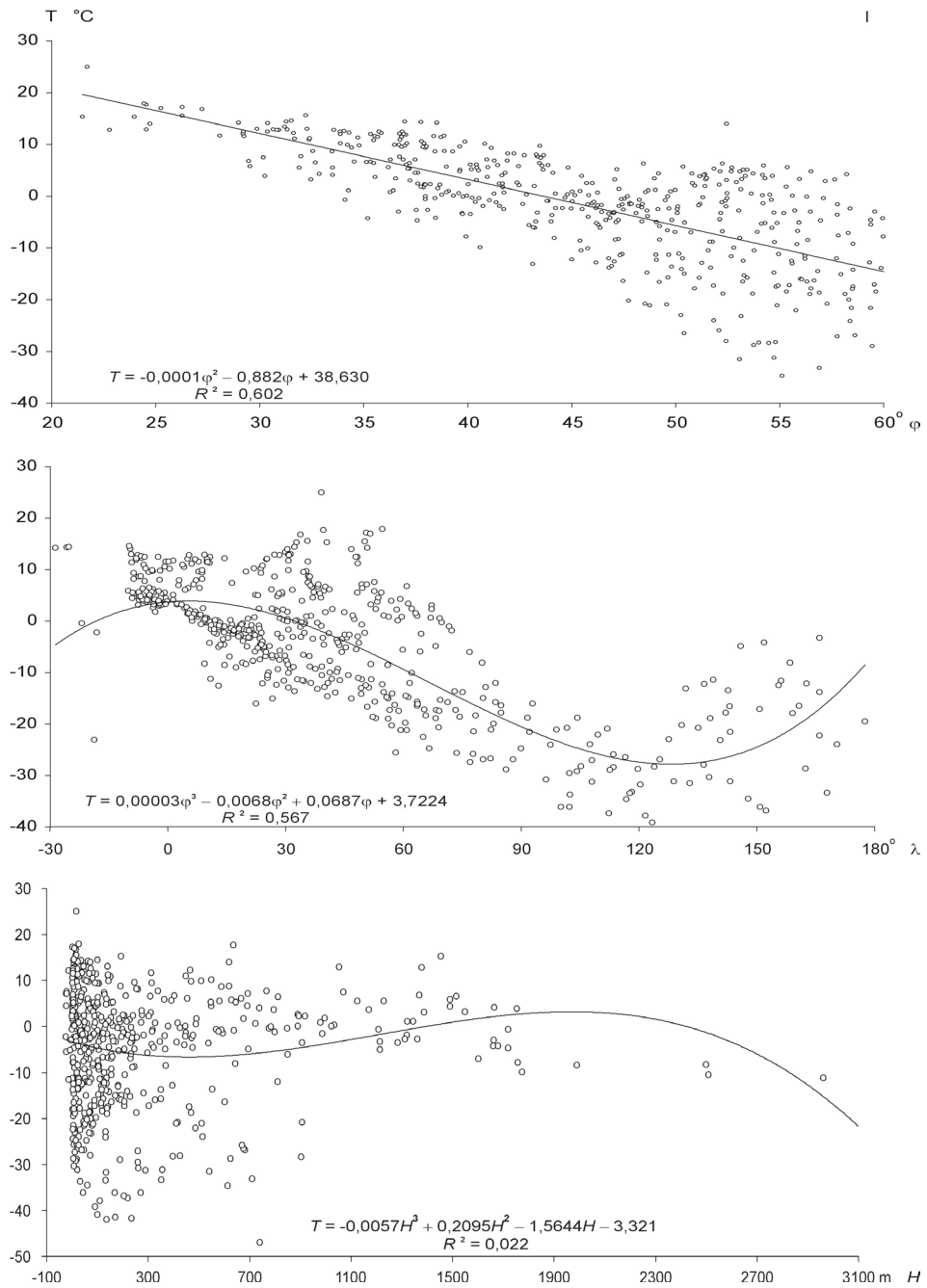
Istnieje zatem oprócz składnika deterministycznego $f(\Phi_i, \Lambda_i, H_i)$ tzw. trendu przestrzennego jeszcze składnik losowy ε_i , (nieokreślony). Reszty ε_i mają w populacji rozkład zbliżony do gaussowskiego o parametrach $0, \delta$, gdzie δ – jest błędem standardowym.

Ekstremalne wartości różnic ε_i ($\varepsilon_i < 0$ lub $\varepsilon_i > 0$) wskazują miejsca na obszarze Europy, w których najsiłniej oddziałują czynniki lokalne na pole temperatury powietrza. Reszty ε_i są największe (pod względem wartości bezwzględnej) w zimie. Wtedy przy małej insolacji (zanikającej strefowości) pole temperatury powietrza najbardziej zależy od wklęsłych i wypukłych form terenu, nachylenia zboczy. Najmniejsza rozbieżność między zmierzonymi i obliczonymi z wielomianów regresji czwartego stopnia wartościami temperatury powietrza występuje w przejściowych porach roku. Po prostu wynika to z najmniejszego oddziaływania Oceanu Atlantyckiego w tym czasie – z wyrównania temperatury między oceanem i lądem.

Pole temperatury powietrza deformowane jest również przez duże miasta ze względu na tzw. miejską wyspę ciepła. Wynika to głównie z dodatkowej akumulacji ciepła w dzień przez zabudowę (zwiększoną powierzchnię czynną). Duże miasta położone na nizinach cechują się na ogół dodatkimi resztami wielomianowymi ($\varepsilon_i > 0$).

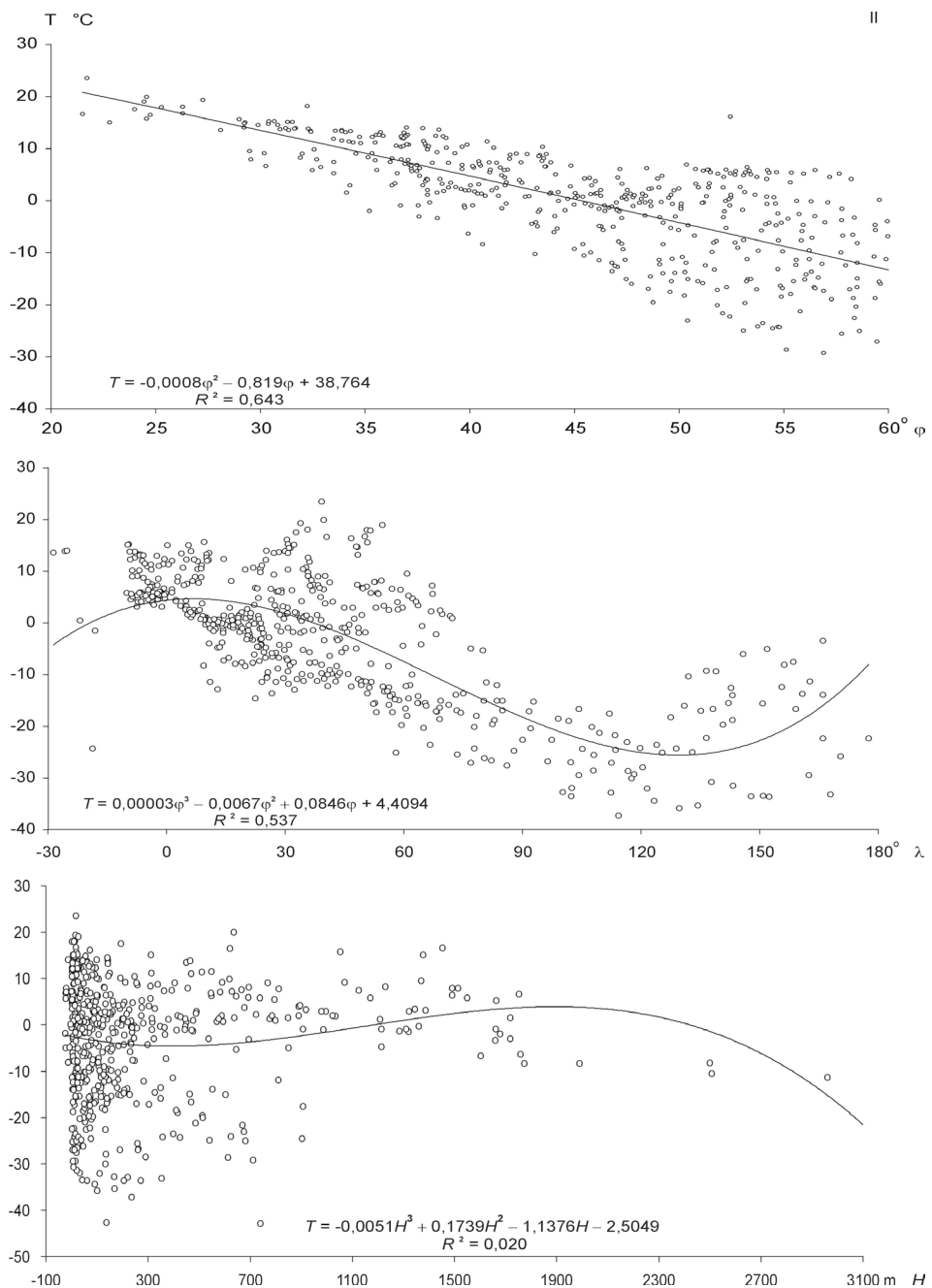
Dobrym narzędziem badań klimatu okazały się modele statystyczne trójwymiarowych pól temperatury powietrza. Są nimi wielomiany regresji czwartego stopnia względem trzech współrzędnych kartezjańskich: szerokość geograficzna φ , długość geograficzna λ i wysokość nad poziomem morza H , które spełniają podwójną rolę – jednocześnie czynników geograficznych.

Należy podkreślić, że wprowadzenie trójwymiarowych modeli (oprócz szerokości i długości geograficznej także wysokości n.p.m.) ma ogromne znaczenie metodyczne. Natomiast wielomiany regresji czwartego stopnia $T = (\Phi, \Lambda, H)$ – względem trzech współrzędnych położenia Φ, Λ, H wyjaśniają prawie 98% wariancji temperatury powietrza.



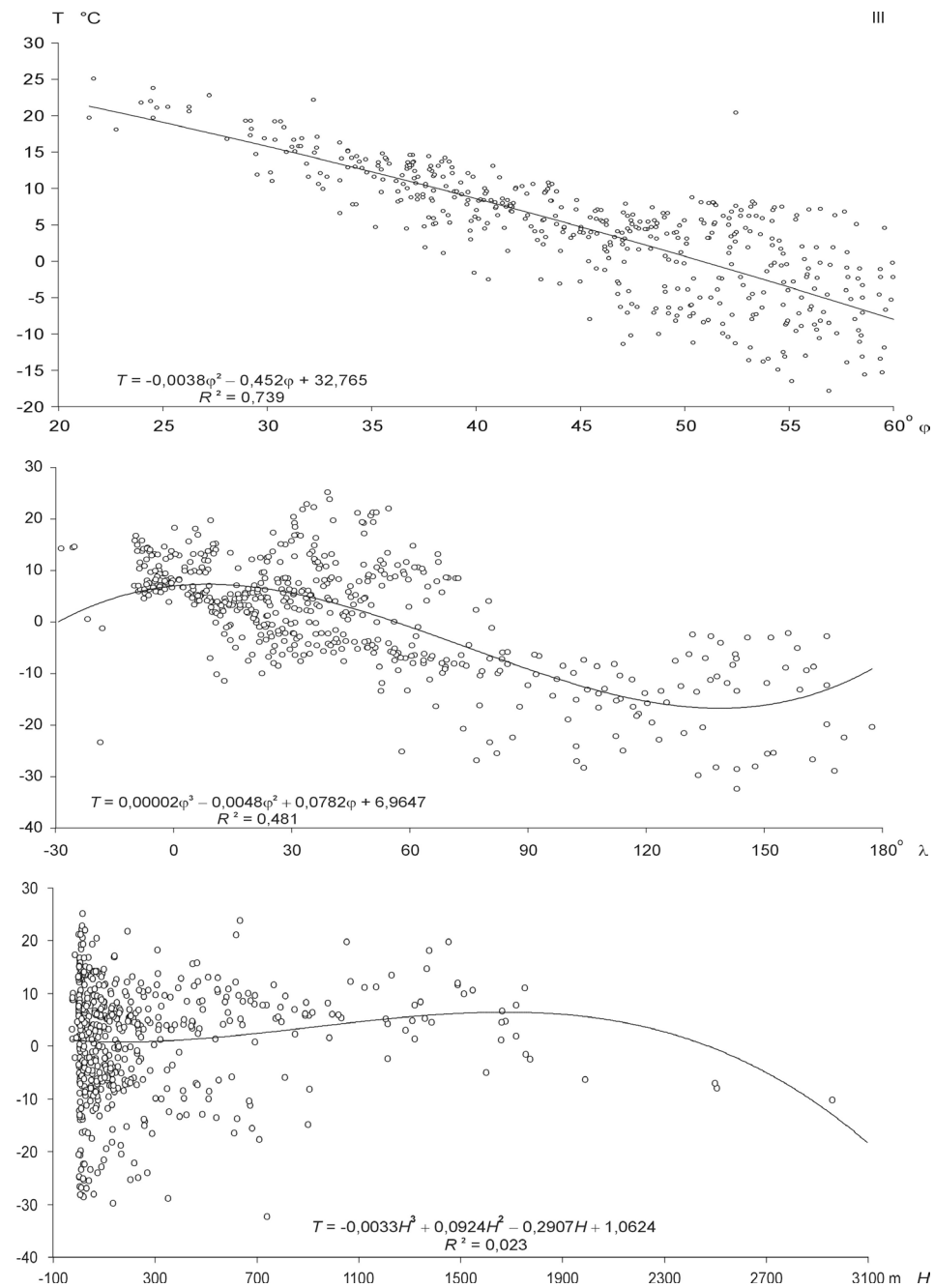
Rys. 5.12. Profile temperatury powietrza w Europie: południkowy $T(\phi)$, równoleżnikowy $T(\lambda)$, hipsometryczny $T(H)$ – styczeń

Fig. 5.12. Profiles of air temperature Europe: longitudinal $T(\phi)$, latitudinal $T(\lambda)$, hypsometric $T(H)$ – January



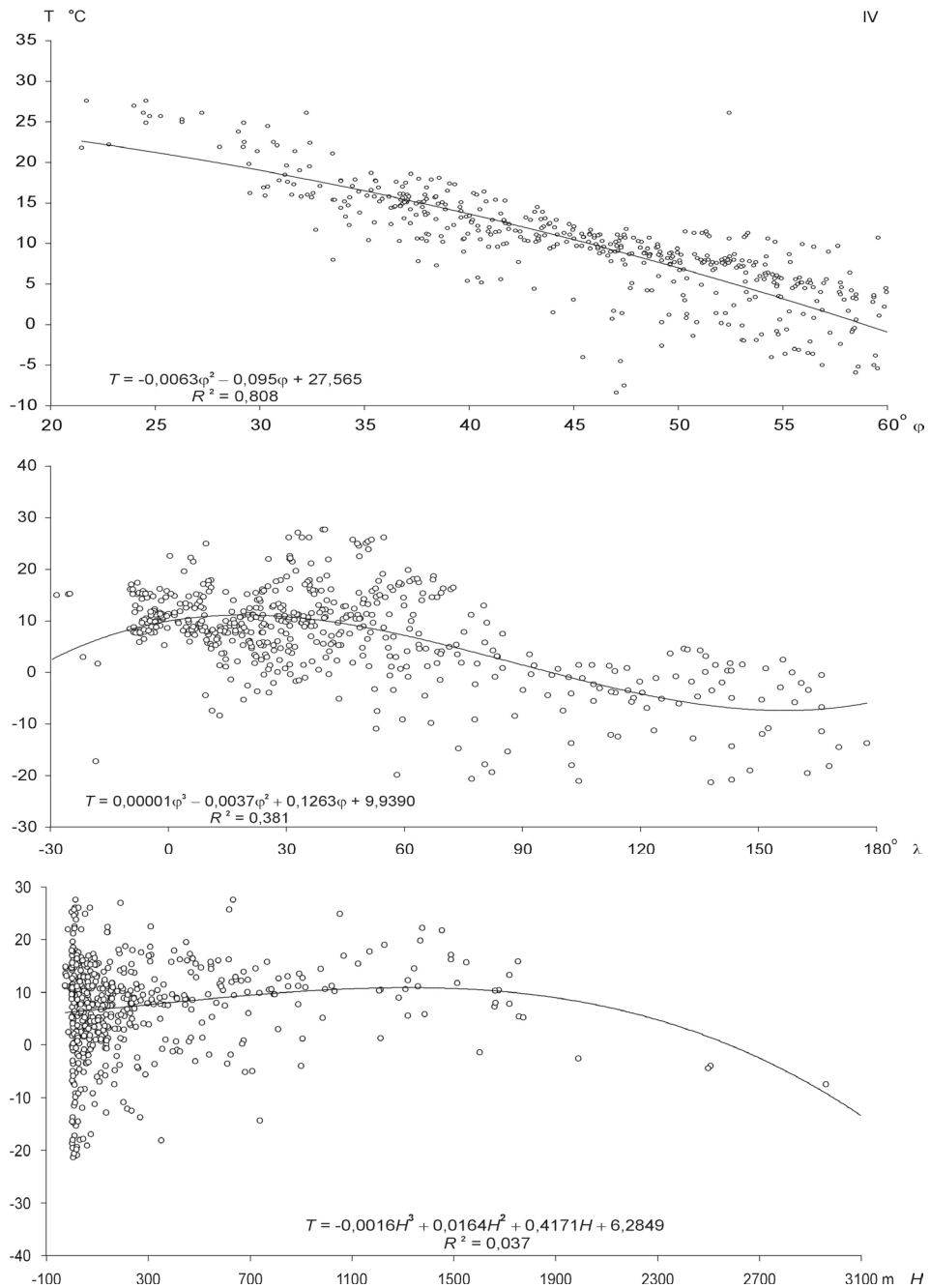
Rys. 5.13. Profile temperatury powietrza w Europie: południkowy $T(\varphi)$, równoleżnikowy $T(\lambda)$, hipsometryczny $T(H)$ – luty

Fig. 5.13. Profiles of air temperature Europe: longitudinal $T(\varphi)$, latitudinal $T(\lambda)$, hypsometric $T(H)$ – February



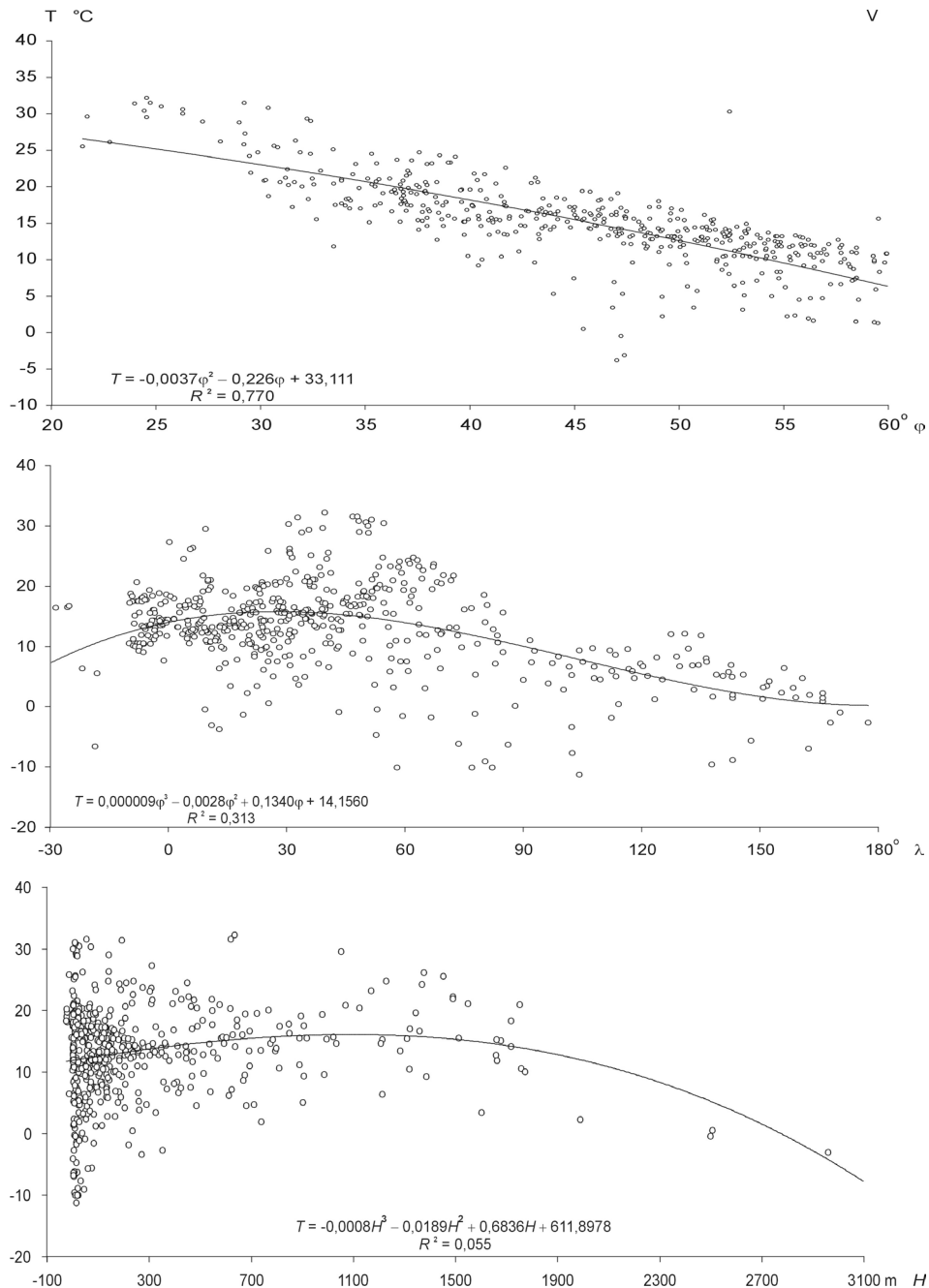
Rys. 5.14. Profile temperatury powietrza w Europie: południkowy $T(\phi)$, równoleżnikowy $T(\lambda)$, hipsometryczny $T(H)$ – marzec

Fig. 5.14. Profiles of air temperature Europe: longitudinal $T(\phi)$, latitudinal $T(\lambda)$, hypsometric $T(H)$ – March



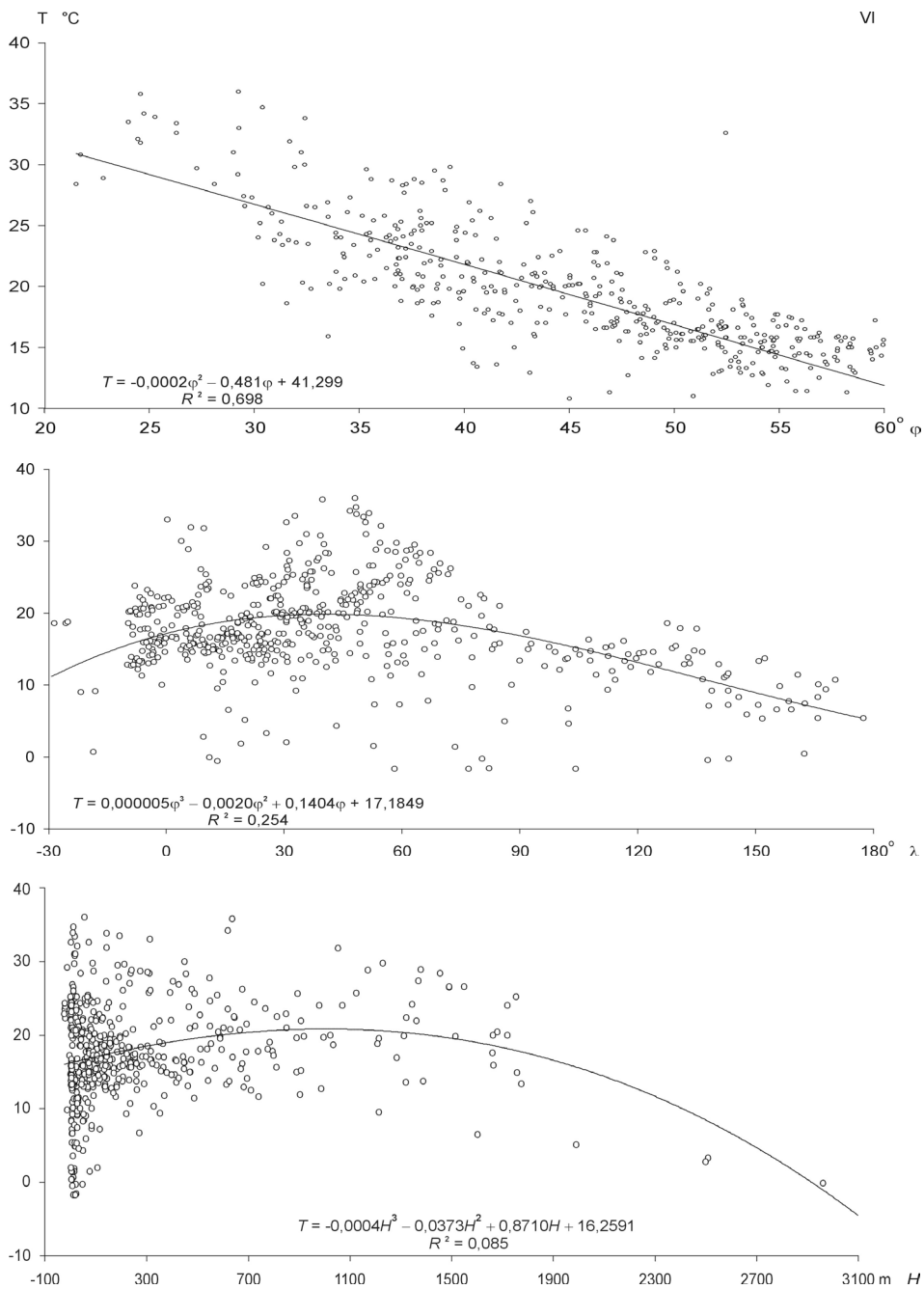
Rys. 5.15. Profile temperatury powietrza w Europie: południkowy $T(\phi)$, równoleżnikowy $T(\lambda)$, hipsometryczny $T(H)$ – kwiecień

Fig. 5.15. Profiles of air temperature Europe: longitudinal $T(\phi)$, latitudinal $T(\lambda)$, hypsometric $T(H)$ – April



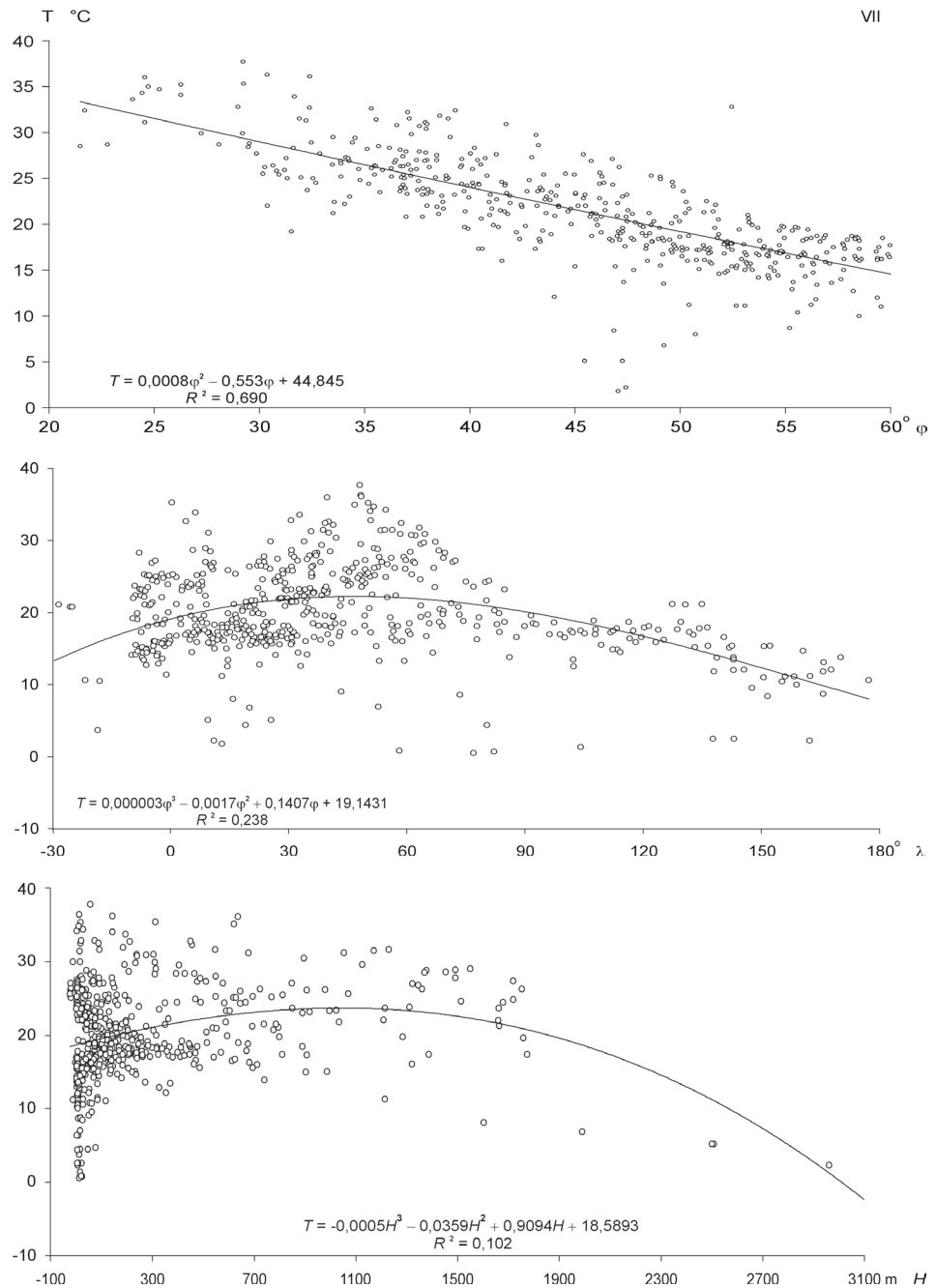
Rys. 5.16. Profile temperatury powietrza w Europie: południkowy $T(\varphi)$, równoleżnikowy $T(\lambda)$, hipsometryczny $T(H)$ – maj

Fig. 5.16. Profiles of air temperature Europe: longitudinal $T(\varphi)$, latitudinal $T(\lambda)$, hypsometric $T(H)$ – May



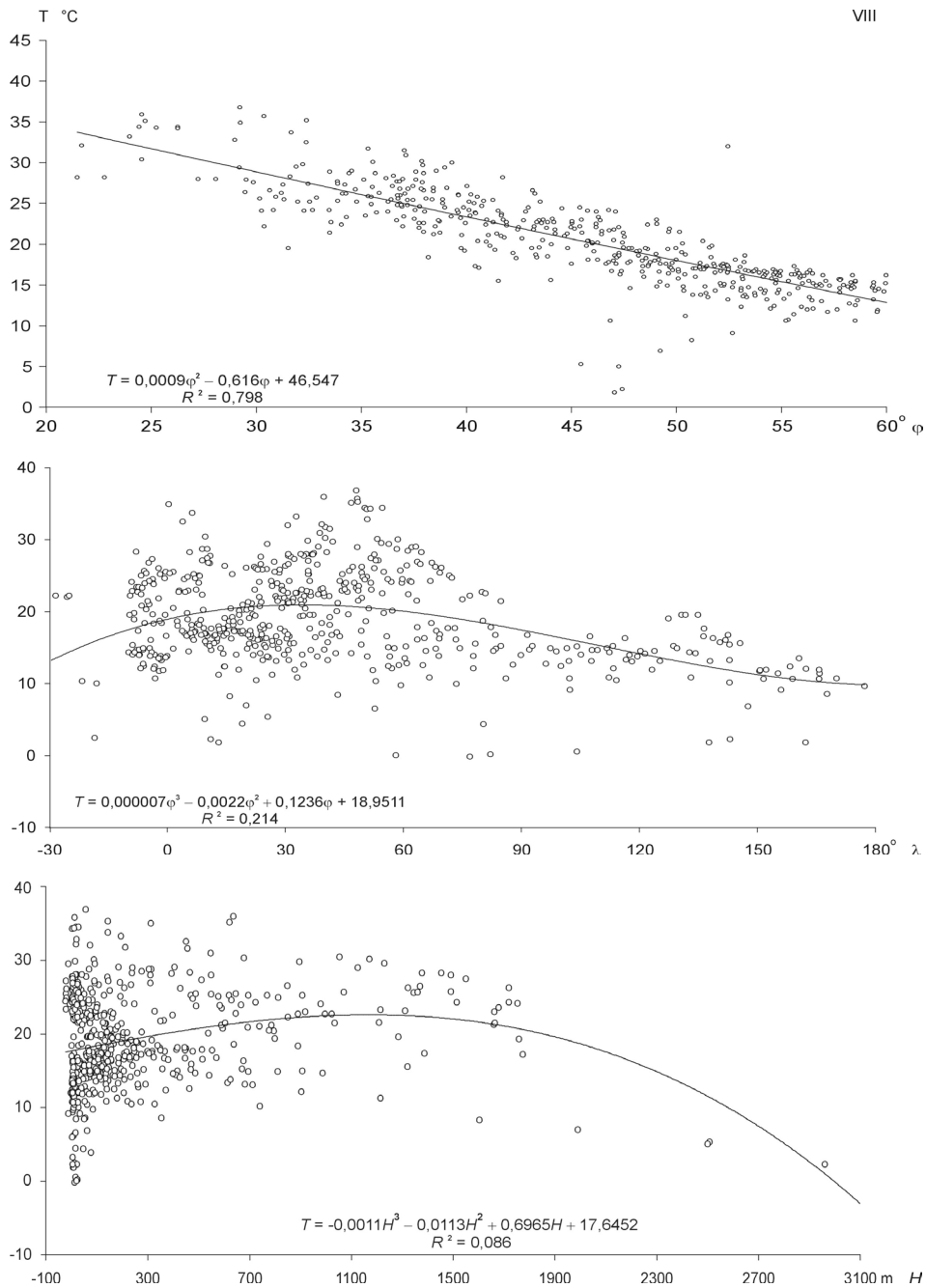
Rys. 5.17. Profile temperatury powietrza w Europie: południkowy $T(\phi)$, równoleżnikowy $T(\lambda)$, hipsometryczny $T(H)$ – czerwiec

Fig. 5.17. Profiles of air temperature Europe: longitudinal $T(\phi)$, latitudinal $T(\lambda)$, hypsometric $T(H)$ – June



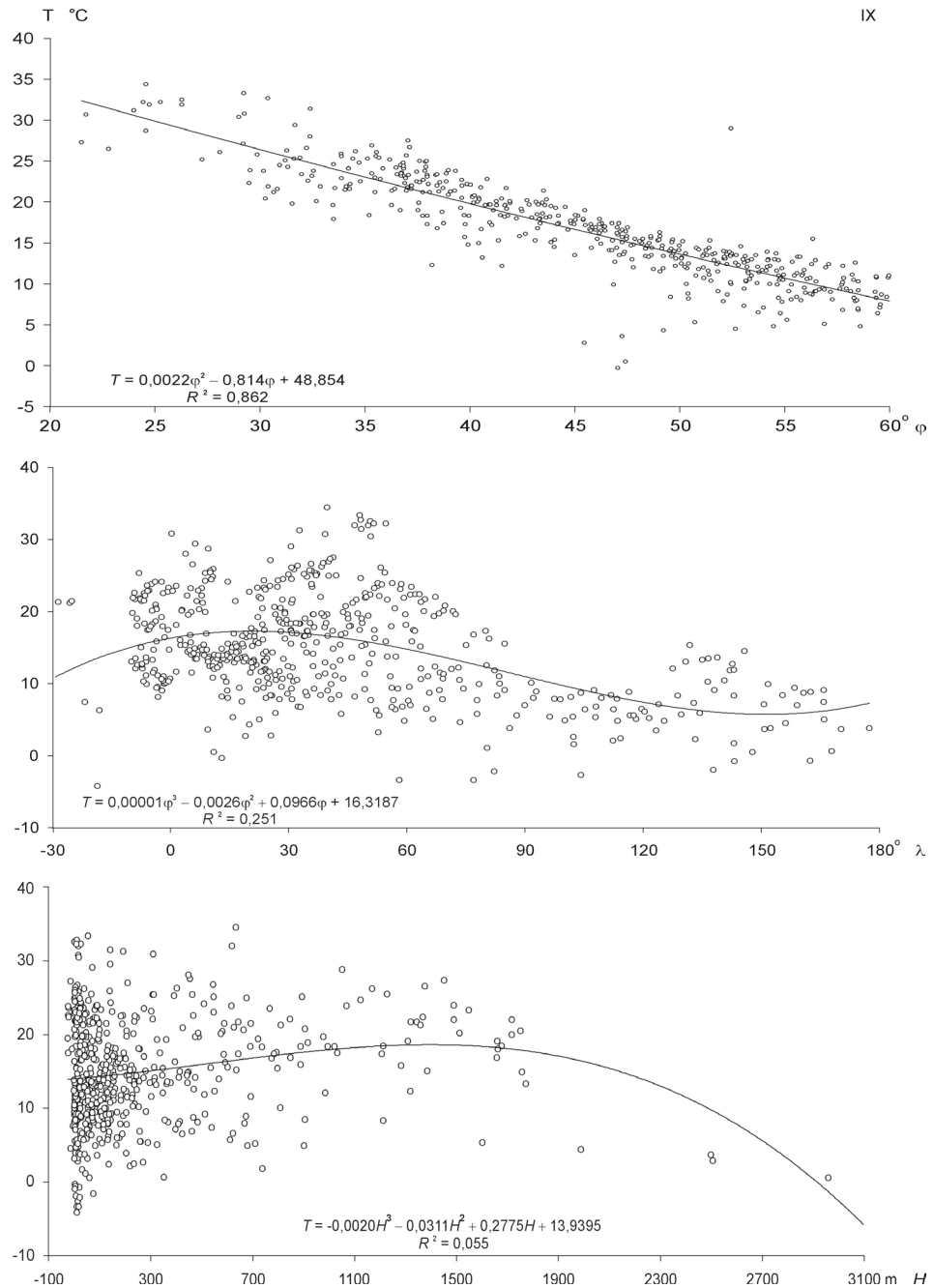
Rys. 5.18. Profile temperatury powietrza w Europie: południkowy $T(\phi)$, równoleżnikowy $T(\lambda)$, hipsometryczny $T(H)$ – lipiec

Fig. 5.18. Profiles of air temperature Europe: longitudinal $T(\phi)$, latitudinal $T(\lambda)$, hypsometric $T(H)$ – July



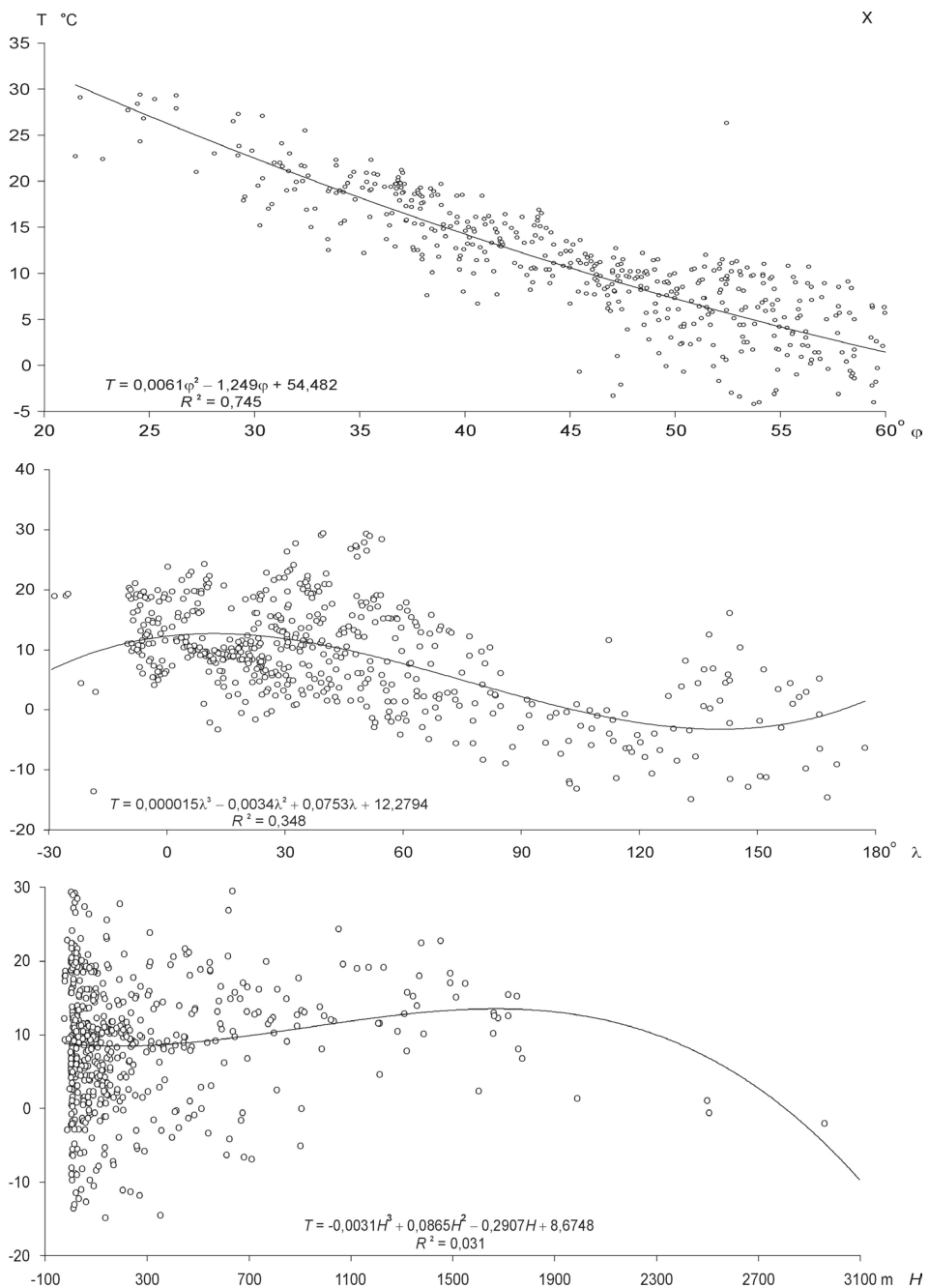
Rys. 5.19. Profile temperatury powietrza w Europie: południkowy $T(\phi)$, równoleżnikowy $T(\lambda)$, hipsometryczny $T(H)$ – sierpień

Fig. 5.19. Profiles of air temperature Europe: longitudinal $T(\phi)$, latitudinal $T(\lambda)$, hypsometric $T(H)$ – August



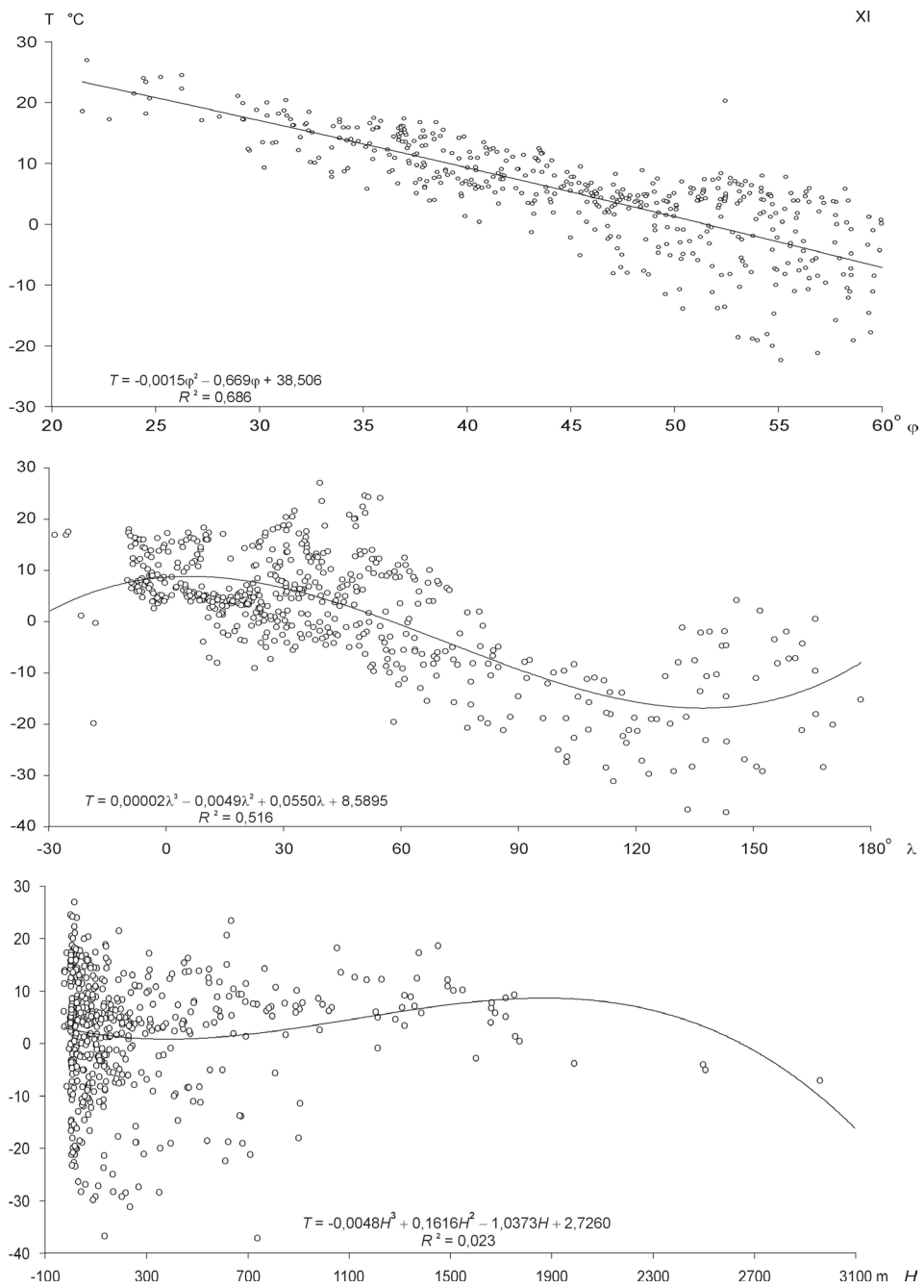
Rys. 5.20. Profile temperatury powietrza w Europie: południkowy $T(\phi)$, równoleżnikowy $T(\lambda)$, hipsometryczny $T(H)$ – wrzesień

Fig. 5.20. Profiles of air temperature Europe: longitudinal $T(\phi)$, latitudinal $T(\lambda)$, hypsometric $T(H)$ – September



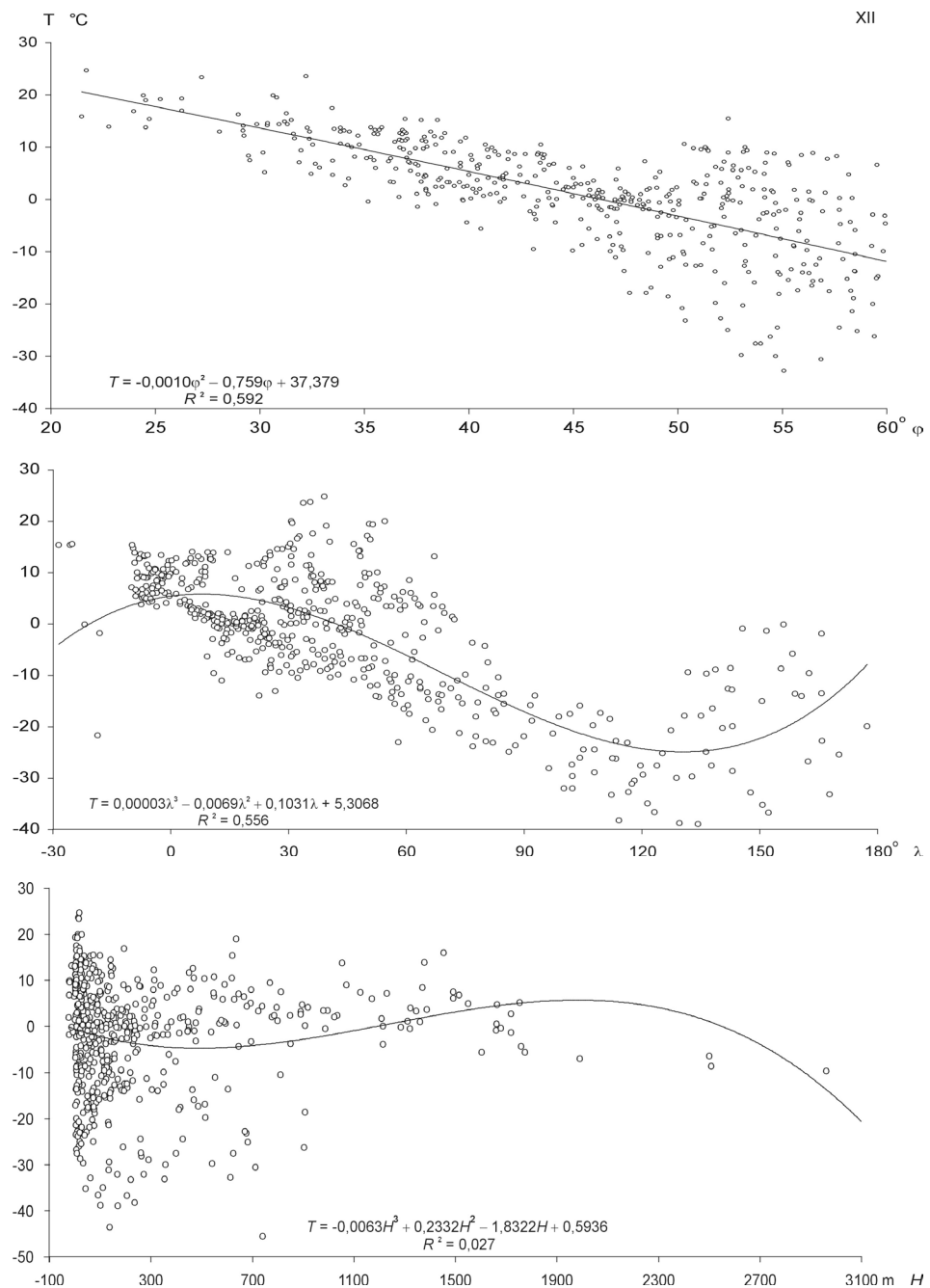
Rys. 5.21. Profile temperatury powietrza w Europie: południkowy $T(\phi)$, równoleżnikowy $T(\lambda)$, hipsometryczny $T(H)$ – październik

Fig. 5.21. Profiles of air temperature Europe: longitudinal $T(\phi)$, latitudinal $T(\lambda)$, hypsometric $T(H)$ – October



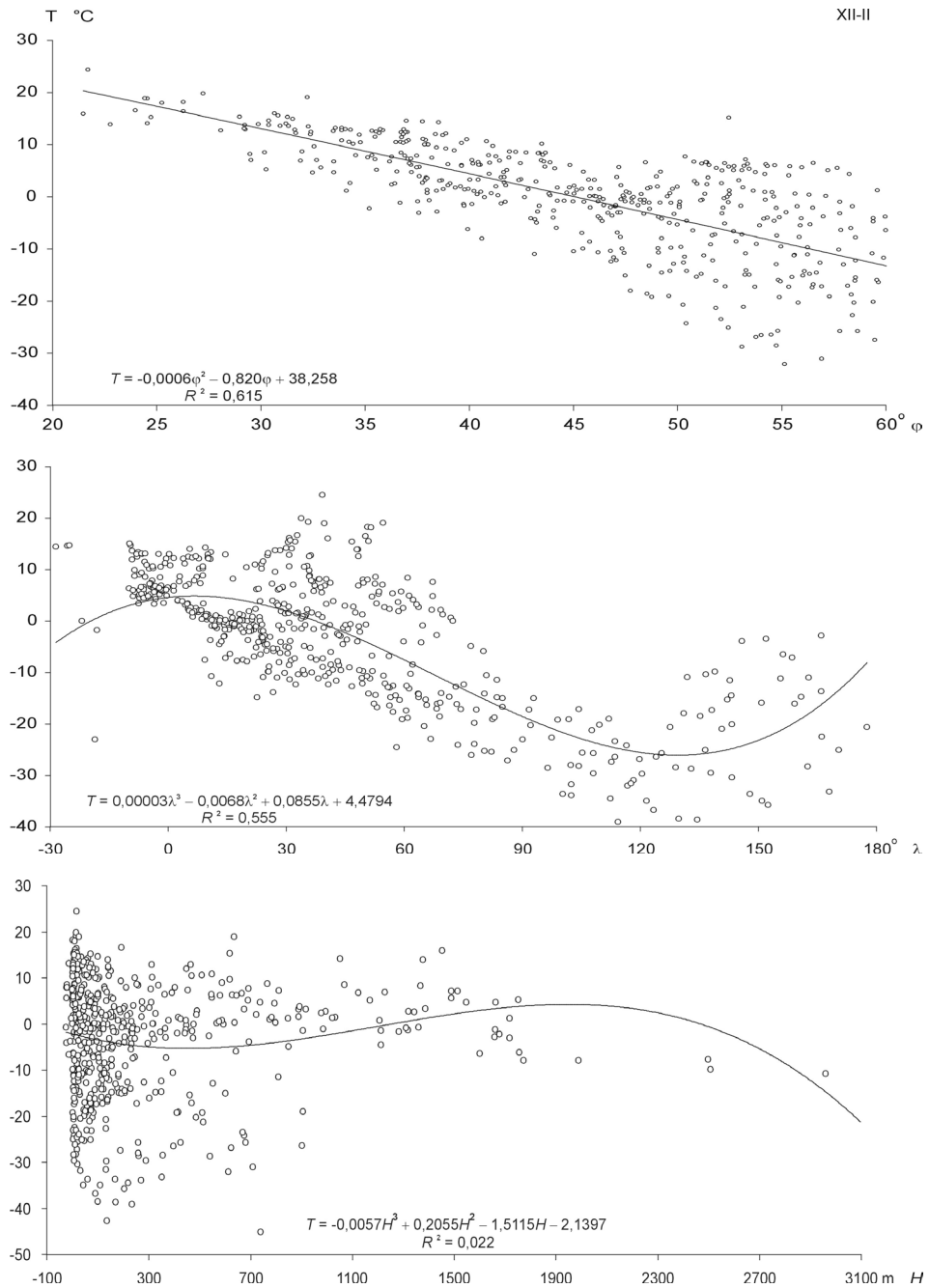
Rys. 5.22. Profile temperatury powietrza w Europie: południkowy $T(\varphi)$, równoleżnikowy $T(\lambda)$, hipsometryczny $T(H)$ – listopad

Fig. 5.22. Profiles of air temperature Europe: longitudinal $T(\varphi)$, latitudinal $T(\lambda)$, hypsometric $T(H)$ – November

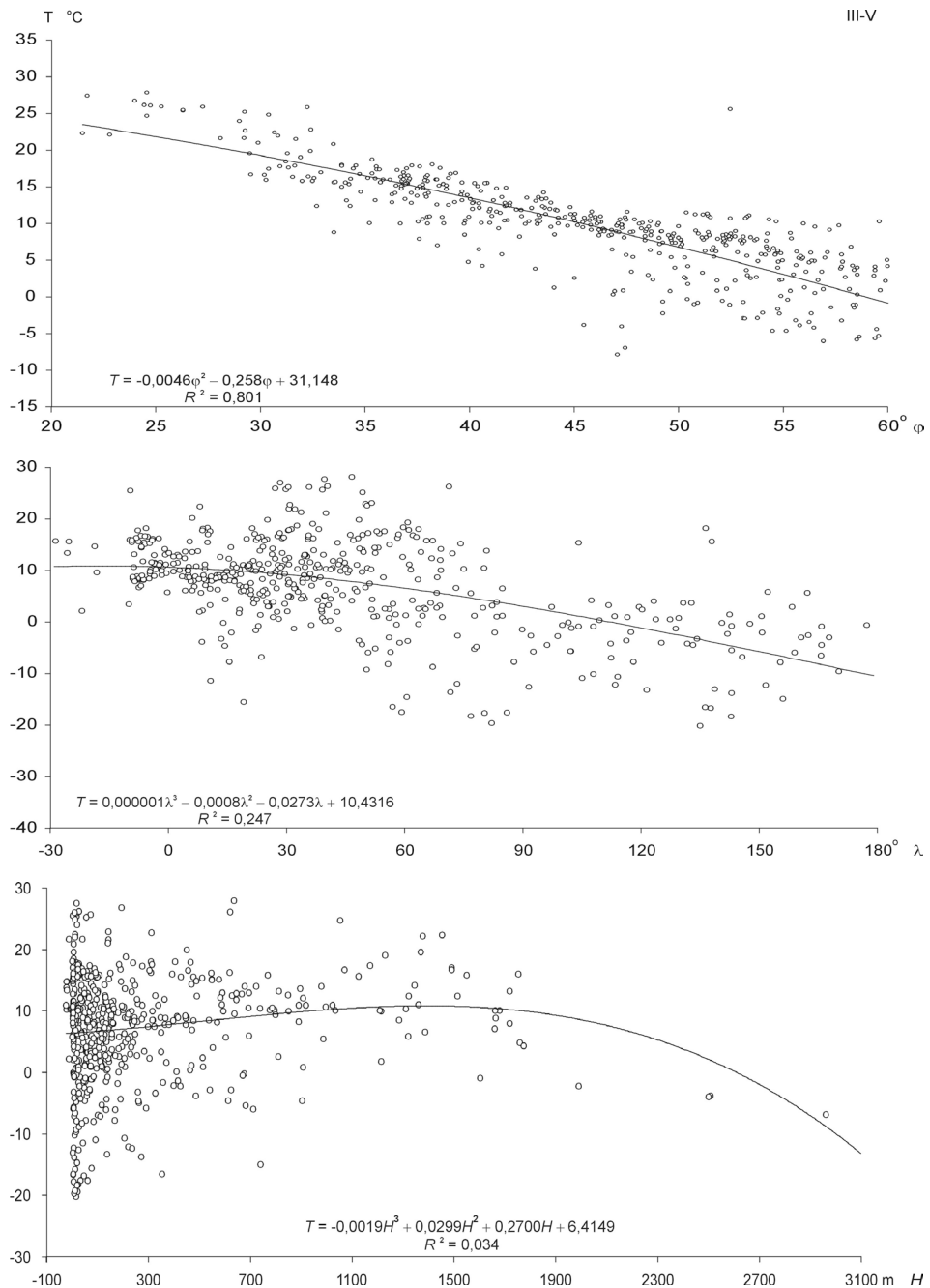


Rys. 5.23. Profile temperatury powietrza w Europie: południkowy $T(\phi)$, równoleżnikowy $T(\lambda)$, hipsometryczny $T(H)$ – grudzień

Fig. 5.23. Profiles of air temperature Europe: longitudinal $T(\phi)$, latitudinal $T(\lambda)$, hypsometric $T(H)$ – December

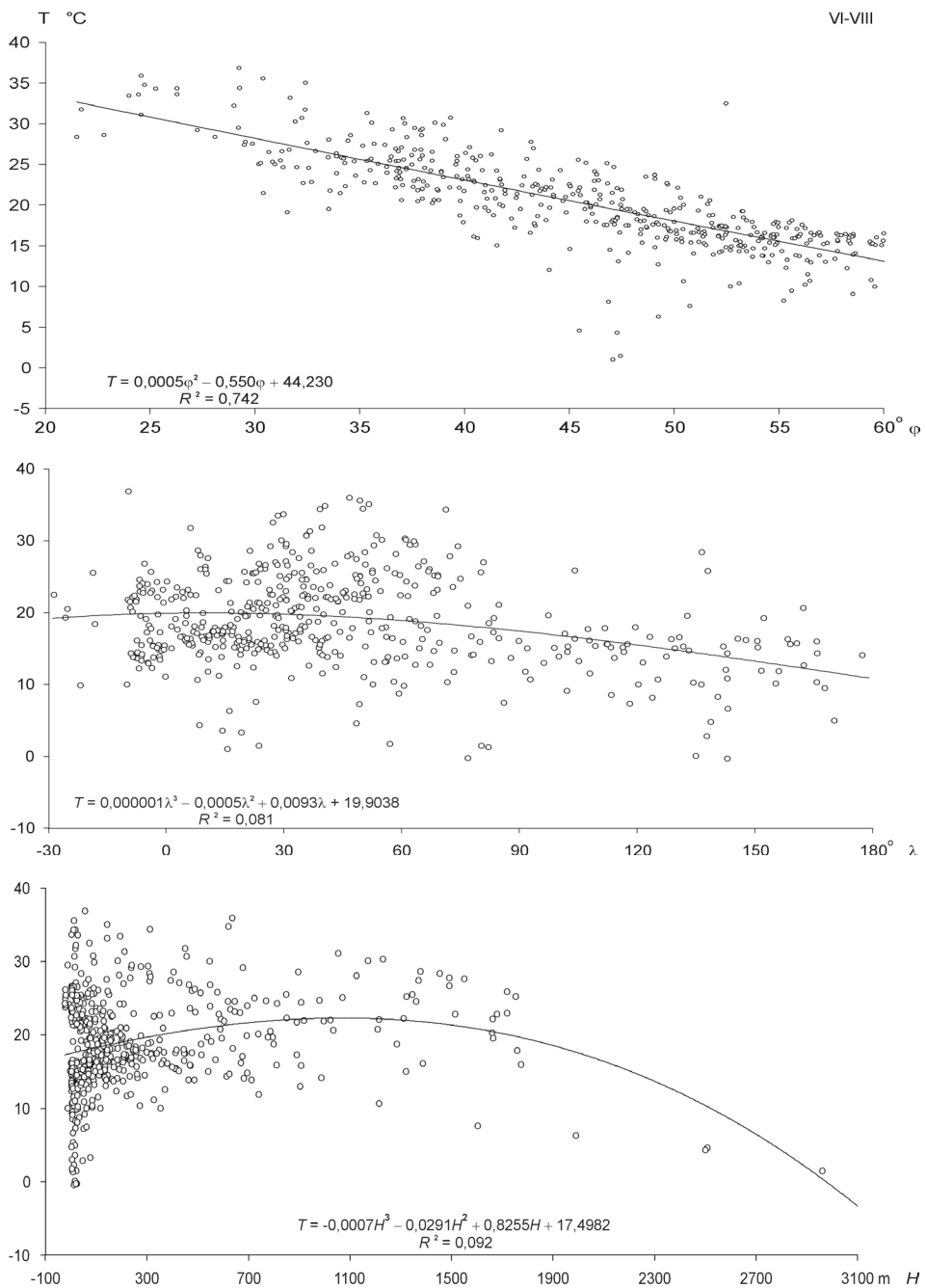


Rys. 5.24. Profile temperatury powietrza w Europie: południkowy $T(\phi)$, równoleżnikowy $T(\lambda)$, hipsometryczny $T(H)$ – zima
Fig. 5.24. Profiles of air temperature Europe: longitudinal $T(\phi)$, latitudinal $T(\lambda)$, hypsometric $T(H)$ – winter



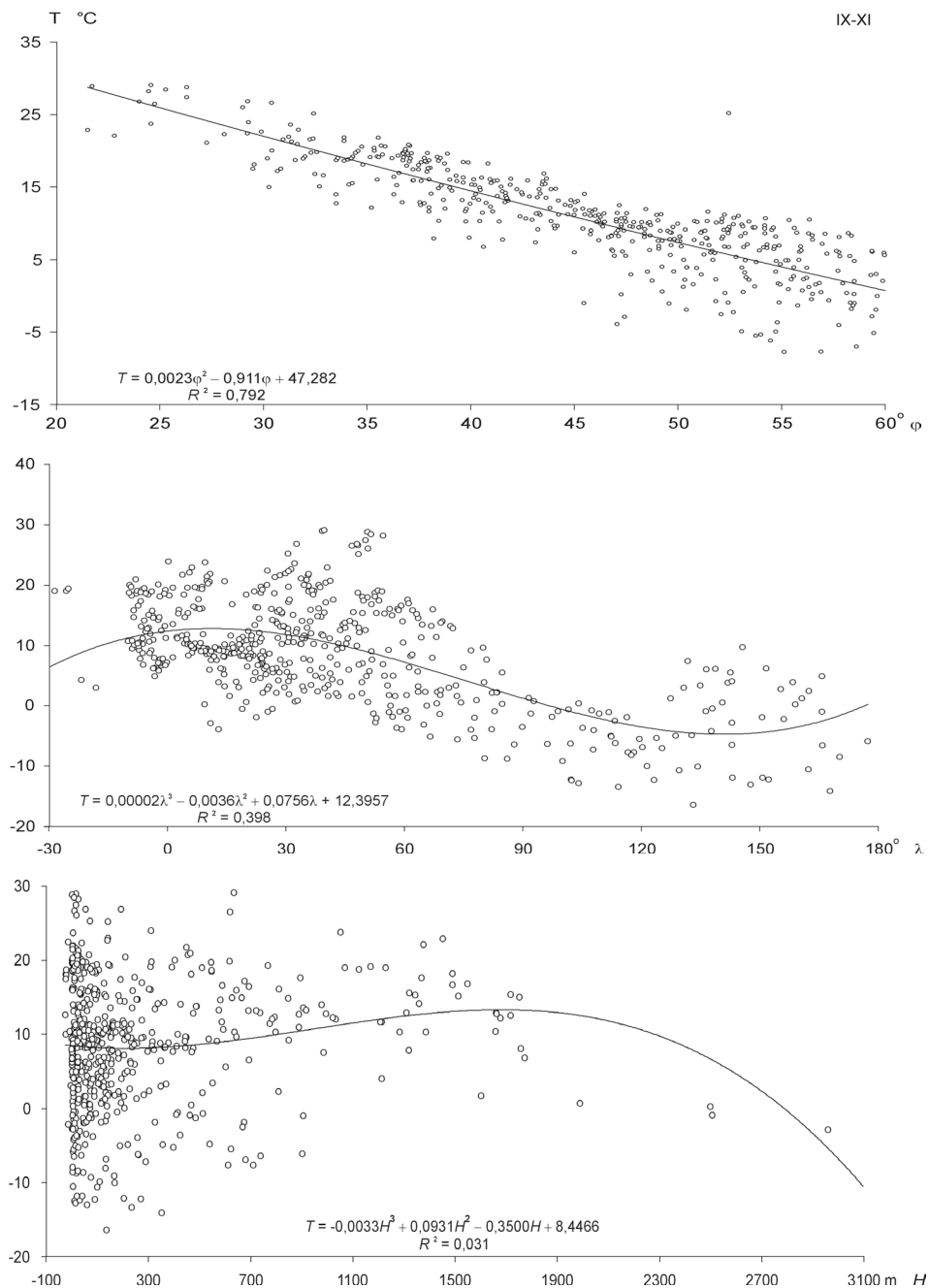
Rys. 5.25. Profile temperatury powietrza w Europie: południkowy $T(\phi)$, równoleżnikowy $T(\lambda)$, hipsometryczny $T(H)$ – wiosna

Fig. 5.25. Profiles of air temperature Europe: longitudinal $T(\phi)$, latitudinal $T(\lambda)$, hypsometric $T(H)$ – spring



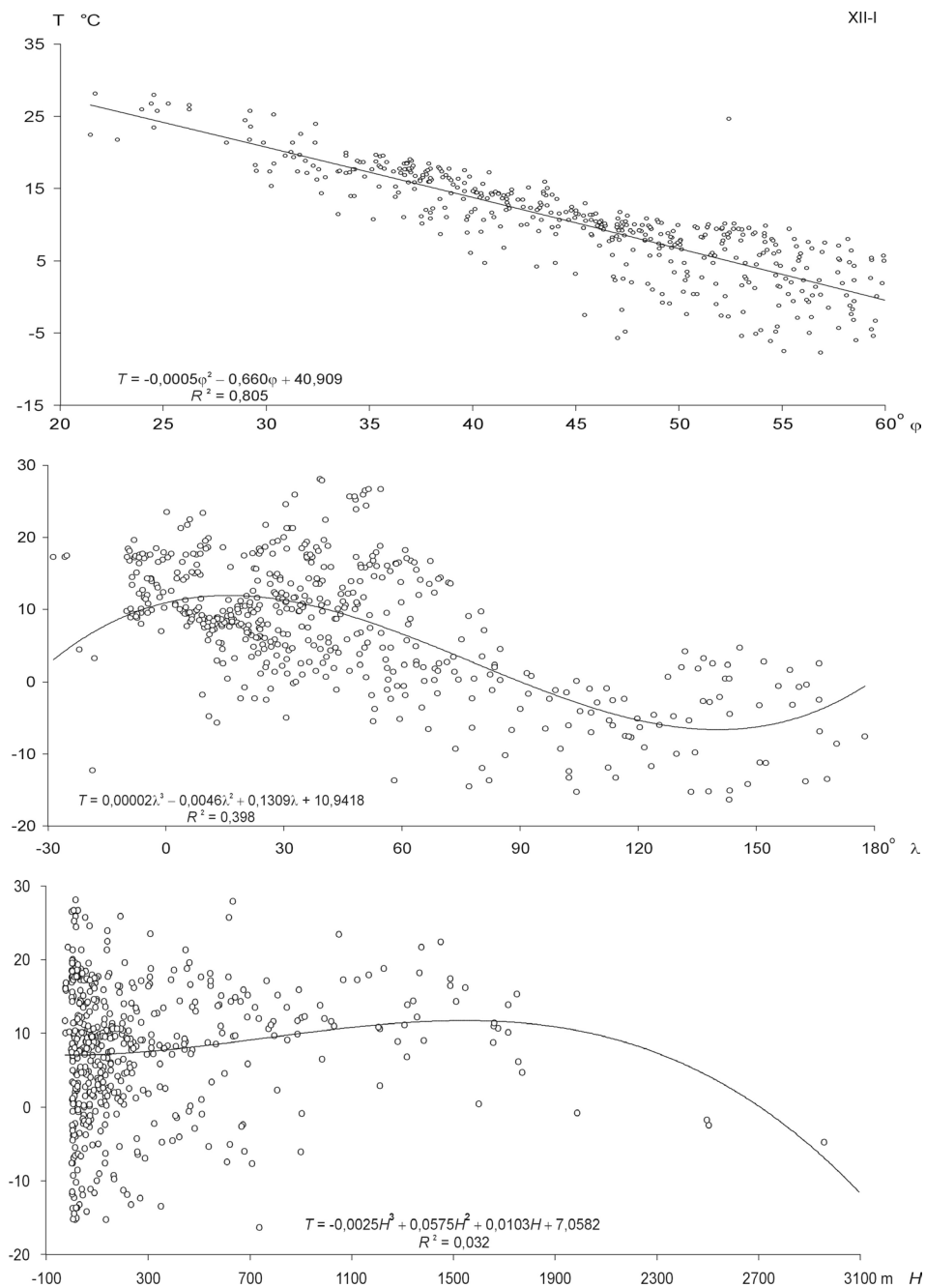
Rys. 5.26. Profile temperatury powietrza w Europie: południkowy $T(\varphi)$, równoleżnikowy $T(\lambda)$, hipsometryczny $T(H)$ – lato

Fig. 5.26. Profiles of air temperature Europe: longitudinal $T(\varphi)$, latitudinal $T(\lambda)$, hypsometric $T(H)$ – summer



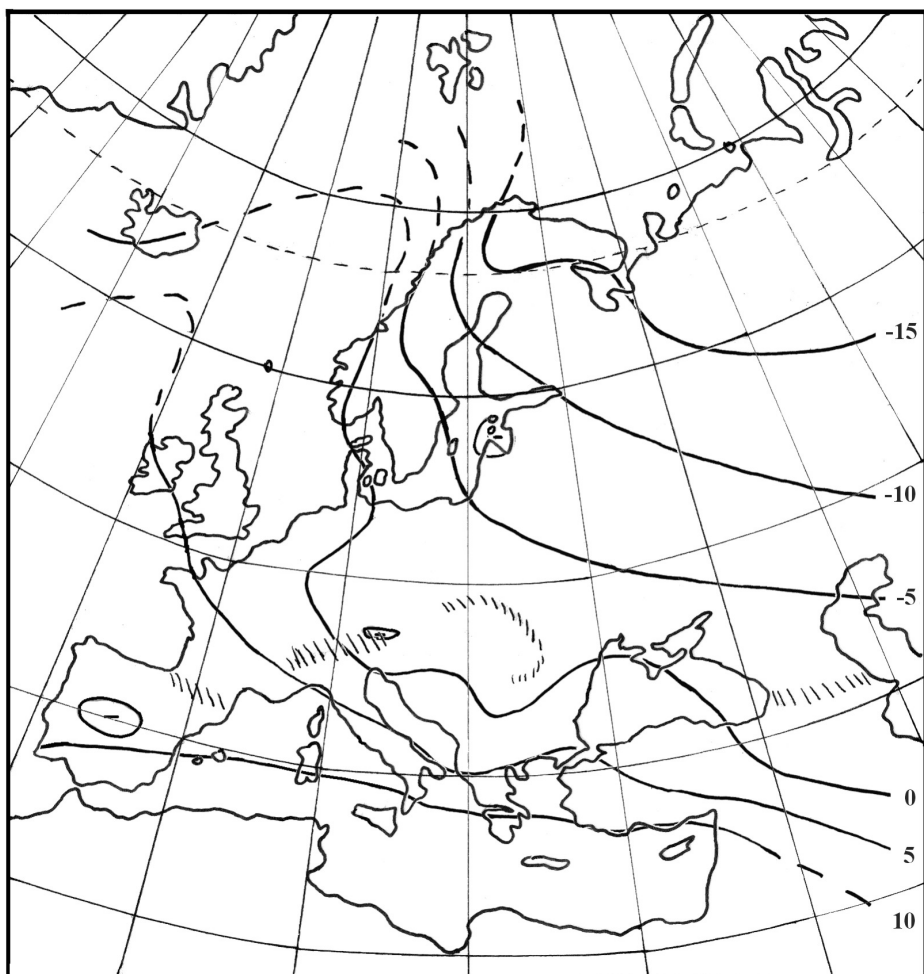
Rys. 5.27. Profile temperatury powietrza w Europie: południkowy $T(\phi)$, równoleżnikowy $T(\lambda)$, hipsometryczny $T(H)$ – jesień

Fig. 5.27. Profiles of air temperature Europe: longitudinal $T(\phi)$, latitudinal $T(\lambda)$, hypsometric $T(H)$ – autumn



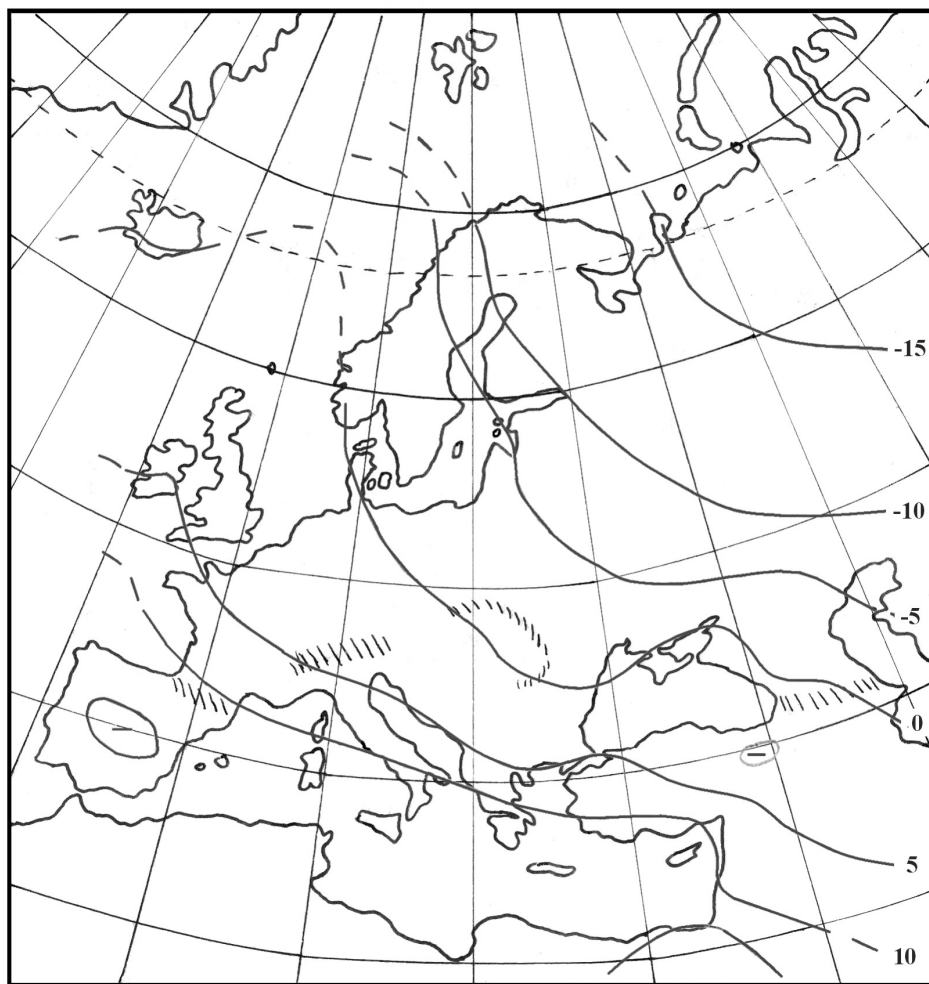
Rys. 5.28. Profile temperatury powietrza w Europie: południkowy $T(\phi)$, równoleżnikowy $T(\lambda)$, hipsometryczny $T(H)$ – rok

Fig. 5.28. Profiles of air temperature Europe: longitudinal $T(\phi)$, latitudinal $T(\lambda)$, hypsometric $T(H)$ – year



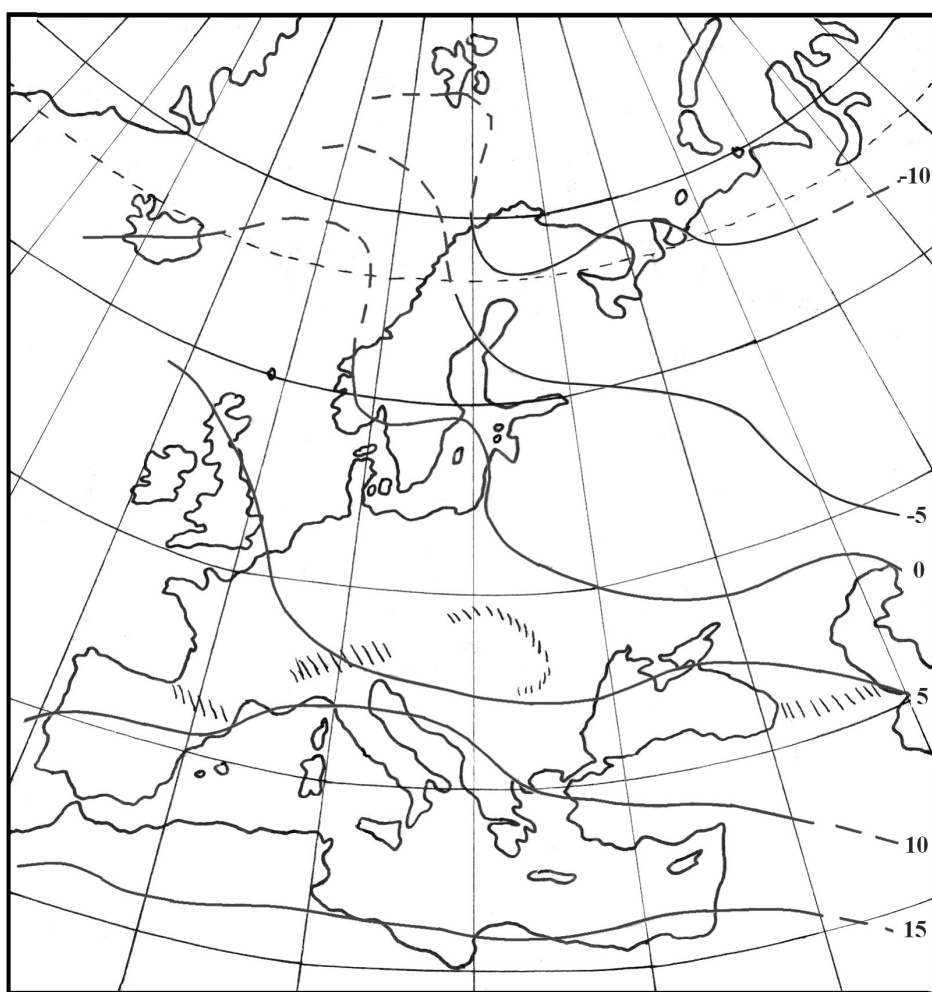
Rys. 5.29. Temperatura powietrza w Europie w latach 1961-1990 – styczeń
 Fig. 5.29. Air temperature in Europe in the years 1961-1990 – January

	<i>R</i>
$T = -0,5911 \varphi + 27,6908$	0,677
$T = -0,2206 \lambda + 4,0387$	0,562
$T = -0,0023H - 0,2310$	0,145
$T = -0,6772 \varphi - 0,2079 \lambda - 0,0053H + 37,91$	0,933



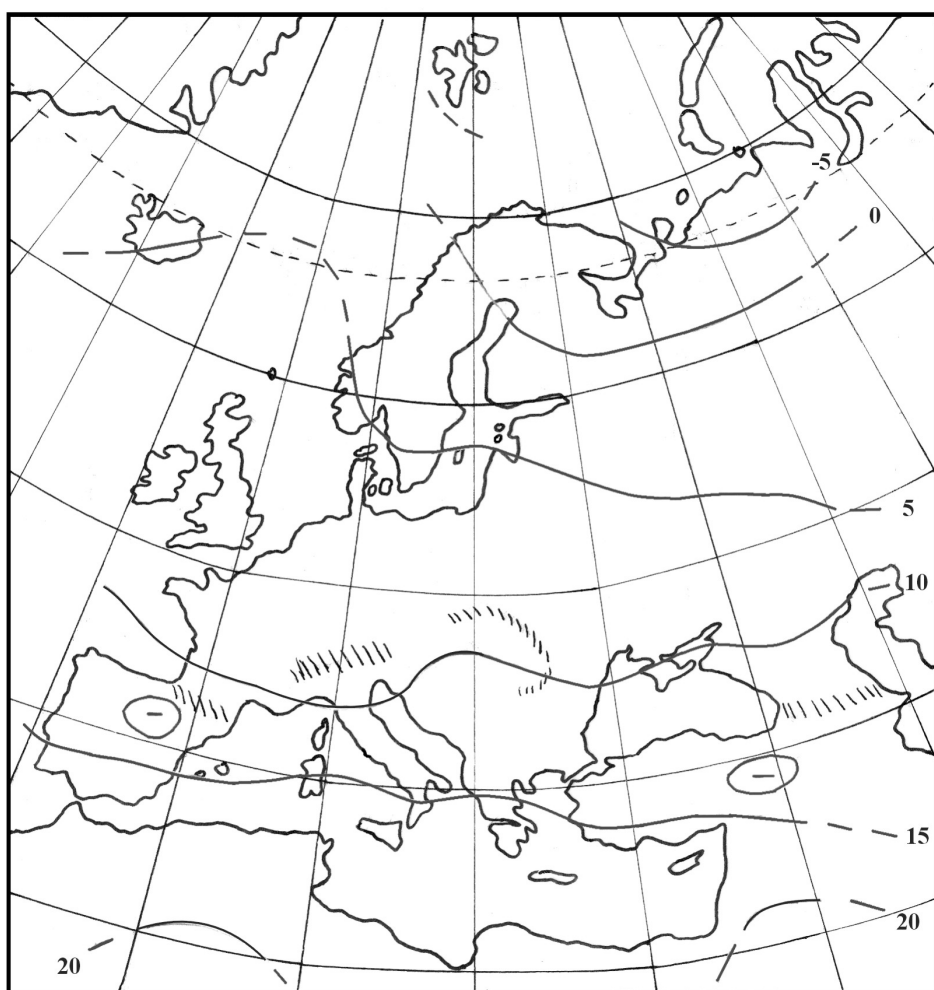
Rys. 5.30. Temperatura powietrza w Europie w latach 1961-1990 – luty
 Fig. 5.30. Air temperature in Europe in the years 1961-1990 – February

	<i>R</i>
$T = -0,5986 \varphi + 29,1995$	0,699
$T = -0,2111 \lambda + 4,9715$	0,548
$T = -0,0021H + 0,8639$	0,136
$T = -0,6829 \varphi - 0,1986 \lambda - 0,0051H + 39,09$	0,940



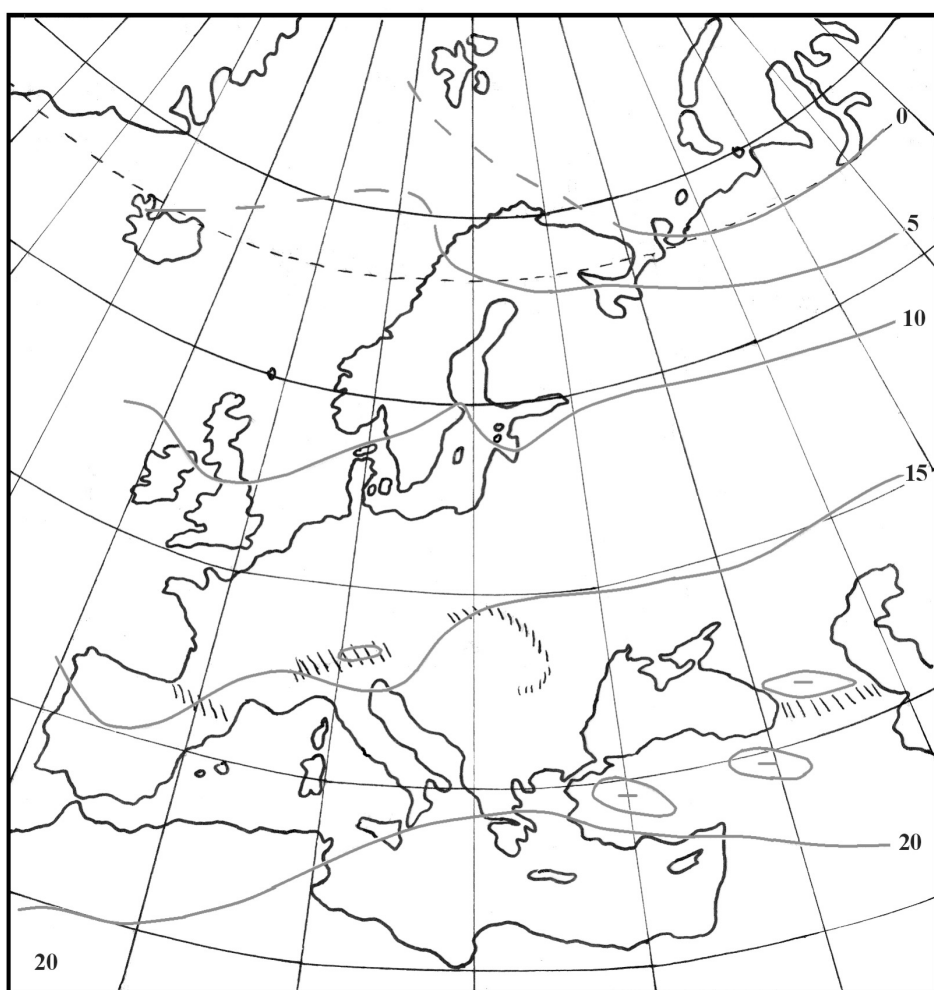
Rys. 5.31. Temperatura powietrza w Europie w latach 1961-1990 – marzec
 Fig. 5.31. Air temperature in Europe in the years 1961-1990 – March

	<i>R</i>
$T = -0,5370 \varphi + 29,7850$	0,757
$T = 0,1359 \lambda + 6,8609$	0,426
$T = -0,0020H + 4,3855$	0,153
$T = -0,6180 \varphi - 0,1239 \lambda - 0,0049H + 37,80$	0,939



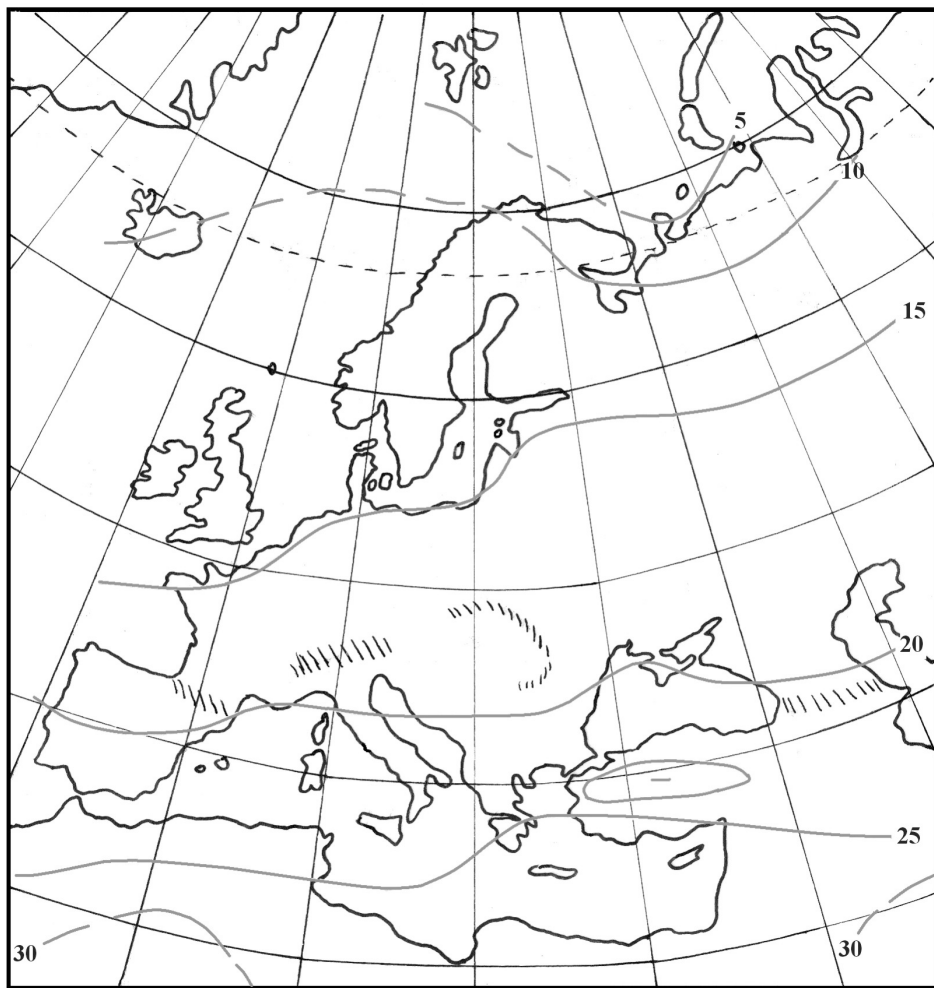
Rys. 5.32. Temperatura powietrza w Europie w latach 1961-1990 – kwiecień
 Fig. 5.32. Air temperature in Europe in the years 1961-1990 – April

	<i>R</i>
$T = -0,4790 \varphi + 31,9199$	0,805
$T = -0,0313 \lambda + 9,4726$	0,117
$T = -0,0022H + 9,3668$	0,198
$T = -0,5650 \varphi - 0,0187 \lambda - 0,0052H + 37,91$	0,931



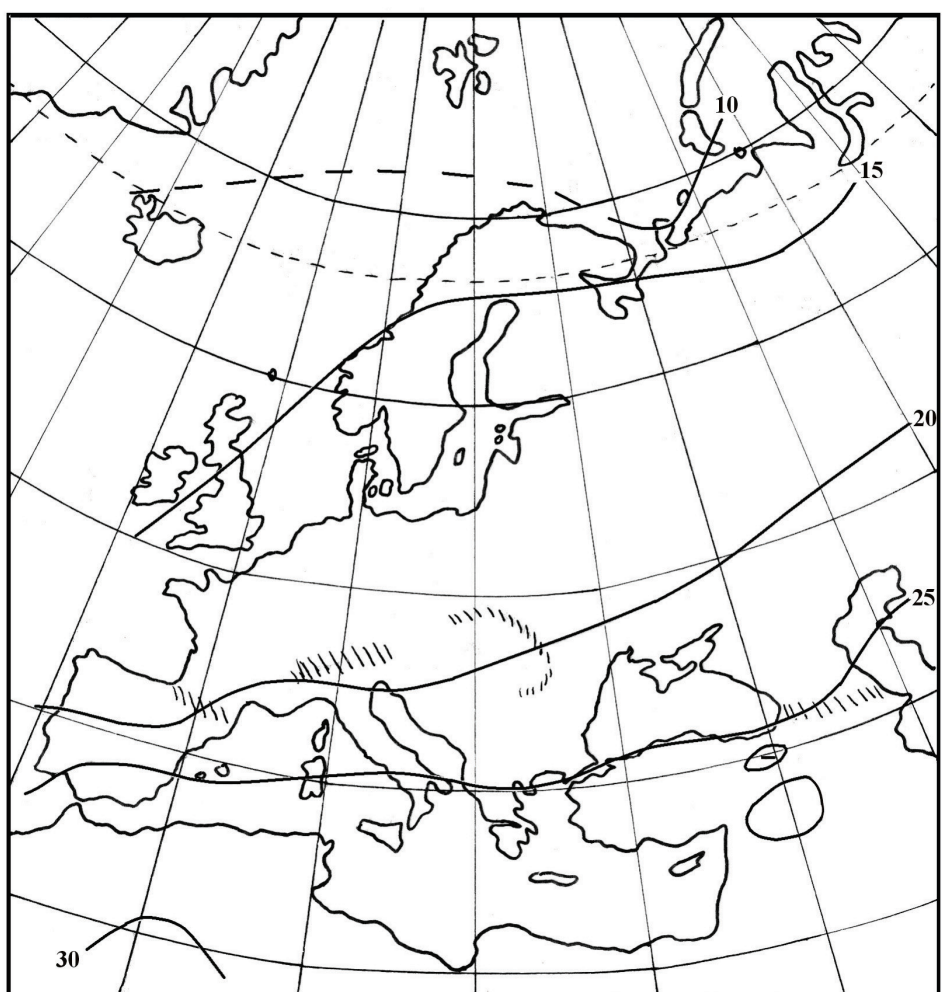
Rys. 5.33. Temperatura powietrza w Europie w latach 1961-1990 – maj
 Fig. 5.33. Air temperature in Europe in the years 1961-1990 – May

	<i>R</i>
$T = -0,4066 \varphi + 33,4619$	0,748
$T = 0,0322 \lambda + 13,1037$	0,132
$T = -0,0024H + 14,4757$	0,023
$T = -0,4944 \varphi + 0,0450 \lambda - 0,0053H + 38,15$	0,912



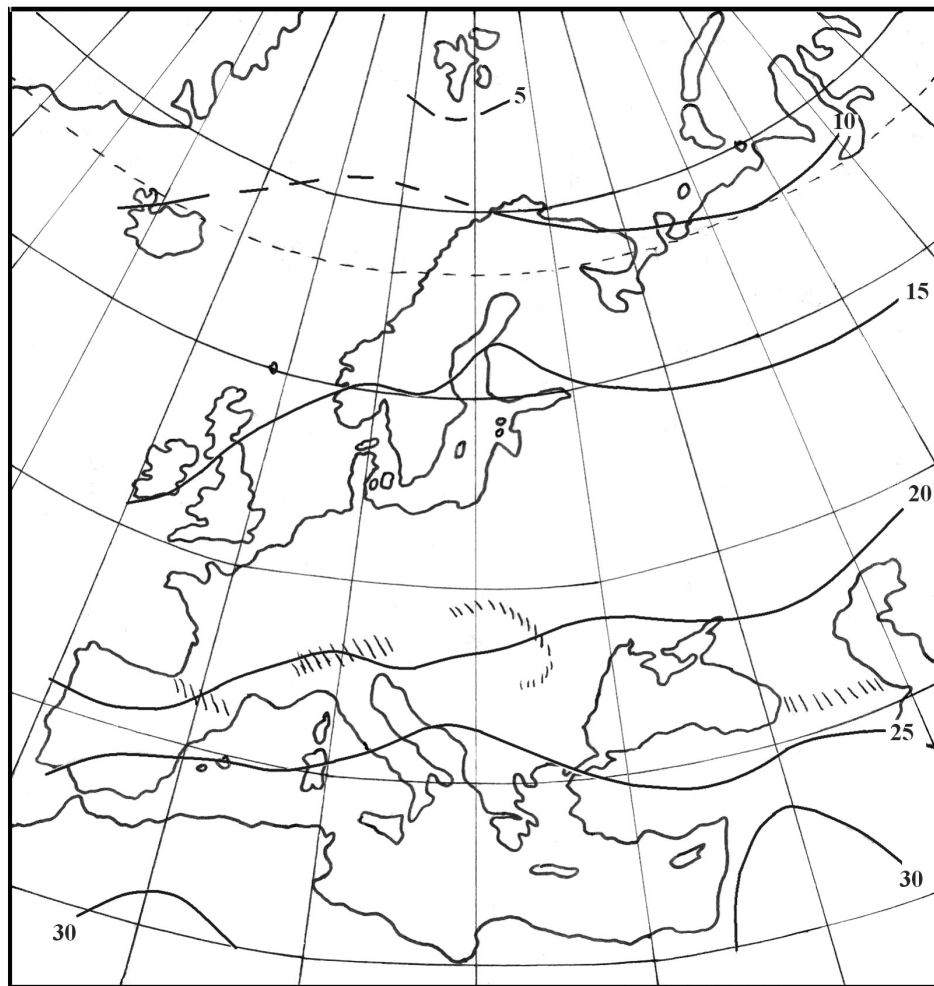
Rys. 5.34. Temperatura powietrza w Europie w latach 1961-1990 – czerwiec
 Fig. 5.34. Air temperature in Europe in the years 1961-1990 – June

	<i>R</i>
$T = -0,3985\varphi + 36,9458$	0,716
$T = 0,0686\lambda + 16,1697$	0,274
$T = -0,0022H + 18,3074$	0,023
$T = -0,4853\varphi + 0,0813\lambda - 0,0053H + 40,77$	0,909



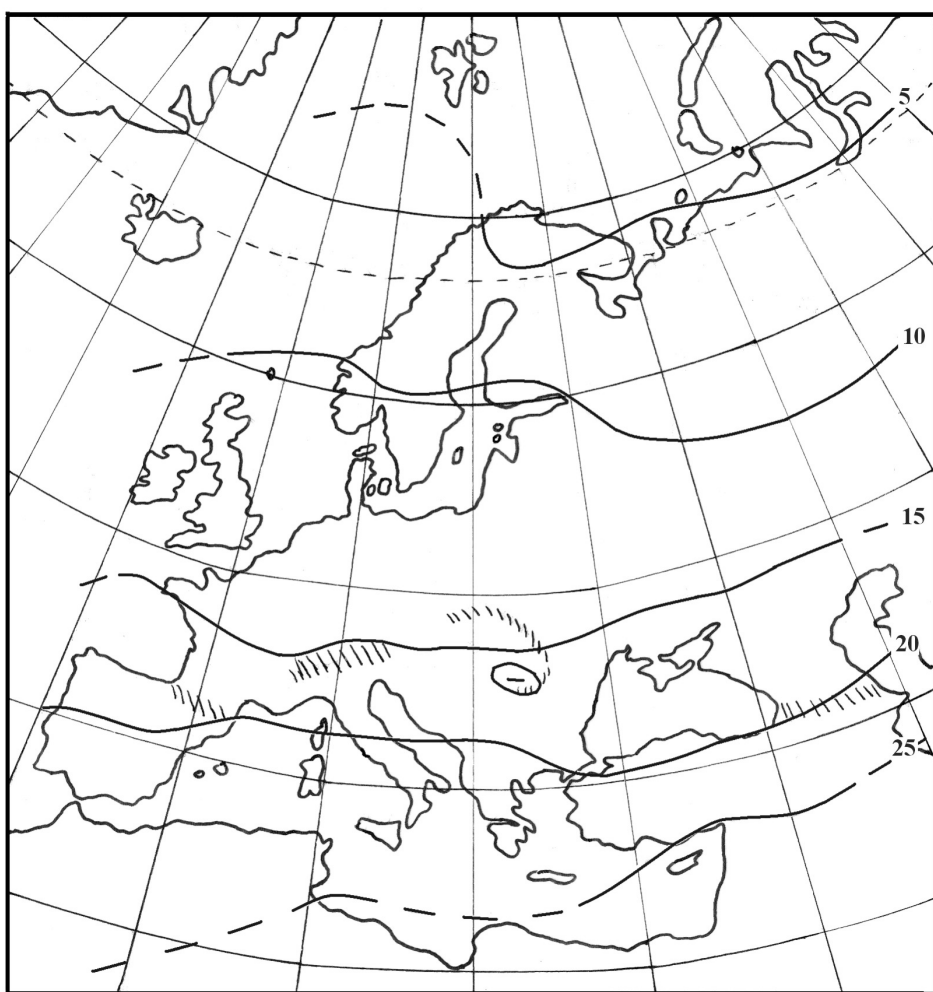
Rys. 5.35. Temperatura powietrza w Europie w latach 1961-1990 – lipiec
 Fig. 5.35. Air temperature in Europe in the years 1961-1990 – July

	<i>R</i>
$T = -0,4356 \varphi + 40,9831$	0,741
$T = 0,0898 \lambda + 17,9434$	0,340
$T = -0,0016H + 20,3751$	0,148
$T = -0,5158 \varphi + 0,1016 \lambda - 0,0049H + 43,93$	0,921



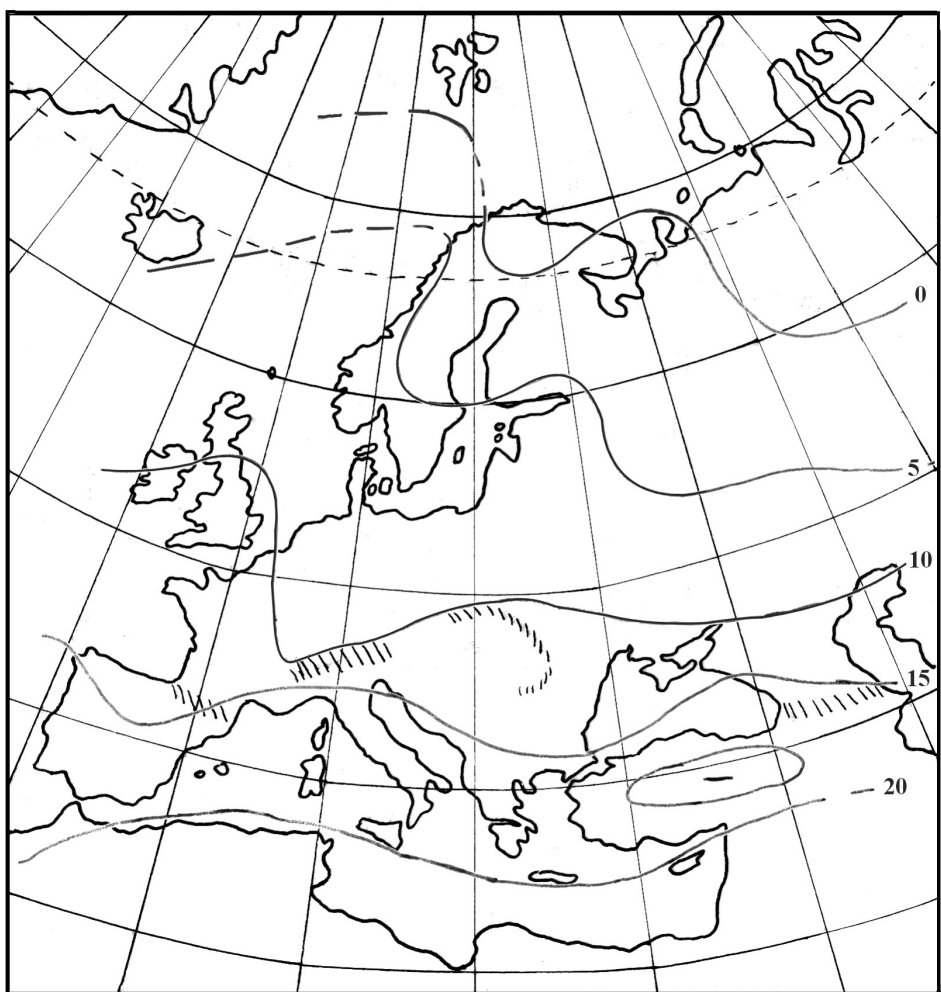
Rys. 5.36. Temperatura powietrza w Europie w latach 1961-1990 – sierpień
 Fig. 5.36. Air temperature in Europe in the years 1961-1990 – August

	<i>R</i>
$T = -0,4974 \varphi + 43,1338$	0,810
$T = 0,0656 \lambda + 17,6421$	0,238
$T = -0,0012H + 19,4389$	0,110
$T = -0,5756 \varphi + 0,0771 \lambda - 0,0047H + 46,49$	0,933



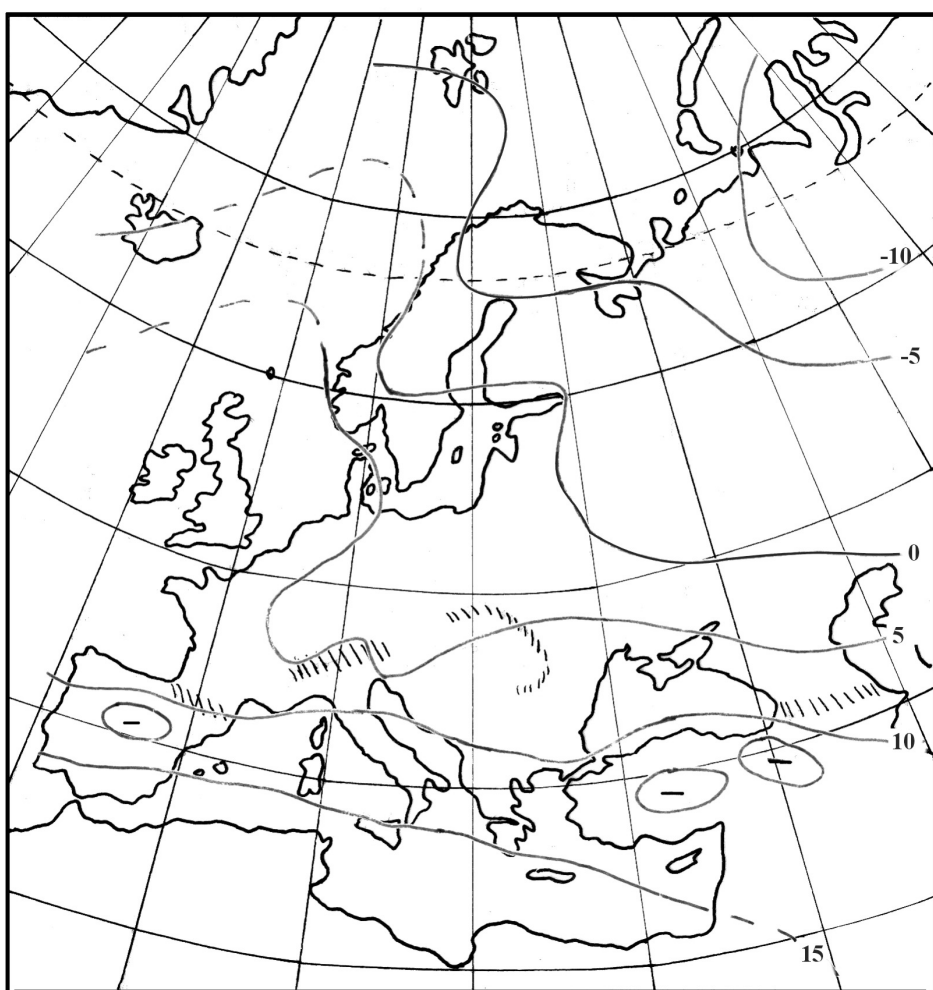
Rys. 5.37. Temperatura powietrza w Europie w latach 1961-1990 – wrzesień
 Fig. 5.37. Air temperature in Europe in the years 1961-1990 – September

	<i>R</i>
$T = -0,5462 \varphi + 41,7774$	0,864
$T = 0,0124 \lambda + 15,1146$	0,043
$T = -0,0011H + 15,6846$	0,093
$T = -0,6225 \varphi + 0,0236 \lambda - 0,0046H + 46,20$	0,944



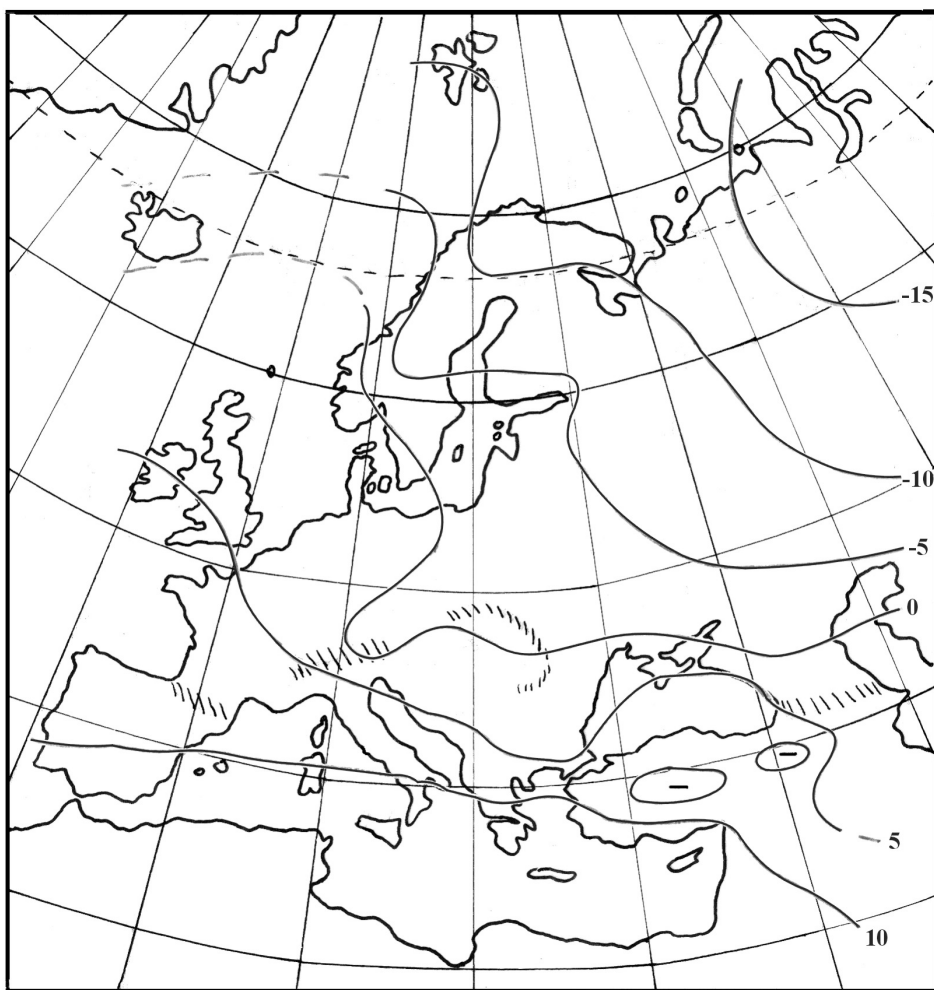
Rys. 5.38. Temperatura powietrza w Europie w latach 1961-1990 – październik
 Fig. 5.38. Air temperature in Europe in the years 1961-1990 – October

	<i>R</i>
$T = -0,5420 \varphi + 36,3903$	0,836
$T = -0,0554 \lambda + 11,4389$	0,190
$T = -0,0012H + 10,5422$	0,103
$T = -0,6154 \varphi - 0,0445 \lambda - 0,0045H + 42,15$	0,928



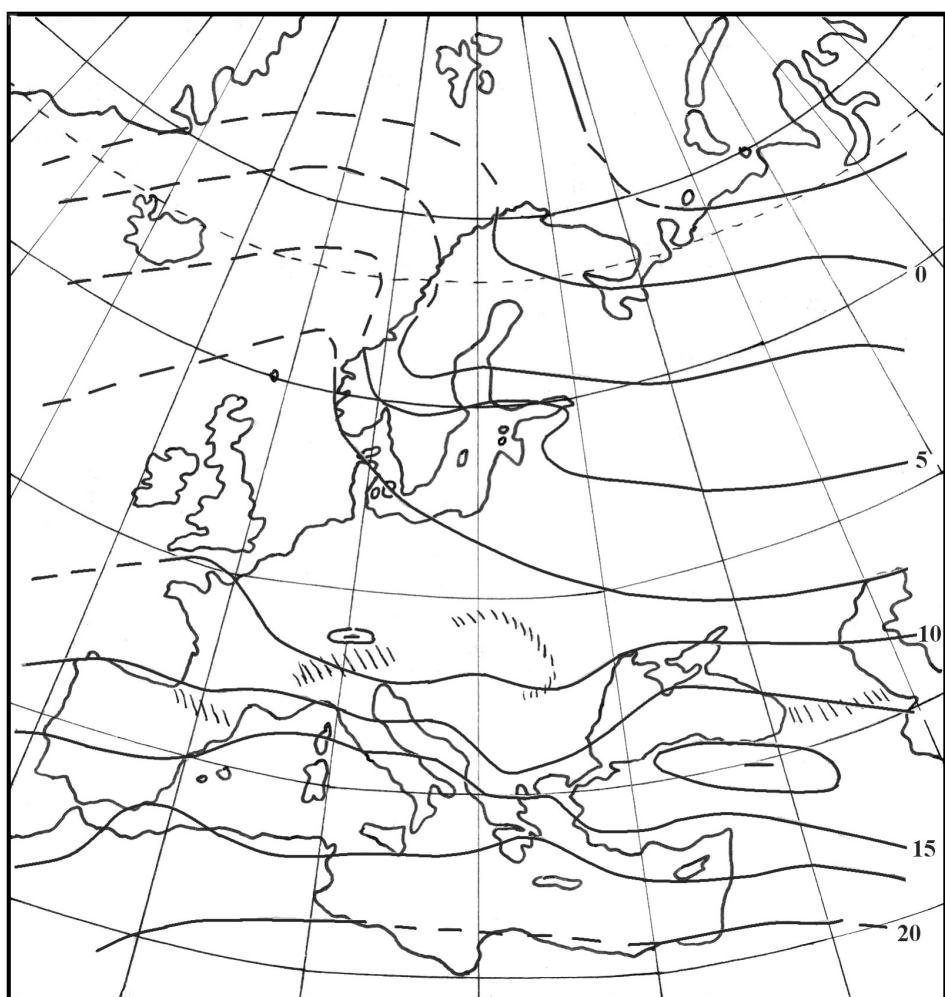
Rys. 5.38. Temperatura powietrza w Europie w latach 1961-1990 – listopad
 Fig. 5.38. Air temperature in Europe in the years 1961-1990 – November

	<i>R</i>
$T = 0,5513 \varphi + 31,7063$	0,792
$T = -0,1014 \lambda + 7,3249$	0,324
$T = -0,0018H + 5,5679$	0,143
$T = -0,6331 \varphi - 0,0893 \lambda - 0,0050H + 39,00$	0,932



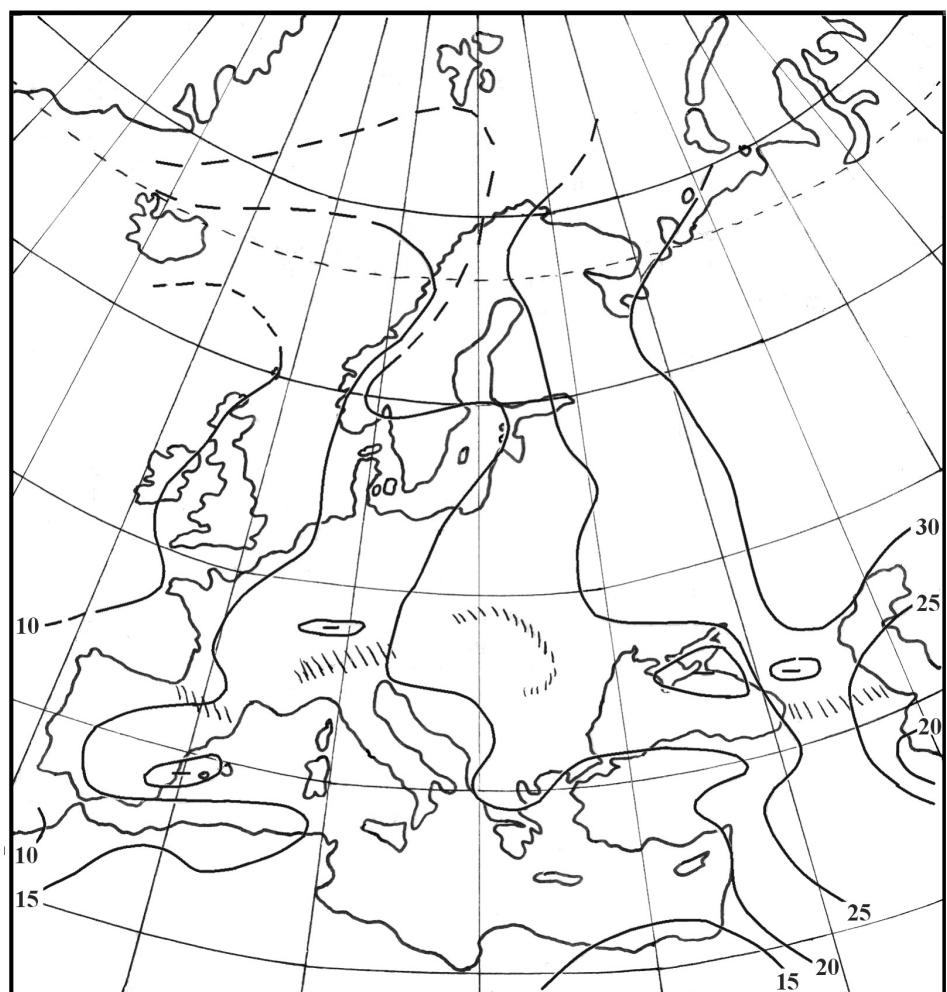
Rys. 5.39. Temperatura powietrza w Europie w latach 1961-1990 – grudzień
 Fig. 5.39. Air temperature in Europe in the years 1961-1990 – December

	<i>R</i>
$T = -0,5313 \varphi + 27,1417$	0,668
$T = -0,1831 \lambda + 5,5436$	0,512
$T = -0,0026H + 2,1888$	0,179
$T = -0,6195 \varphi - 0,1700 \lambda - 0,0054H + 36,65$	0,910



Rys. 5.40. Temperatura powietrza w Europie w latach 1961-1990 – rok
 Fig. 5.40. Air temperature in Europe in the years 1961-1990 – year

	<i>R</i>
$T = -0,5096 \varphi + 34,1780$	0,829
$T = -0,0559 \lambda + 10,8020$	0,202
$T = -0,0019H + 10,0805$	0,169
$T = -0,5921 \varphi - 0,0437 \lambda - 0,0050H + 40,50$	0,952



Rys. 5.40. Amplituda roczna temperatury powietrza w Europie w latach 1961-1990
 Fig. 5.40. Annual amplitude of air temperature in Europe in the years 1961-1990

	<i>R</i>
$A = 0,1514 \varphi + 13,4277$	0,037
$A = 0,2946 \lambda + 14,1751$	0,688
$A = 0,0315H + 20,6617$	0,0005
$A = -0,0011 \varphi + 0,2947 \lambda + 0,1518H + 6,8351$	0,725

VI. ZAKOŃCZENIE

Ochłodzenia i ocieplenia klimatu są kształtowane wahaniem dopływu energii słonecznej do powierzchni Ziemi, zależnej od stałej słonecznej i zawartości pyłów wulkanicznych w atmosferze – pochłaniających i rozpraszających promieniowanie słoneczne. Cyrkulacja atmosferyczna warunkuje transport magazynowanej głównie w strefie międzywrotnikowej, energii słonecznej w stronę biegunów.

Temperatura powietrza w Europie (i Polsce) cechuje się cyklicznością około 8-, 11-, 100- i 180-letnią. Cykle wyznaczono metodą „sinusoid regresji” J. Boryczki ($T = a_0 + b \sin(2\pi t/\Theta + c)$, gdzie: Θ – okres, b – amplituda, c – przesunięcie fazowe).

W Europie (i w Polsce) dominują około 8-letnie okresy temperatury powietrza o dużych amplitudach $\Delta T = 2b = T_{\max} - T_{\min}$ (°C). Na przykład w styczniu wynoszą one: Warszawa – 8,3 (1,28°C), Kraków – 8,3 (1,38°C), Wrocław – 8,3 (1,50°C), Lwów – 8,3 (1,28°C), Praga – 7,8 (1,52°C), Berlin – 7,7 (1,94°C), Genewa – 8,4 (0,84°C), Wiedeń – 7,8 (1,10°C), Rzym – 7,3 (0,0,76°C), Sztokholm – 6,6 (1,48°C), Kopenhaga – 7,8 (0,62°C), Moskwa – 9,3 lat (1,60°C). W lipcu okresowość jest zbliżona, lecz amplitudy są prawie o połowę mniejsze.

Dużą rolę w kształtowaniu klimatu odgrywają długie cykle: 102- i 187-letni aktywności Słońca. Analogiczne okresy są obecne w seriach pomiarowych temperatury powietrza: Oto okresy około 100-letnie temperatury powietrza w Europie w styczniu: Warszawa – 116,1, Kraków – 102,0, Wrocław – 129,0, Lwów – 118,0, Praga – 148,0, Wiedeń – 90,2, Bazylea – 127,2, Kopenhaga – 87,0, Anglia – 95,1, Sztokholm – 97,8, Greenwich – 98,8 lat. Zbliżona okresowość około 100-letnia występuje również w lipcu: Warszawa – 102,0, Praga – 117,3, Wiedeń – 94,3, Bazylea – 89,6, Ryga – 115,5, Greenwich – 79,9 lat

W najdłuższych seriach pomiarowych są obecne także okresy prawie dwuwiekowe, zbliżone do okresu planetarnego 178,9 lat, po upływie którego powtarzają się wartości parametrów Układu Słonecznego. Na przykład: Kraków (lipiec – 179,8), Lwów (lipiec – 158,8), Berlin (styczeń – 236,9, lipiec – 154,4), Kopenhaga (lipiec – 175,2), Anglia śród-

kowa (styczeń – 191,1), Uppsala (styczeń – 193,3), Innsbruck (styczeń – 164,2), Trondheim (styczeń – 207,7 lat).

Tendencje temperatury powietrza (a), określone równaniami prostych regresji $T = a_0 + at$ w zimie są na ogół rosnące: Warszawa (1779-1998) – styczeń (1,36°C/100 lat), lipiec 0,15°C/100 lat), Kraków (1827-1997) – styczeń (1,71°C), lipiec (0,33°C), Lwów (1824-2002) – styczeń (0,53°C), lipiec (0,22°C), Berlin (1769-1990) – styczeń (1,12°C), lipiec (0,33°C), Genewa (1769-1980) – styczeń (1,23°C), lipiec (0,08°C), Wiedeń (1775-2002) – styczeń (0,84°C), lipiec (0,02°C), Rzym (1811-1969) – styczeń (0,36°C), lipiec (0,08°C), Sztokholm (1756-1994) – styczeń (1,12°C), lipiec (0,11°C), Kopenhaga (1768-1991) – styczeń (0,94°C), lipiec (0,01°C), Moskwa (1881-2002) – styczeń (3,54°C), lipiec (0,92°C).

W Europie (i Polsce) przede wszystkim zimy są coraz cieplejsze. Nie wiadomo, jaka część postępującego ocieplenia klimatu jest efektem oddziaływanego czynników naturalnych, a jaka – czynników antropogenicznych. Ocieplenie klimatu w XIX-XX wieku może być wywołane wzrostem aktywności Słońca i spadkiem aktywności wulkanicznej na Ziemi.

Na klimat Europy (i Polski) dominujący wpływ mają dwa główne centra pola ciśnienia atmosferycznego: Niż Islandzki i Wyż Azorski. Te dwa centra ciśnienia związane z różnicą temperatury między wodą Atlantyku Północnego i lądem są w ciągu roku ze sobą ujemnie skorelowane (North Atlantic Oscillation, NAO). Wskaźnik NAO w latach 1825-2000 cechuje się okresowością 8-letnią, kilkunastoletnią i 106,3-letnią.

Zmienność wiekową temperatury powietrza w zimie i lecie w 40 miejscowościach europejskich scharakteryzowano, zestawiając po 10 najmroźniejszych i najłagodniejszych styczniów oraz po 10 najcieplejszych i najchłodniejszych lipców.

Najmroźniejsze stycznie w Europie wystąpiły: Warszawa – 1838 (-13,5°C), 1963 (-11,5), Kraków – 1848 (-12,4), 1963 (-10,0), Wrocław – 1803 (-11,9), 1830 (-11,6), 1963 (-10,6), Moskwa – 1893 (-21,7), 1942 (-20,3), Lwów – 1942 (-12,6), 1838 (-12,3), Ryga – 1803 (-17,1), Wilno – 1803 (-19,1°C). Najcieplejsze pory letnie wystąpiły: Warszawa – 1796 (3,5), 1983 (3,4), Kraków – 1921 (3,5), Moskwa – 1983 (-4,1) Lwów – 1936 (2,4) Ryga – 1989 (2,5) Wilno – 1989 (1,1).

Rekonstrukcje i prognozy otrzymano na podstawie interferencji wykrytych cykli temperatury powietrza $y = a_0 + \sum b_j \sin(2\pi t/\Theta_j + c_j)$, gdzie: Θ_j , b_j , c_j – to parametry istotnych statystycznie cykli (na poziomie istotności 0,05). W prognozach przyjęto założenie, że ekstrema wyznaczonych cykli o dość dużych amplitudach (istotnych) będą się powtarzać nadal, tak jak w XVIII-XX wieku. Według tych prognoz, w XXI wieku można oczekiwać ochłodzenia – zwłaszcza więcej mroźnych zim.

Pole temperatury powietrza w latach 1961-1990 opisano wielomianami regresji liniowej i nieliniowej $T = f(\varphi, \lambda, H)$ względem trzech współrzędnych: szerokości geograficznej φ , długości geograficznej λ i wysokości nad poziomem morza H . Dobrym na-

rzędziem badań ogólnych cech klimatu Europy okazało się równanie hiperpłaszczyzny regresji (wielomian pierwszego stopnia):

$$T = a_0 + a_1\varphi + a_2\lambda + a_3H.$$

Współczynniki regresji cząstkowej a_1, a_2, a_3 – to gradienty: południkowy, w $^{\circ}\text{C}/1^{\circ}\varphi$, równoleżnikowy, w $^{\circ}\text{C}/1^{\circ}\lambda$, hipsometryczny, w $^{\circ}\text{C}/100 \text{ m}$.

Gradient południkowy (a_1) wskazuje o ile zmienia się temperatura powietrza wzduż południka, gdy przesuniemy się ku północy o $1^{\circ}\varphi$. Gradient równoleżnikowy (a_2) wyraża przyrost temperatury powietrza ku wschodowi, gdy odległość (λ) od Oceanu Atlantyckiego wzrośnie o $\Delta\lambda = 1^{\circ}$. Natomiast gradient hipsometryczny (a_3) jest miarą zmian temperatury powietrza ze wzrostem wysokości. n.p.m. o 100 m.

Nowością w badaniach klimatu Europy są mapy gradientów: południkowych $\frac{\partial T}{\partial \Phi}$, równoleżnikowych $\frac{\partial T}{\partial \Lambda}$ i hipsometrycznych $\frac{\partial T}{\partial H}$ przedstawione w t. VIII Atlasu (Sto-
pa-Boryczka, Boryczka i in., 1994). Żeby wyznaczyć średni gradient pola temperatury powietrza w Europie opisano je wielomianem regresji pierwszego stopnia względem szerokości Φ i długości geograficznej Λ , wyrażonych w setkach km oraz wysokości n.p.m. H – w hm:

$$T = A_0 + A_1\Phi + A_2\Lambda + A_3H$$

Tak zdefiniowane gradienty oddzielają wpływ szerokości geograficznej (Φ), długości geograficznej Λ (odległości od Oceanu Atlantyckiego) i wysokości nad poziomem morza H na temperaturę powietrza.

SUMMARY

Climate cooling and warming processes are shaped by the fluctuations of solar energy reaching the surface of Earth, which depends on the solar constant and the volcanic ashes content in the atmosphere, absorbing and dispersing solar radiation.

Atmospheric circulation conditions the transport of solar energy in the direction of poles. The energy is mainly stored around equator.

Air temperature in Europe (and Poland) is characterised by the cycles of ca. 8, 11, 100 and 180 years. The cycles have been determined using the J. Boryczko's "sine curve regression" method ($T = a_0 + b \sin(2\pi t/\Theta + c)$, where: Θ – okres, b – amplitude, c – phase shift).

Europe (and Poland) mainly features ca. 8-year air temperature periods of large amplitudes $\Delta T = 2b = T_{\max} - T_{\min}$ (°C.) For January they are e.g.: Warsaw – 8.3 (1.28°C), Krakow – 8.3 (1.38°C), Wrocław – 8.3 (1.50°C), Lwów – 8.3 (1.28°C), Prague – 7.8 (1.52°C), Berlin – 7.7 (1.94°C), Geneva – 8.4 (0.84°C), Vienna – 7.8 (1.10°C), Rome – 7.3 (0.76°C), Stockholm – 6.6 (1.48°C), Copenhagen – 7.8 (0.62°C), Moscow – 9.3 lat (1.60°C). In the summer the periodicity is similar, however, the amplitudes are almost half smaller.

Big role in shaping the climate is played by the long cycles: 102- and 187-year Sun activity period. Analogical periods can be observed in the air temperature measurement series. Ca. 100-year periods for air temperature in Europe in January are as follows: Warsaw – 116.1, Krakow – 102.0, Wrocław – 129.0, Lwów – 118.0, Prague – 148.0, Vienna – 90.2, Basel – 127.2, Copenhagen – 87.0, England – 95.1, Stockholm – 97.8, Greenwich – 98.8 lat. Similar periodicity of ca. 100 years occurs also in the July: Warsaw – 102.0, Prague – 117.3, Vienna – 94.3, Basel – 89.6, Ryga – 115.5, Greenwich – 79.9 lat

The longest measurement series also feature the almost two-way periods, close to the planetary period of 178.9 years, after which the Solar System parameter values reoccur. For instance: Krakow (July – 179.8), Lwów (July – 158.8), Berlin (January – 236.9, July – 154.4), Copenhagen (July – 175.2), England (January – 191.1), Uppsala (January – 193.3), Innsbruck (January – 164.2), Trondheim (January – 207.7 years).

Air temperature tendency (a), calculated for winter using the simple regression equations $T = a_0 + at$ are mainly ascending: Warsaw (1779-1998) – January (1.36 °C/100 lat),

July $0.15^{\circ}\text{C}/100$ lat), Krakow (1827-1997) – January (1.71°C), July (0.33°C), Lwow (1824-2002) – January (0.53°C), July (0.22°C), Berlin (1769-1990) – January (1.12°C), July (0.33°C), Geneva (1769-1980) – January (1.23°C), July (0.08°C), Vienna (1775-2002) – January (0.84°C), July (0.02°C), Rome (1811-1969) – January (0.36°C), July (0.08°C), Stockholm (1756-1994) – January (1.12°C), July (0.11°C), Copenhagen (1768-1991) – January (0.94°C), July (0.01°C), Moscow (1881-2002) – January (3.54°C), July (0.92°C).

In Europe (and Poland) it is mainly the winters which are getting warmer. It is not known which part of the unfolding warming process is caused by natural factors and which results from the anthropogenic factors. Climate warming of the 19th. and 20th Century may have been caused by an increased Sun activity and declining volcanic activity on Earth.

Europe's (and Poland's) climate is mainly influenced by the two major atmospheric pressure centres: Island Low and Azorean High. These two pressure centres, related to temperature amplitudes between the waters of North Atlantic and the land, are negatively inter-correlated (North Atlantic Oscillation, NAO). The NAO indicator between 1825-2000 features the following periodicities: 8 years, dozen years and 106.3 years.

Century variability of winters and years in the 40 European cities was characterised comparing the 10 frostiest January and the 10 warmest and coldest July .

The frostiest Januaries in Europe occurred in: Warsaw – 1838 (-13.5°C), 1963 (-11.5), Krakow – 1848 (-12.4), 1963 (-10.0), Wroclaw – 1803 (-11.9), 1830 (-11.6), 1963 (-10.6), Moscow – 1893 (-21.7), 1942 (-20.3), Lwow – 1942 (-12.6), 1838 (-12.3), Ryga – 1803 (-17.1), Wilno – 1803 (-19.1°C). The warmest Julys periods were in: Warsaw – 1796 (3.5), 1983 (3.4), Krakow – 1921 (3.5), Moscow – 1983 (-4.1) Lwów – 1936 (2.4) Ryga – 1989 (2.5) Wilno – 1989 (1.1).

Reconstructions and forecasts have been obtained on the basis of interferences of the detected air temperature cycles $y = a_0 + \sum b_j \sin(2\pi t/\Theta_j + c_j)$, where Θ_j , b_j , c_j are the parameters of the statistically vital cycles (at the importance level of 0.05). It has been assumed in forecasts that the extremes of the determined cycles of large (importance) amplitudes will continue to reoccur, as in the 18th. and 20th. Century. According to these forecasts, 21th. Century is likely to witness a cooling process with an increasing number of frosty winters.

To this end, the air temperature field in Europe was described using empirical models, i.e. polynomials of regression of the first degree $T =$ with regard to three coordinates: latitude φ , longitude λ and altitude above sea level H . The equation of the regression hyperplane has been a good tool for the investigation of general features of Europe's climate:

$$T = a_0 + a_1\varphi + a_2\lambda + a_3H$$

Coefficients of partial regression a_1 , a_2 , a_3 – are components of gradients of the air temperature field: a_1 – meridional gradient, in $^{\circ}\text{C}/1^{\circ}\varphi$; a_2 – latitudinal gradients, in $^{\circ}\text{C}/1^{\circ}\lambda$; a_3 – hypsometric gradient, in $^{\circ}\text{C}/100$ m.

LITERATURA

- Baranowski D., 2001, *Zróżnicowanie warunków atmosferycznych w Polsce w zależności od typu cyrkulacji*, (maszynopis rozprawy doktorskiej), Warszawa.
- Barnston A.G., Livezey R.E., 1987, *Classification, seasonality and persistence of low-frequency atmospheric circulation patterns*, Mon. Wea. Rev., t. 115, s. 1083-1126.
- Boryczka J., 1984, *Model deterministyczno-stochastyczny wielookresowych zmian klimatu*, Rozprawy Uniwersytetu Warszawskiego, Nr 234, Warszawa.
- Boryczka J., 1993, *Naturalne i antropogeniczne zmiany klimatu Ziemi w XVII-XXI wieku*, Wyd. UW, Warszawa.
- Boryczka J., 1998, *Postęp badań współczesnych wahań klimatu w drugiej połowie XX wieku*, Prace i Studia Geograficzne, t. 22, Wyd. WGSR UW, Warszawa.
- Boryczka J., 1998, *Zmiany klimatu Ziemi*, Wyd. Akademickie DIALOG, Warszawa.
- Boryczka J., 2001, *Postęp badań przyczyn zmian klimatu Ziemi w drugiej połowie XX wieku*, Prace i Studia Geograficzne, t. 28, Wyd. UW, Warszawa.
- Boryczka J., Stopa-Boryczka M., 1984, *The multiperiodical changes of air temperature in Warsaw*, Miscellanea Geographica, Wyd. UW, Warszawa.
- Boryczka J., Stopa-Boryczka M., 2000, *Zmiany klimatu Polski w XVIII-XXI wieku*, Acta Universitatis Nicolai Copernici, Geografia XXXI – Nauki Matematyczno-Przyrodnicze, z. 106, Toruń.
- Boryczka J., Stopa-Boryczka M., Kicińska B., Żmudzka E., 1992, *Atlas współzależności parametrów meteorologicznych i geograficznych w Polsce*, cz. VII, *Zmiany wiekowe klimatu Polski*, Wyd. UW, Warszawa.
- Boryczka J., Stopa-Boryczka M., Błażek E., Skrzypczuk J., 1997, *Atlas współzależności parametrów meteorologicznych i geograficznych w Polsce*, cz. X, *Cykliczne zmiany aktywności Słońca i cyrkulacji atmosferycznej w Europie*, Wyd. UW, Warszawa.
- Boryczka J., Stopa-Boryczka M., Błażek E., Skrzypczuk J., 1998, *Atlas współzależności parametrów meteorologicznych i geograficznych w Polsce*, cz. XI, *Tendencje wiekowe klimatu miast w Europie*, Wyd. UW, Warszawa.
- Boryczka J., Stopa-Boryczka M., Wągrowska M., Błażek E., Skrzypczuk J., 1999, *Atlas współzależności parametrów meteorologicznych i geograficznych w Polsce*, cz. XII, *Ocieplenia i ochłodzenia klimatu miast w Europie*, Wyd. UW, Warszawa.
- Boryczka J., Stopa-Boryczka M., Błażek E., Skrzypczuk J., 1999, *Atlas współzależności parametrów meteorologicznych i geograficznych w Polsce*, cz. XIII, *Cykliczne zmiany klimatu miast w Europie*, Wyd. UW, Warszawa.

- Boryczka J., Stopa-Boryczka M., Lorenc H., Kicińska B., Błażek E., Skrzypczuk J., 2000, *Atlas współzależności parametrów meteorologicznych i geograficznych w Polsce*, cz. XIV, *Prognozy zmian klimatu Warszawy*, Wyd. UW, Warszawa.
- Boryczka J., Stopa-Boryczka M., Baranowski D., Błażek E., Skrzypczuk J., 2001, *Atlas współzależności parametrów meteorologicznych i geograficznych w Polsce*, cz. XV, *Prognozy zmian klimatu miast Europy*, Wyd. UW, Warszawa.
- Boryczka J., Stopa-Boryczka M., Baranowski D., Grabowska K., Błażek E., Skrzypczuk J., 2002, *Atlas współzależności parametrów meteorologicznych i geograficznych w Polsce*, cz. XVI, *Prognozy zmian klimatu Polski*, Wyd. UW, Warszawa.
- Boryczka J., Stopa-Boryczka M., Baranowski D., Kirschenstein M., Błażek E., Skrzypczuk J., 2003, *Atlas współzależności parametrów meteorologicznych i geograficznych w Polsce*, cz. XVII, *Mroźne zimy i upalne lata w Polsce*, Wyd. UW, Warszawa.
- Boryczka J., Stopa-Boryczka M., Grabowska K., Wawer J., Błażek E., Skrzypczuk J., 2004, *Atlas współzależności parametrów meteorologicznych i geograficznych w Polsce*, cz. XVIII, *Groźne zjawiska pogodowe w Polsce*, Wyd. UW, Warszawa.
- Boryczka J., Wicik B., 1994, *Record of holocene climatic cycles in lake sediments in Central Poland*, Miscellanea Geographica, nr 6.
- Brückner E., 1890, *Klimaschwankungen seit 1700 nebst Bemerkungen über die Klimaschwankungen der Diluviazeit*, Geogr. Abh., H. 4/2, Wien.
- Budyko M.I., 1971, *Klimat i żizn*, Gidromieteoizdat, Leningrad.
- Budyko M.I., 1974, *Izmienienija klimata*, Gidromieteoizdat, Leningrad.
- Budyko M.I., Piwowarowa Z.I., 1967, *Wlijanie wulkaniczeskich izwierženij na prichodiaszcziju k powierchnosti Ziemli sołniecznuju radiacju*, Mieteorologija i Gidrologija, nr 10.
- Charvatova I., Strestik J., 1994, *Udział długofalowych naturalnych zmian w obecnym ocieplaniu globalnym* (w): *Globalne ocieplenie a współczesne zmiany klimatyczne w Polsce*, Materiały Międzynarodowej Konferencji, Szczecin 31 V - 1 VI 1993.
- Flohn H., 1985, *Climatic prospects in the cane of extended CO₂ – induced warming*, Meteor. Zeit., H. 1.
- Girs A.A., 1974, *Solnieczno-atmosferyje swiazi i ich rol w długosrocznych gidrometeorologicznych prognozach*, Gidromieteoizdat, Leningrad.
- Groveman B.S., Landsberg H.E., 1979, *Simulated Northern Hemisphere Temperature Departures 1579-1980*, Geophys. Ress. Let., 6, s. 767-769.
- Haurwitz B., 1946, *Relation between solar activity and the lower atmosphere*, Trans. Am. Geoph. Union, XXVII.
- Hurrell J., 1995, *Decadal trends in the North Atlantic Oscillation: regional temperature and precipitation*, Science, 269, s. 676-679.
- Intergovernmental Panel on Climate Change – IPCC-1990, IPCC-1995*, WMO.
- Johnsen S.J., Dansgaard W., Clausen H. B., Longway C. C., 1970, *Climatic oscillations 1200-2000 A.D.*, Nature, nr 227, London.
- Jones P.D., Jonsson T., Wheeler D., 1997, *Extension to the North Atlantic Oscillation using early instrumental pressure observations from Gibraltar and South-West Iceland*, Int. J. Climatol., 17, s. 1433-1450.
- Kondratiew K.J., Nikolski G.A., 1970, *Solar radiation and solar activity*, Quart. J. Roy. Meteor. Soc., no 96.

- Kożuchowski K., Wibig J. 1988, *Kontynentalizm pluwiwalny w Polsce, zróżnicowanie geograficzne i zmiany wieloletnie*. Acta Geographica Lodziesie, nr 55.
- Kożuchowski K., 1989, *Makrotypy cyrkulacji atmosferycznej a temperatura powietrza w Polsce*, Przeg. Geofiz., R. XXXIV, z. 4.
- Kożuchowski K. (red.), 1990, *Materiały do poznania historii klimatu w okresie obserwacji instrumentalnych*, Wyd. Uniw. Łódzkiego, Łódź.
- Kożuchowski K., Stolarszuk, Wibig J., 1994, *Wskaźniki cyrkulacji atmosferycznej na poziomie 500 hPa nad Polską i południowym Bałtykiem w latach 1951-1990* (w): *Współczesne zmiany klimatyczne. Klimat Polski i regionu Morza Bałtyckiego na tle zmian globalnych*, Rozprawy i Studia Univ. Szczecin., (226) 152.
- Lamb H.H., 1974, *Climatic history and future Climate, present, past and future*, vol. 2, London, Methuen.
- Lamb H.H., 1977, *Volcanic dust in the atmosphere with a chronology and assessment of meteorological*, Philosoph. Transactions Roy. Soc., ser. A, No 226.
- Landsberg H.E., 1979, *Climatic fluctuation*, Mc Graw Hill Yearbook Science and Technology, Mc Graw Hill Book Co., New York.
- Landsberg H.E., 1980, *Variable solar emission, the „Maunder Minimum” and climatic temperature fluctuation*, Arch. Meteor. Geophys. Bioclimat., ser. B, vol. 28.
- Lockwood J. G., 1984, *Procesy klimatotwórcze*, PWN, Warszawa.
- Lorenc H., 1994, *Symptomy zmian klimatu w strefach ograniczonych wpływów antropogenicznych*, Mat. Bad. IMGW, Meteorologia, 19.
- Lorenc H., 2000, *Studio nad 202-letnią (1779-1998) serią temperatury powietrza w Warszawie oraz ocena jej wiekowych tendencji*, Mat. Bad. IMGW, Meteorologia, 31.
- Malcher J., Schönwiese Ch.D., 1987, *Homogeneity, spatial correlation and spectral variance analysis of long European and North American air temperature records*, Theor. Appl. Climat., 38.
- Manley G., 1974, *Central England temperatures: monthly means 1659 to 1973*, Quart. J. Roy. Meteor. Soc., no 100.
- Marsz A.A. (red.), 1999, *Wpływ stanu termicznego powierzchni oceanu na modyfikacje cyrkulacji atmosferycznej w wymiarze klimatologicznym*, Materiały Konferencji, Gdynia 6 V 1999.
- Marsz A.A., 2001, *Długoterminowa prognoza warunków termicznych okresu zimowego w Polsce*, Postęp badań zmian klimatu i ich znaczenie dla życia i gospodarczej działalności człowieka, Wyd. WGSR UW, Warszawa.
- Milankovich M., 1930, *Mathematical Klimalehre und Astronomiche Theorie der Klimaschankungen*
- Morlet J., 1983, *Sampling theory and wave propagation*, NATO ASI Series, FI Springer.
- Osborn T.J., Briffa K.R., Tett S.F.B., Jones P.D., Trigo R.M., 1999, *Evaluation of the North Atlantic Oscillation as stimulated by a coupled climate model*, Climate Dynamics.
- Paszyński J., Niedźwiedź T., 1991, *Klimat*, [W:] Starkel L. (red.), *Geografia Polski środowisko przyrodnicze*, PWN Warszawa.
- Rakipowa L.R., 1960, *O wzajemstwie słończej aktywności na obszarze cyrkulacji atmosfery*, Astronom. sbornik, III i IV.
- Reznikow A.P., 1982, *Priekazanie jestestwiennych processów obuczajuszcziejsja sistemoj*, Nowosybirsk.

- Rogers J.C., 1984, *A comparison of the mean winter pressure distribution in the extremes of the North Atlantic Oscillation and Southern Oscillation*, (w:) H. Van Loon (red.), Studies in Climate, NCAR Technical Note, February 1984, Boulder, Colorado, s. 208-241.
- Sazonow B.I., Malkentin E.K., 1994, *Znaczny wzrost temperatur zimowych w Europie Północnej (1989-1993)*, Rozprawy i Studia Univ. Szczecin., (226) 152.
- Schönwiese Ch.D., 1983, *Spectral auto-variance, cross variance and coherence analysis of long air temperature series (w): II Inter. Meeting of Statistical Climatology*, Lisboa.
- Schönwiese Ch.D., 1992, *Klima im Wandel*, Tatsachen Irrtümer, Risiken Deutsche Verlags Anstalt GmbH, Stuttgart.
- Schönwiese Ch.D., Rapp J., Fuchs T., Denhard M., 1993, *Klimatrend-Atlas Europa 1891-1990*, Berichte des Zentrums Für Umweltforschung, Nr 20, Frankfurt am Main.
- Stopa-Boryczka M., 1973, *Cechy termiczne klimatu Polski*, Rozprawy Uniwersytetu Warszawskiego, Nr 72, Warszawa.
- Stopa-Boryczka M., Boryczka J., Kicińska B., Żmudzka E., 1990, *Atlas współzależności parametrów meteorologicznych i geograficznych w Polsce*, cz. VI, *Wpływ Oceanu Atlantyckiego i ukształtowania powierzchni Ziemi na pole temperatury powietrza w Polsce*, Wyd. UW, Warszawa.
- Stopa-Boryczka M., Boryczka J., Wągrowska M., Śmiałkowski J., 1994, *Atlas współzależności parametrów meteorologicznych i geograficznych w Polsce*, cz. VIII, *Cechy oceaniczne klimatu Europy*, Wyd. UW, Warszawa.
- Stopa-Boryczka M., Boryczka J., Błażek E., Skrzypczuk J., 1995, *Atlas współzależności parametrów meteorologicznych i geograficznych w Polsce*, cz. IX, *Naturalne i antropogeniczne zmiany klimatu Warszawy*, Wyd. UW, Warszawa.
- Stopa-Boryczka M., Boryczka J., 2001, *Przewidywane średnie sezonowe i roczne zmiany temperatury powietrza na wybranych stacjach*, [W:] *Atlas klimatycznego ryzyka upraw roślin w Polsce*, Wyd. Akademii Rolniczej w Szczecinie, Szczecin.
- Styszyńska A., 2001, *Oscylacja Północnoatlantycka a opady na obszarze Polski*, Postęp badań zmian klimatu i ich znaczenie dla życia i gospodarczej działalności człowieka, Wyd. WGRS UW, Warszawa.
- Trepińska J., 1973, *Zmiany w przebiegu temperatury powietrza w Krakowie w XIX i XX wieku*, Przegl. Geofiz., z. 1-2.
- Trepińska J., 2001, *Fluktuacje termiczne w Europie od małej epoki lodowej do końca XX wieku*, Postęp badań zmian klimatu i ich znaczenie dla życia i gospodarczej działalności człowieka, Wyd. WGRS UW, Warszawa.
- Wallace J.M., Gutzler D.S., 1981, *Teleconnections in the geopotential height field during the Northern Hemisphere winter*, Mon. Wea. Rev., t. 109, 784-812.
- Wangenheim G.J., 1938, *K woprosu tipizacji i schiematyzacji sinoptyczeskich procesow*, Mieteorologija i Gidrologija, t. 3, nr 3.
- Wolf R., 1869-72, *Handbuch der Mathematik, Physik, Geodesie und Astronomie*, t. 1-2.
- Wójcik G., Majorowicz J., Marciniak K., Przybylak R., Safanda J., Zielski A., 1999, *Temperatura powietrza w Polsce Południowo-Zachodniej w okresie XVII-XX w. w świetle danych klimatologicznych, geotermicznych i dendroklimatycznych*, *Zmiany i zmienność klimatu Polski*, Ogólnopolska konferencja naukowa, Łódź 4-6 XI 1999.
- Żmudzka E., 1998, *Cykliczne zmiany temperatury powietrza w Polsce*, (maszynopis rozprawy doktorskiej), Warszawa.